



**Diplôme d'Université de
Cardiologie Congénitale et
Pédiatrique
2020-21**

Professeur Damien Bonnet

Head of Congenital and Pediatric Cardiology Department

Hôpital Necker Enfants malades - APHP

Université de Paris

M3C-Necker

Director of Teaching Courses of Congenital and Pediatric
Cardiology at University of Paris

Pilote national de la FST-CPC

Pilote Régional Ile-de-France de la FST-CPC

CRMR Malformations Cardiaques Congénitales Complexes

CRMR Maladies Cardiaques Héritaires et Rares

Centre de Compétences du CRMR Hypertensions pulmonaires

INSERM Embryology & Genetics of Congenital Malformations



Diplôme d'Université de Cardiologie Congénitale et Pédiatrique

- 3 semaines d'enseignement en « distanciel » ou en présentiel en fonction de l'évolution des conditions sanitaires
- Examen écrit et oral en juin 2022
 - modalités à définir en fonction de l'évolution de la pandémie
 - Ecrit: Questions courtes/Problème de physiologie/Question de cours
 - Oral: Cas cliniques
 - note minimale requise 12/20 aux deux épreuves écrites et orales
- Principales sources d'information: WEB





[ACCUEIL](#)

[RECOMMANDATIONS
COVID-19 RENTRÉE](#)

[ÉVÈNEMENTS](#)

[QUI SOMMES-NOUS ?](#)

[ACTUALITÉS M3C-
NECKER ▶](#)

[PROCÉDURES
INNOVANTES](#)

[ESSAIS & REGISTRES](#)

[CONTACT](#)

[LES PRINCIPALES
CARDIOPATHIES
CONGÉNITALES](#)

M3C

Centre de Référence Malformations Cardiaques Congénitales Complexes

[RECOMMANDATIONS "COVID-19" RENTRÉE 2020](#)

[M3C-CARPEDEM CHAÎNE YOUTUBE](#)

www.carpedemm3c.com





M3C-Carpedem
588 abonnés

S'ABONNER

ACCUEIL

VIDÉOS

PLAYLISTS

CHAÎNES

DISCUSSION

À PROPOS



M3C CARPEDEM

You



Vidéos en ligne ▶ TOUT REGARDER



19:39

Nommer et classer les cardiopathies congénitales:...



16:49

Nommer et classer les cardiopathies congénitales



3:49

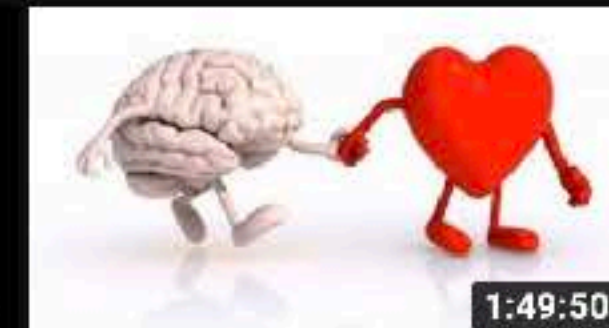
L'illusion du consensus



Une grosse droite saison 1

2:11

Une grosse droite saison 1



1:49:50

DIU 2020 M LACHAUD Révisions



1:01:32

DIU 2020L STORME Problèmes cardiologiques...

Physiologie cardiaque appliquée au développement cardiaque

Damien Bonnet

Unité médico-chirurgicale de Cardiologie Congénitale et Pédiatrique
Hôpital Universitaire Necker Enfants malades – APHP-centre, Université de Paris
Faculté de Médecine Paris Descartes
Institut Hospitalo-Universitaire IMAGINE

Centre de Référence Maladies Rares
Malformations Cardiaques Congénitales Complexes-M3C

Centre de Référence Maladies Rares
Maladies Cardiaques Héritaires et Rares



European Reference Network
for rare or low prevalence complex diseases

Network Respiratory Diseases (ERN-LUNG)



European Reference Network
for rare or low prevalence complex diseases

Network Heart Diseases (ERN GUARD-HEART)



Physiologie cardiaque appliquée aux cardiopathies congénitales

Partie 1

Physiologie du coeur foetal et conséquences sur la morphogenèse cardiaque

Professeur Damien Bonnet

Service de Cardiologie Congénitale et Pédiatrique

Hôpital Universitaire Necker Enfants malades – APHP, Université de Paris

Institut Hospitalo-Universitaire IMAGINE

Centre de Référence Maladies Rares

Malformations Cardiaques Congénitales Complexes-M3C

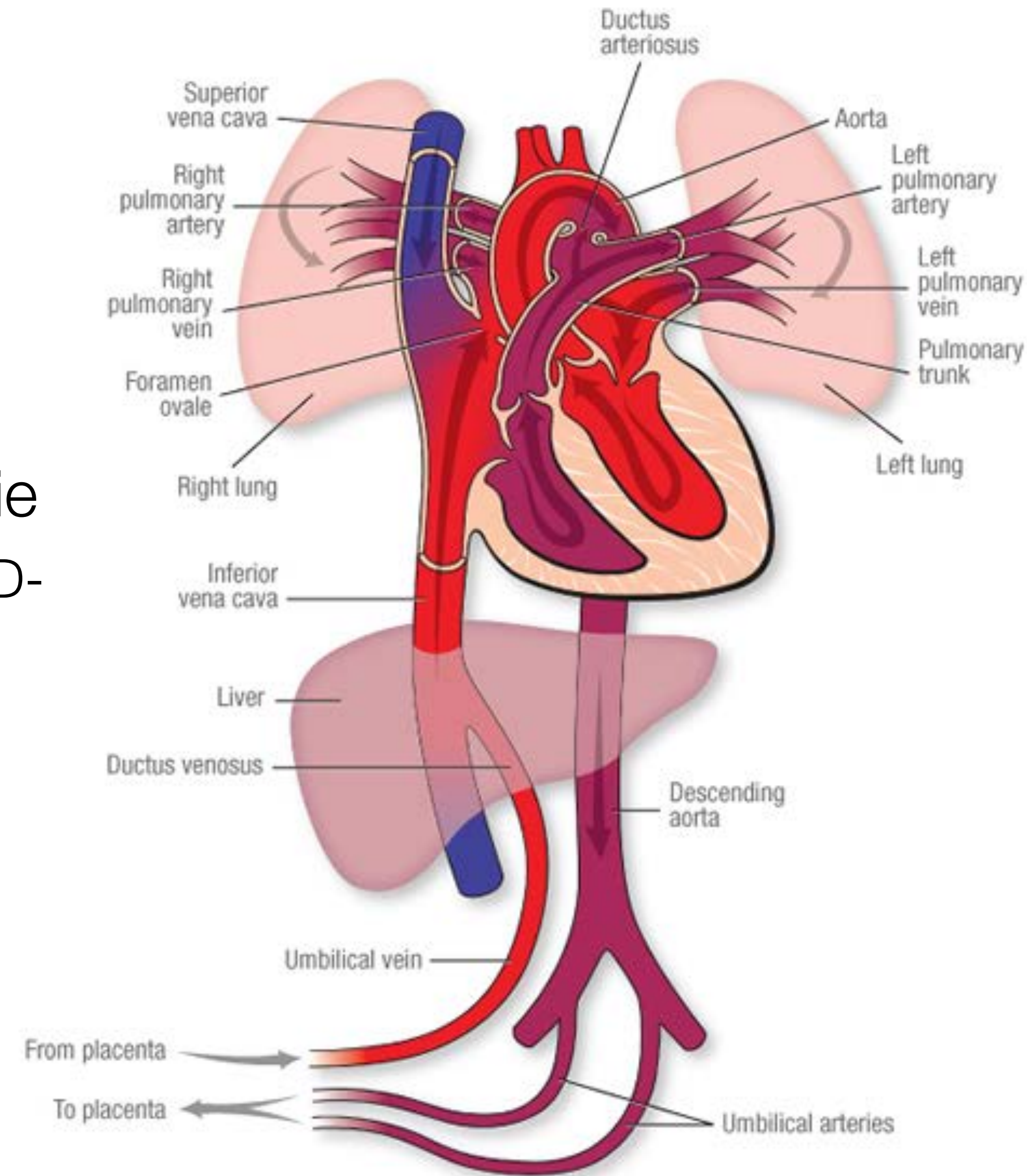
Centre de Référence Maladies Rares

Maladies Cardiaques Héritaires- CARDIOGEN

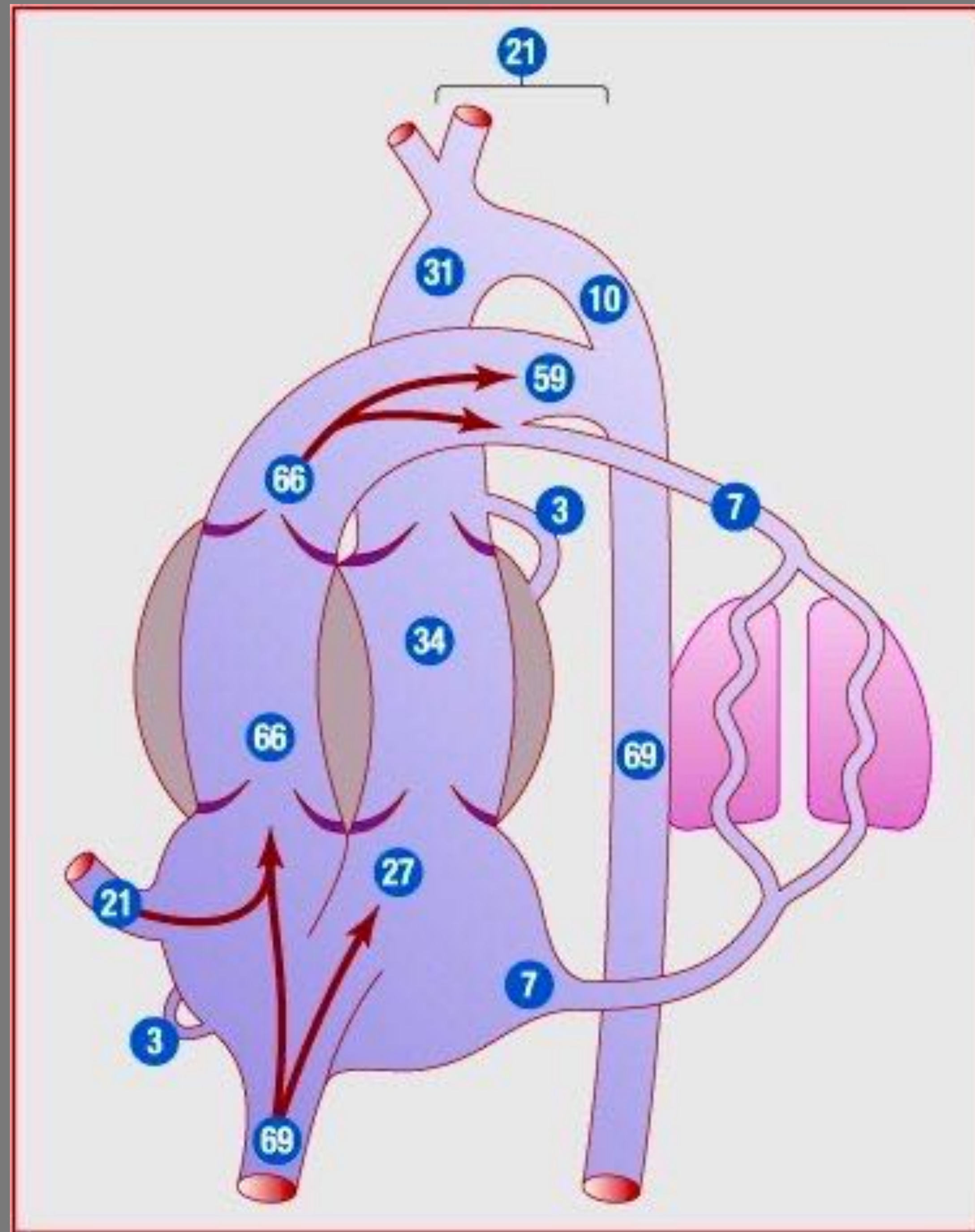


Anatomie du cœur fœtal et Conséquences hémodynamiques

- Les shunts et la circulation en parallèle
 - Le placenta et le ductus venosus ou canal d'Arantius
 - Le court-circuit de la circulation pulmonaire par le Canal Artériel
 - Le Foramen Ovale (CIA) qui permet d'alimenter le Cœur Gauche
- Pour l'oxygénation la circulation est presque en série
 - PI->VO->PFO->OG->VG->AoA->VCS->OD->VD->AP->AoD->AO->PI
- Le sang oxygéné va en priorité au cœur gauche
 - cœur et cerveau

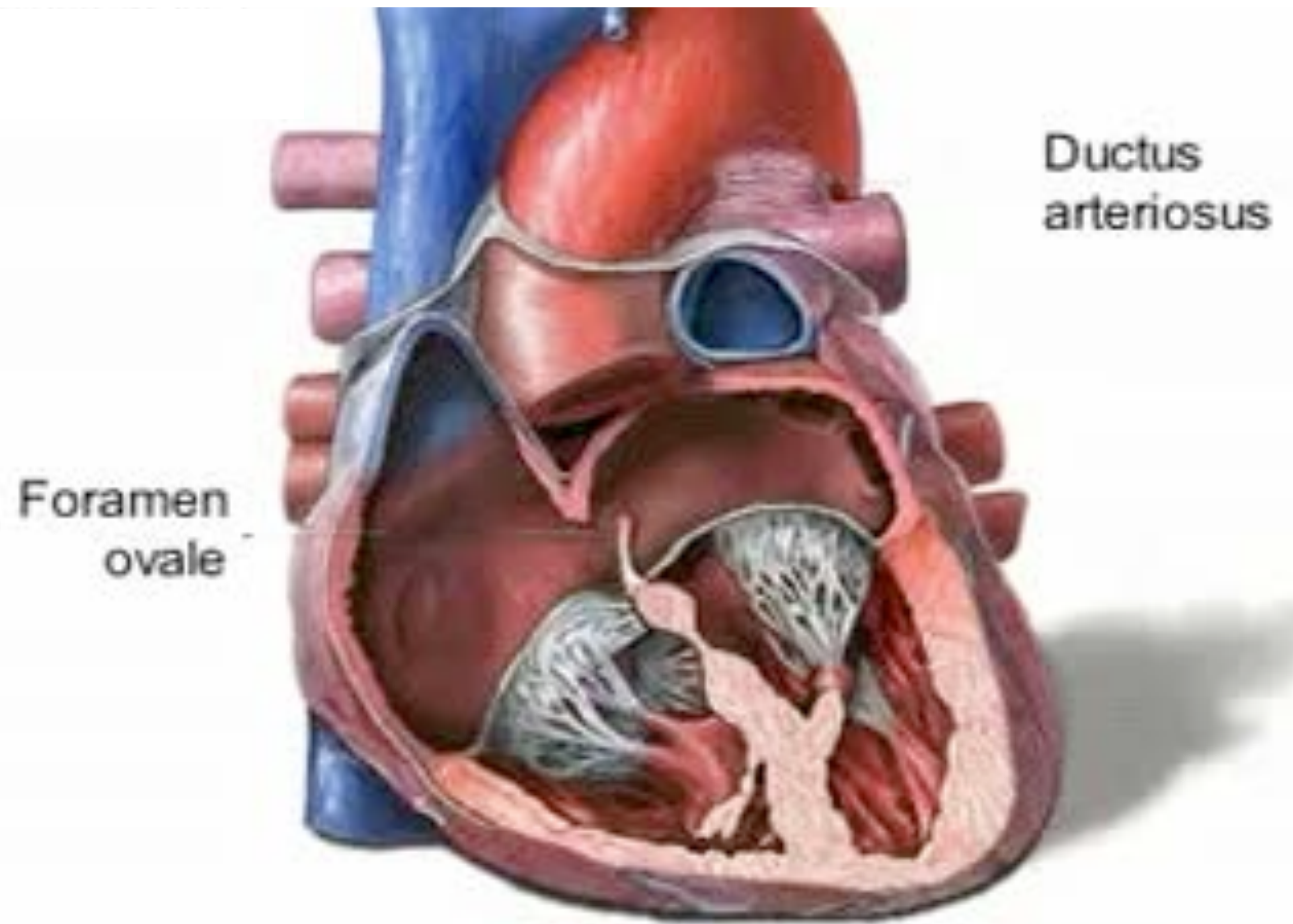


Débit sanguin foetal combiné



Les 2 ventricules se remplissent à la même pression (pré-charge)

Les volumes télé-diastoliques des ventricules & les compliances respectives

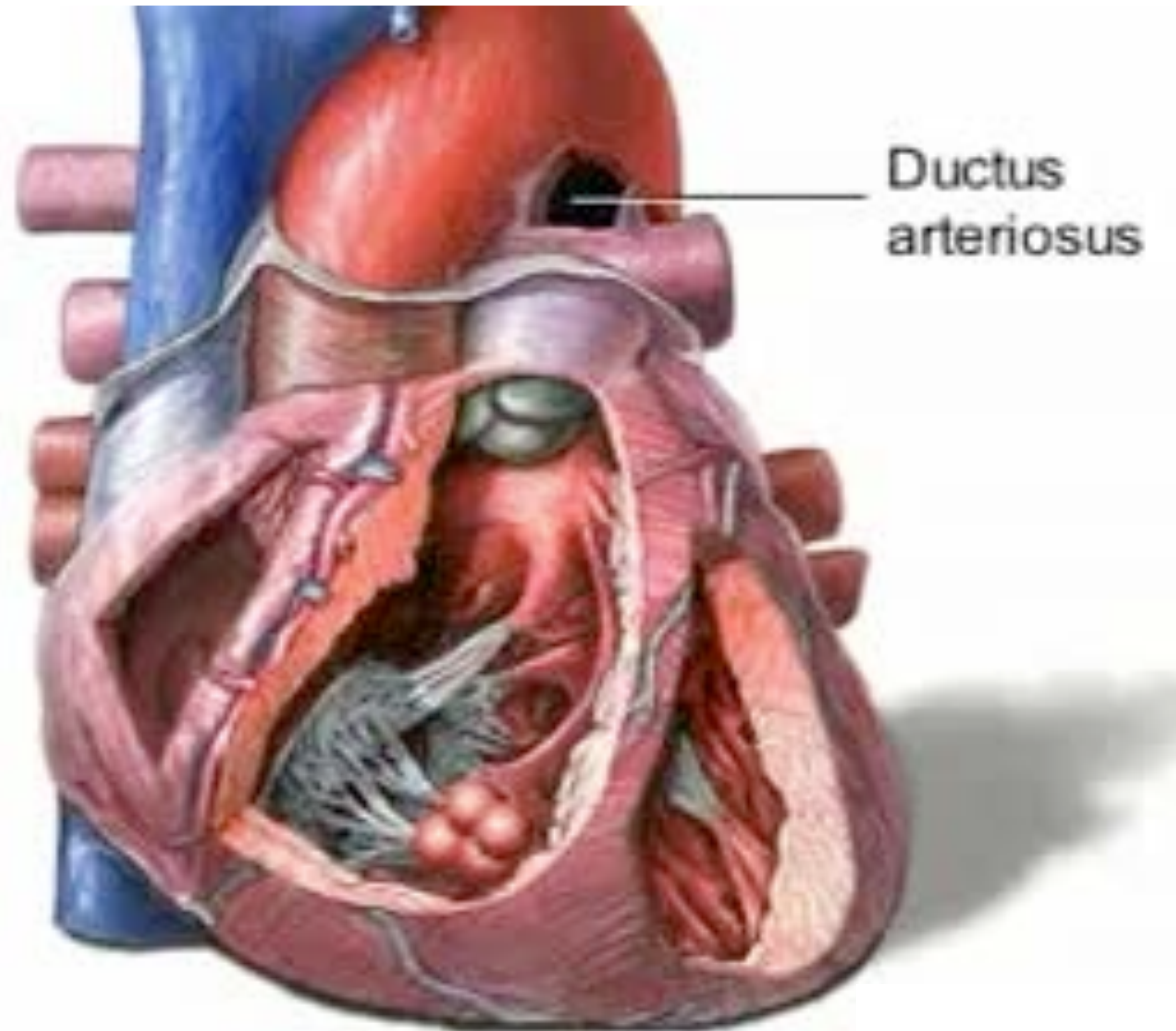


Circulation Foetale

Conséquence sur les volumes des Ventricules

Les 2 Ventricules se vident à la même pression (post-charge)

Les volumes télé-systoliques des Ventricules & les contractilités respectives



Conséquences sur les volumes des ventricules

- Les volumes des ventricules sont définis par
 - Les conditions de charge du cœur
 - Les propriétés du cœur
- Courbe pression/volume
 - Le Volume télé-systolique = contractilité/post-charge
 - Le Volume télé-diastolique = compliance/pré-charge

Circulation Fœtale

Conséquence sur les volumes des Ventricules

Les 2 ventricules se remplissent à la même pression (pré-charge)

Les volumes télé-diastoliques des Ventricules & les compliances respectives

Les 2 Ventricules se vident à la même pression (post-charge)

Les volumes télé-systoliques des Ventricules & les contractilités respectives

Volume d'éjection systolique (VES) = VTD - VTS

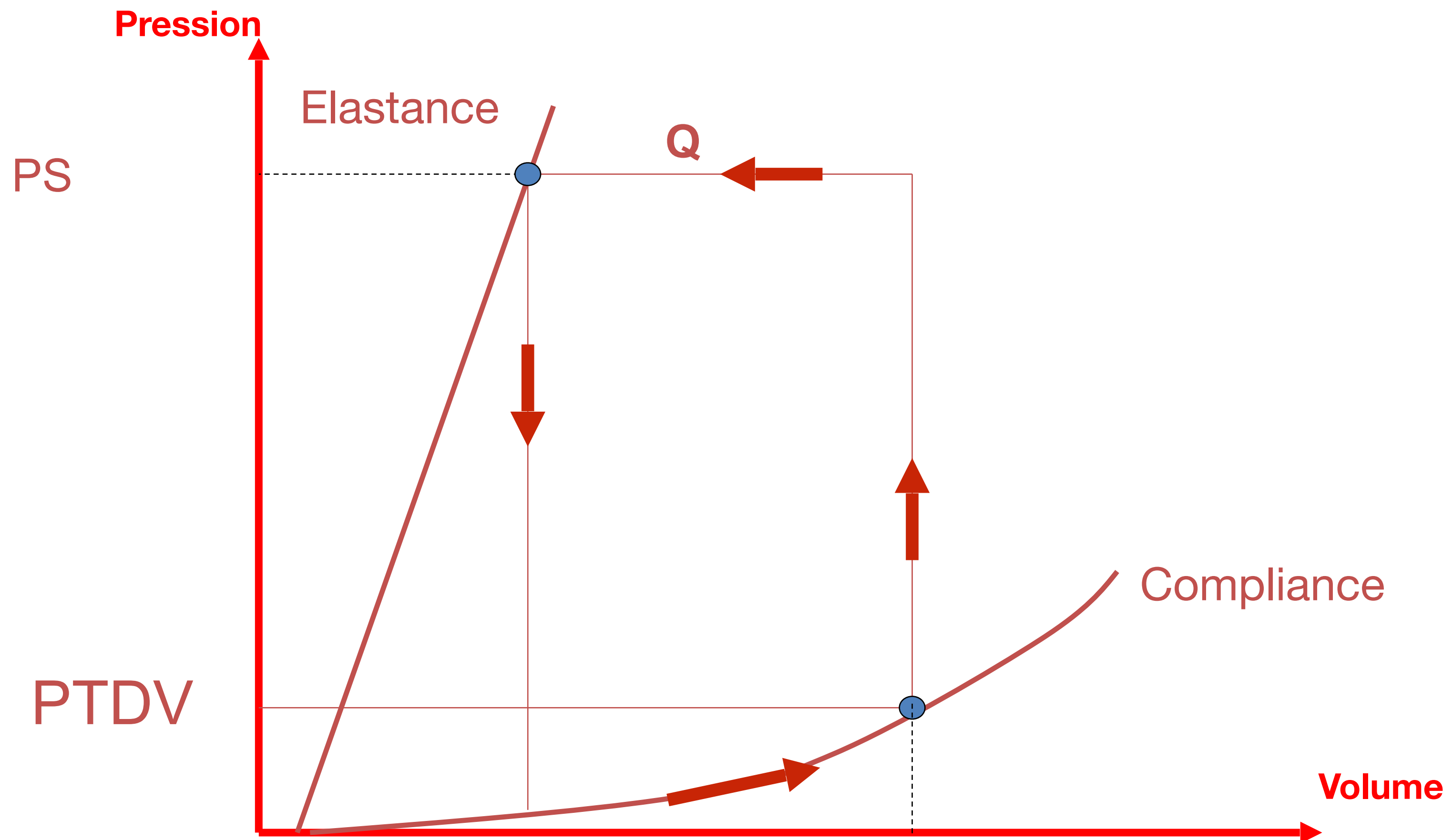
Les volumes éjectés sont fonction des propriétés myocardiques

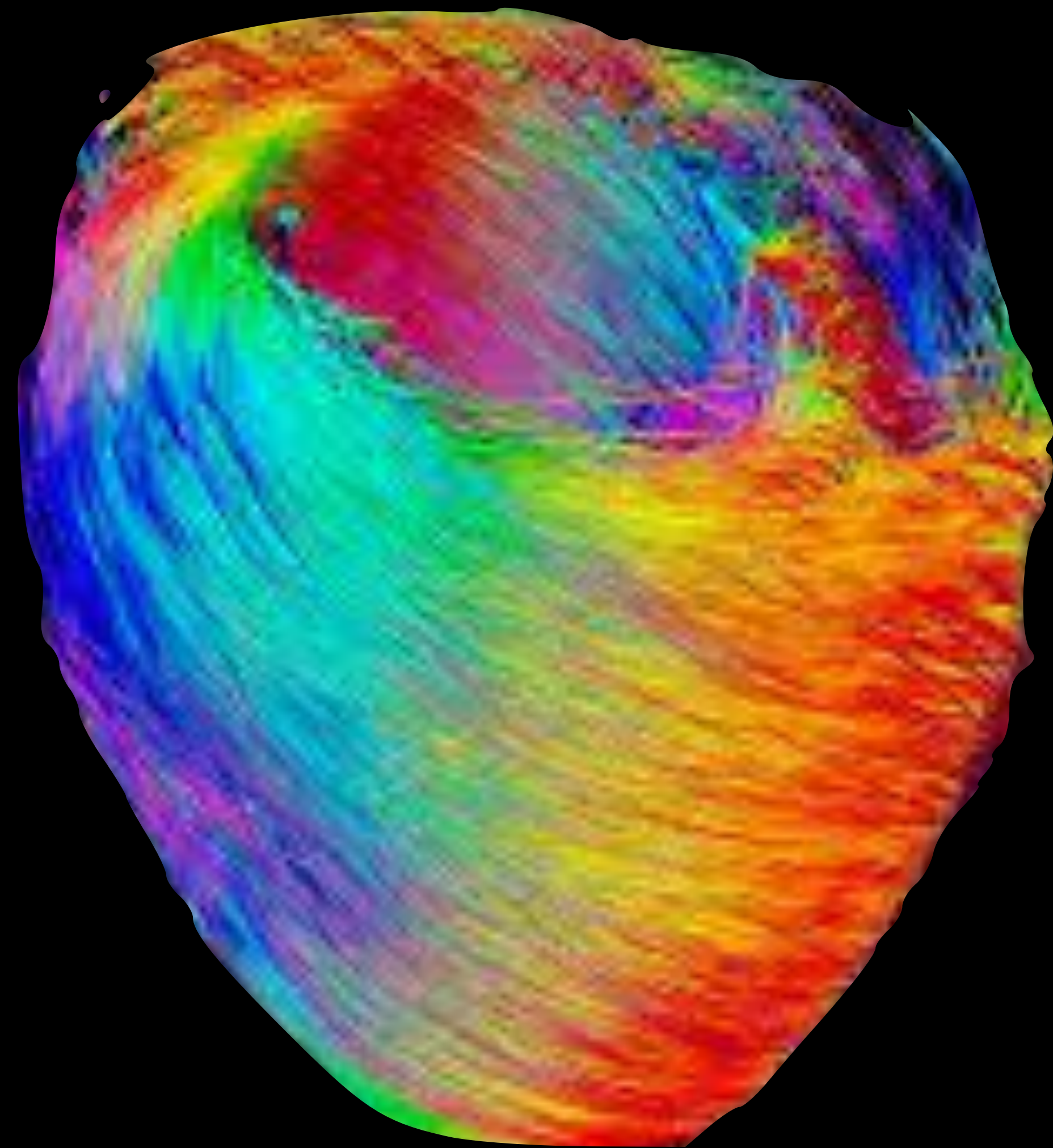
Conséquences sur la croissance de ventricules et des vaisseaux

Circulation Fœtale

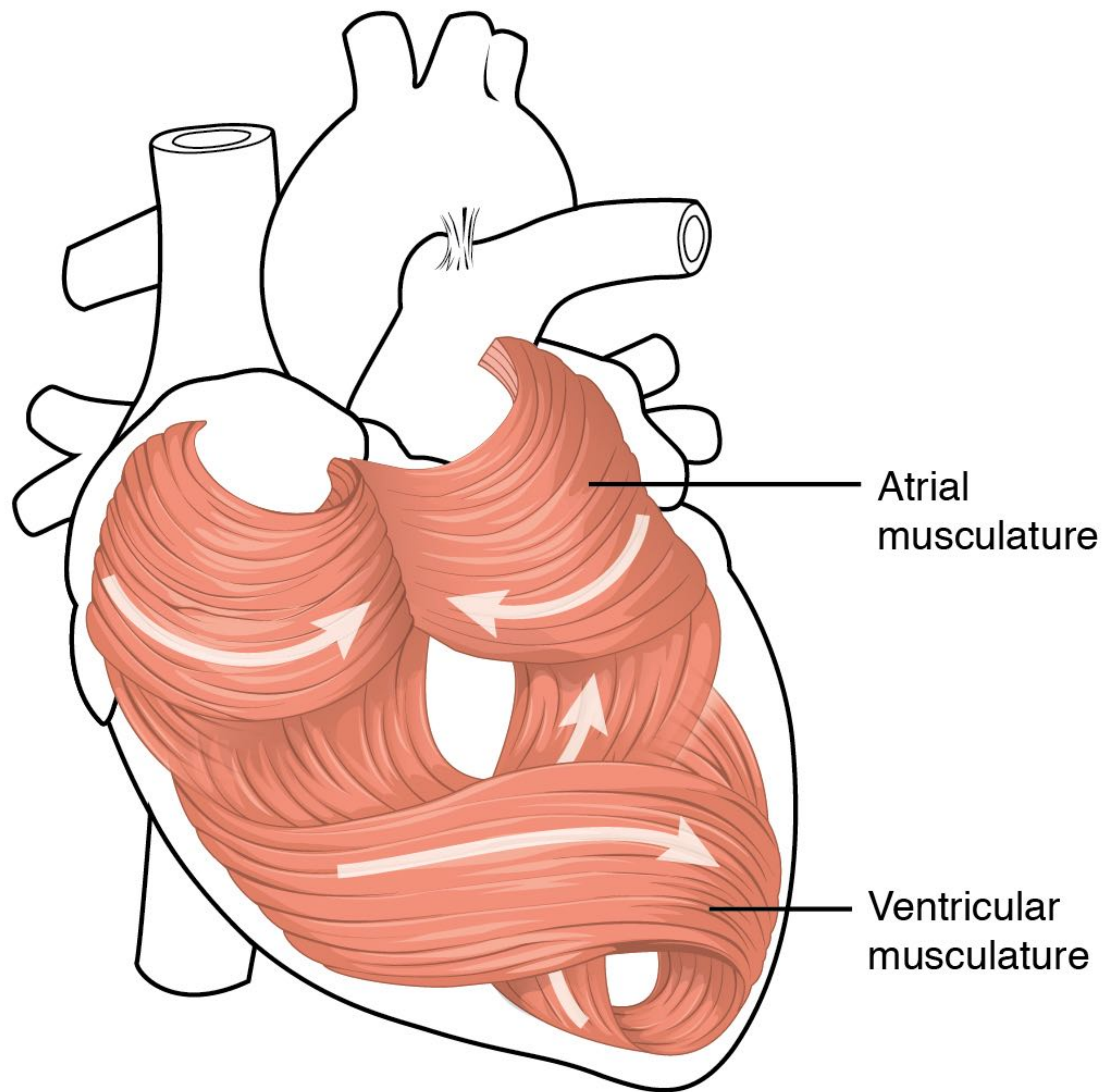
Conséquence sur les volumes des Ventricules

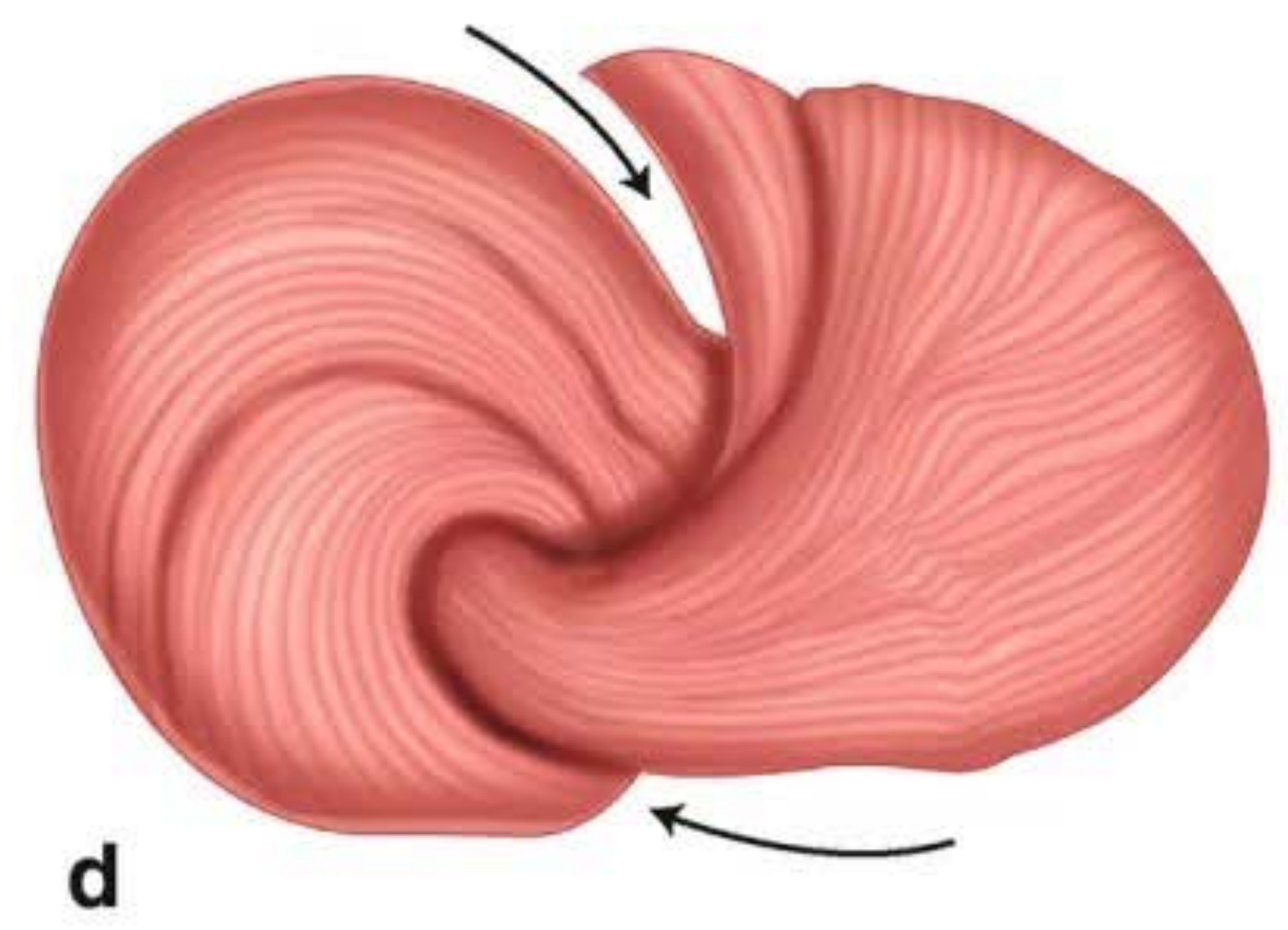
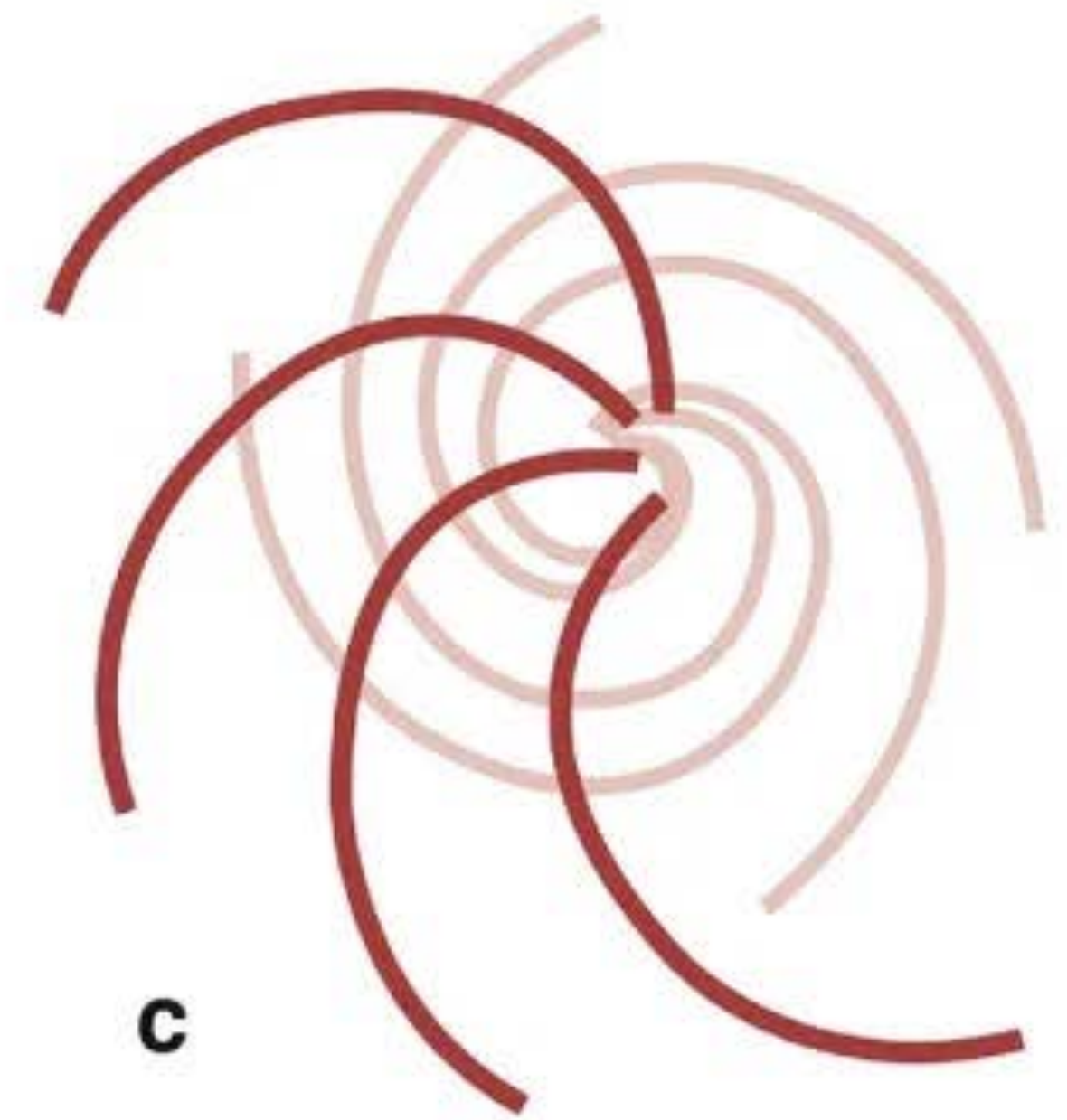
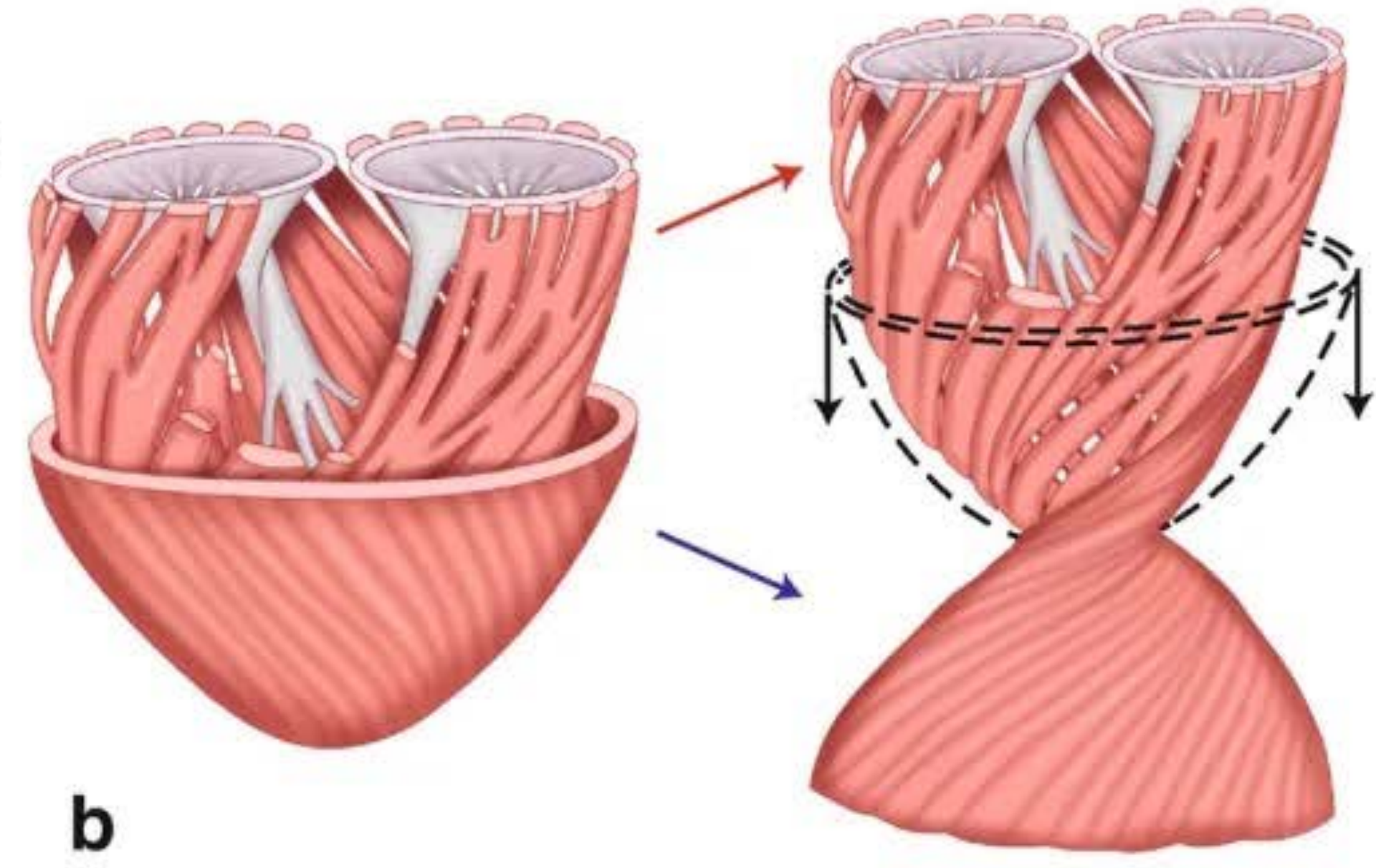
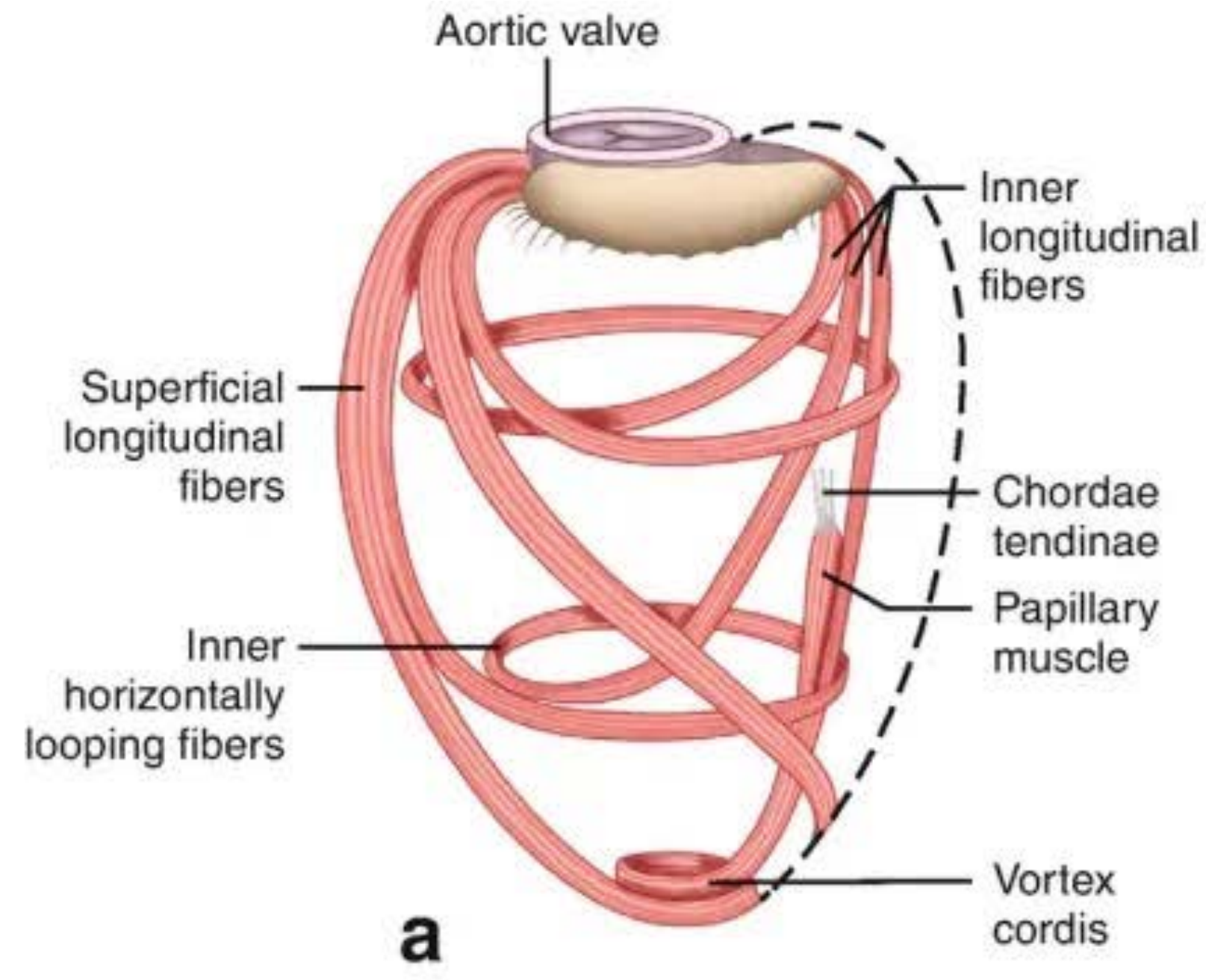
Les volumes éjectés sont fonction des propriétés myocardiques
Conséquences sur la croissance de ventricules et des vaisseaux

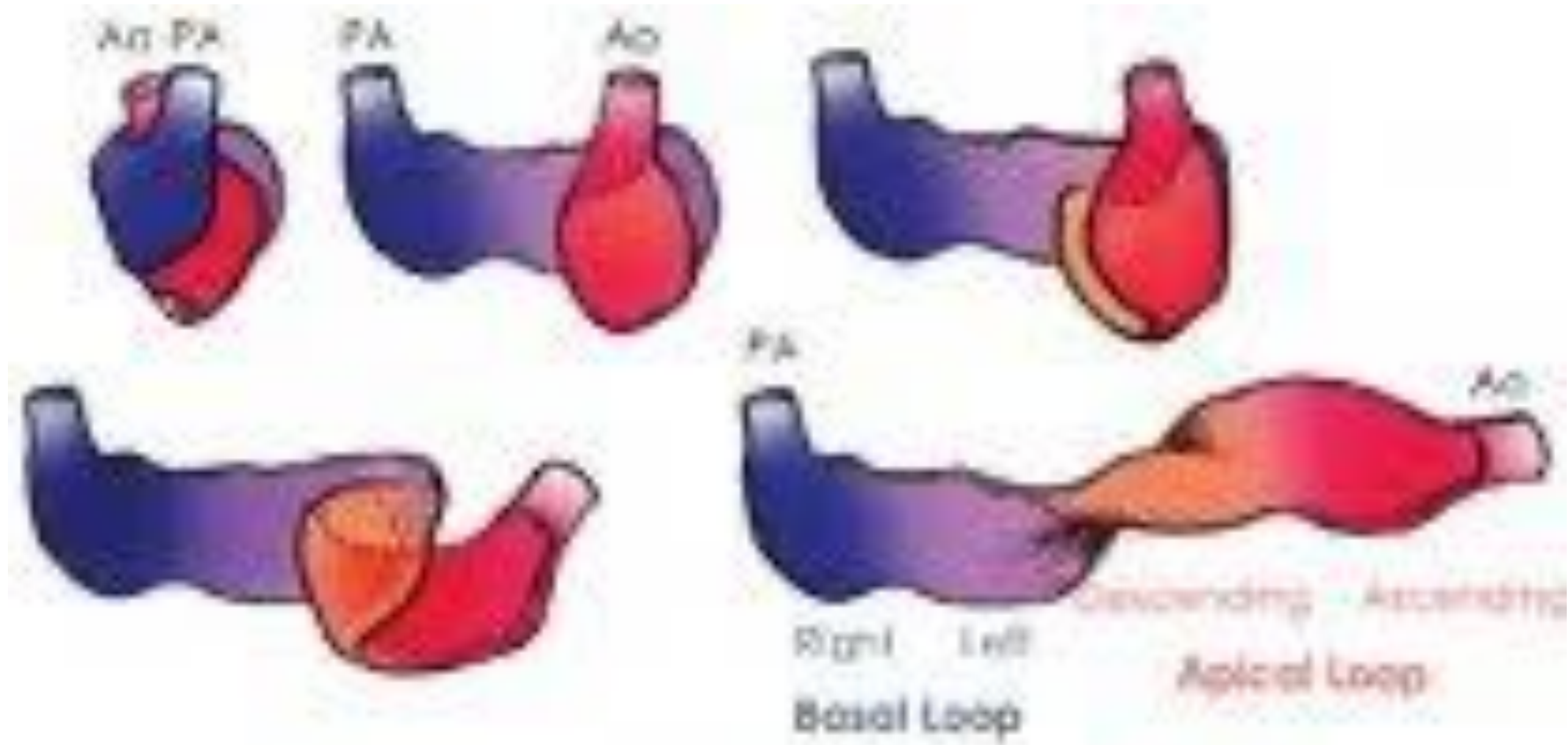


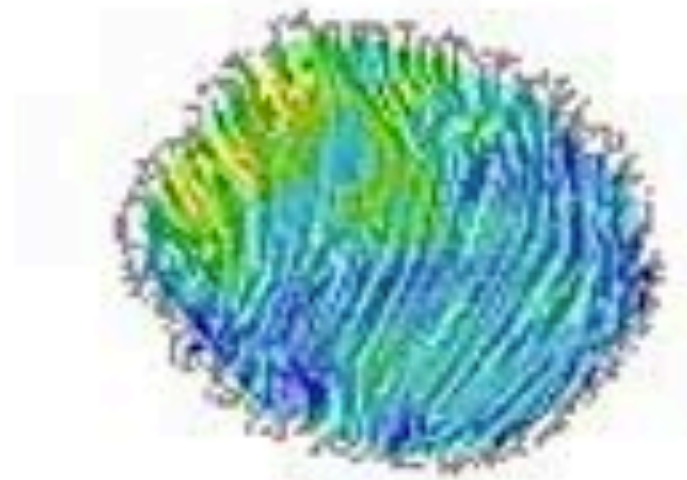


Propriétés intrinsèques du myocarde

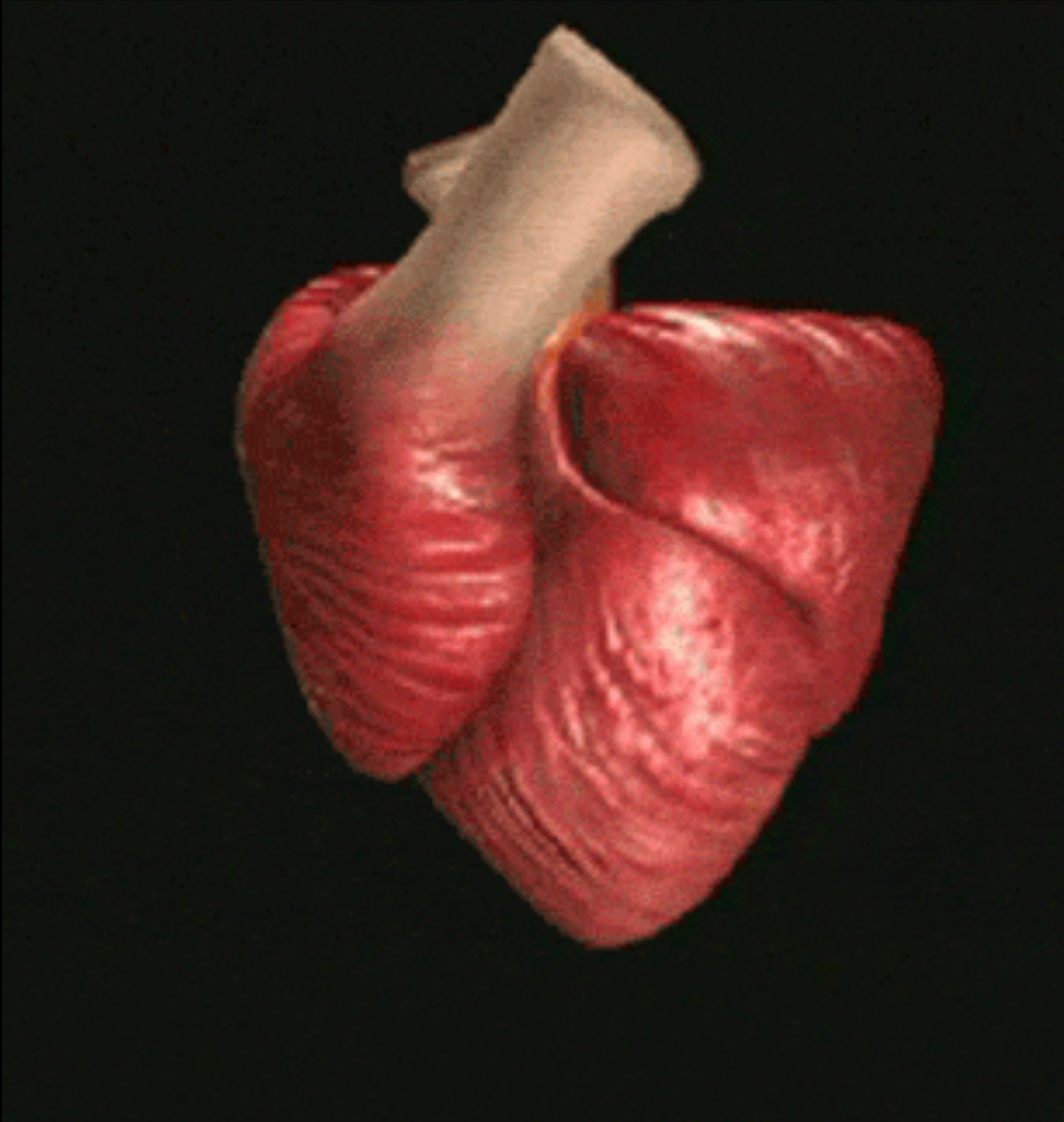


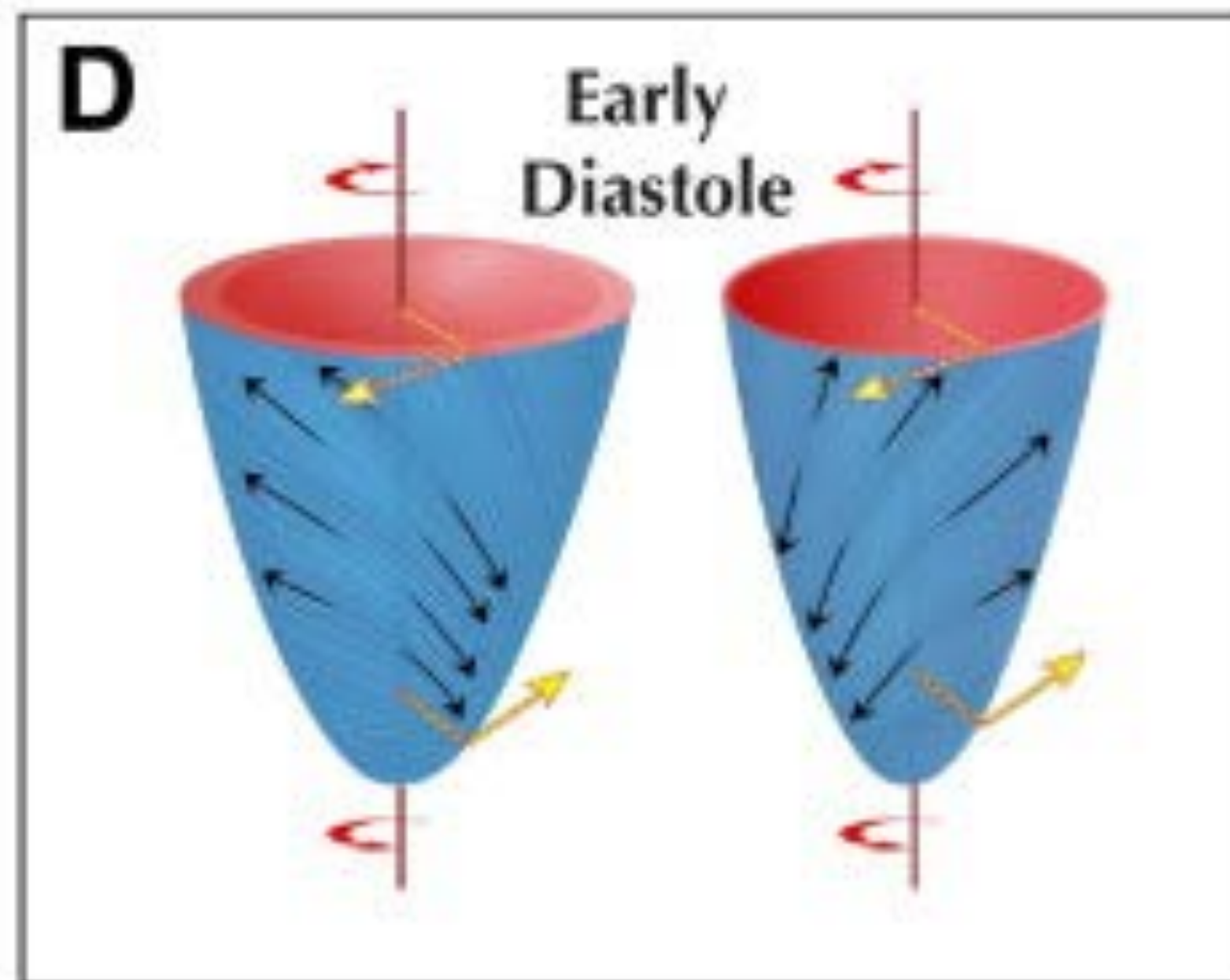
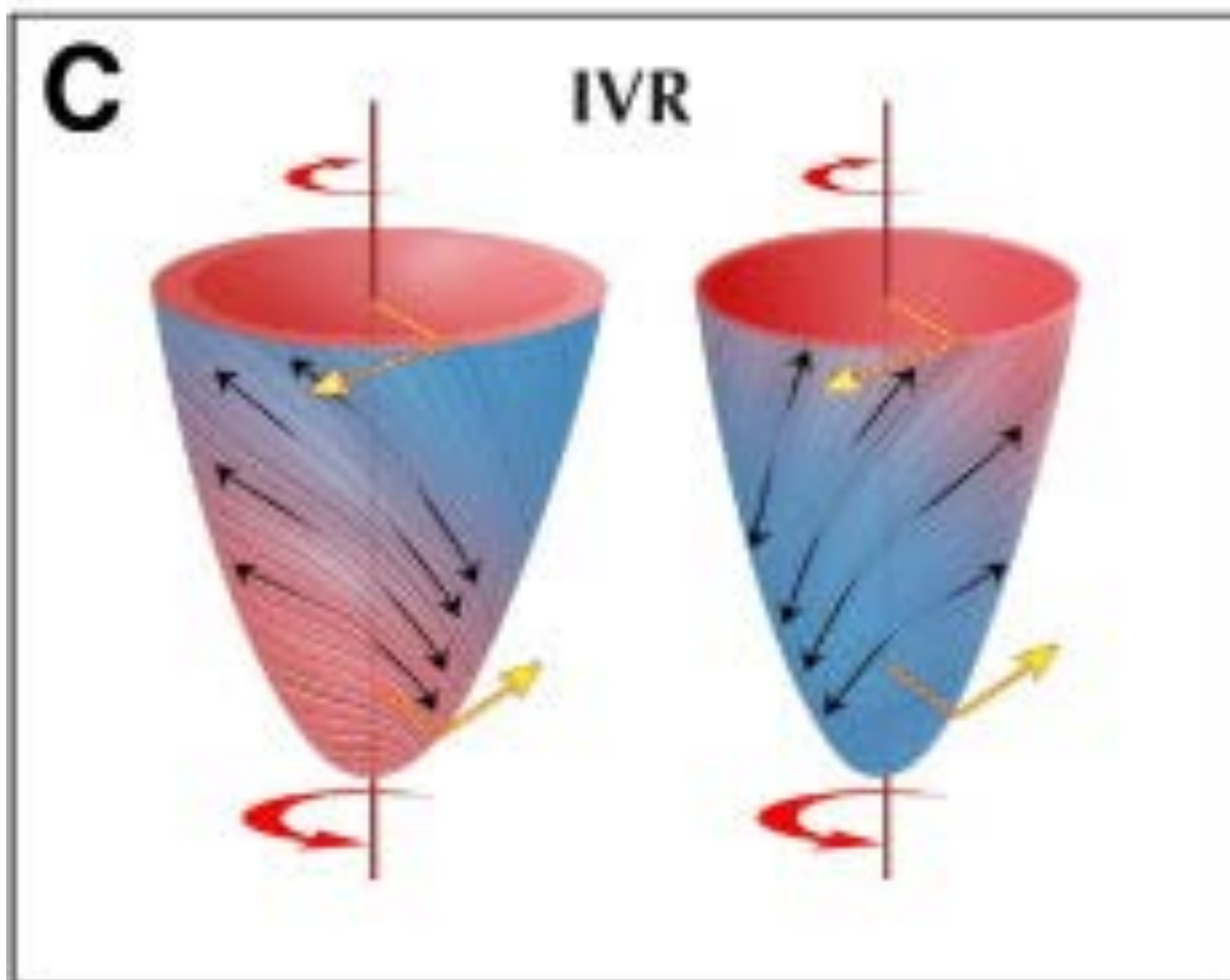
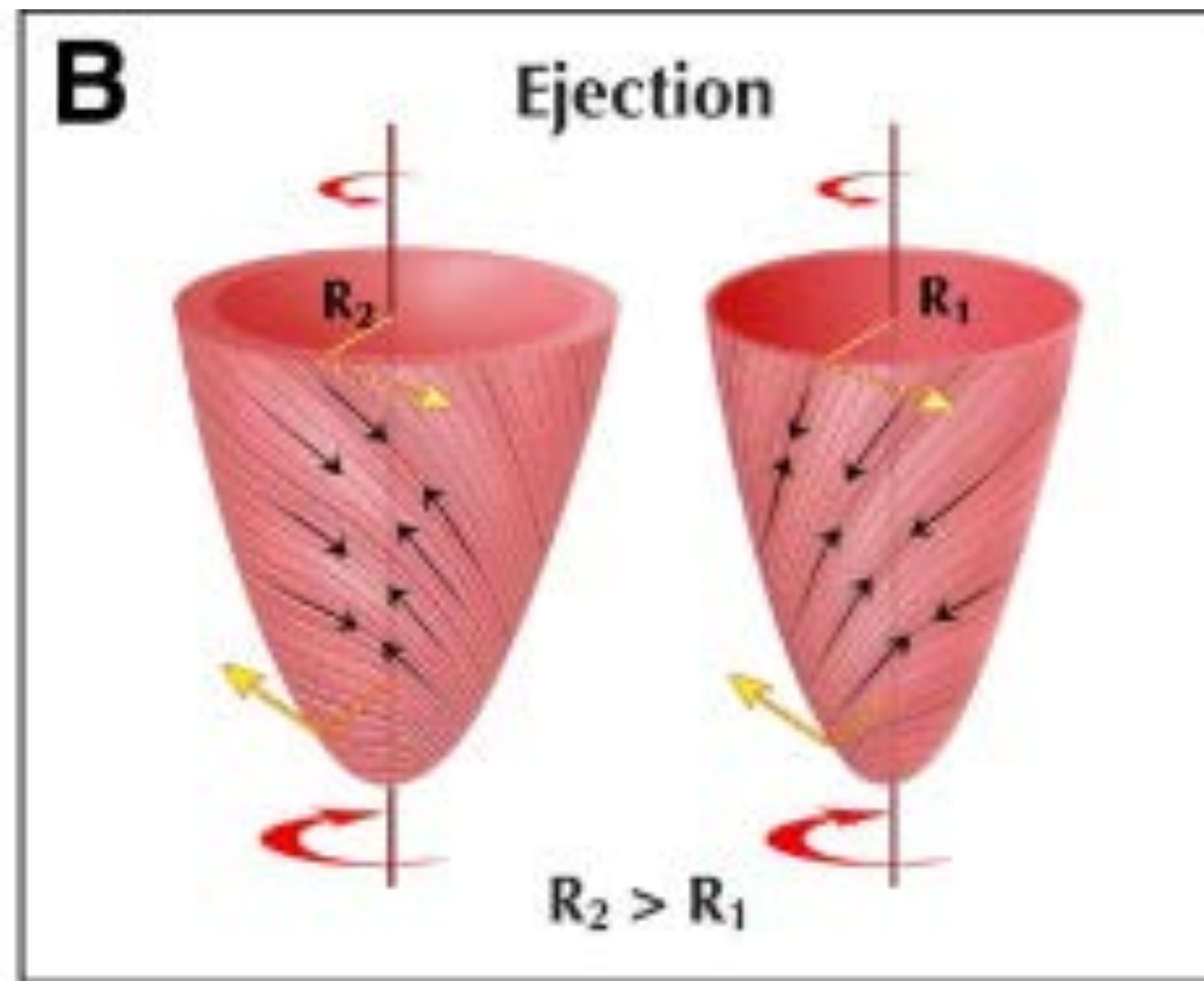
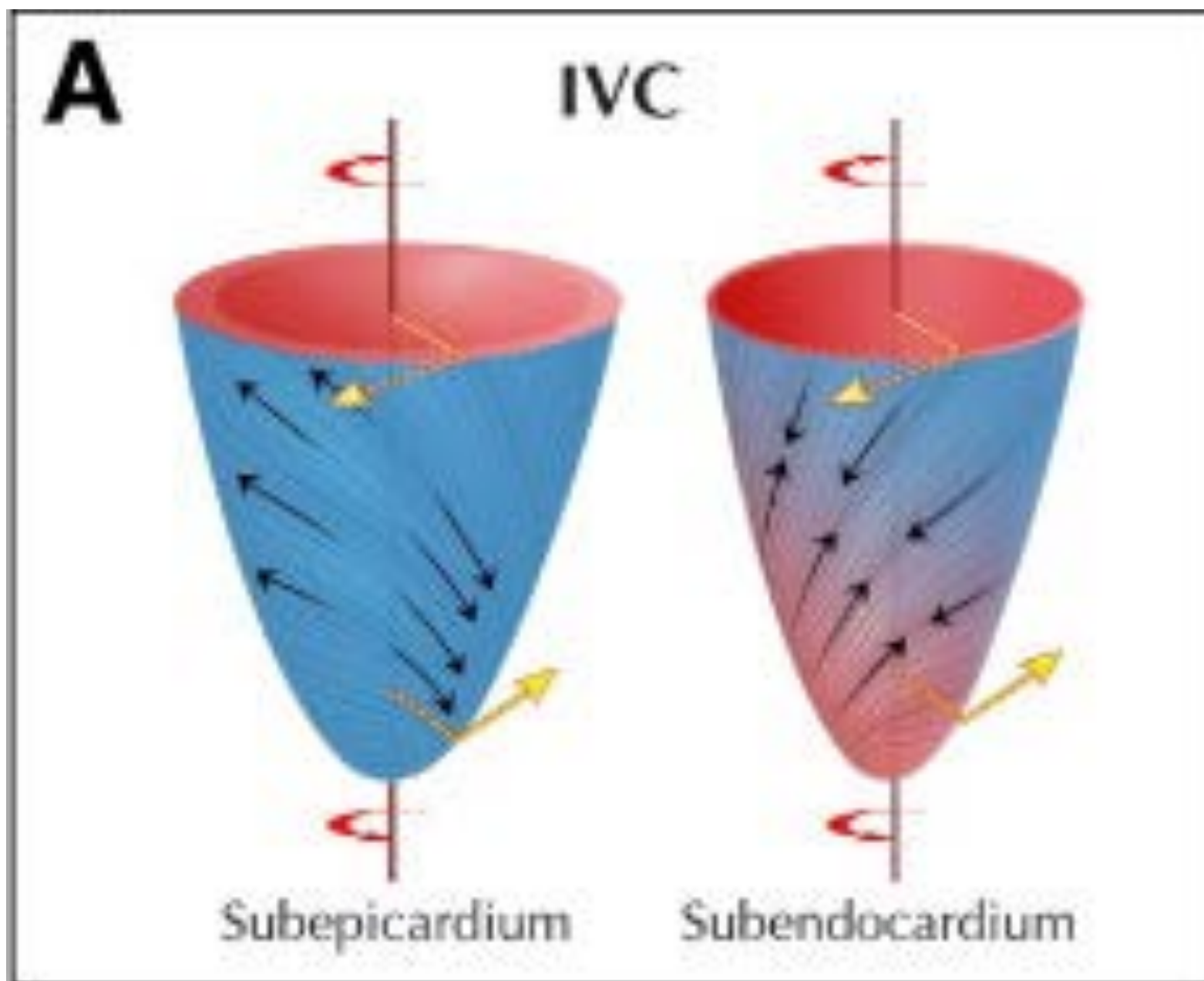


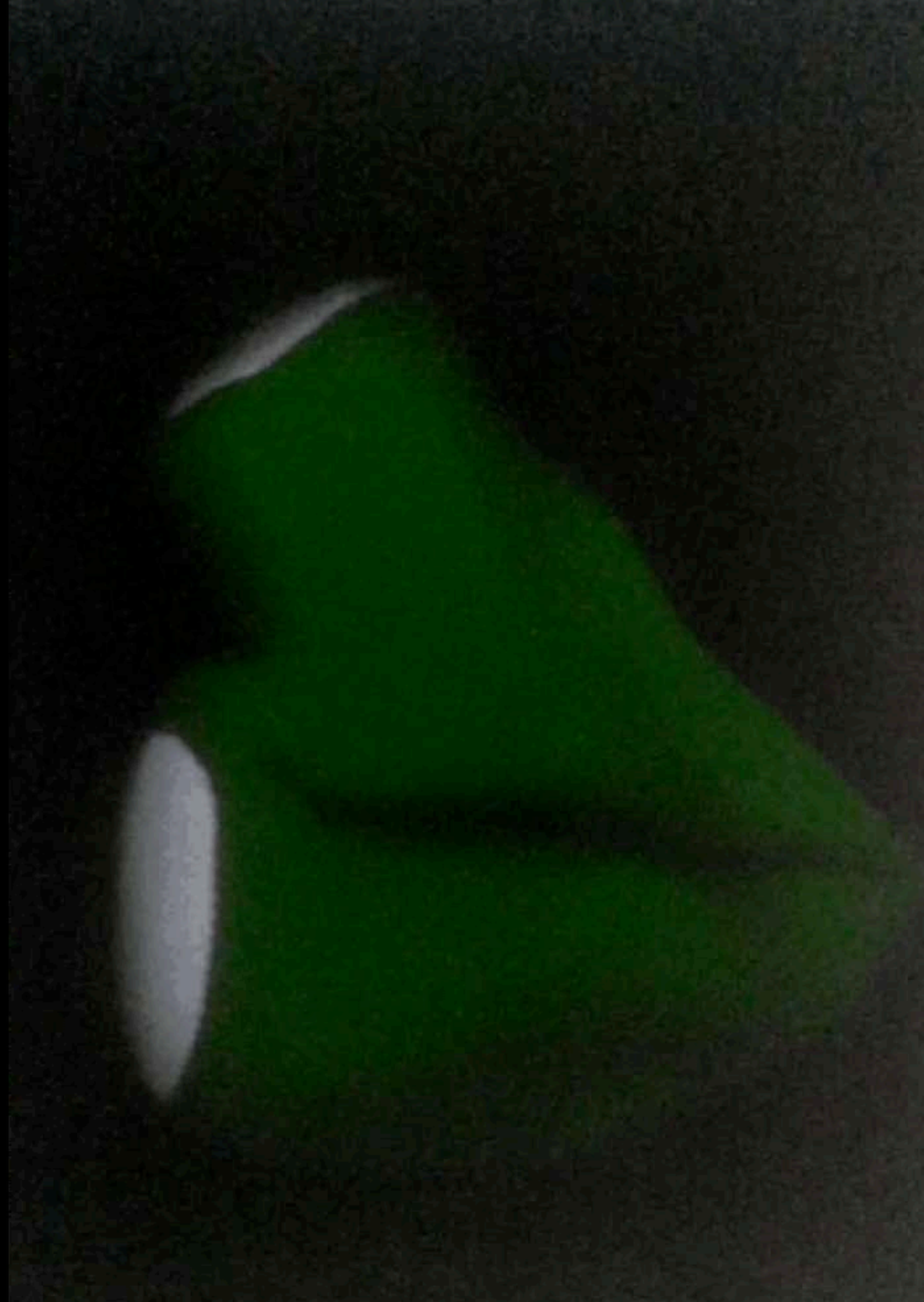
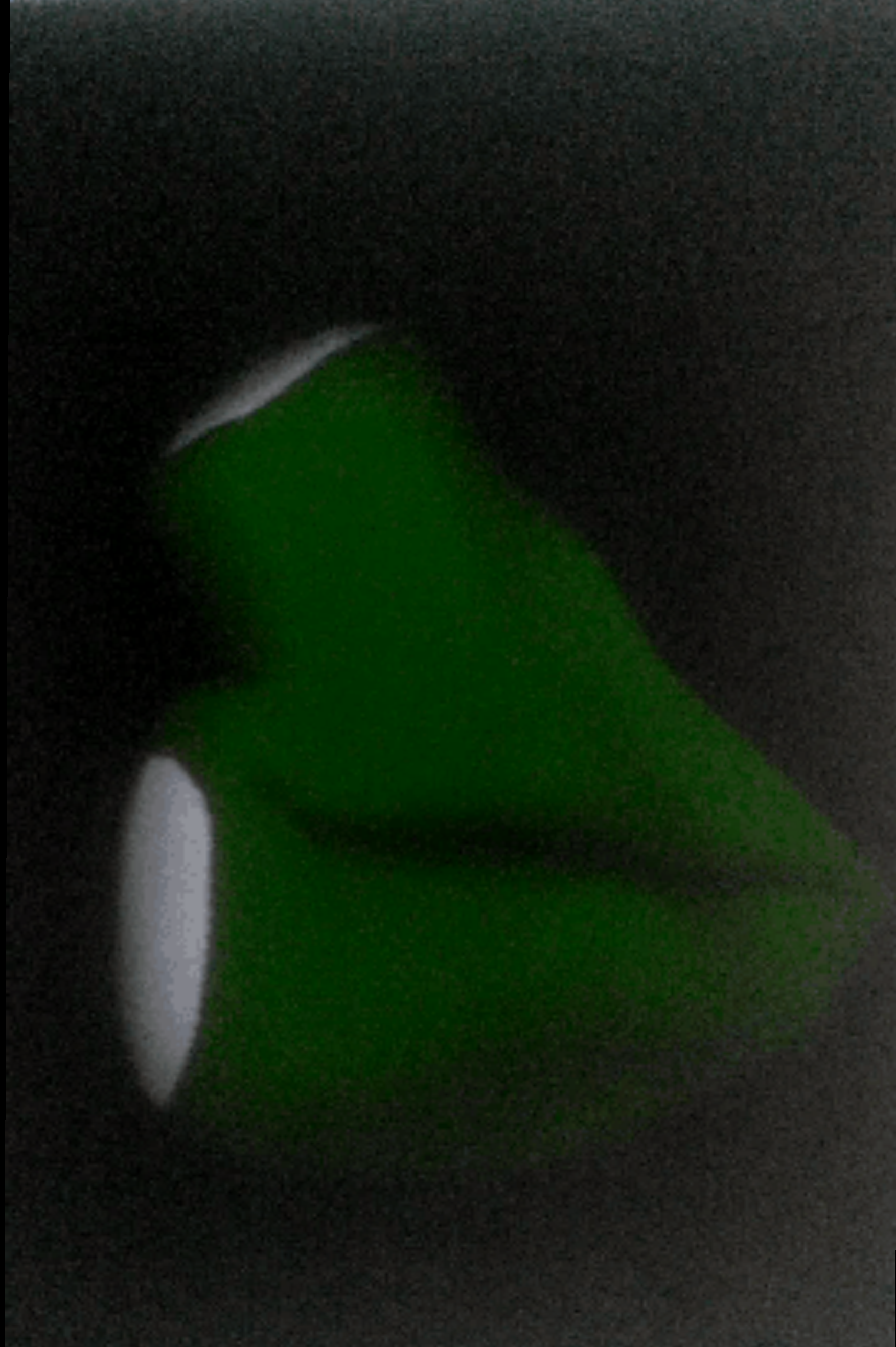




5mm



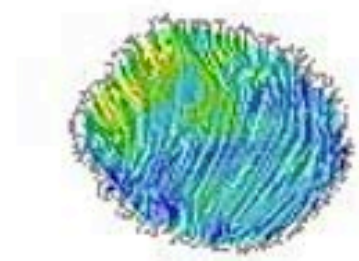
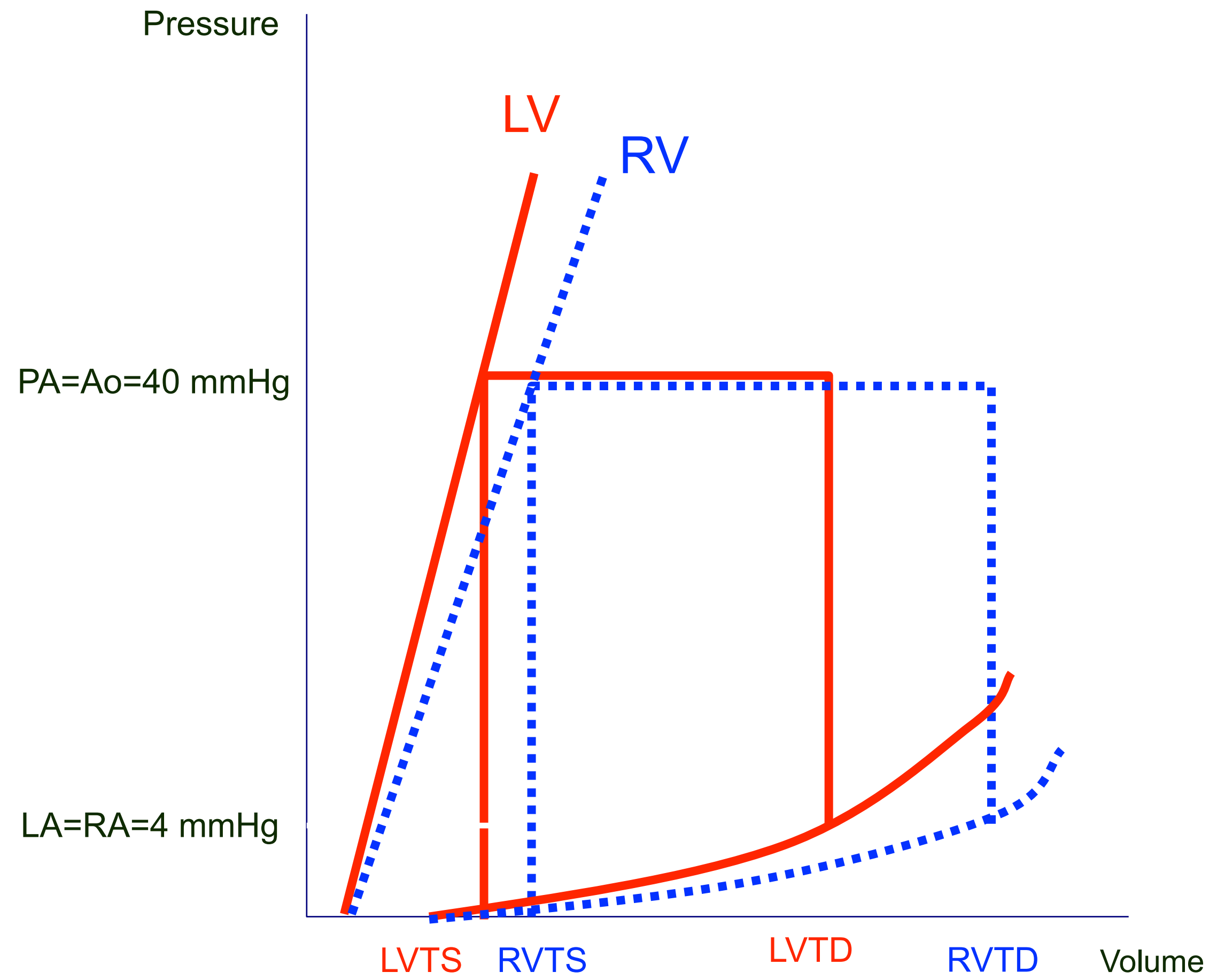




Peristaltic right ventricle contraction

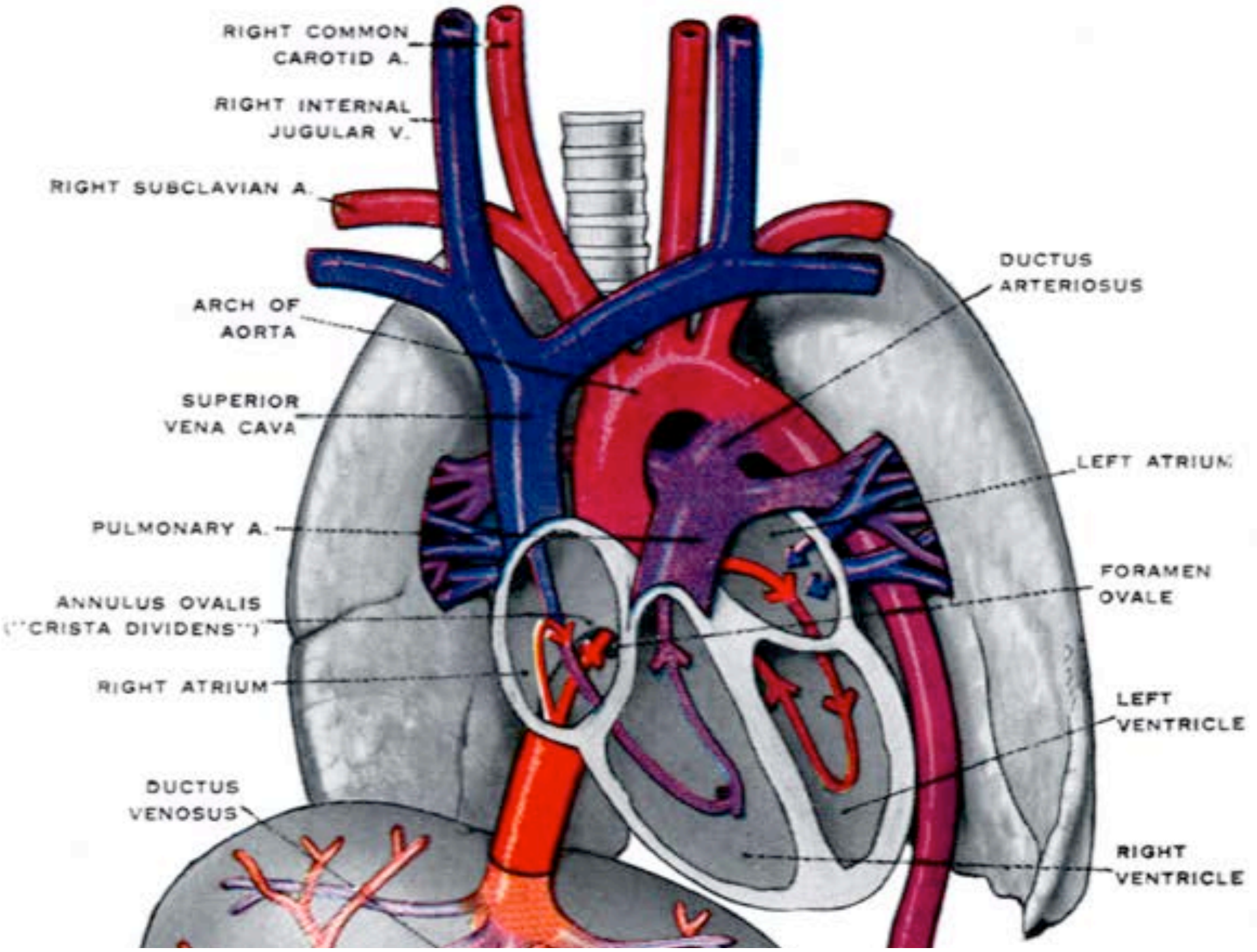
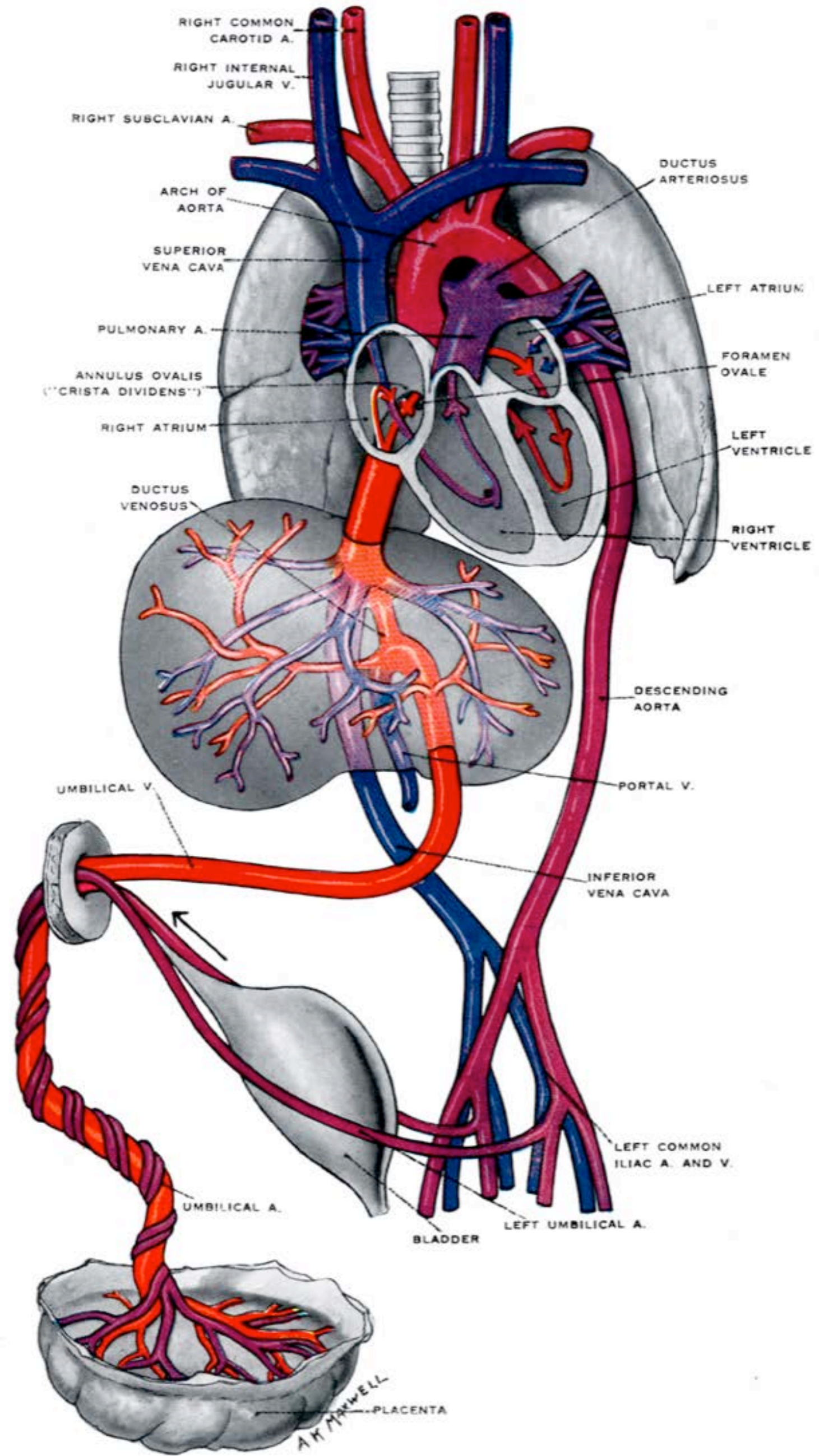
Approche de la fonction myocardique par les courbes pression-volume

Pressure volume loop in a fetus with ASD and PDA

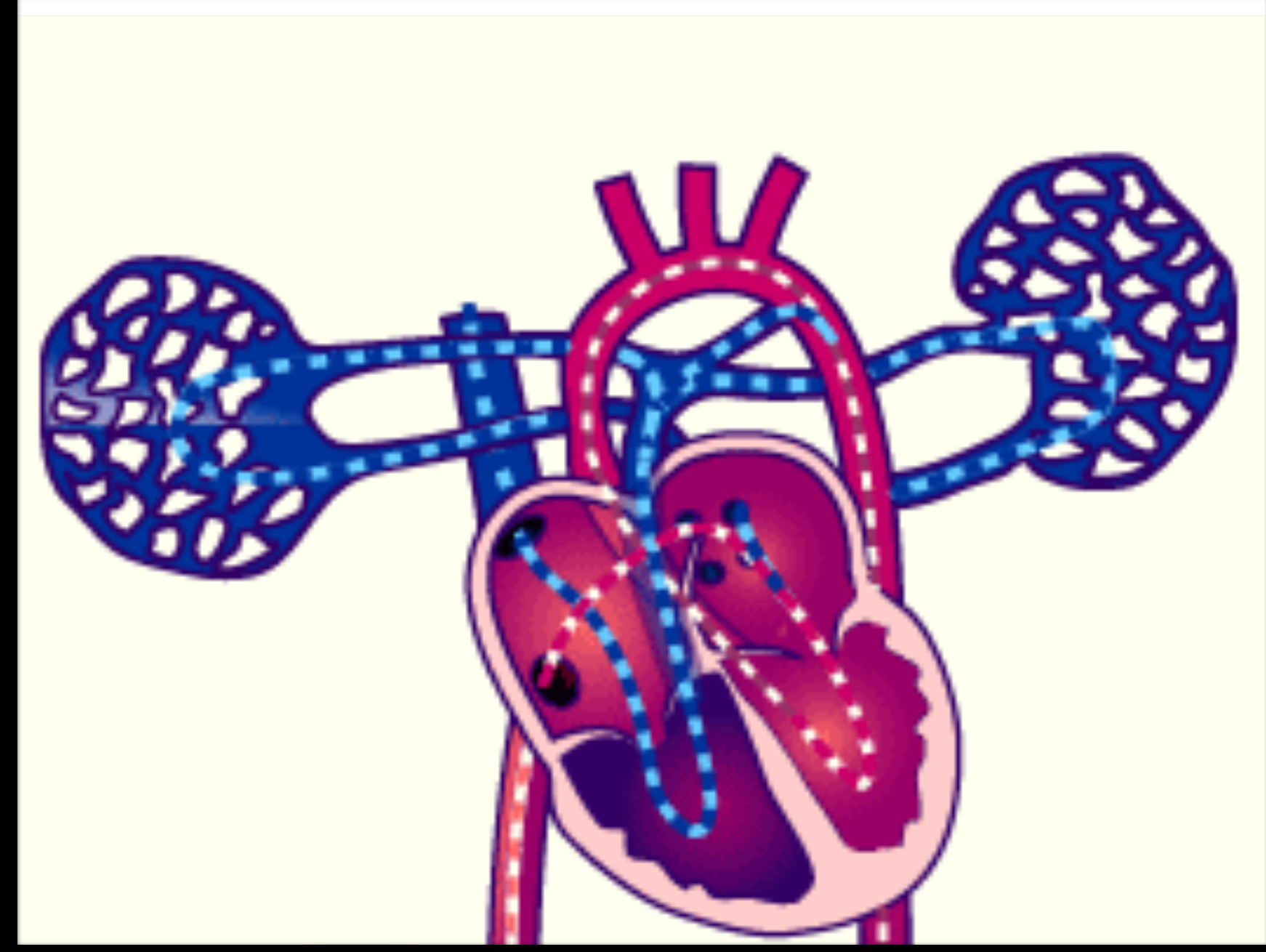
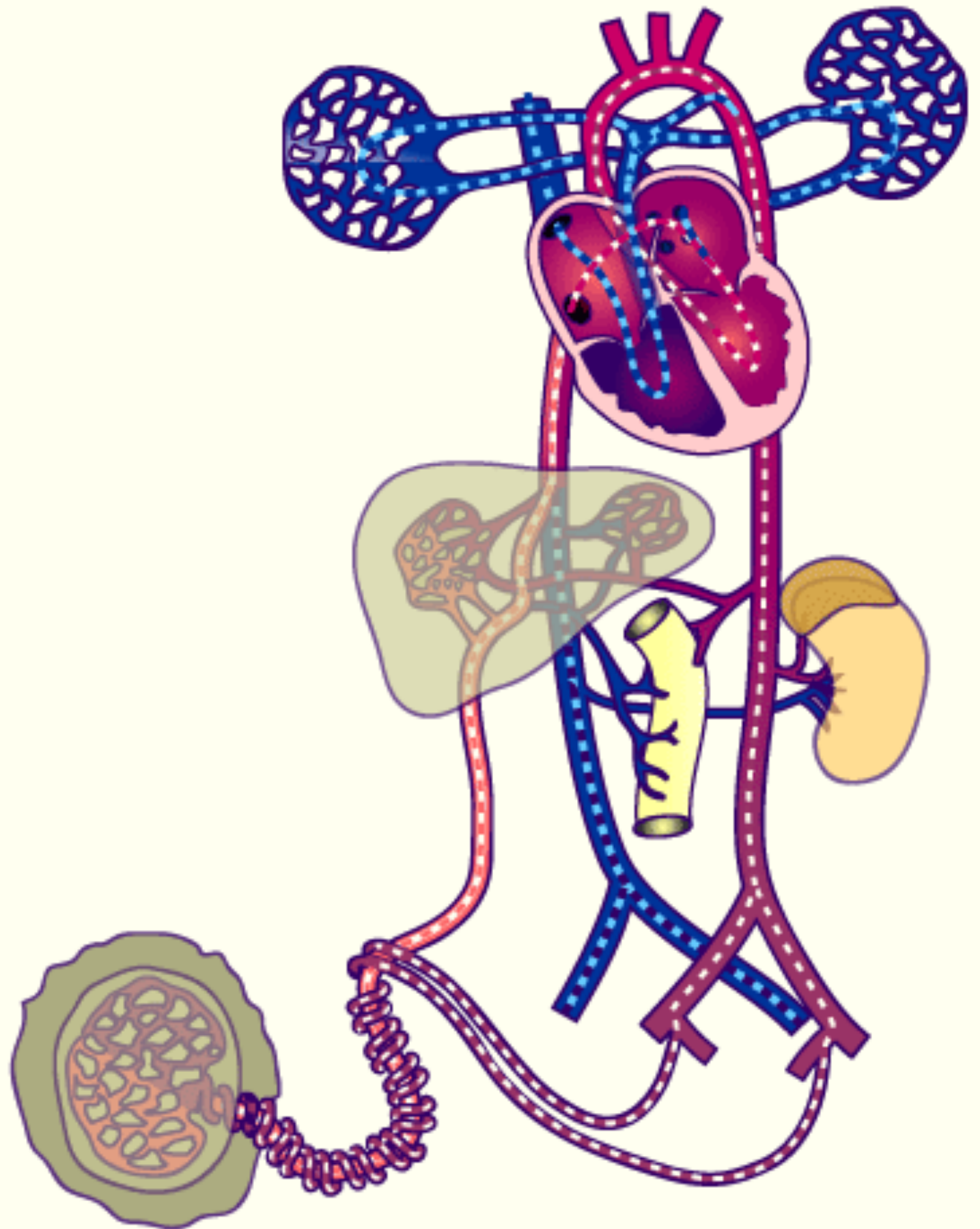


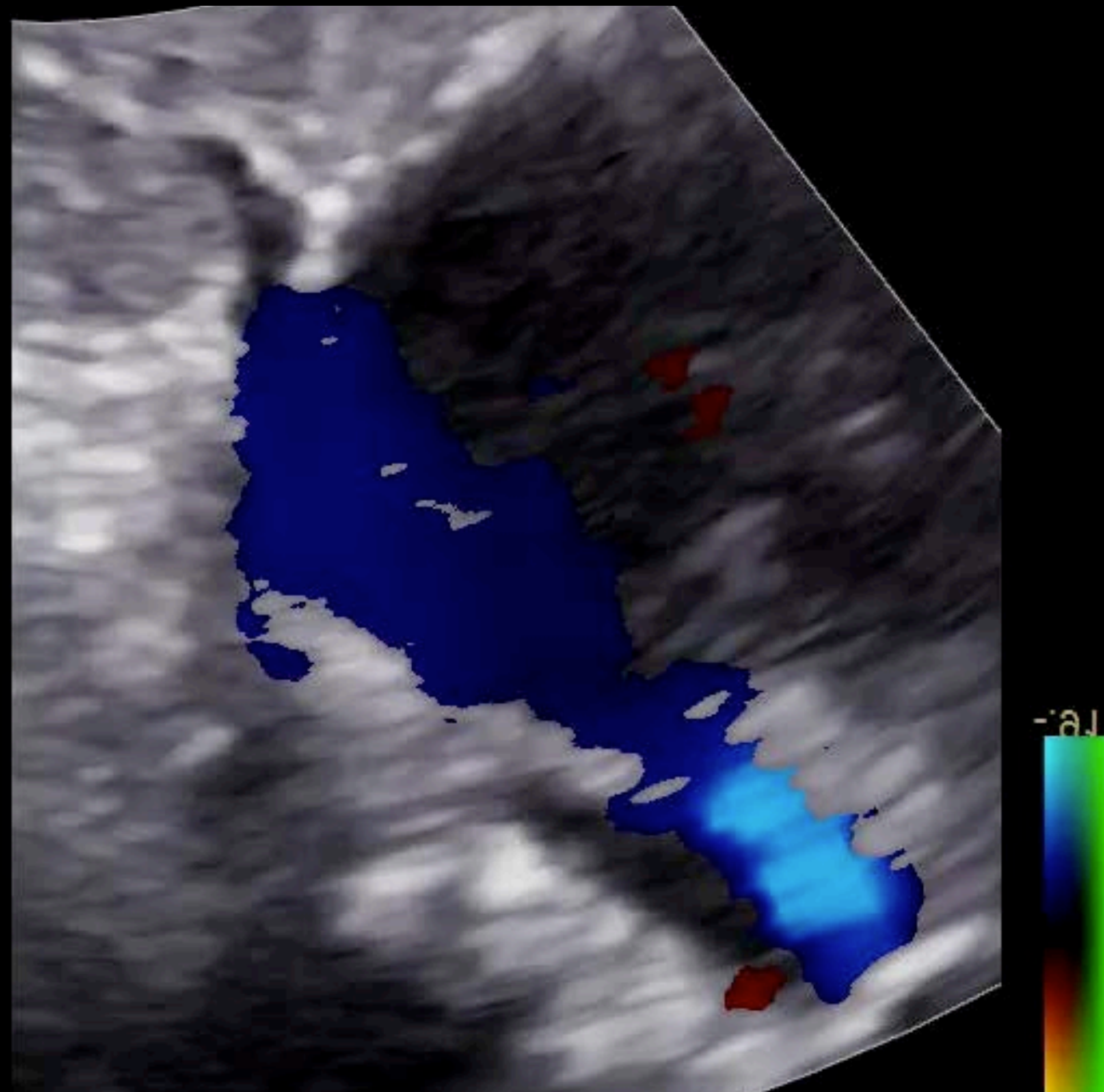
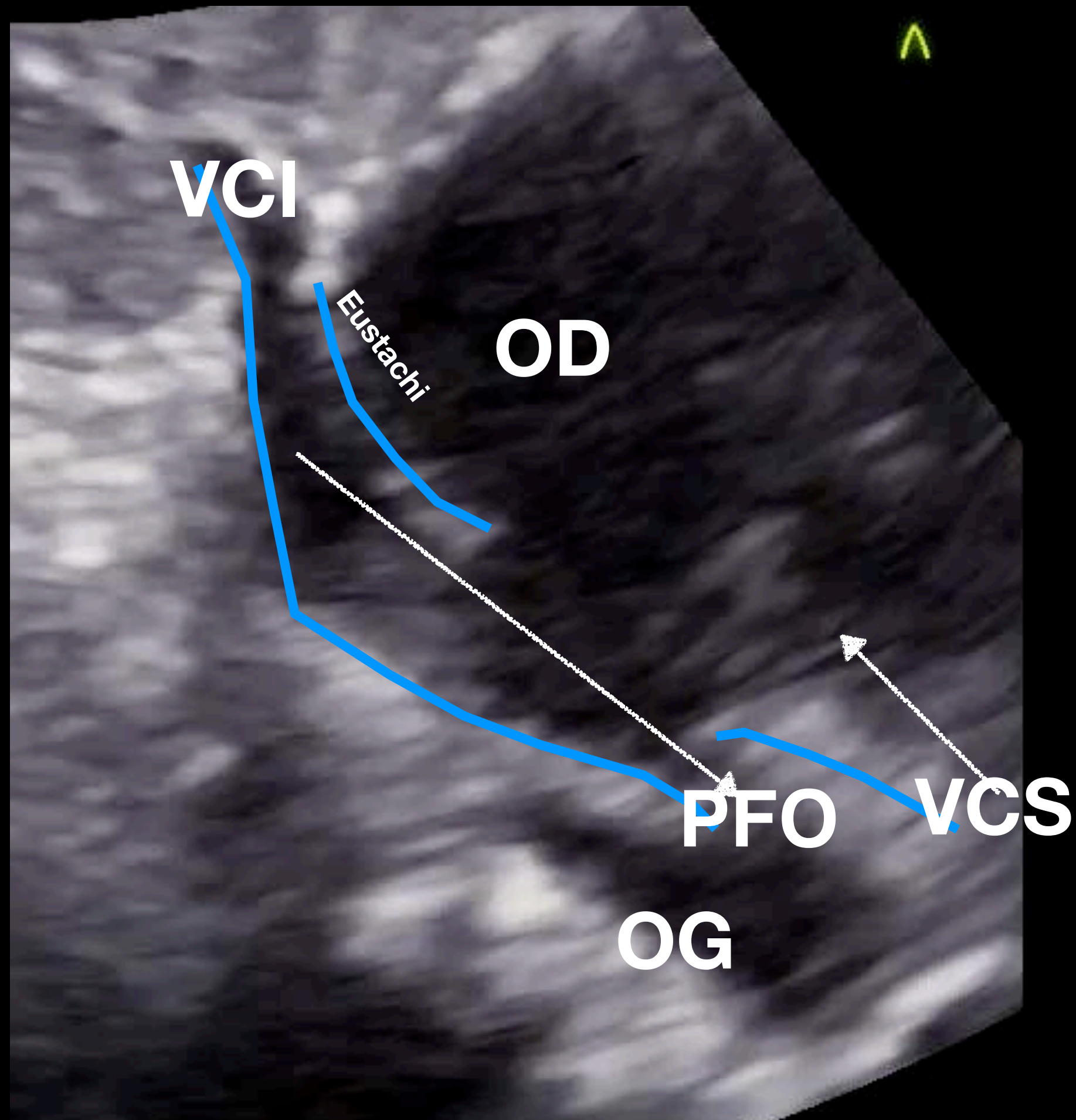
5mm

Pour l'oxygénation la circulation est presque en série

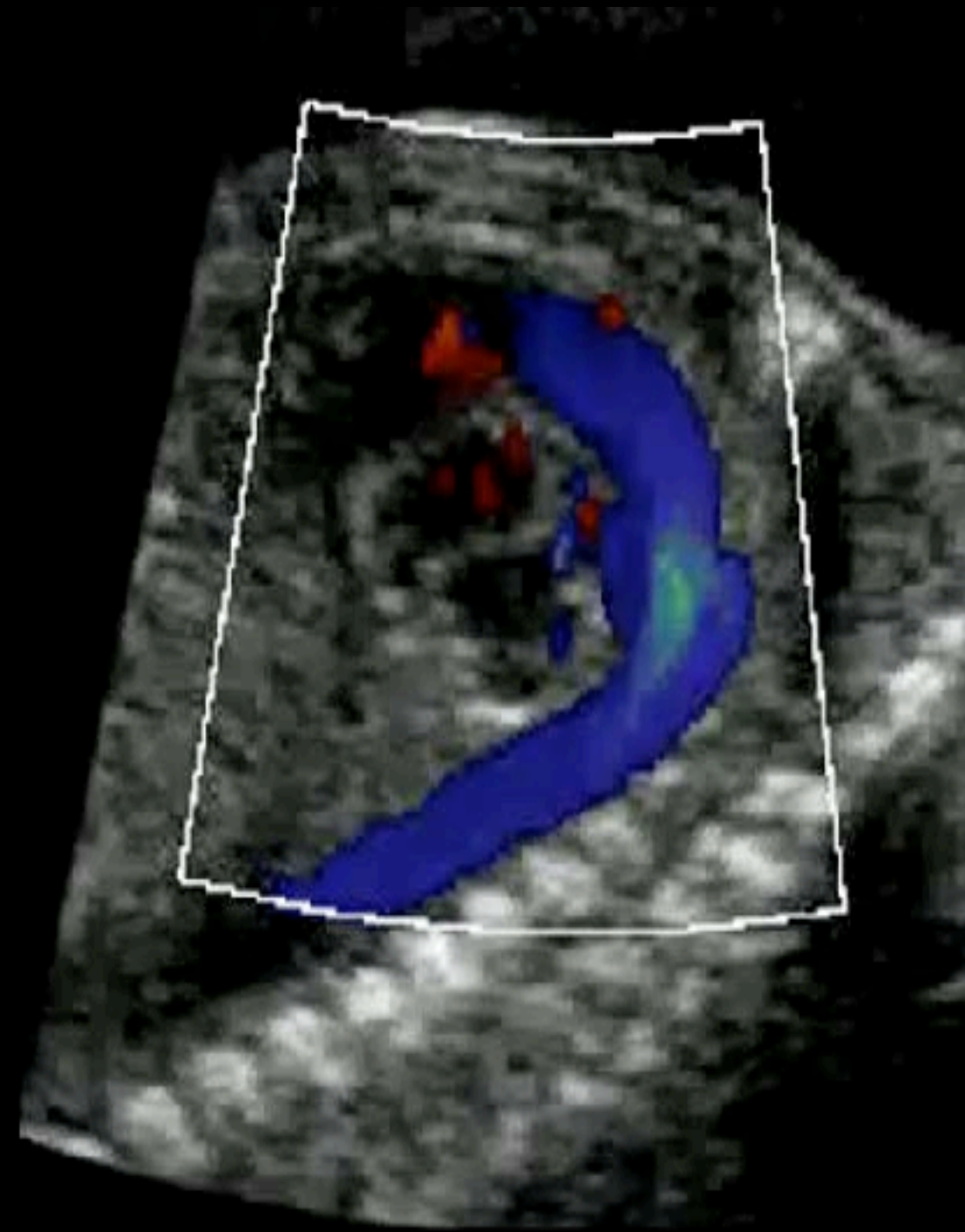


before birth

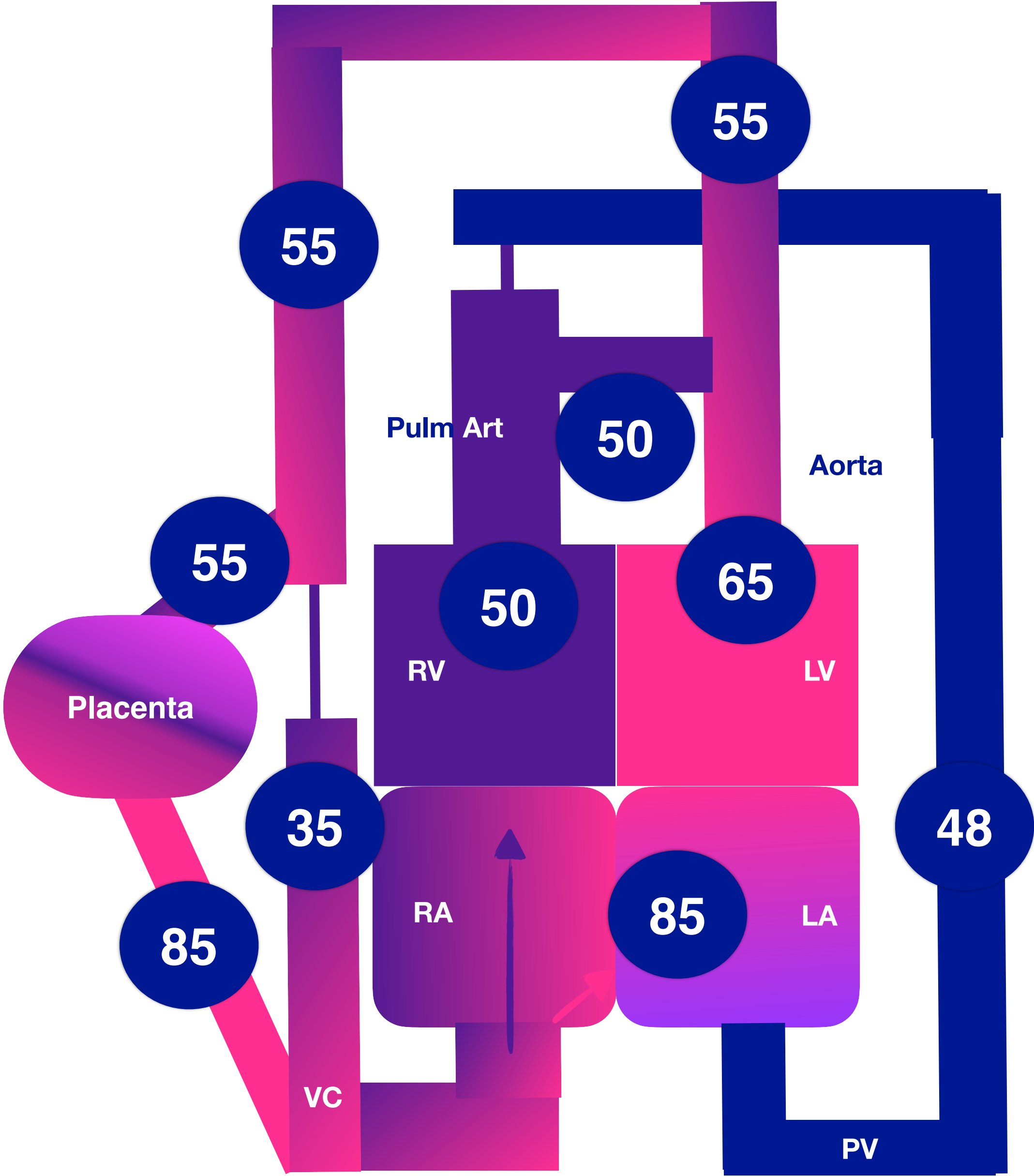


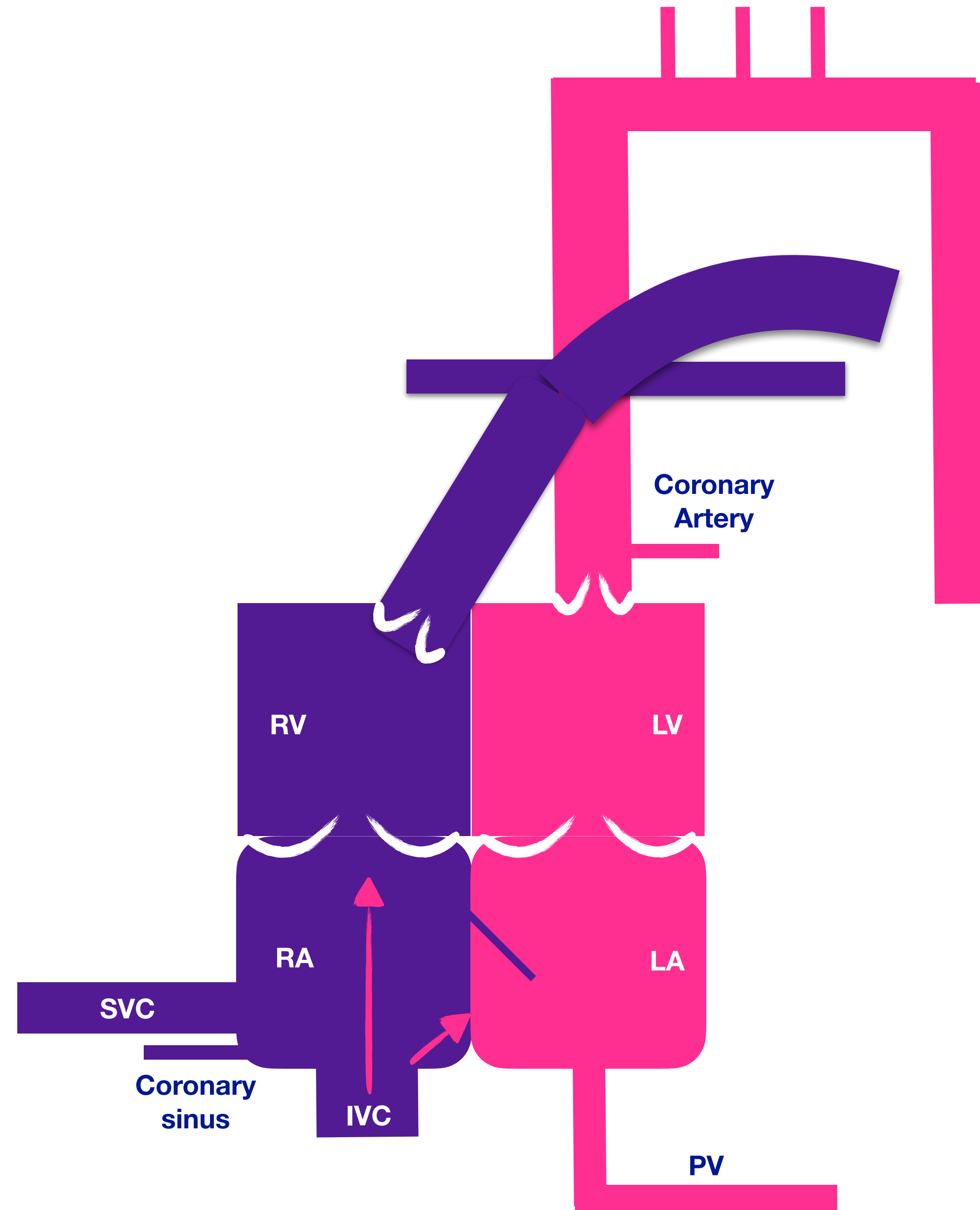


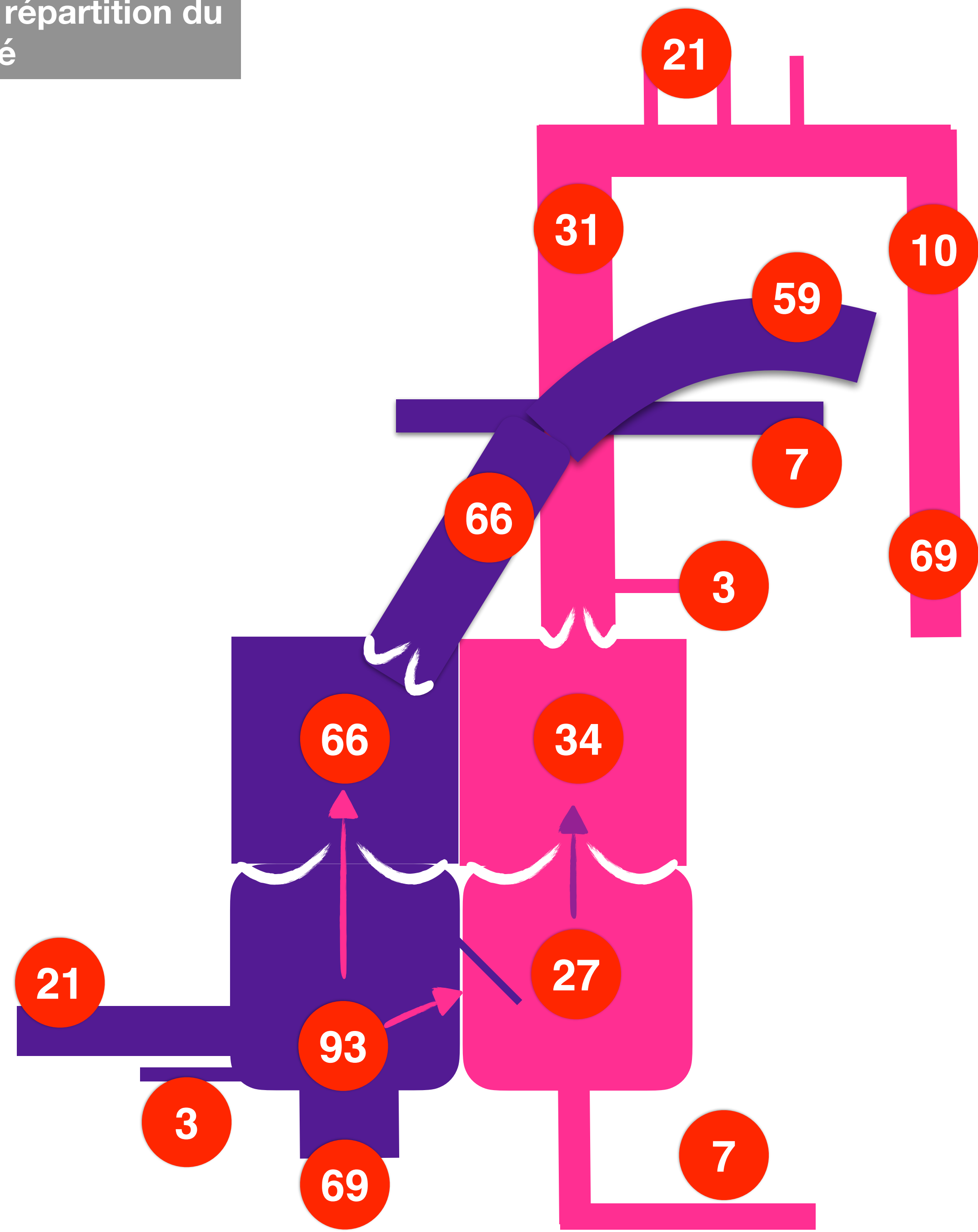
Fetal arterial duct



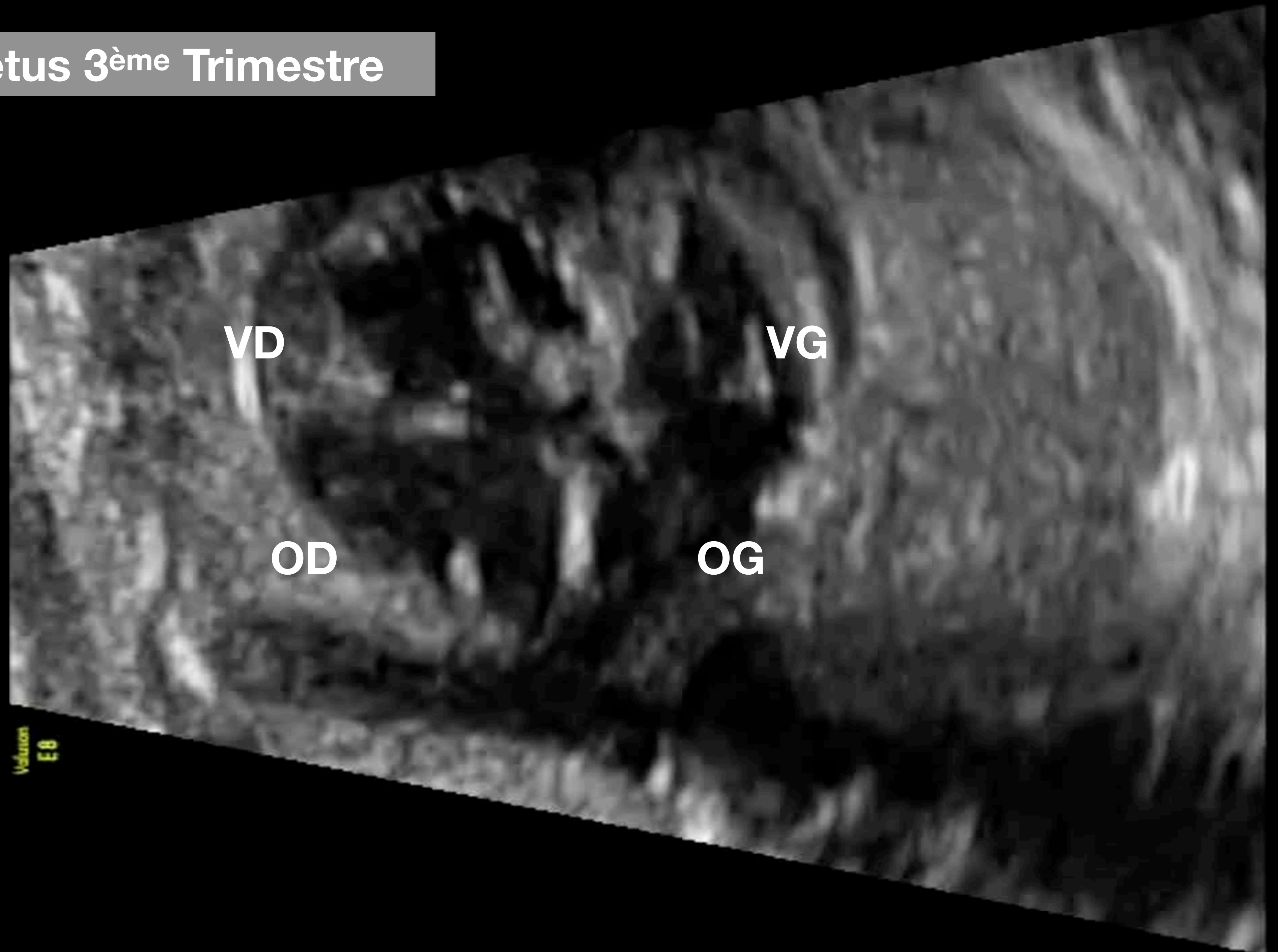
Saturations foetales







4 cavités foetus 3^{ème} Trimestre



03
M3C

Vue aorte isthmique foetus
3^{ème} Trimestre

Canal artériel

Isthme aortique

AP

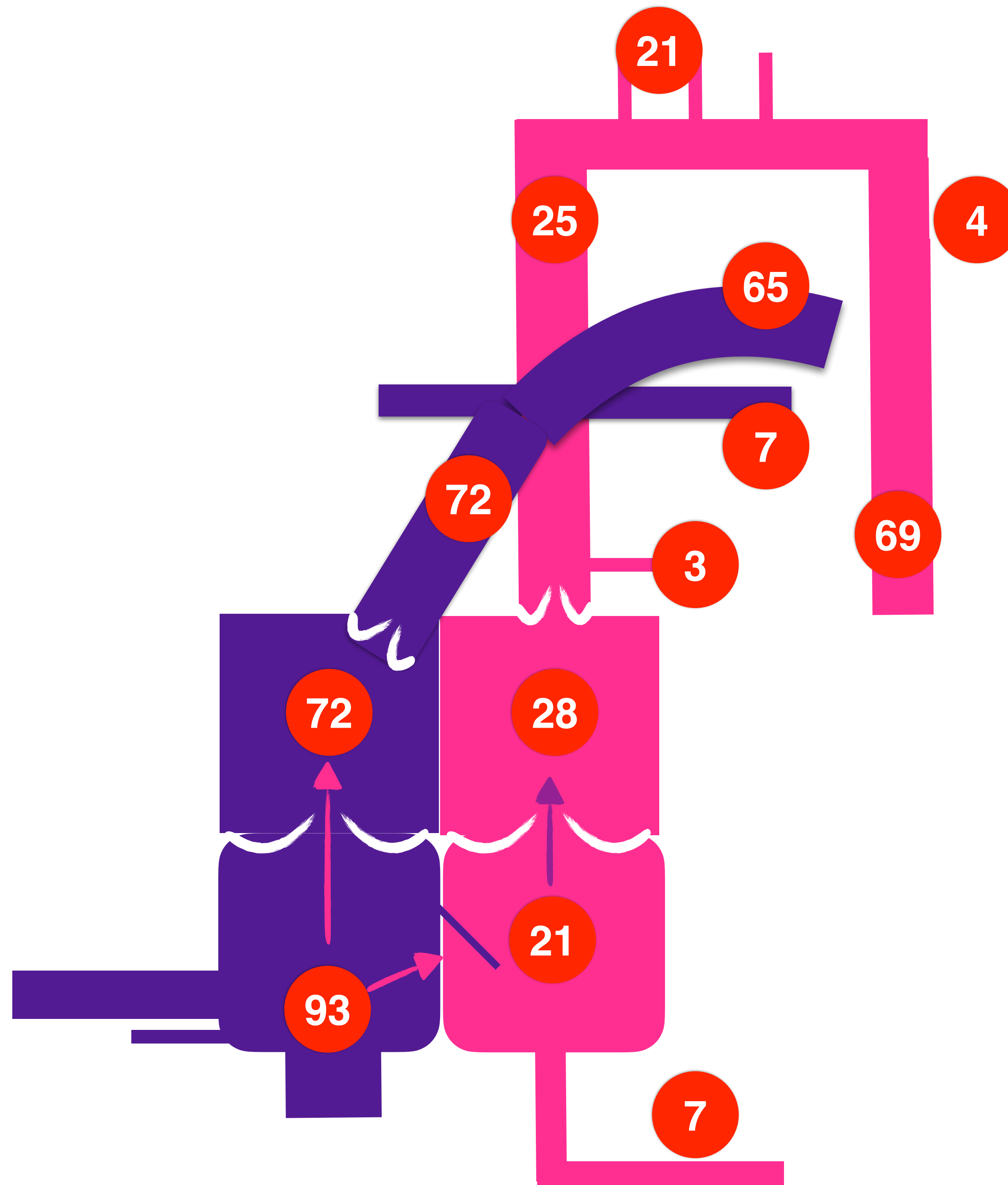
AoDes

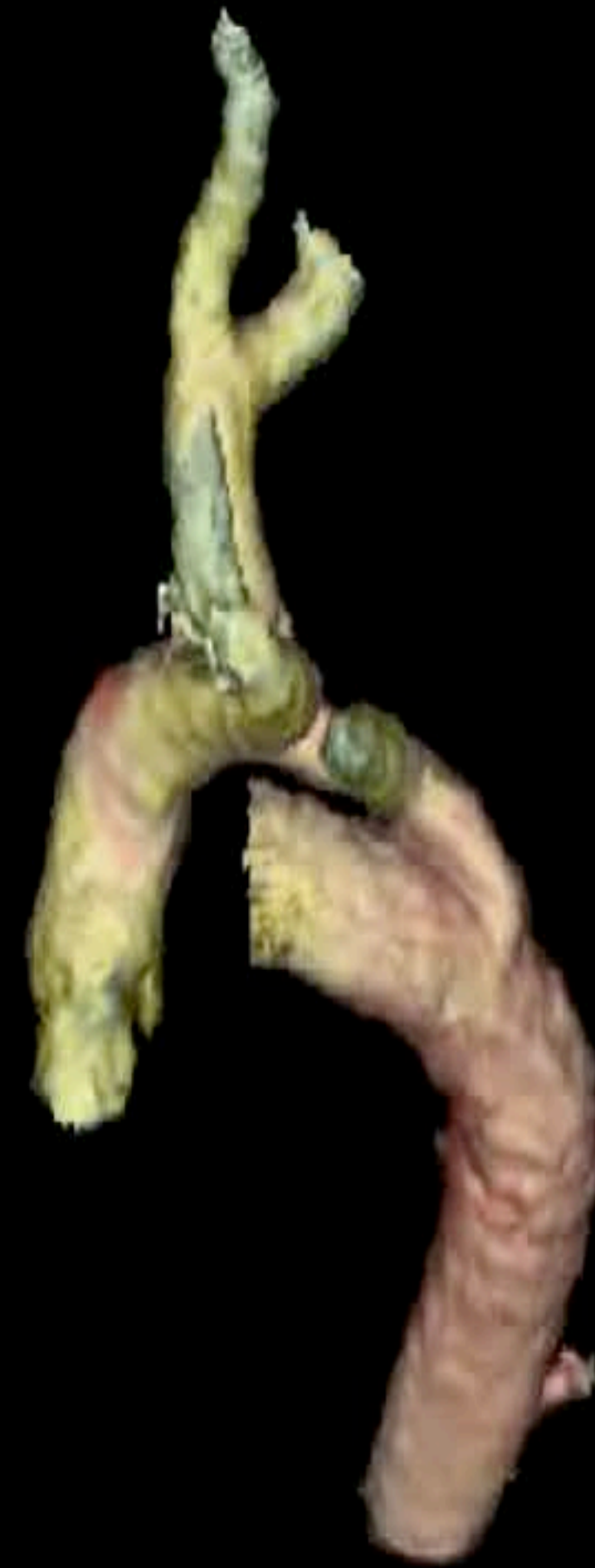
Circulation Fœtale

Force et Fragilité

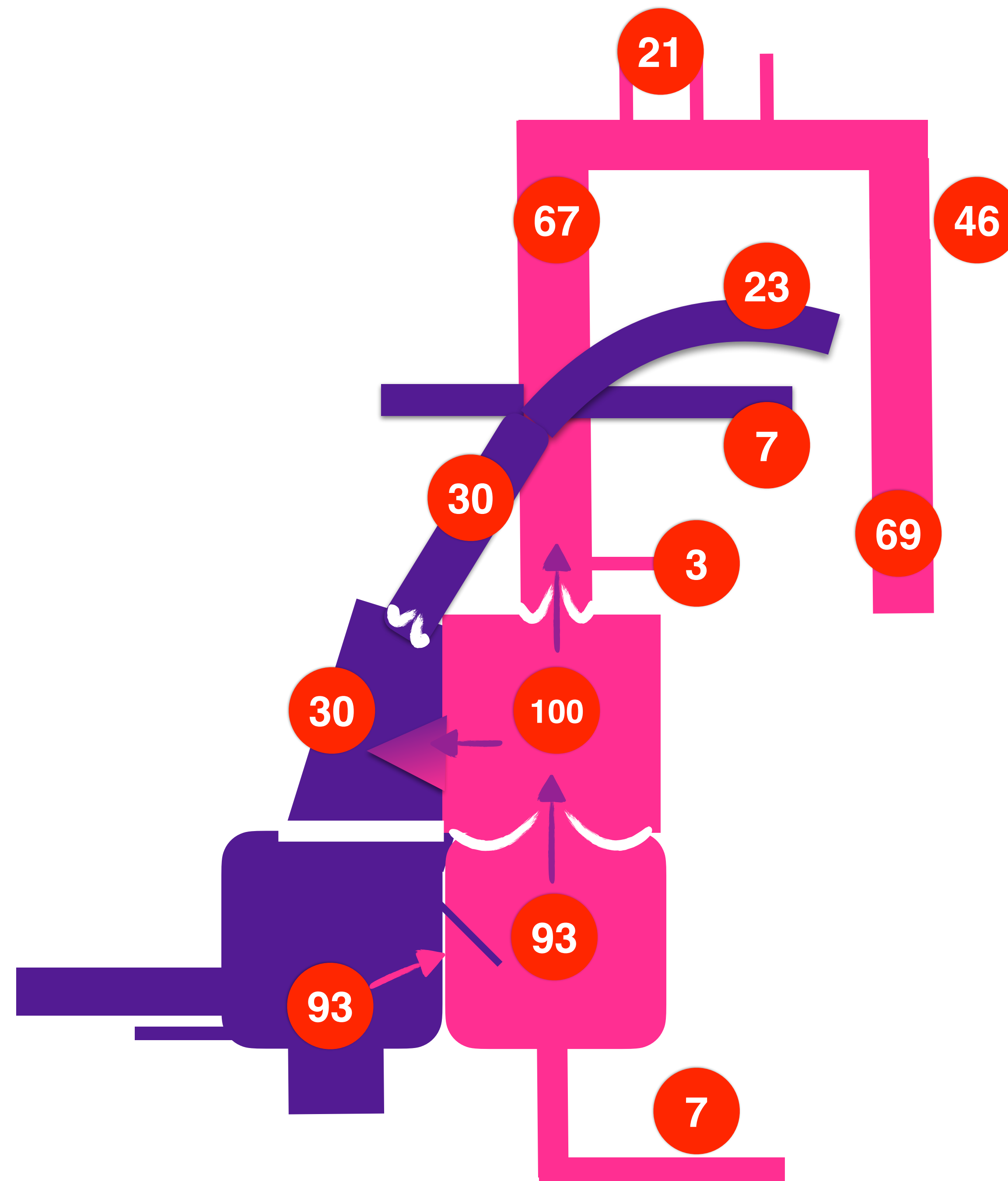
- Force pour la perfusion du fœtus
 - Possible court-circuit d'un ventricule
 - Les discordances A-V ou V-A sont bien tolérées
- Fragilité pour la circulation post-natale
 - L'harmonie du cœur est menacée par des lésions mineures
 - Les cercles vicieux s'installent rapidement

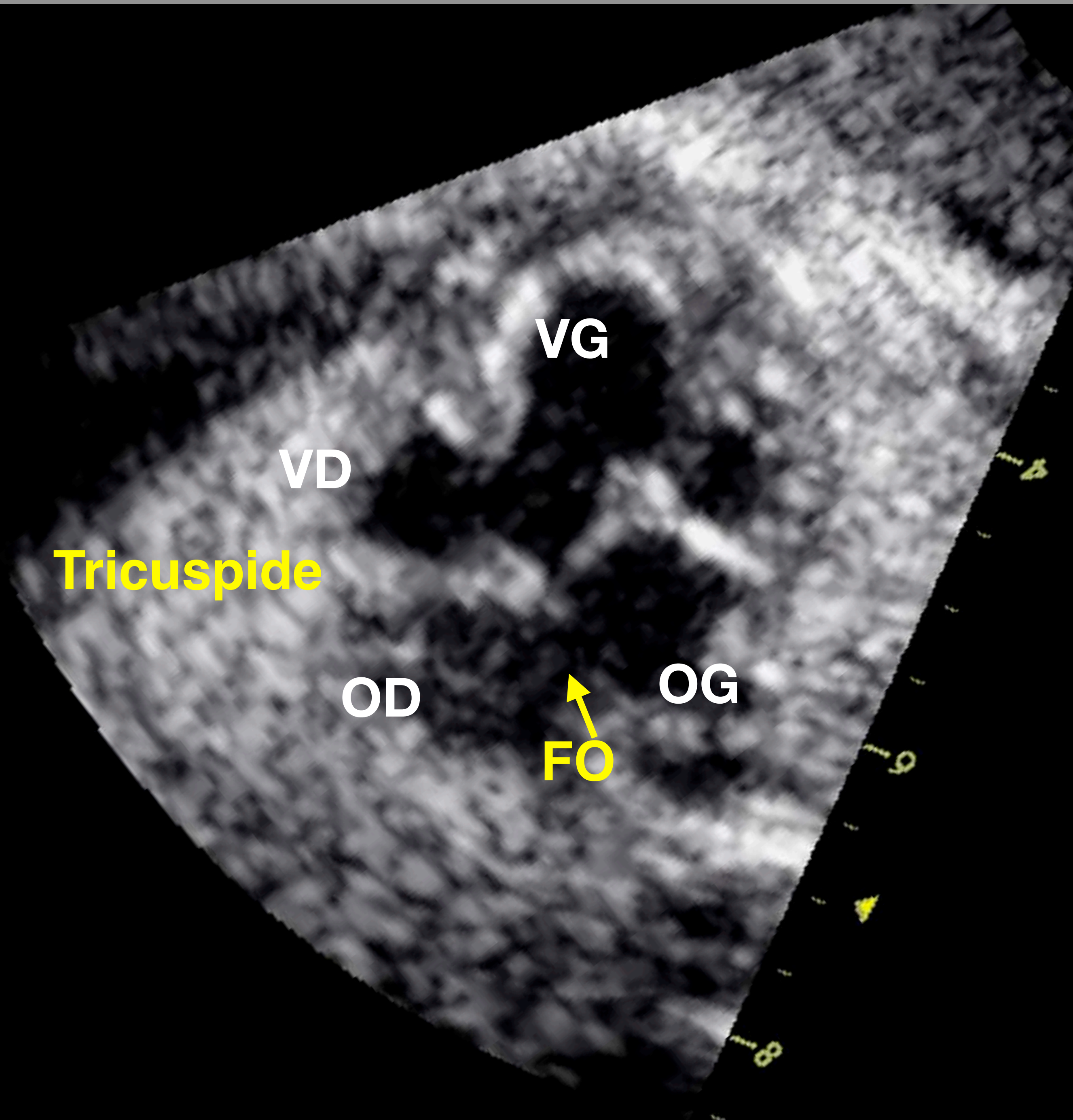
Conséquences développementales
des anomalies de la répartition du
débit sanguin foetal combiné



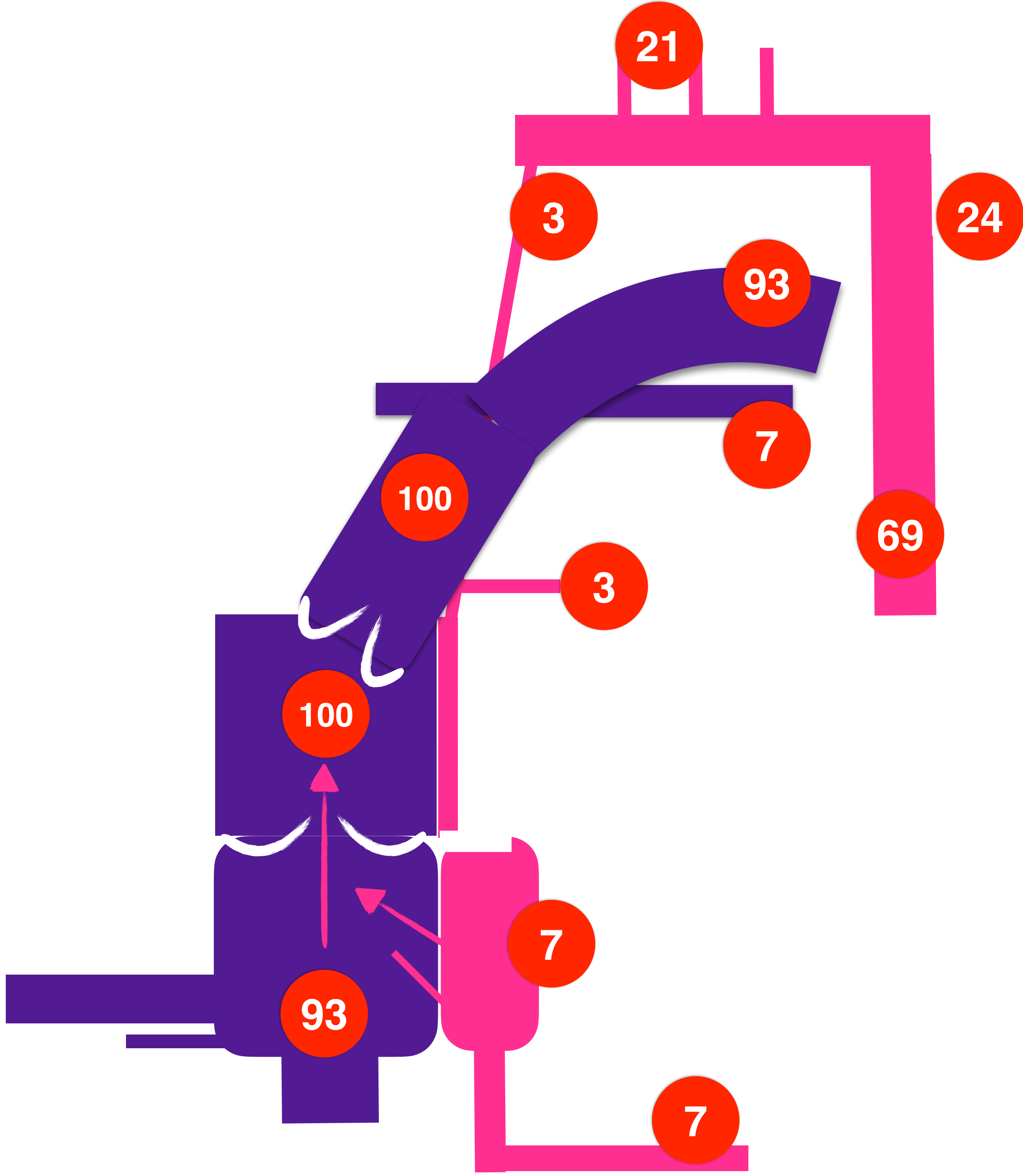


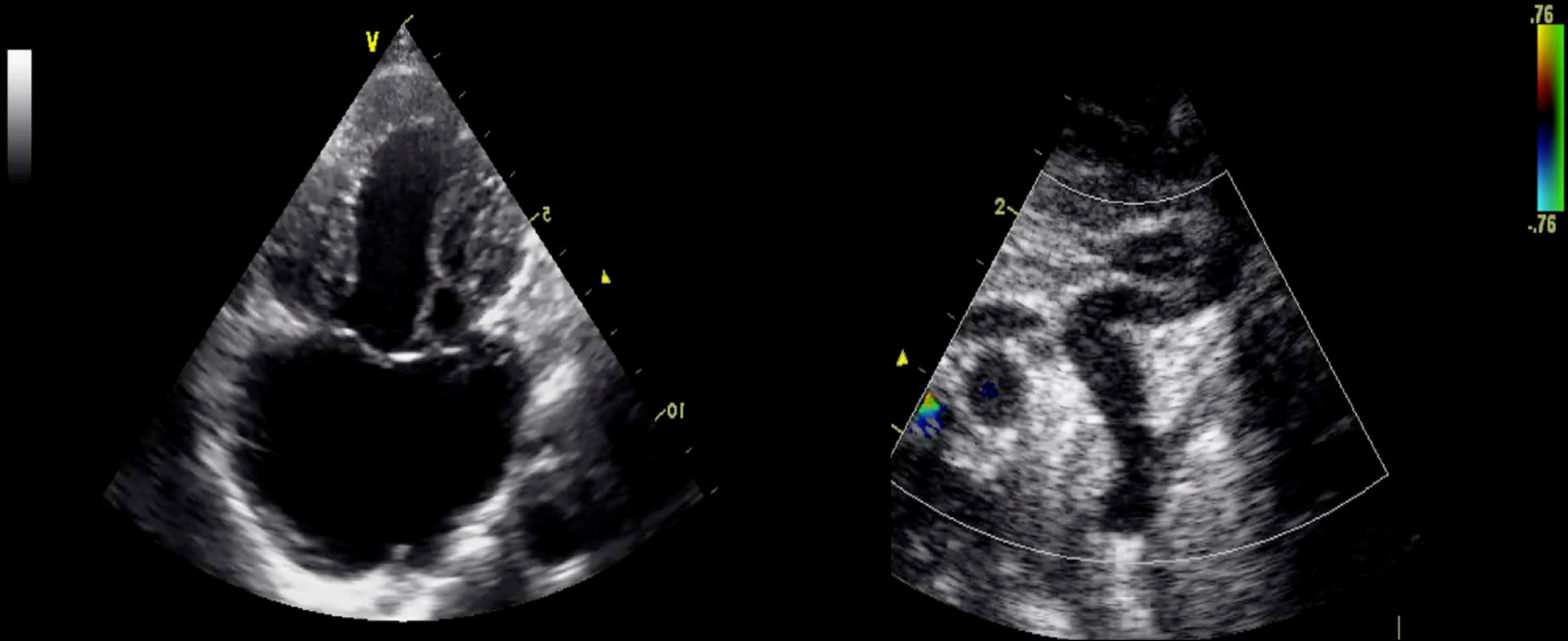
Conséquences développementales
des anomalies de la répartition du
débit sanguin foetal combiné
Atrésie tricuspide Ib





Conséquences développementales
des anomalies de la répartition du
débit sanguin foetal combiné
Hypoplasie du coeur gauche

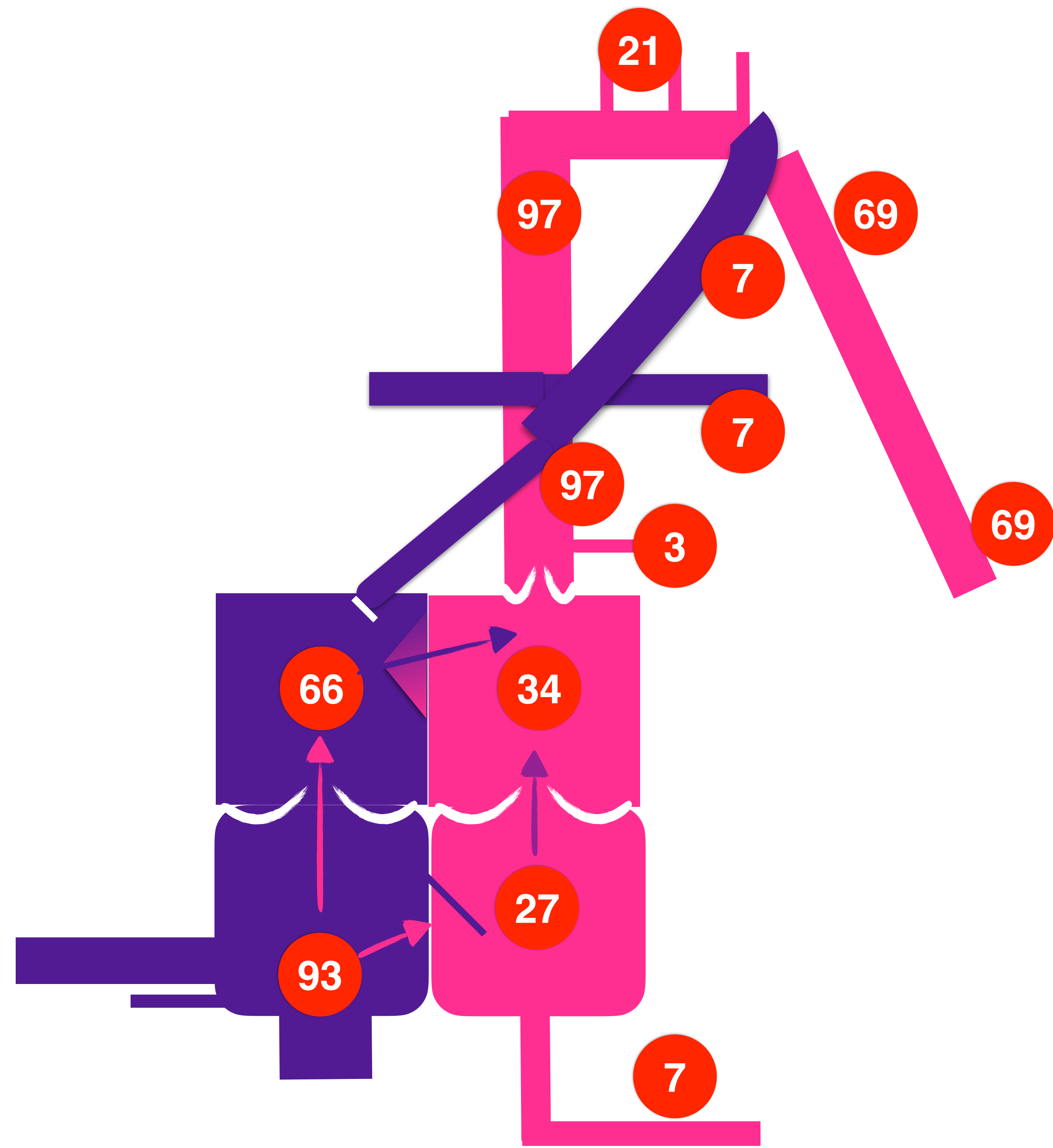




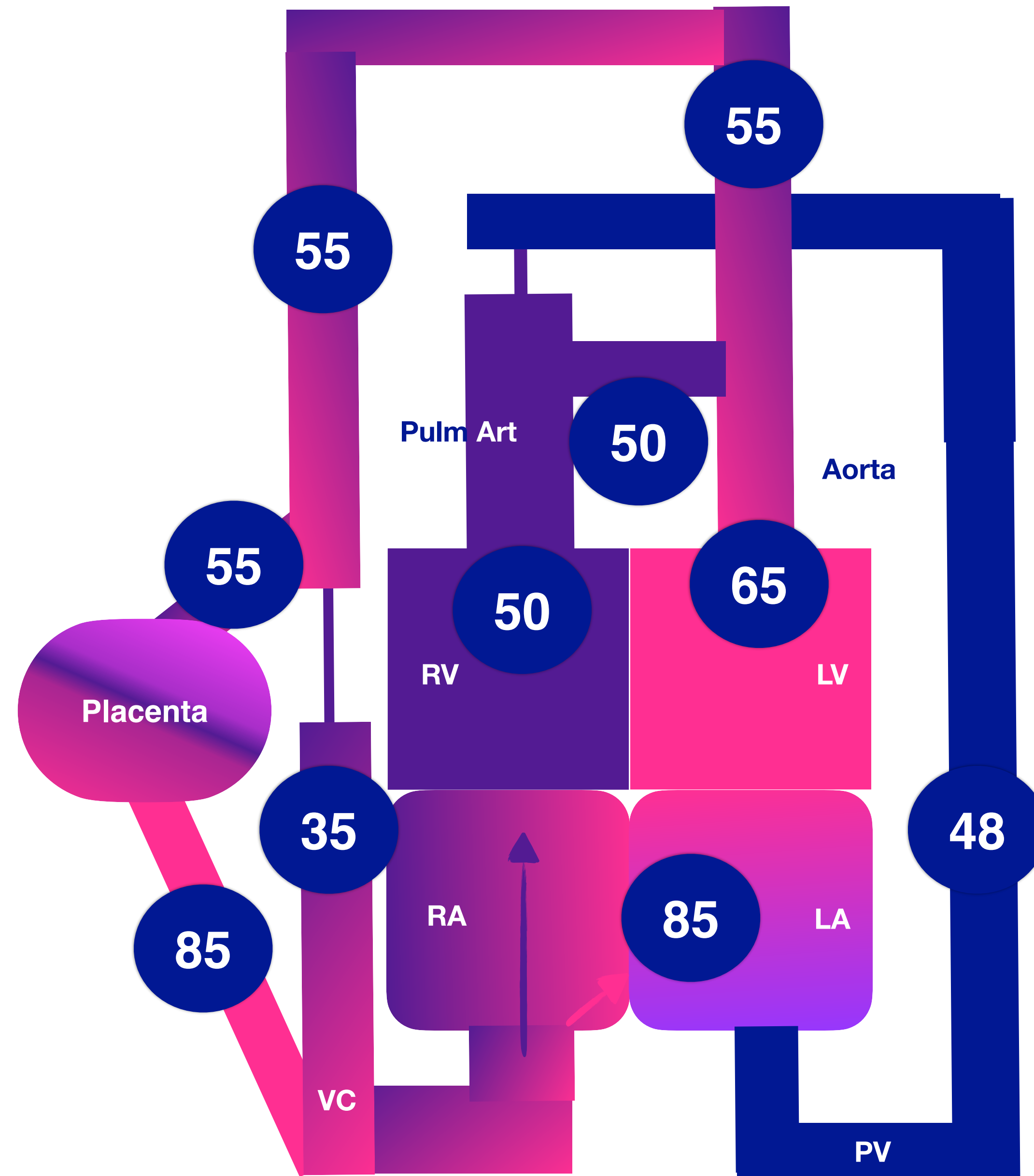
Hypoplastic left heart syndrome-Aortic atresia



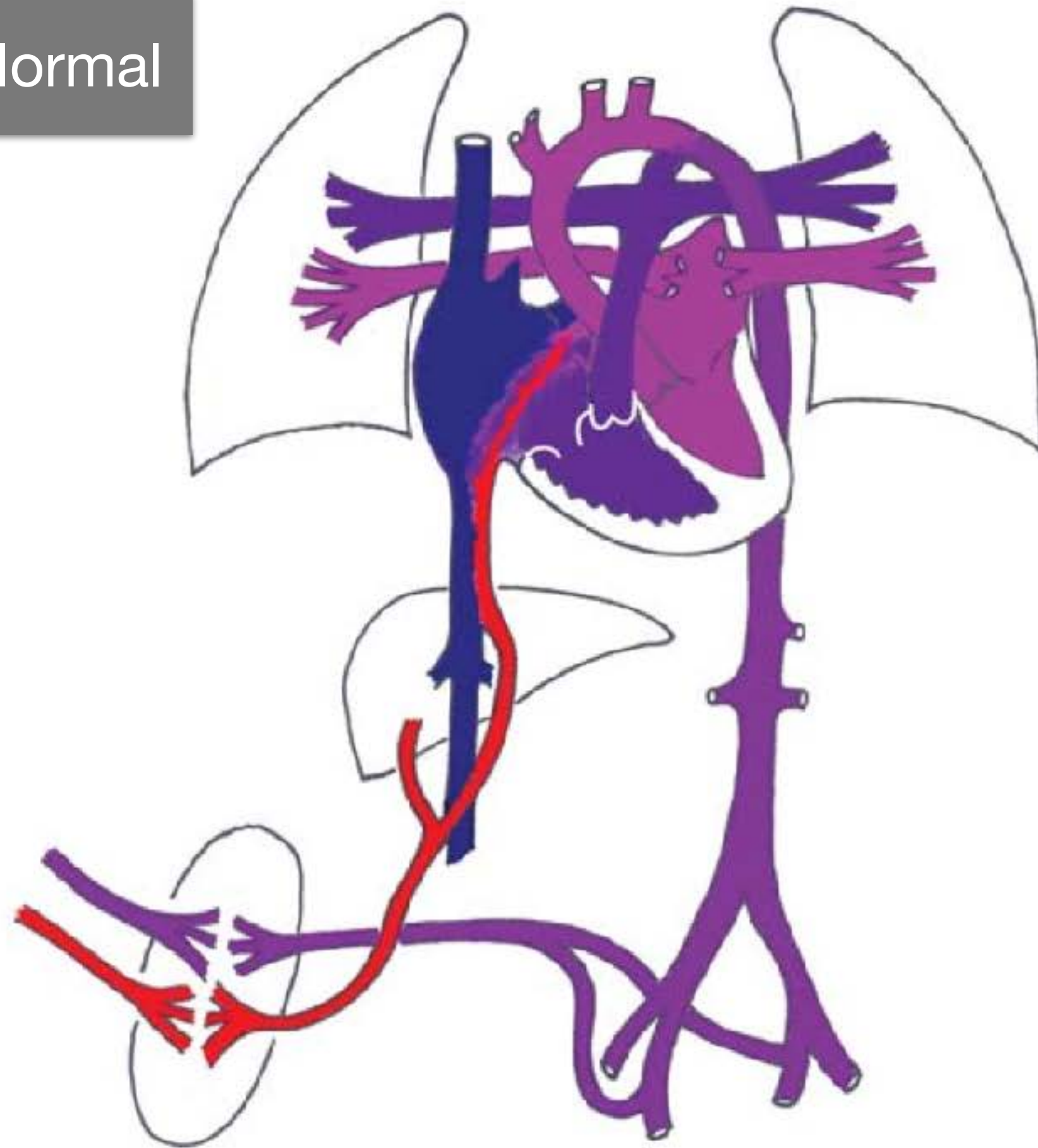
Conséquences développementales
des anomalies de la répartition du
débit sanguin foetal combiné
Atrésie pulmonaire avec CIV



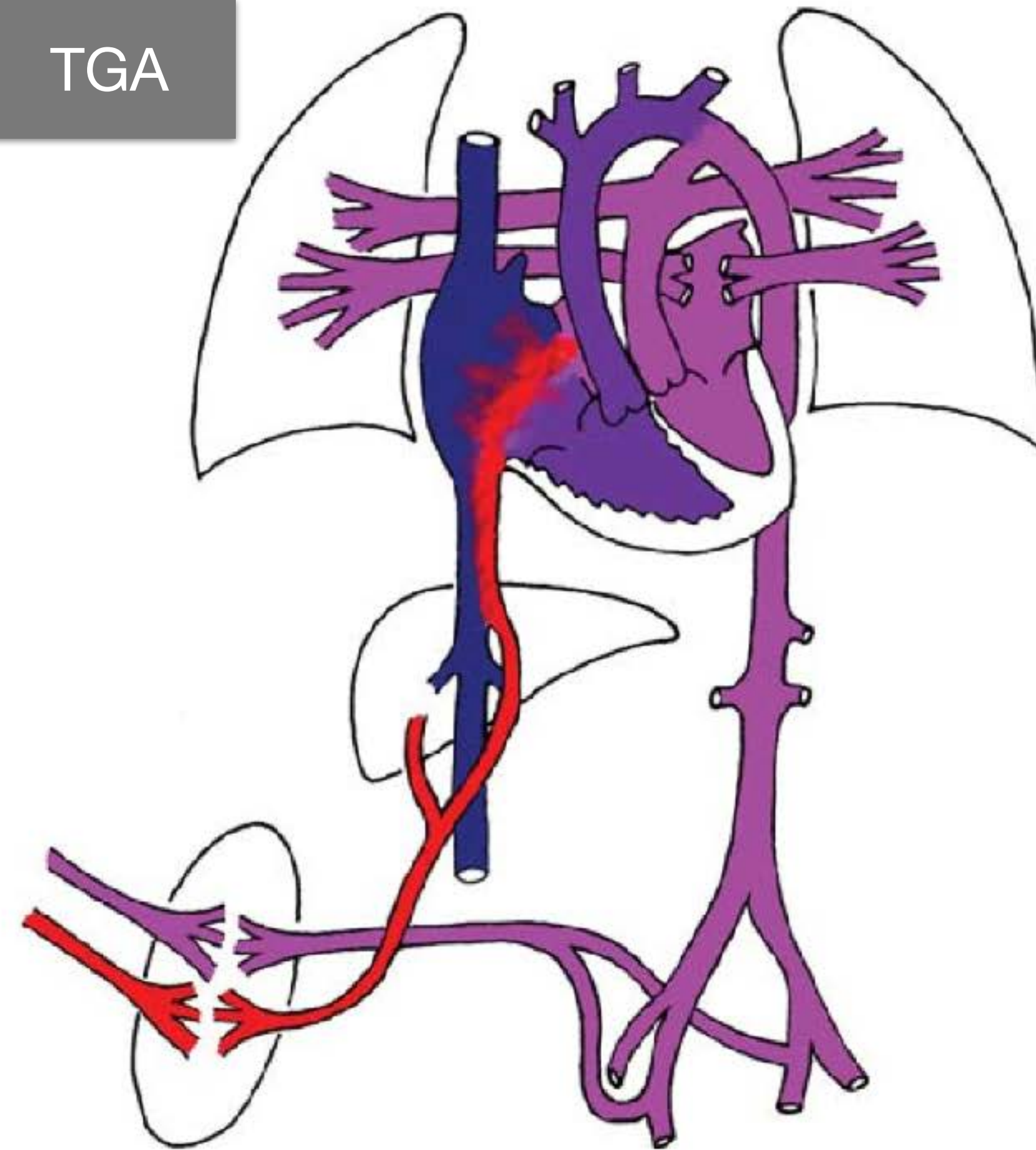


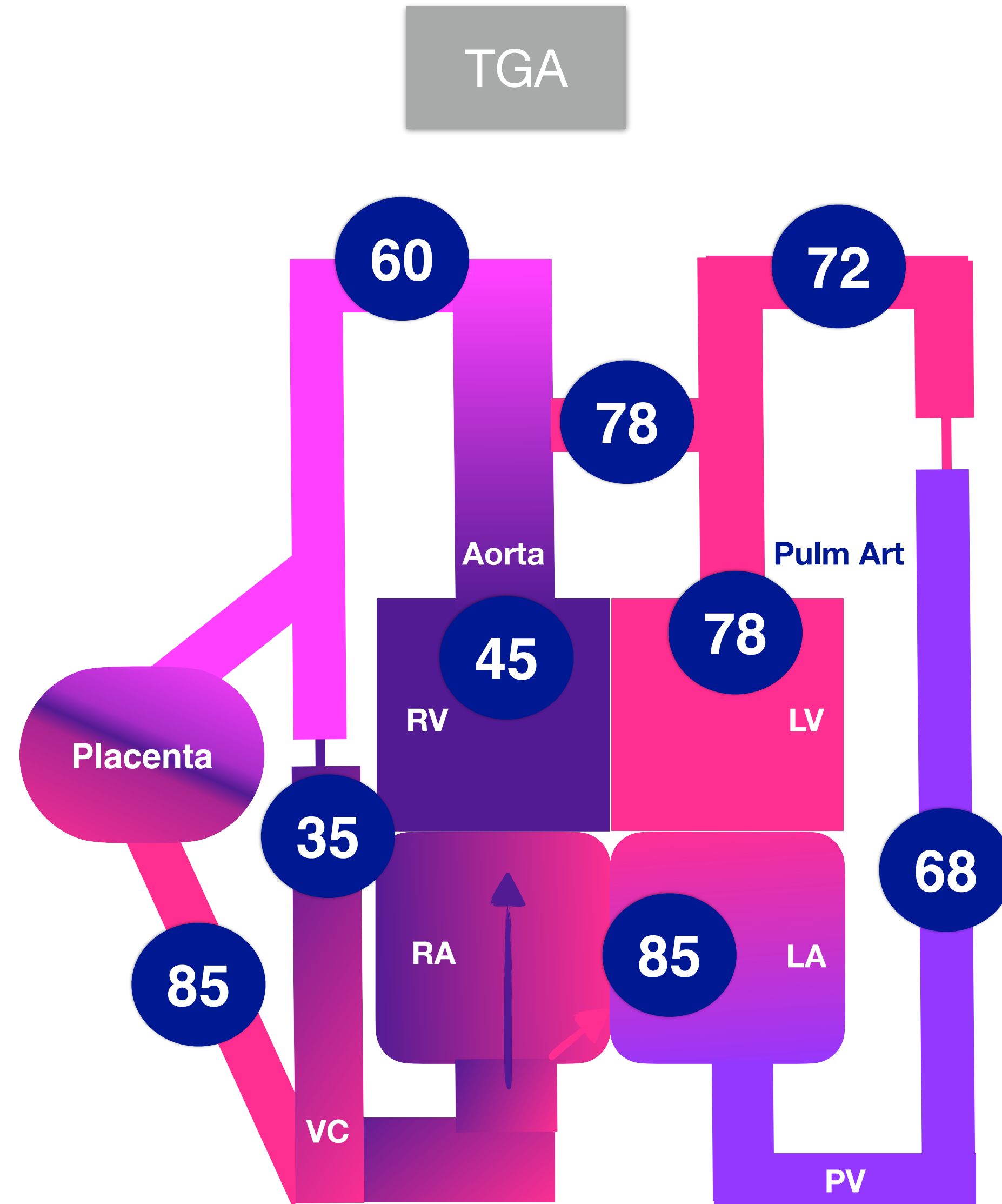
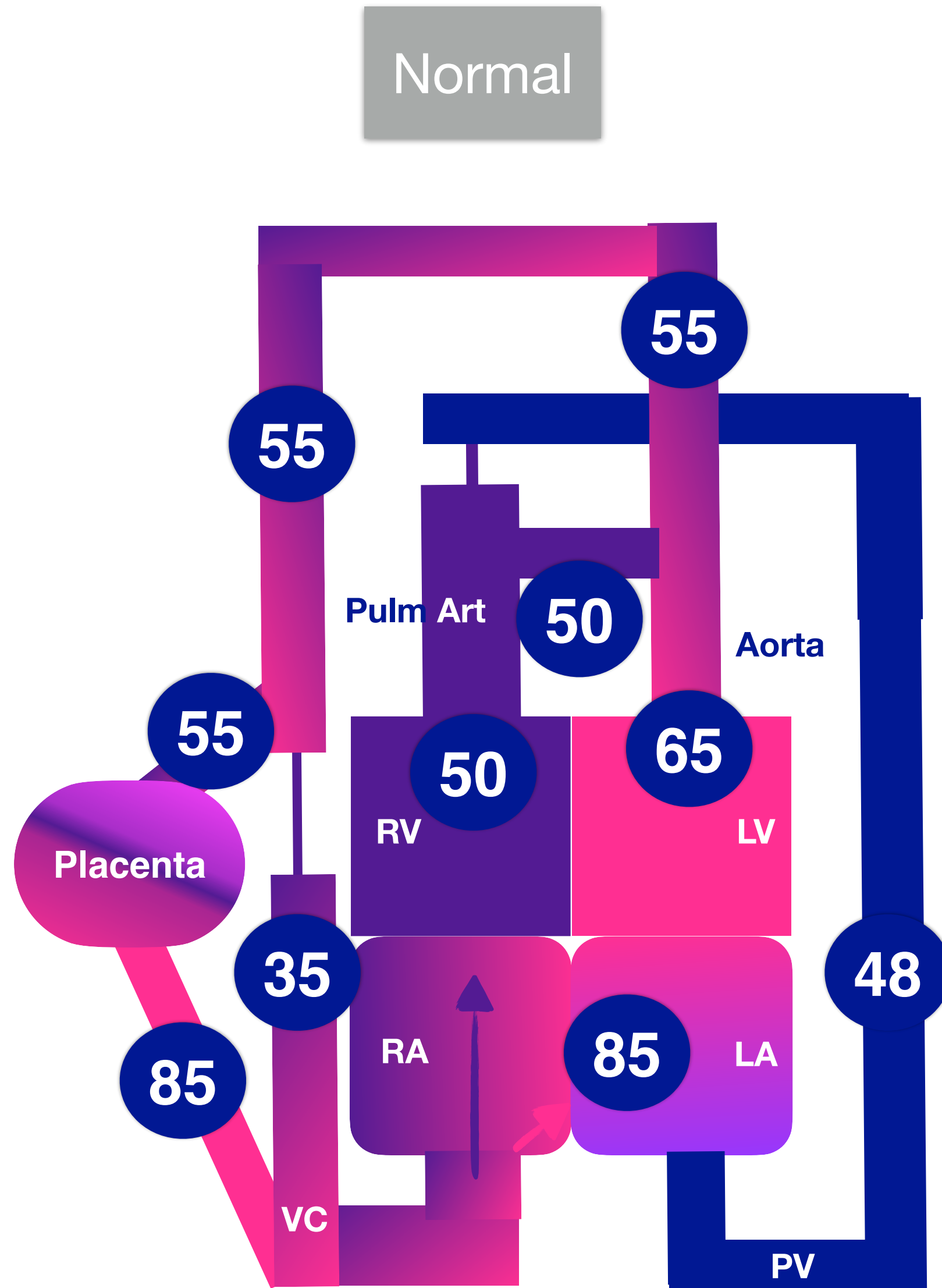


Normal



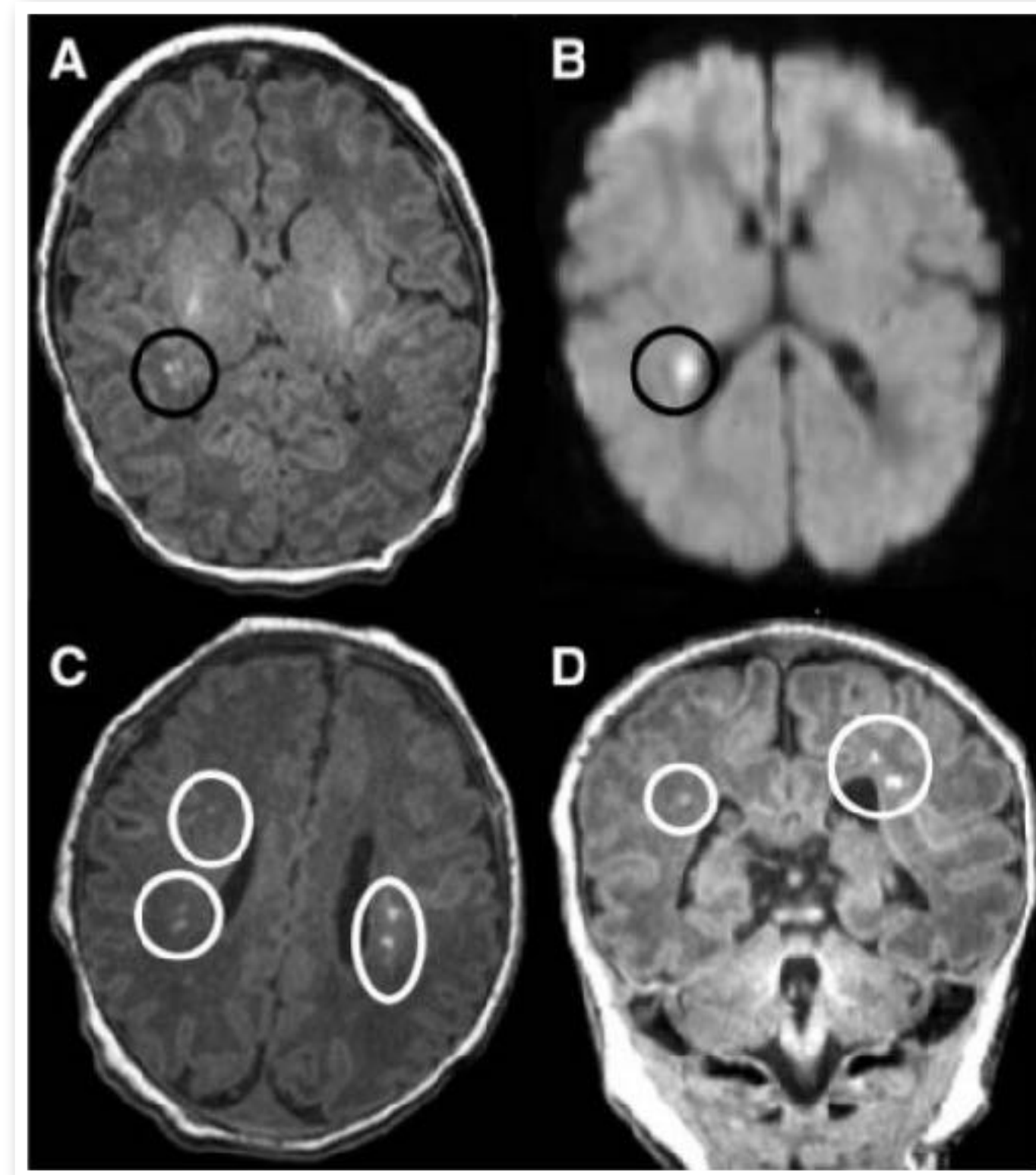
TGA





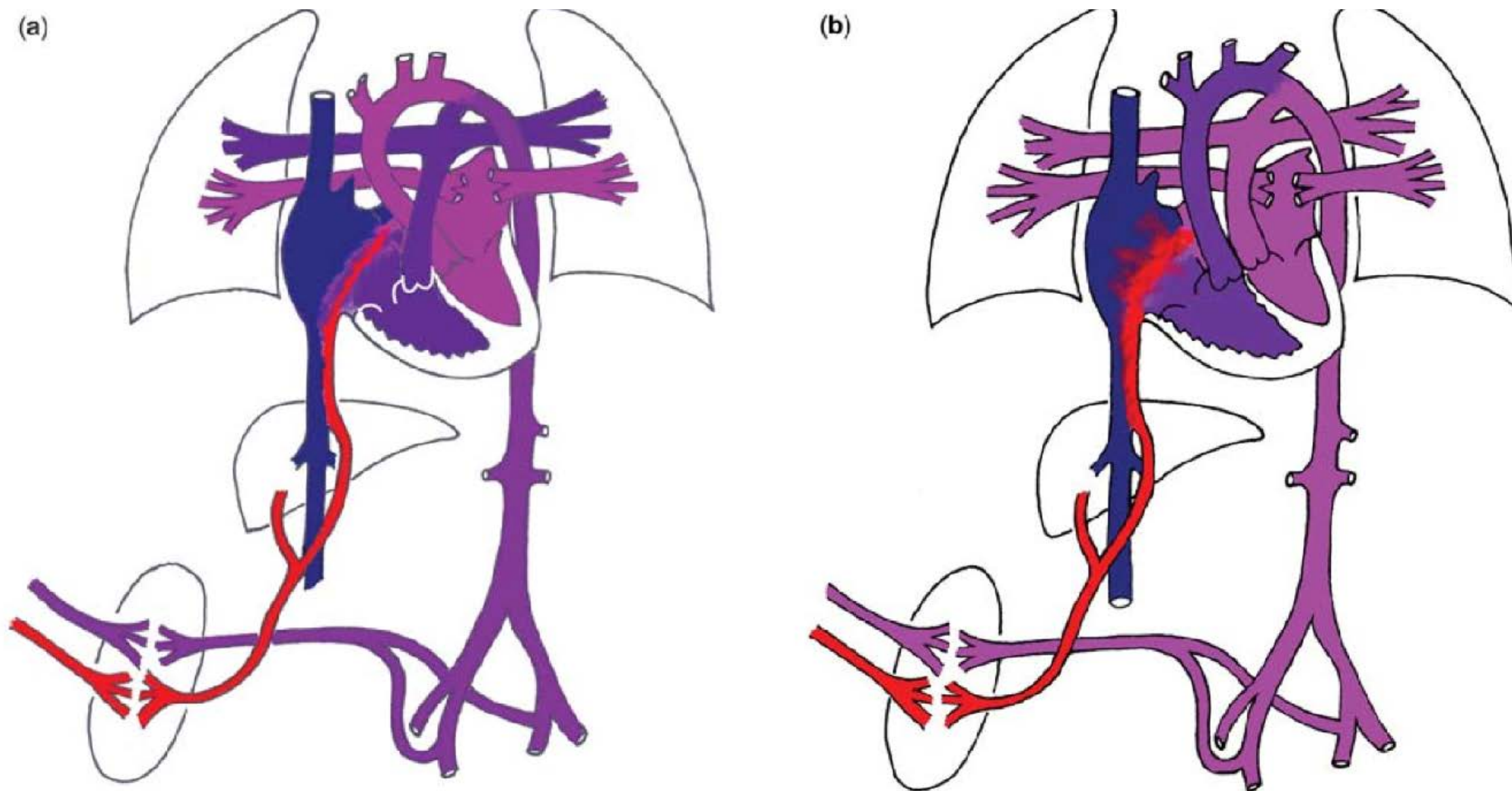
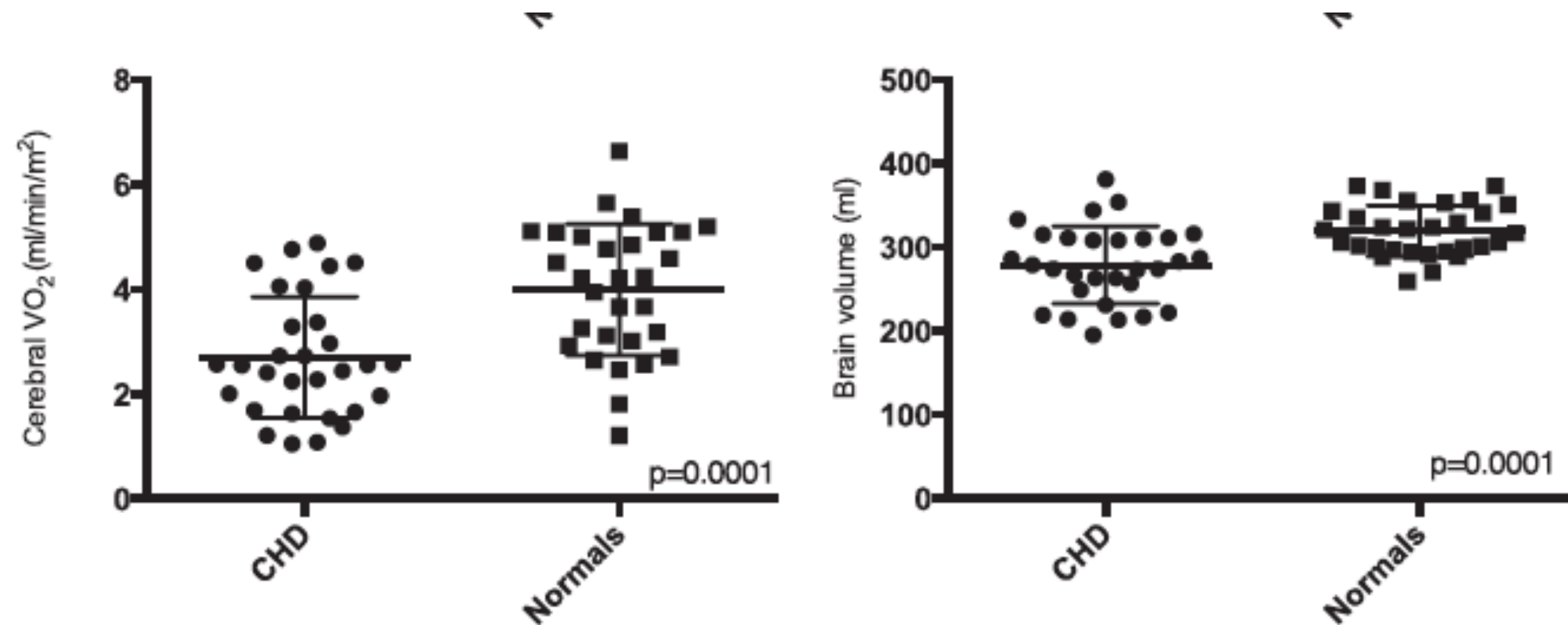
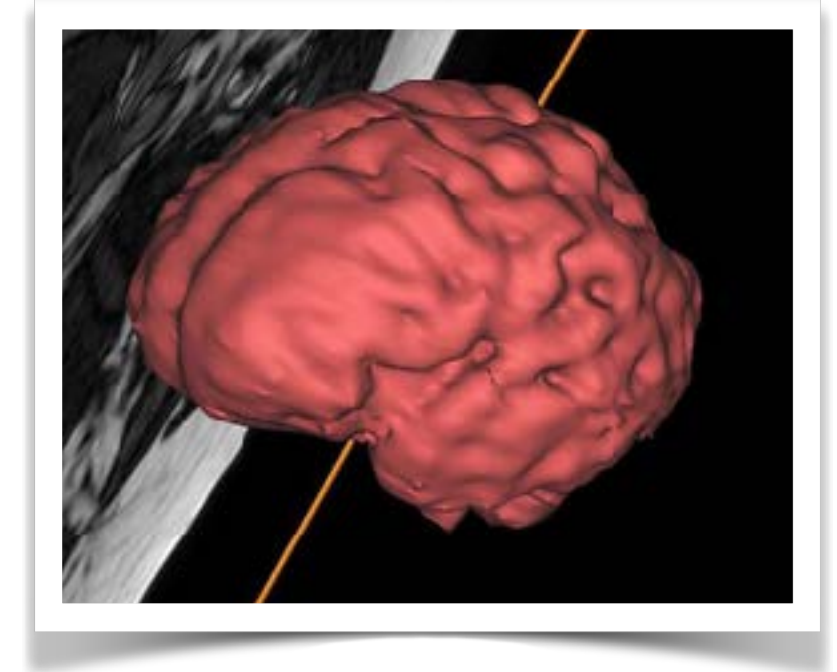
Prenatal white matter MRI anomalies in children with cyanotic congenital heart diseases

- **White matter lesions in 30 to 40% of newborns with TGA** (Miller et al., 2004; Licht et al., 2009)
- Same type of anomalies but more severe in complex CHDs such as HLHS (Mahle et al., 2002).



Periventricular white matter lesions in a child with TGA **before** the arterial switch.
Petit et al., 2009 *in Circulation*

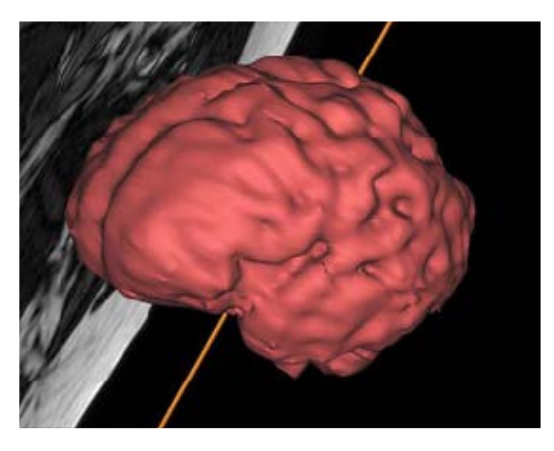
Type of CHD and prenatal brain perfusion



Mechanisms for reduced cerebral oxygenation and impaired brain growth in fetuses with CHD

1-In TGA, streaming results in well oxygenated blood being directed to the pulmonary circulation, whereas the blood supplied to brain is derived largely from more deoxygenated blood returning from the caval veins.

2-Reduction in Umbilical Vein Sao₂, which is suggestive of abnormal placental function and results in lower fetal O₂ delivery even in the setting of normal CVO and UV flow.



Brain dysmaturation observed in CHD appears to confer increased susceptibility to white matter injury in the perioperative period and neurodevelopmental deficits at 2 years.

The identification of fetal hypoxia as a potentially modifiable cause of delayed fetal brain development may be clinically significant.

Oxygen saturations in the fetal sheep and human fetuses circulation can be augmented through increases in the oxygen concentration of maternal inhaled air.

Maternal hyperoxygenation could be a method to improve brain development in utero

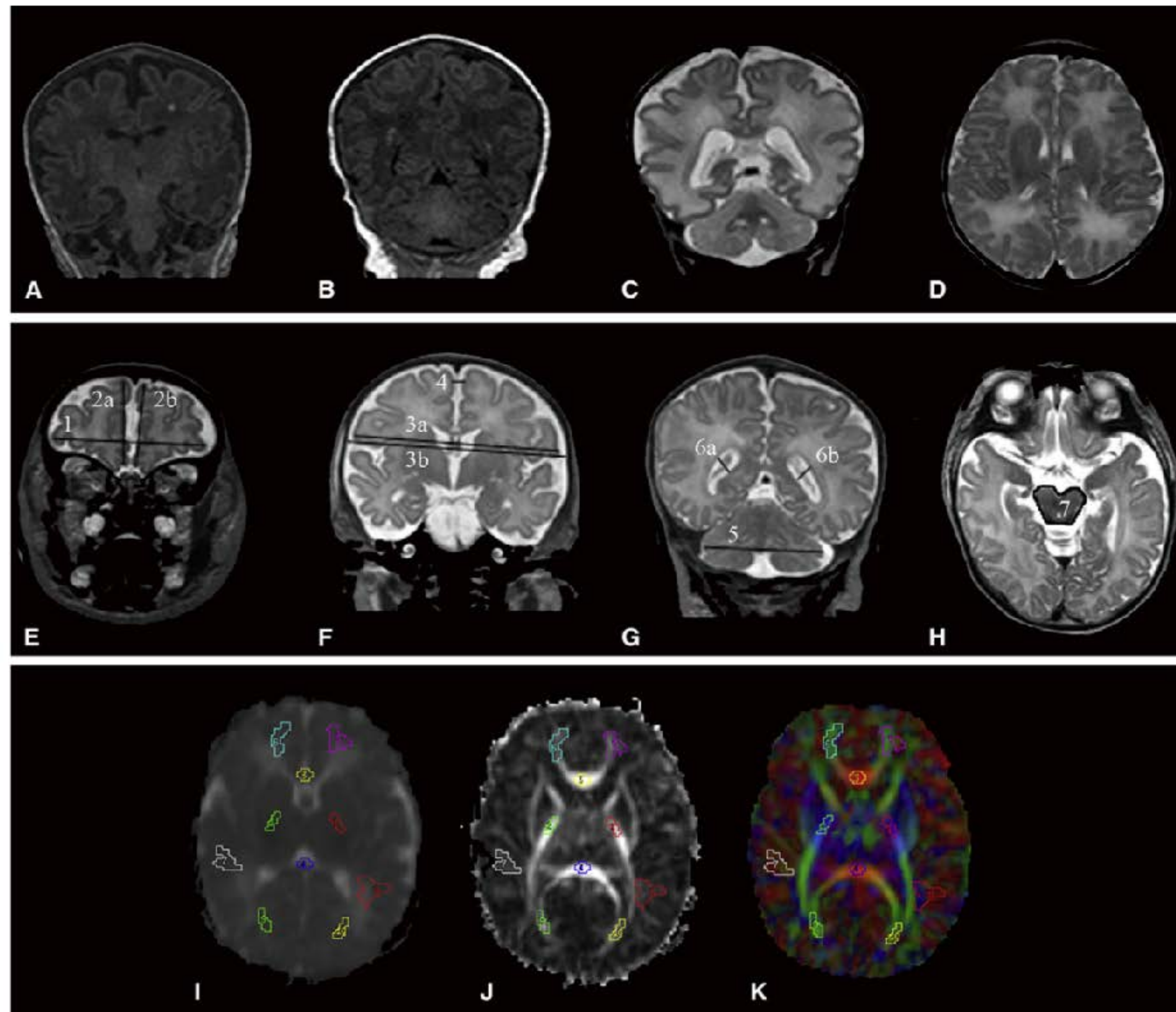
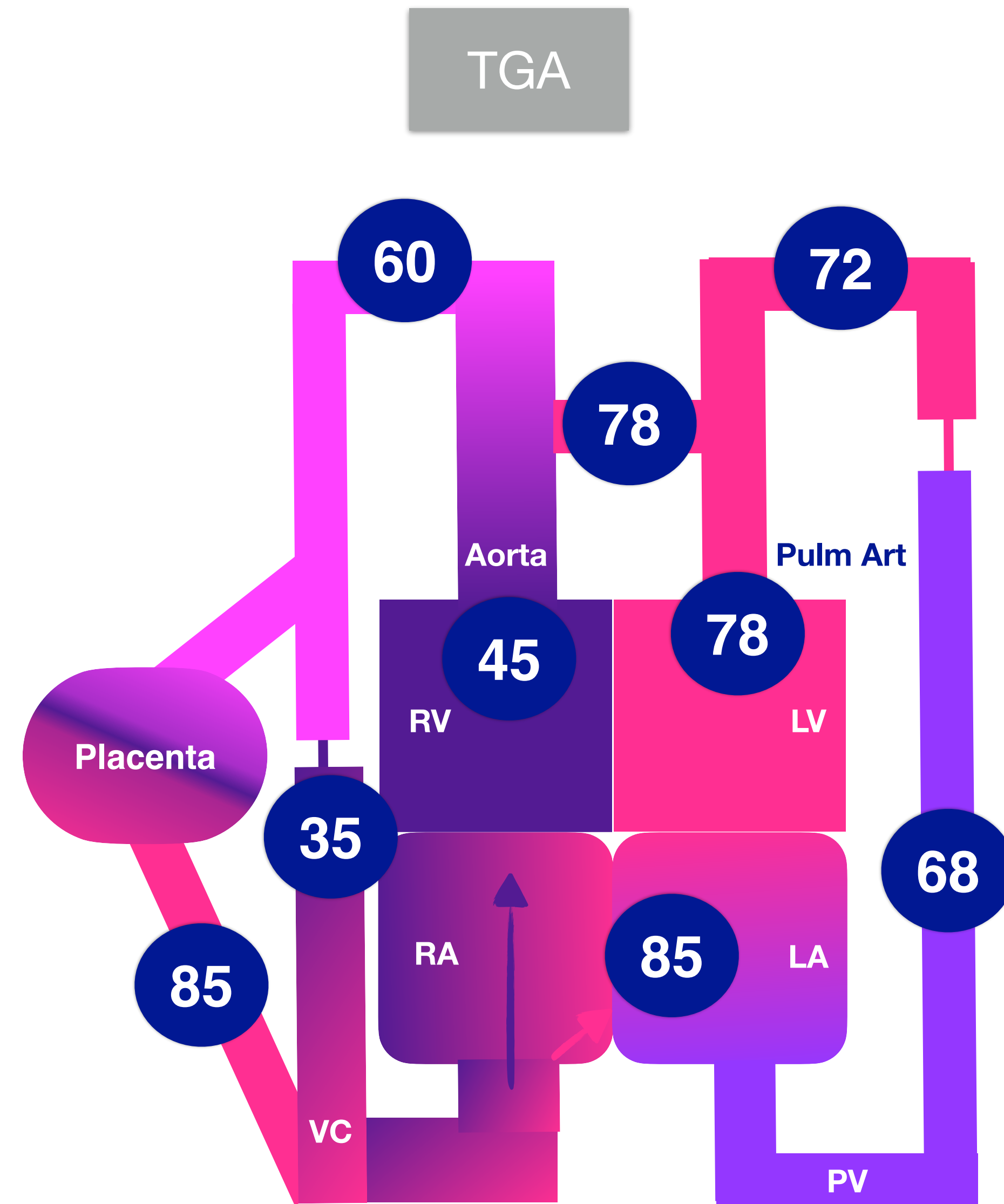
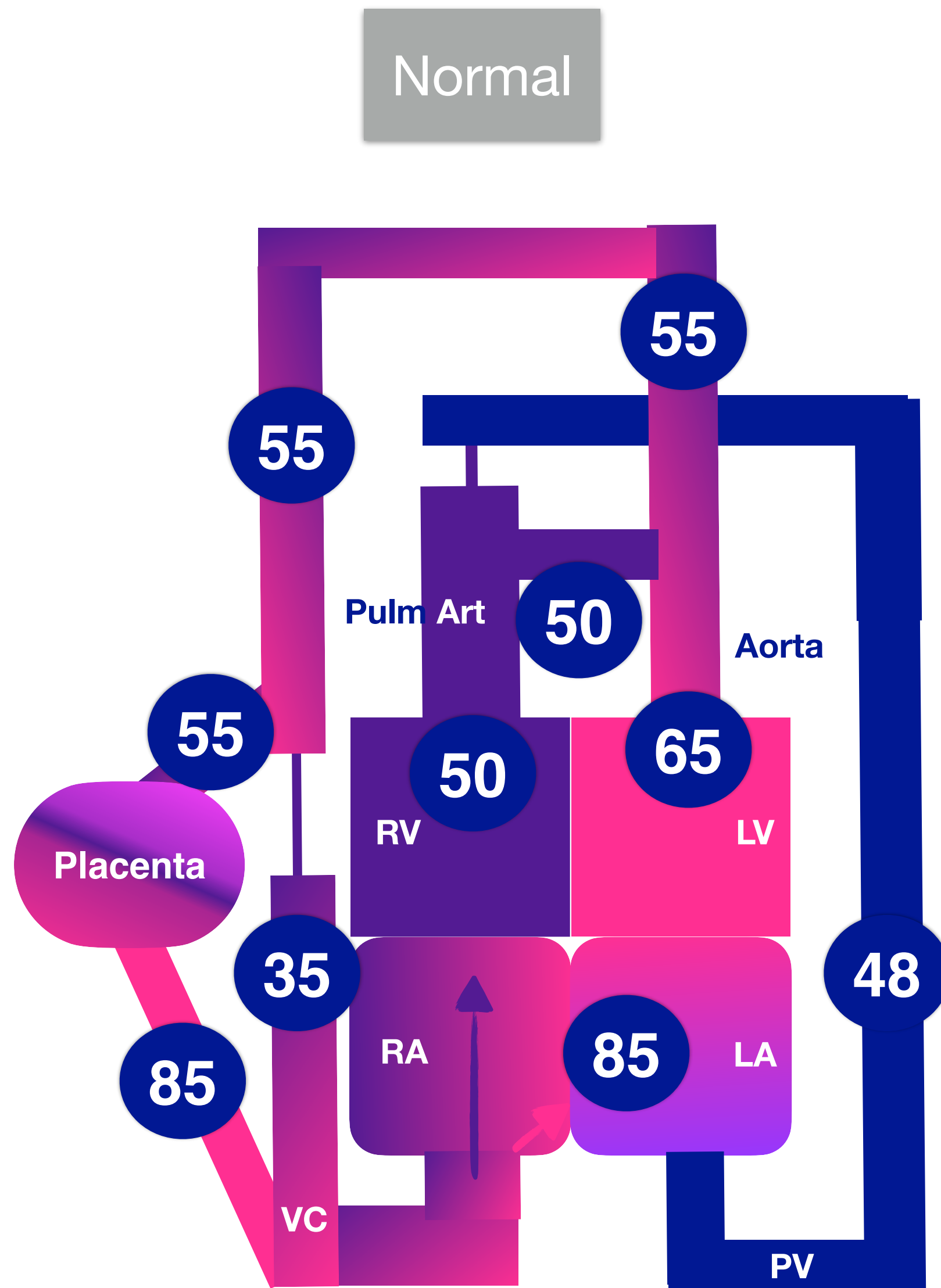
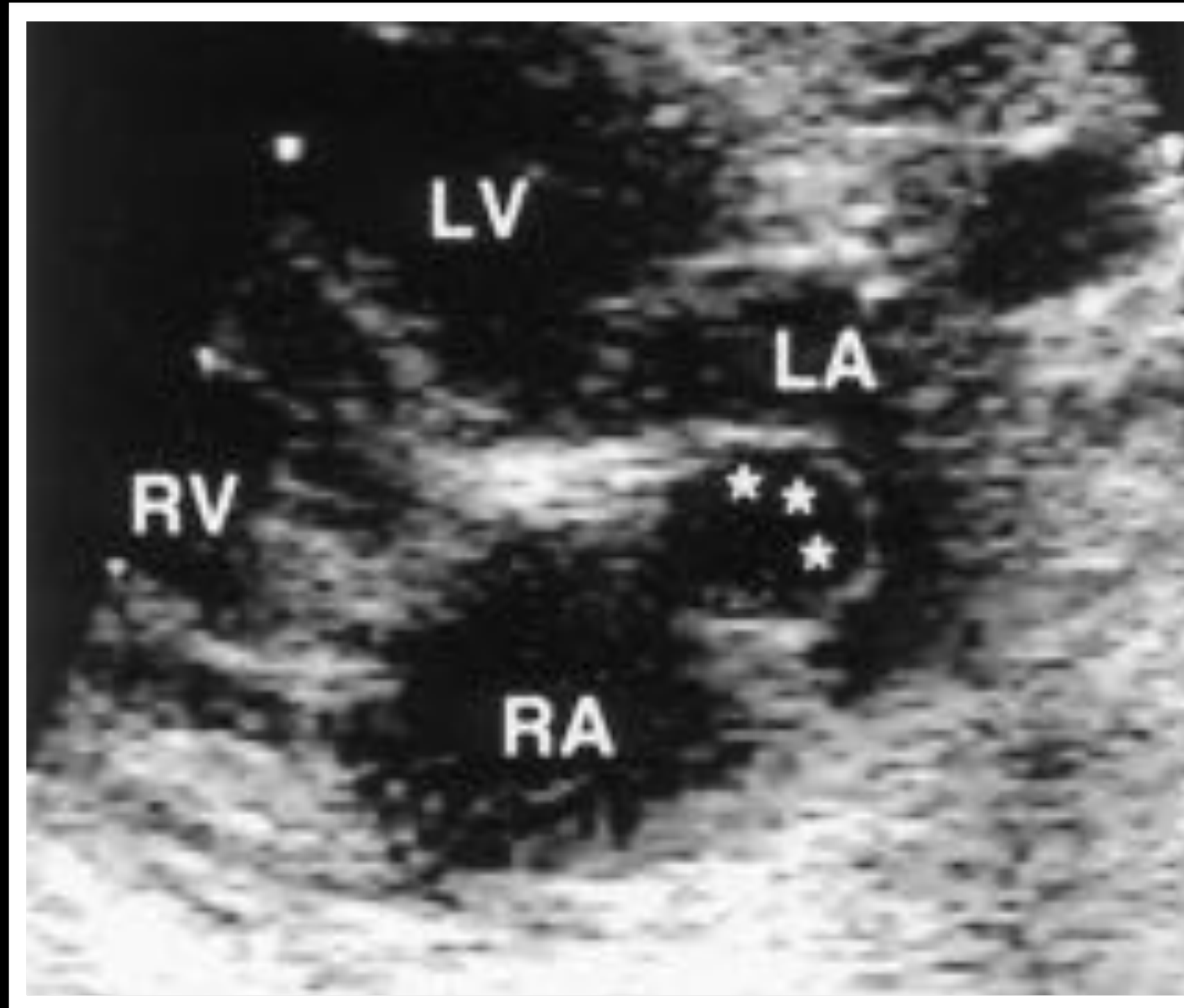
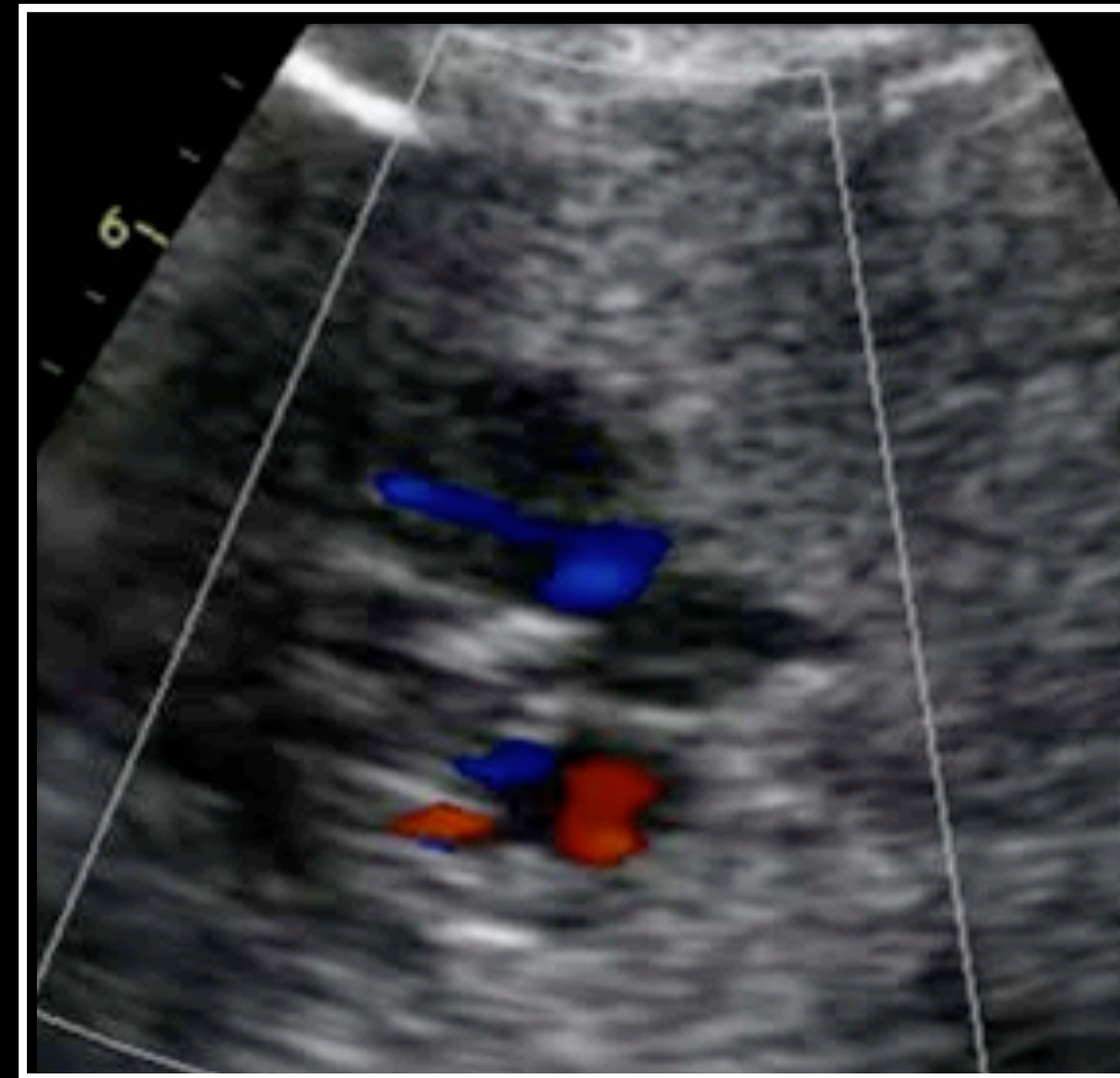


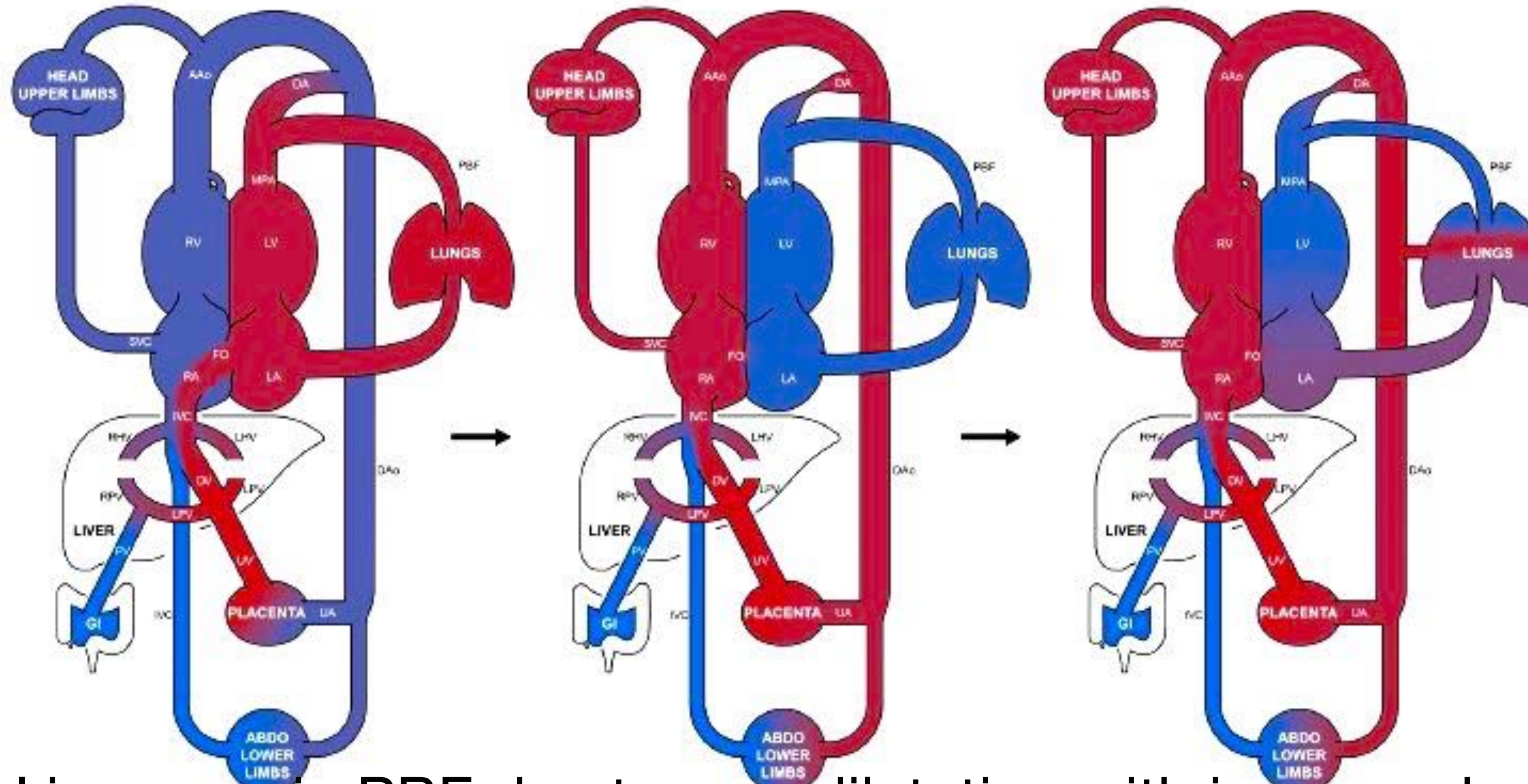
FIGURE 1. A–D, Qualitative scoring abnormalities. A, T₁-weighted image with abnormalities that included focal signal abnormality, delayed myelination of posterior limb of the internal capsule, increased extra-axial space, and delayed gyrification. B, T₁-weighted image with bilateral focal signal abnormalities and delayed gyrification. C, T₂-weighted image with ventriculomegaly, diffuse excessive high-signal intensity (DEHSI), increased extra-axial space, and moderate-to-severe delay in gyrification. D, T₂-weighted image with DEHSI. E–H, Subset of brain metrics. 1, Bifrontal diameter; 2a, right frontal height; 2b, left frontal height; 3a, brain biparietal diameter; 3b, bone biparietal diameter; 4, interhemispheric distance; 5, transverse cerebellar diameter; 6a, right ventricular diameter; 6b, left ventricular diameter; and 7, brainstem area. I–K, Diffusion imaging: I, mean diffusivity; J, fractional anisotropy; K, red, green, blue color plot. Regions of interest were the same for each image (from top to bottom): left and right frontal white matter, genu of the corpus callosum, left and right posterior limb of the internal capsule, splenium of the corpus callosum, left and right subcortical white matter, and left and right optic radiation.





Conséquences développementales des anomalies de l'oxygénation foetale
Restriction du foramen ovale chez un fœtus ayant une TGV





Initial increase in PBF due to vasodilatation with increased oxygen

Increased pulmonary venous return

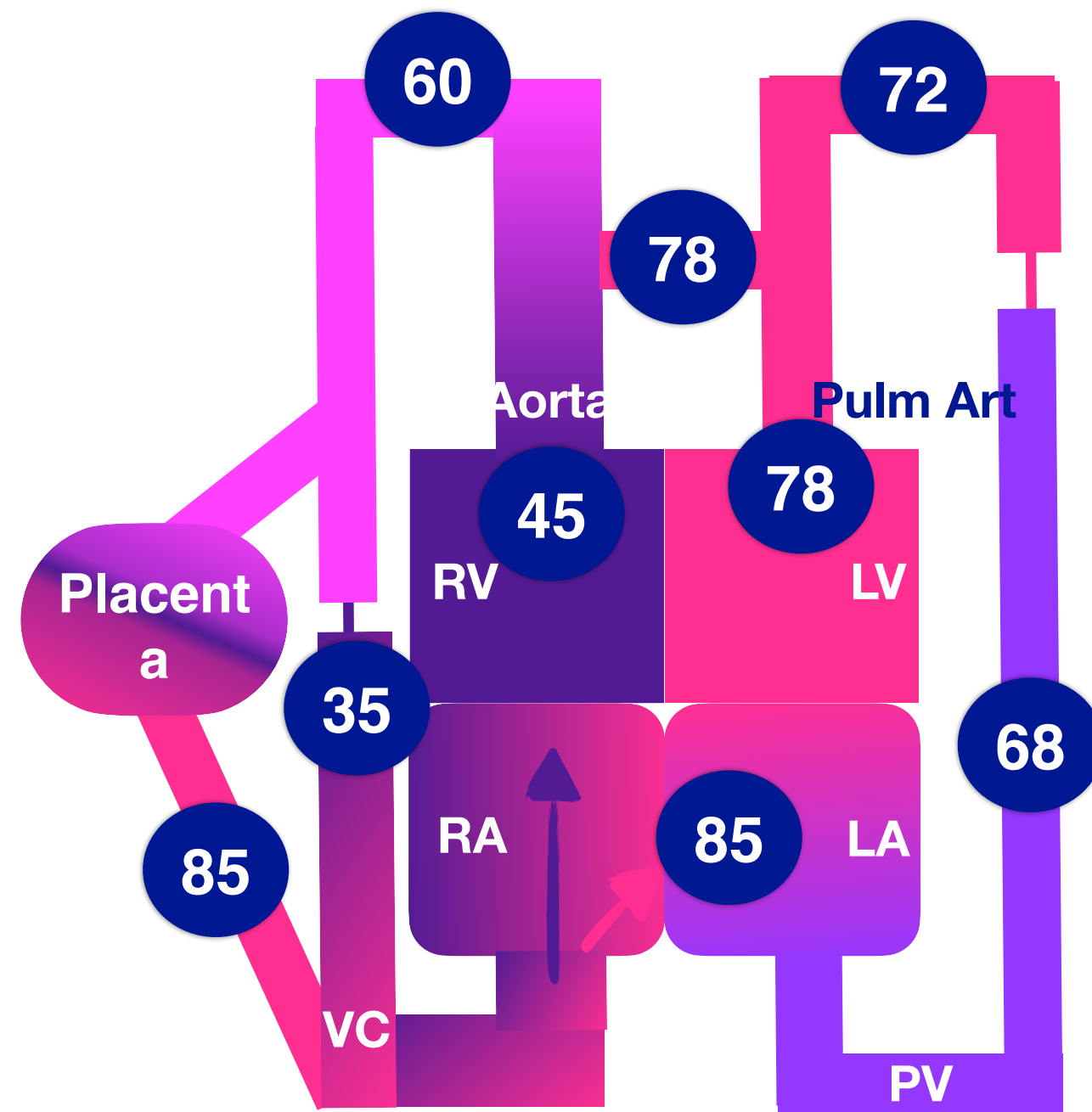
Reduced size of the FO

Ductal constriction due to oxygen

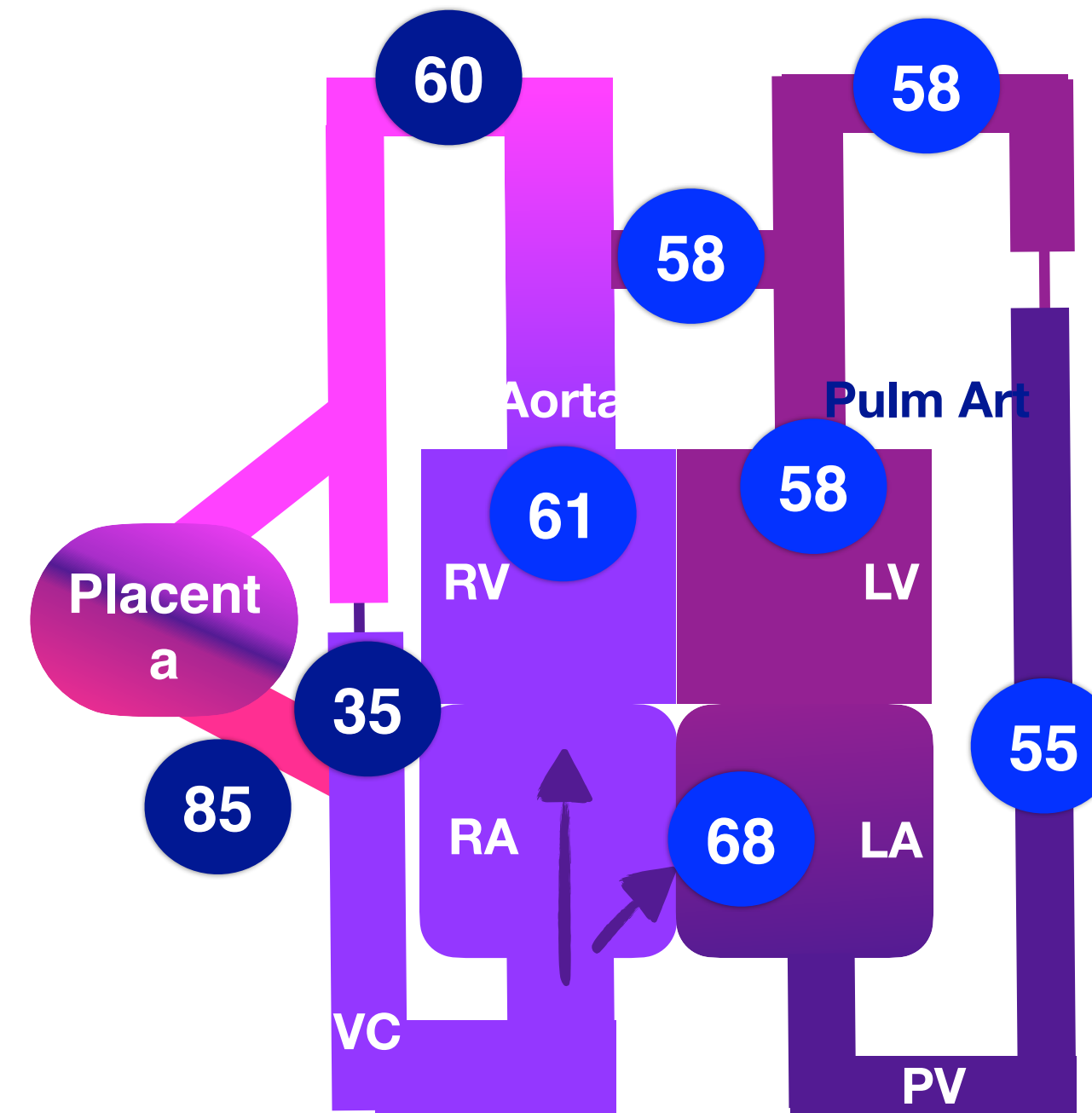
Isolation of Pulmonary circulation

Increased PVR

Development of aorta-pulmonary collaterals



TGA fetus



Closure of the ductus venosus



Physiologie cardiaque appliquée aux cardiopathies congénitales

Partie 2

Approche de la fonction myocardique

Professeur Damien Bonnet

Service de Cardiologie Congénitale et Pédiatrique

Hôpital Universitaire Necker Enfants malades – APHP, Université de Paris

Institut Hospitalo-Universitaire IMAGINE

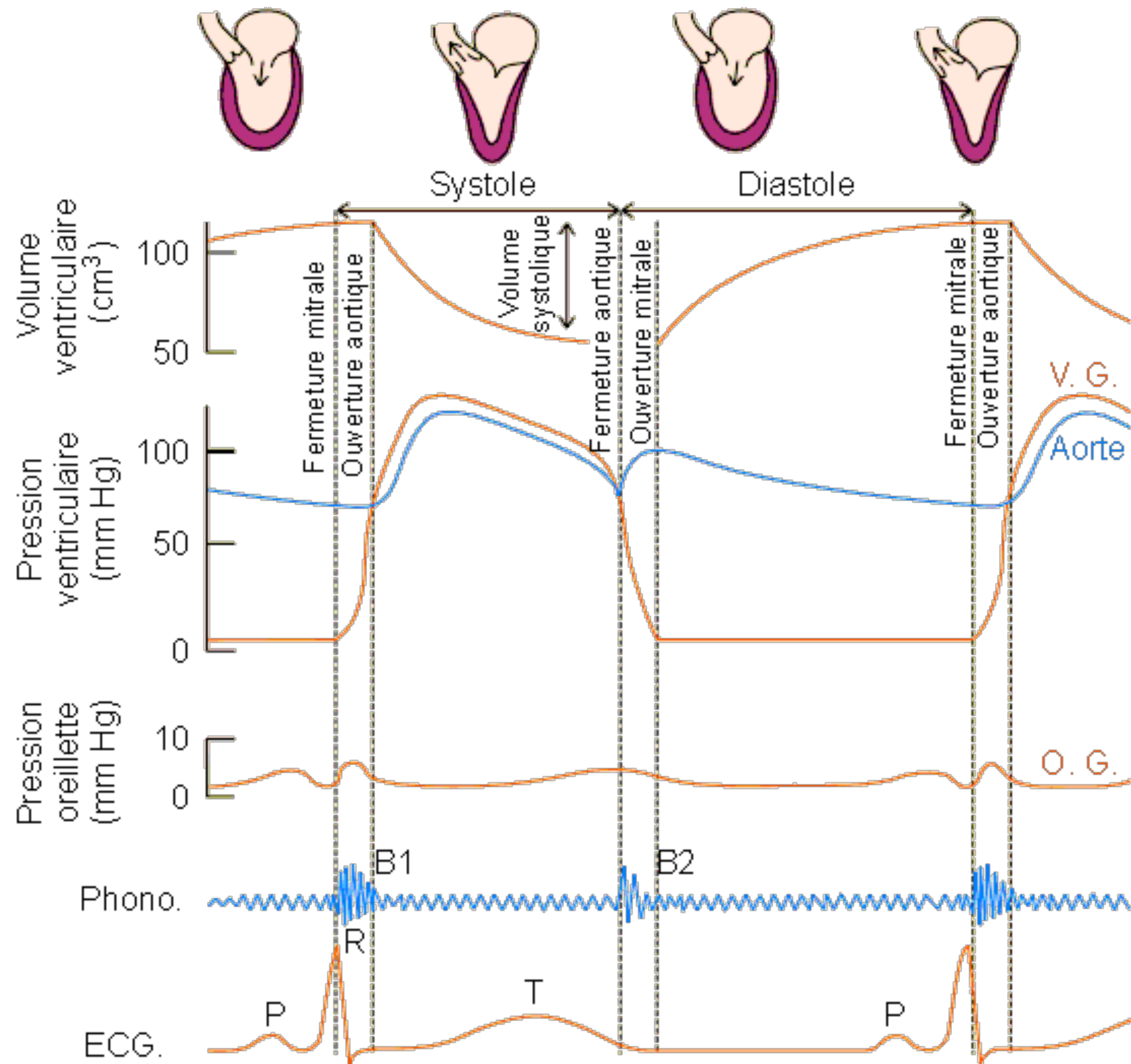
Centre de Référence Maladies Rares

Malformations **C**ardiaques **C**ongénitales **C**omplexes-M3C

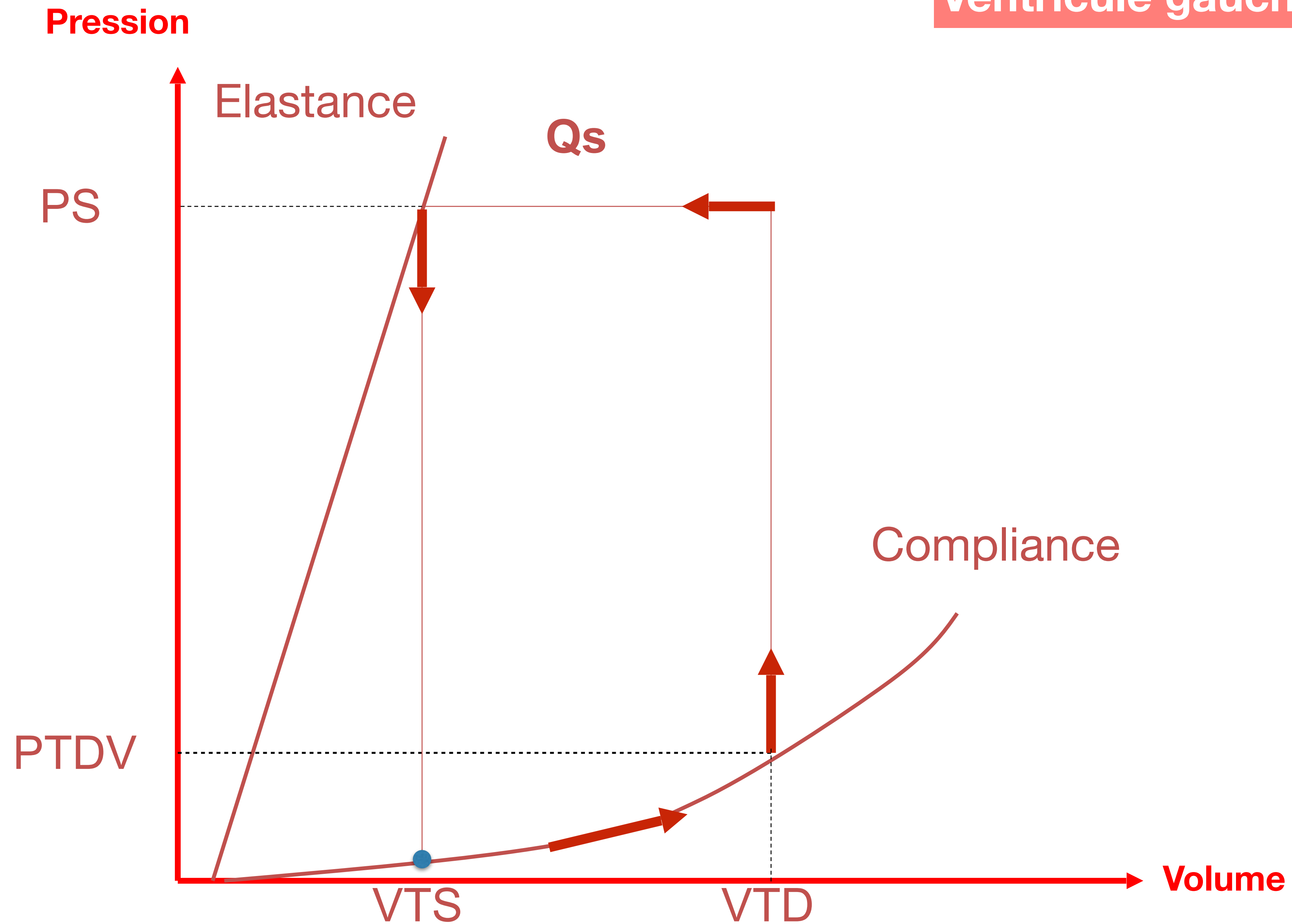
Centre de Référence Maladies Rares

Maladies Cardiaques Héritaires- **CARDIOGEN**

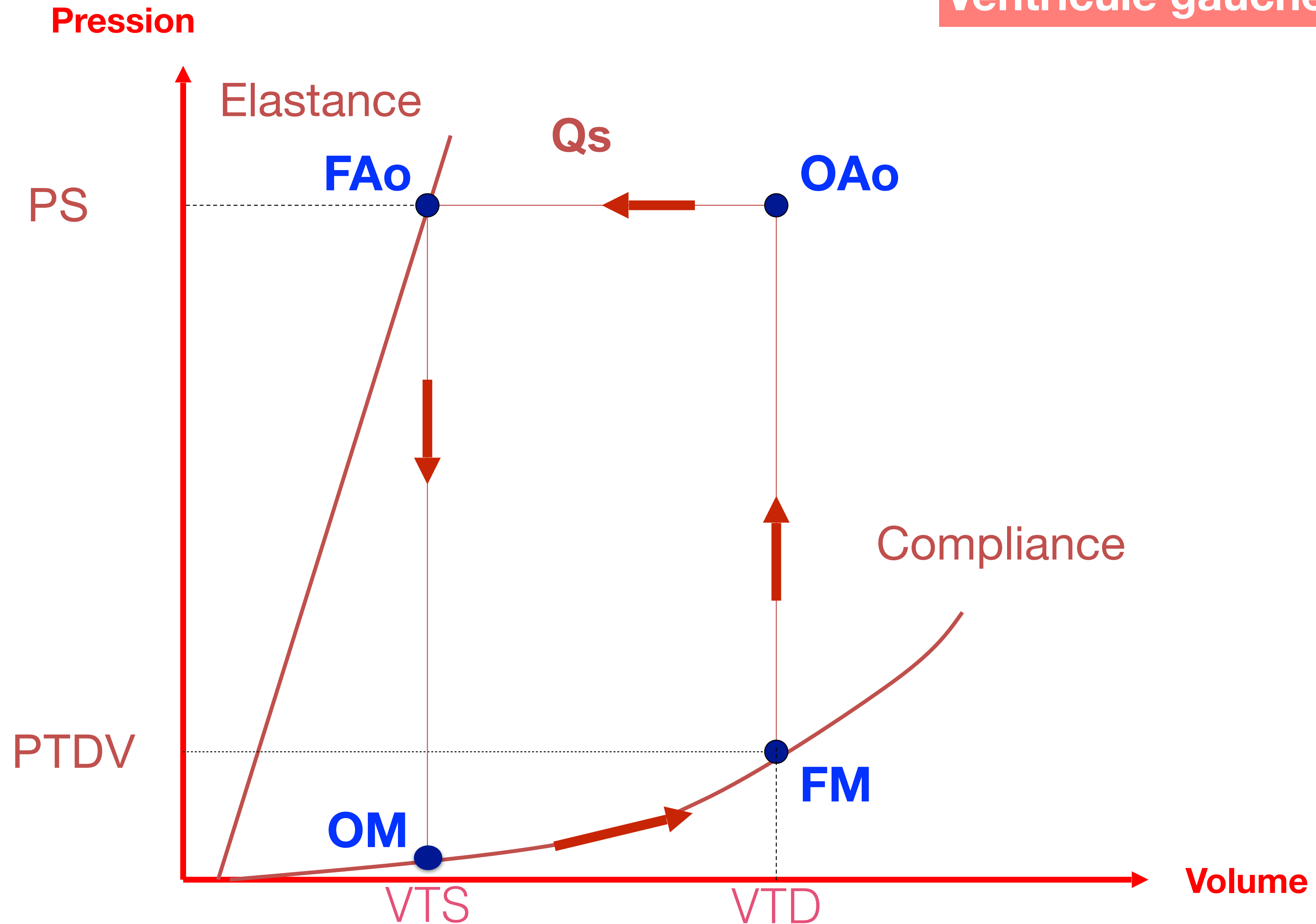




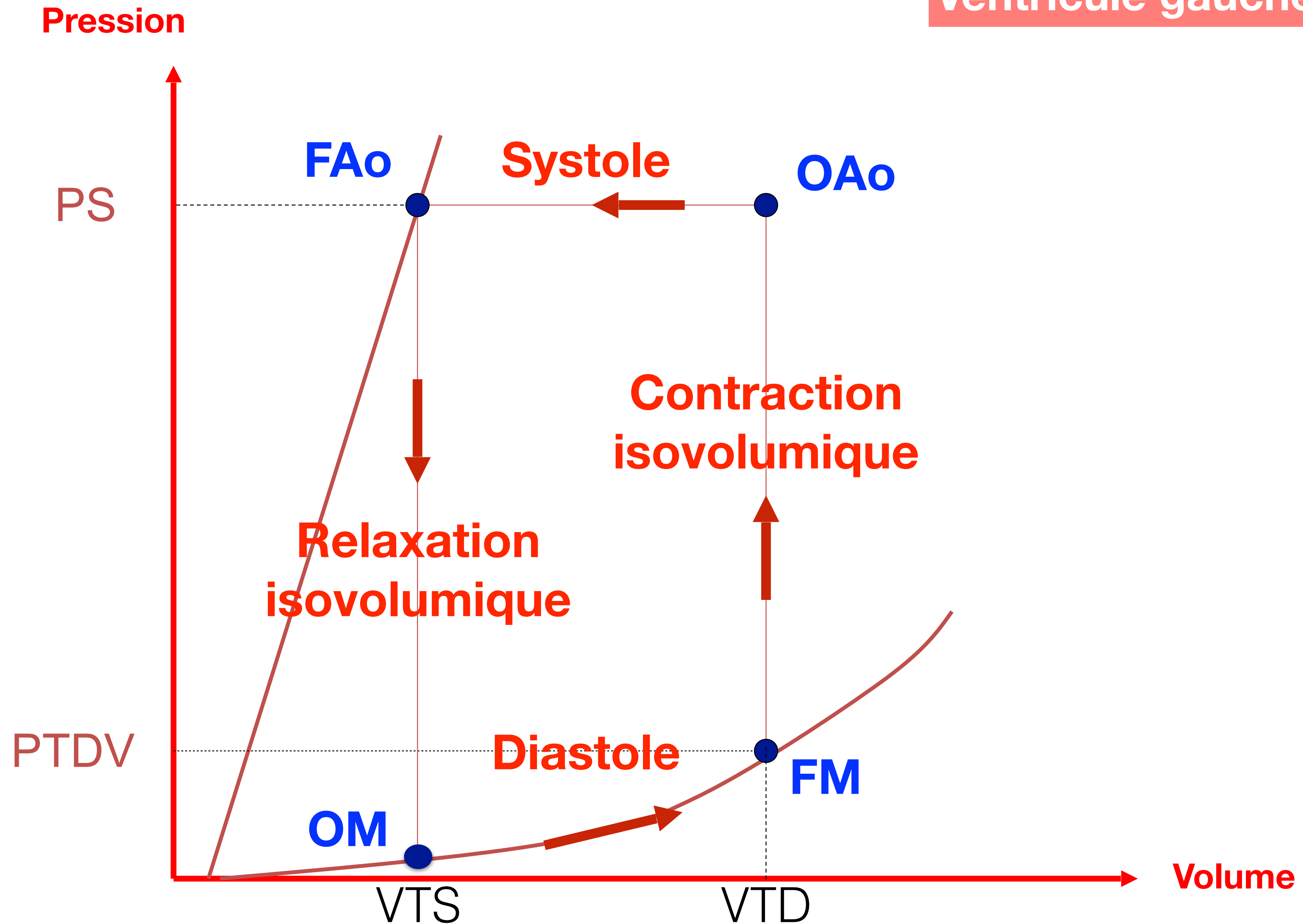
Ventricule gauche



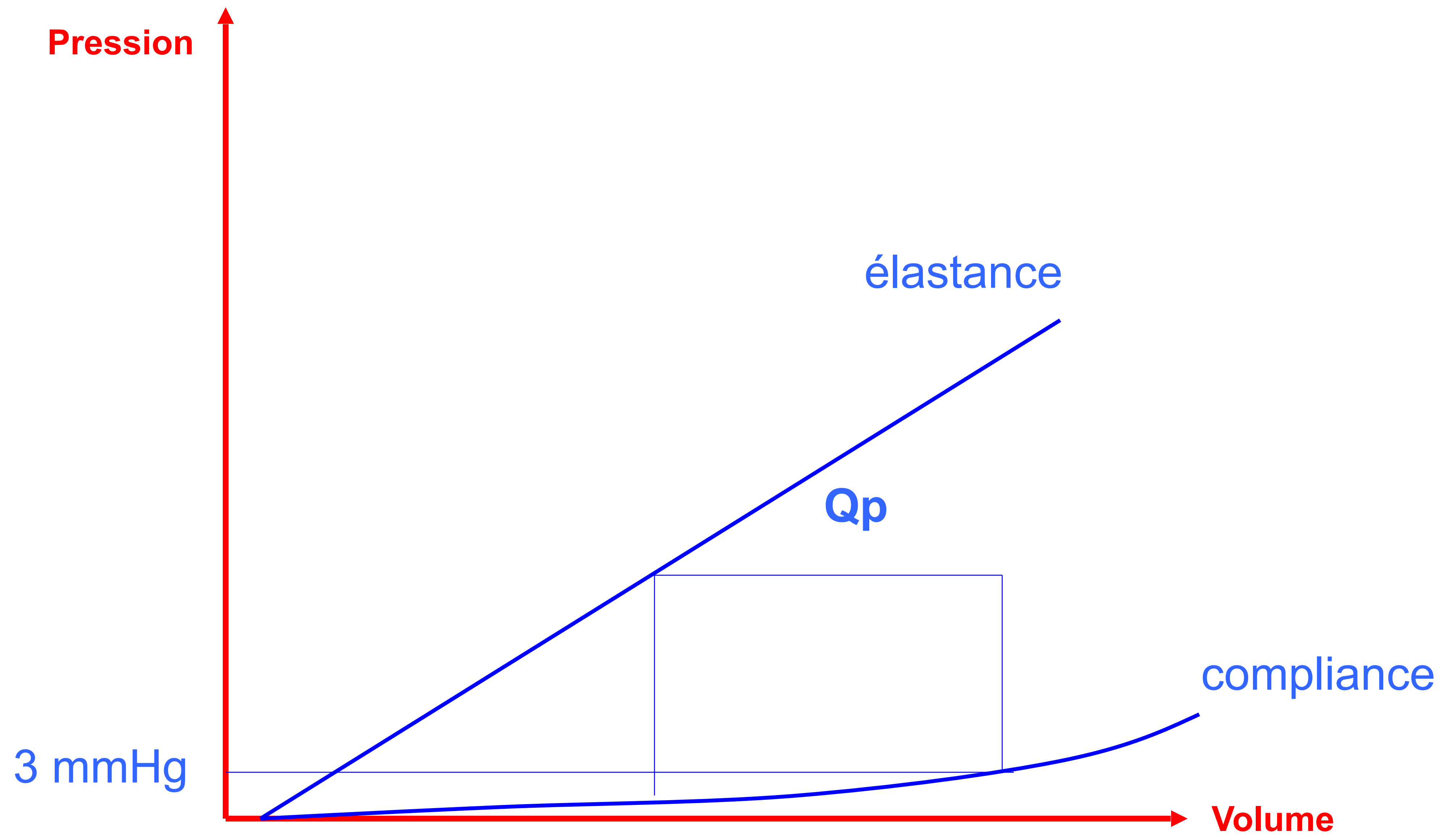
Ventricule gauche



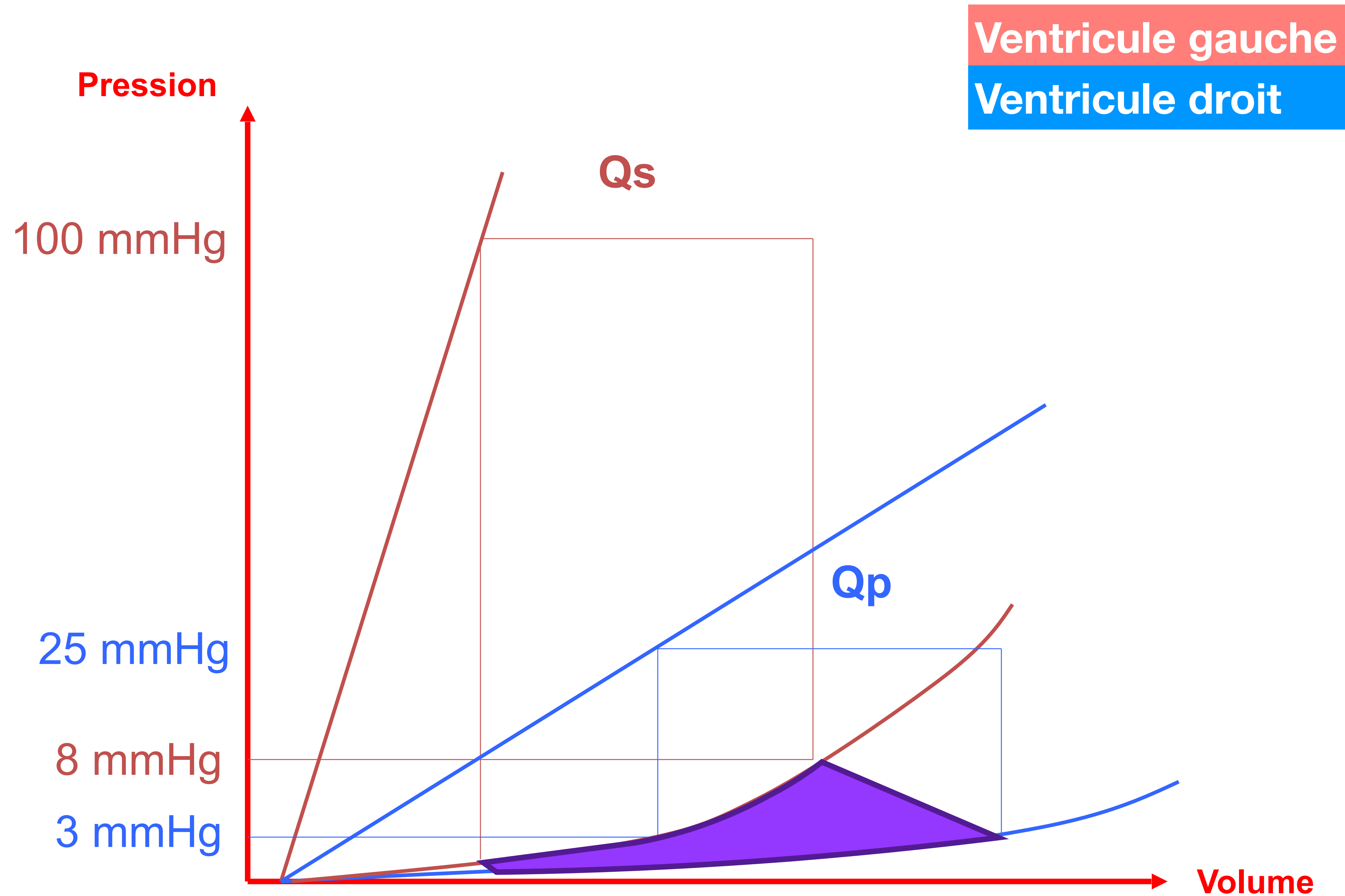
Ventricule gauche



Ventricule droit



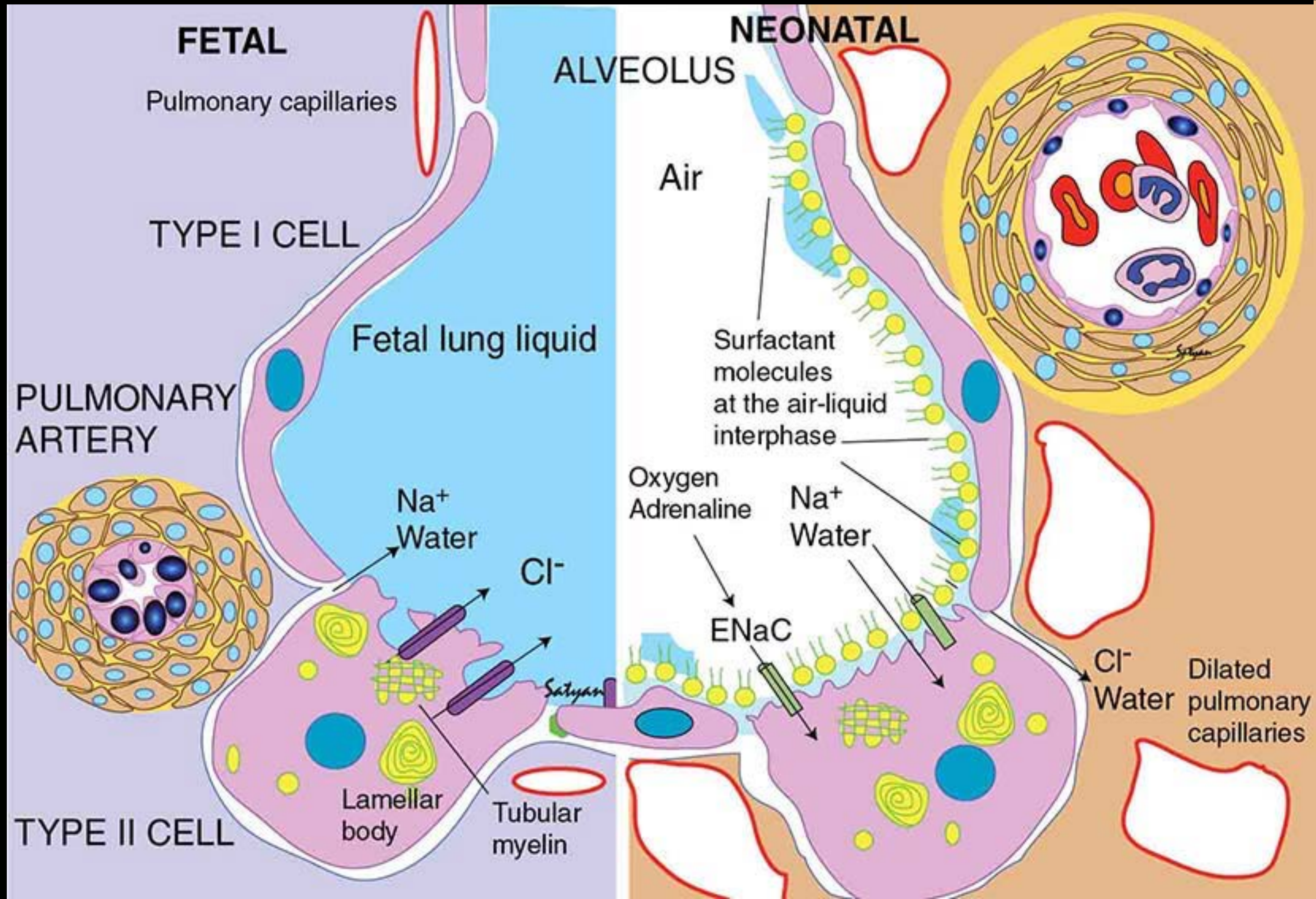
Approche de la fonction myocardique par les courbes pression-volume



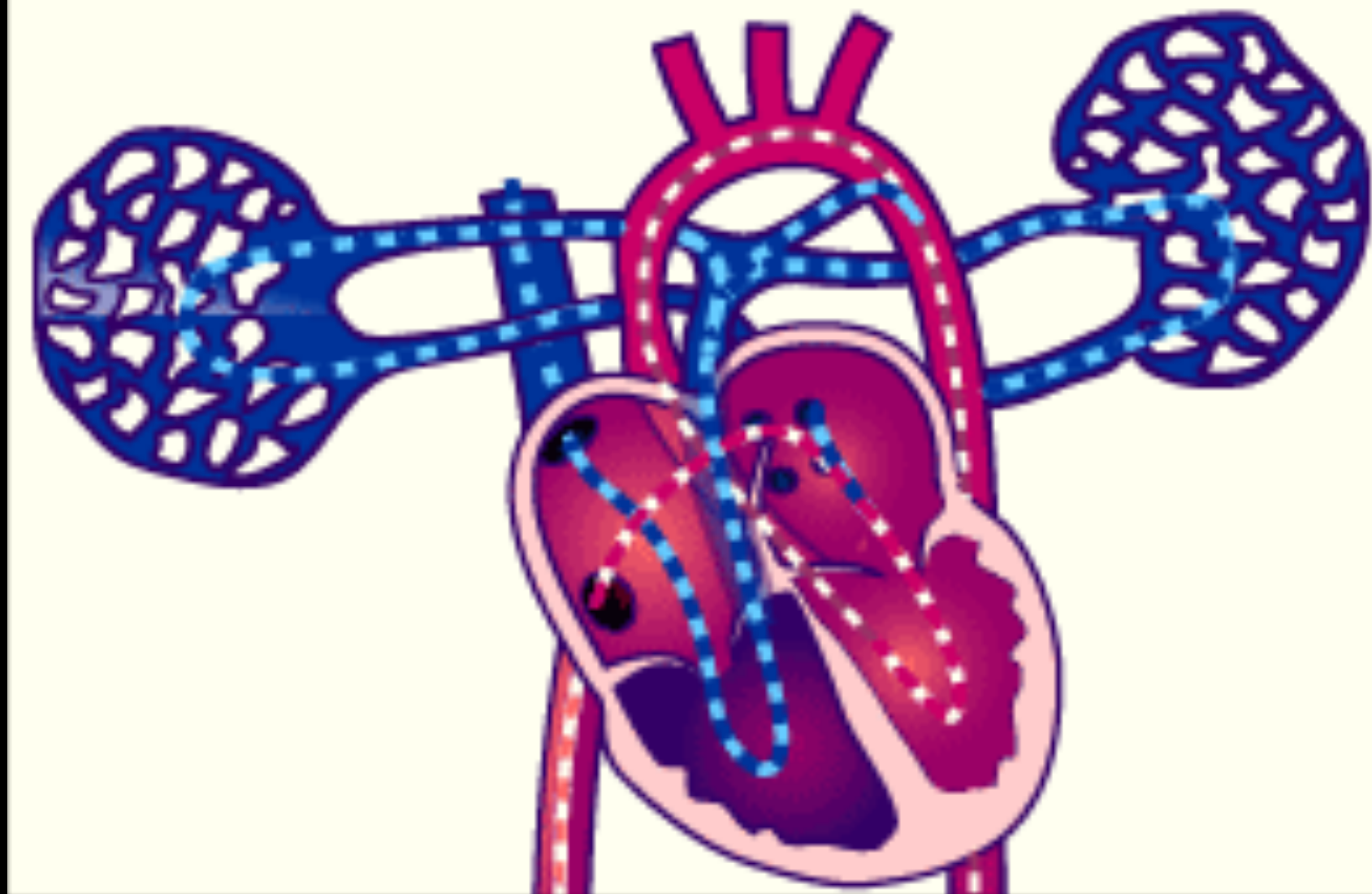
Transition foetus/nouveau-né



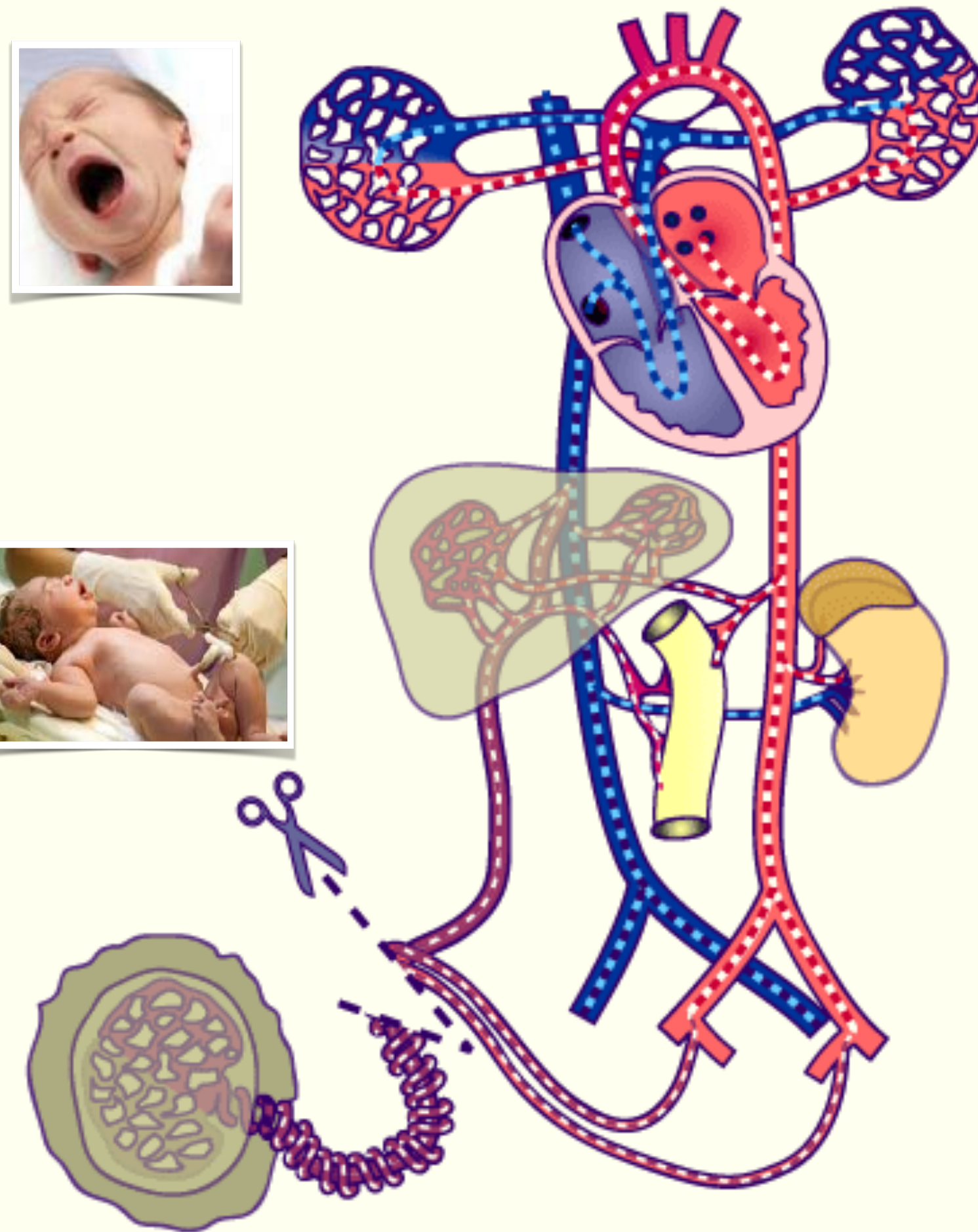
Transition foetus/nouveau-né



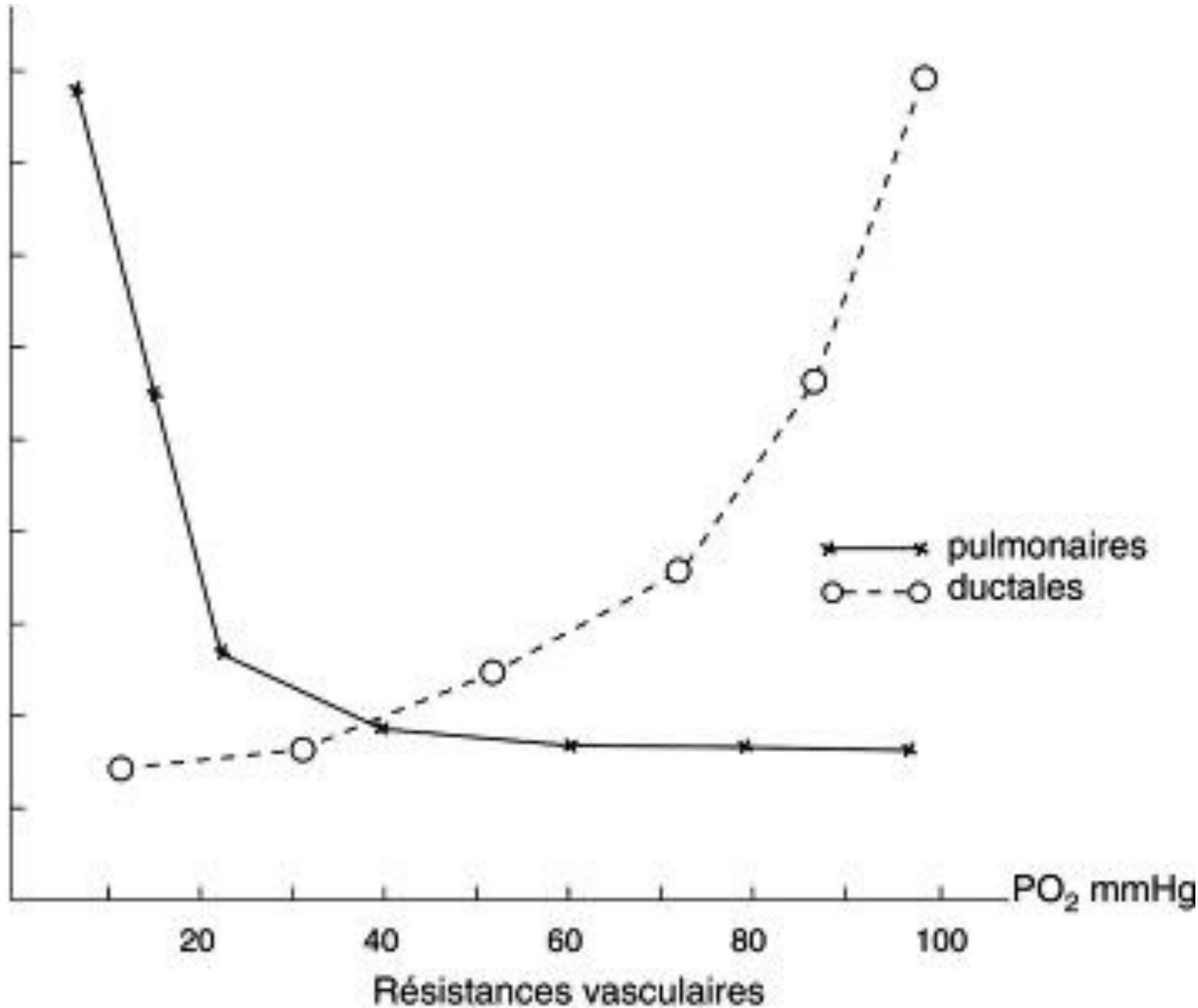
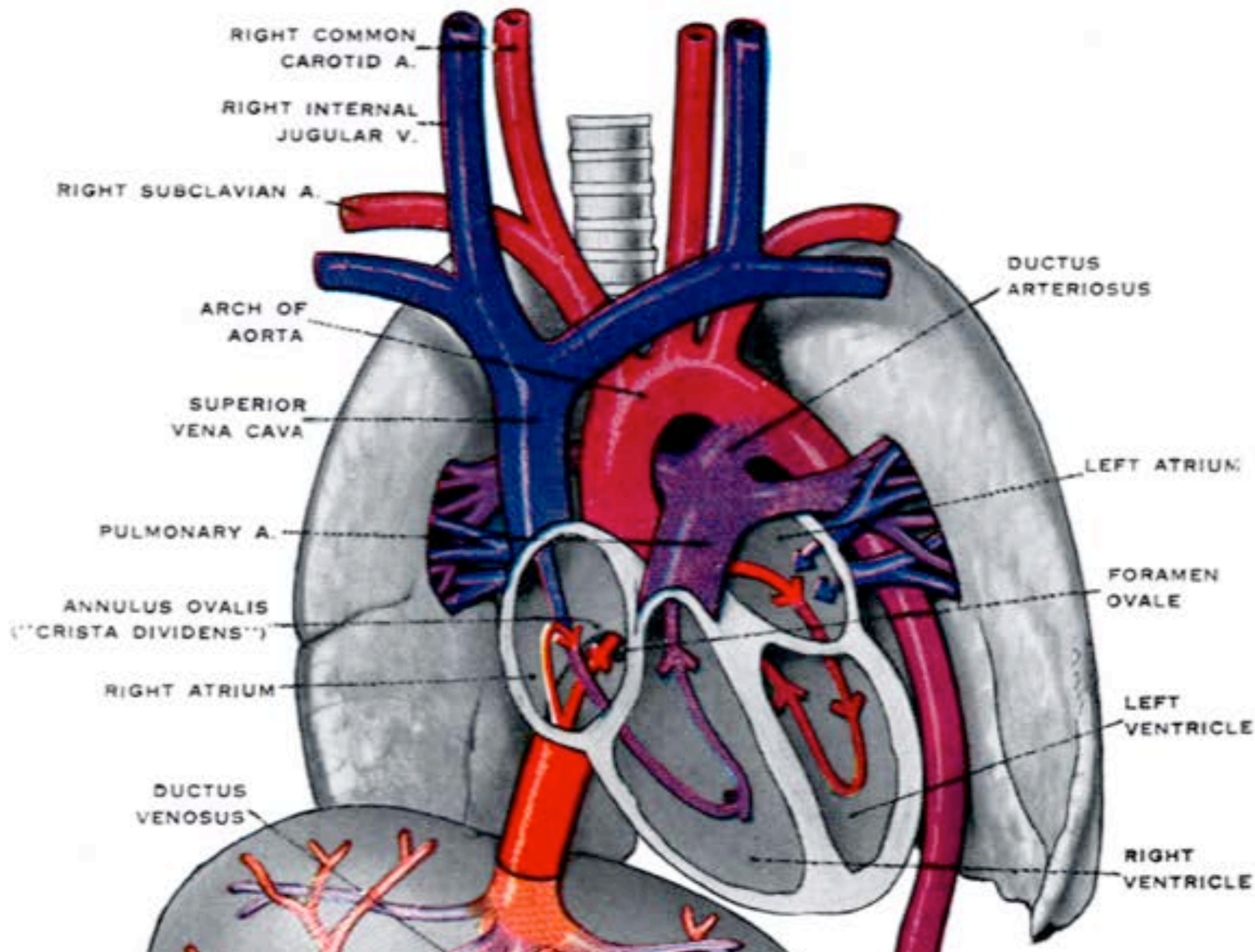
before birth



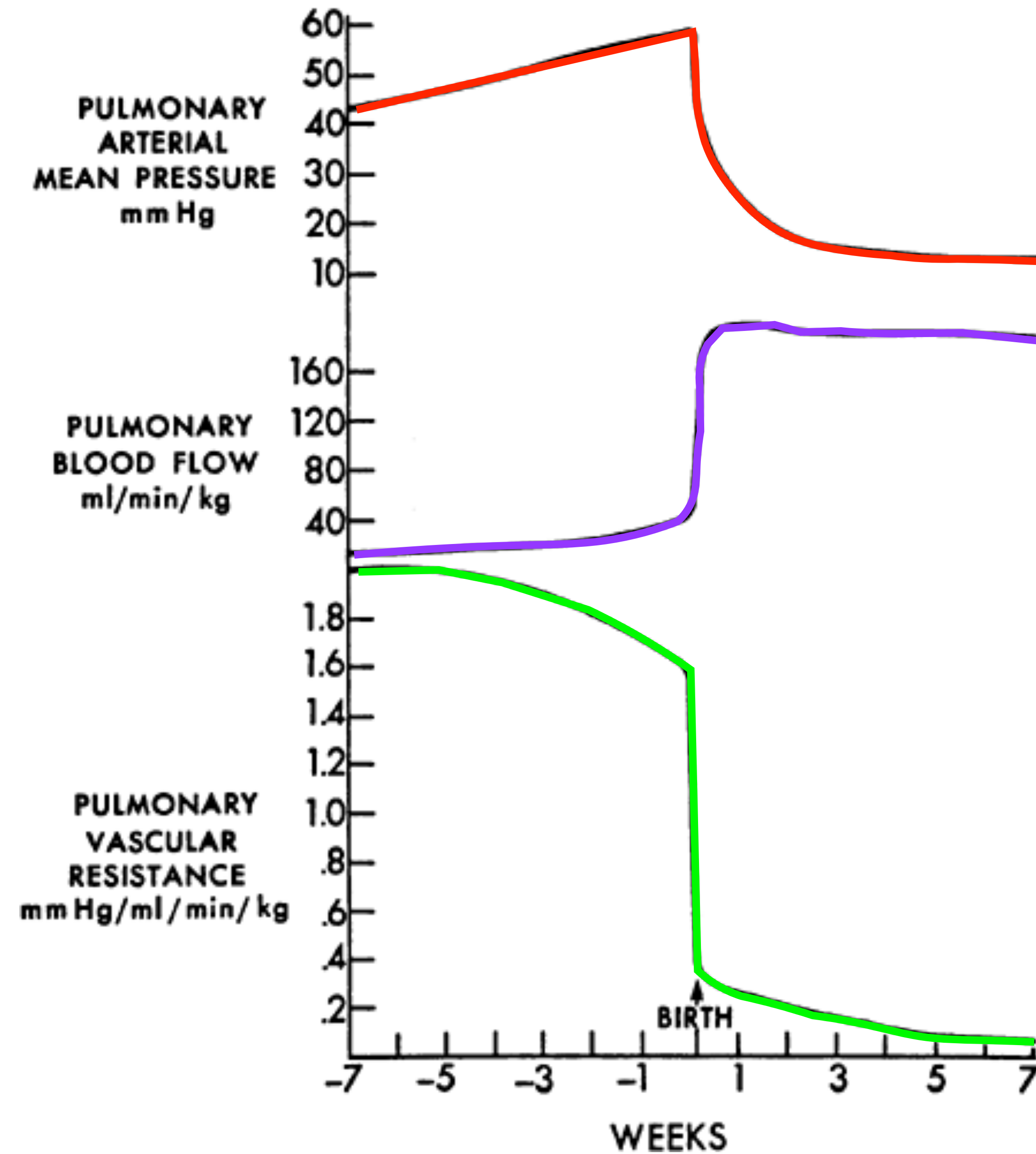
after birth



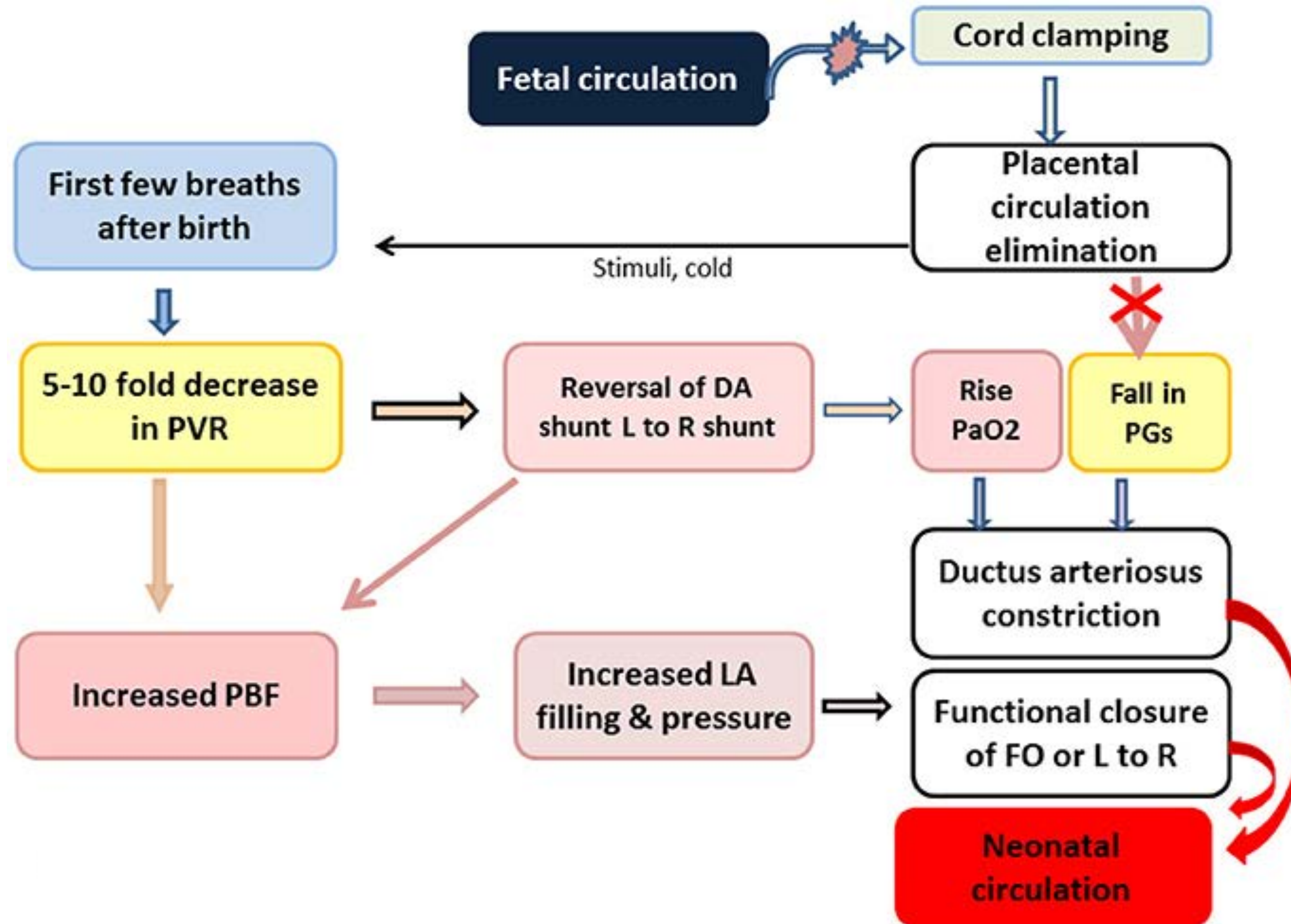
Evolution des résistances vasculaires pulmonaires à la naissance



Transition foetus/nouveau-né



Transition foetus/nouveau-né



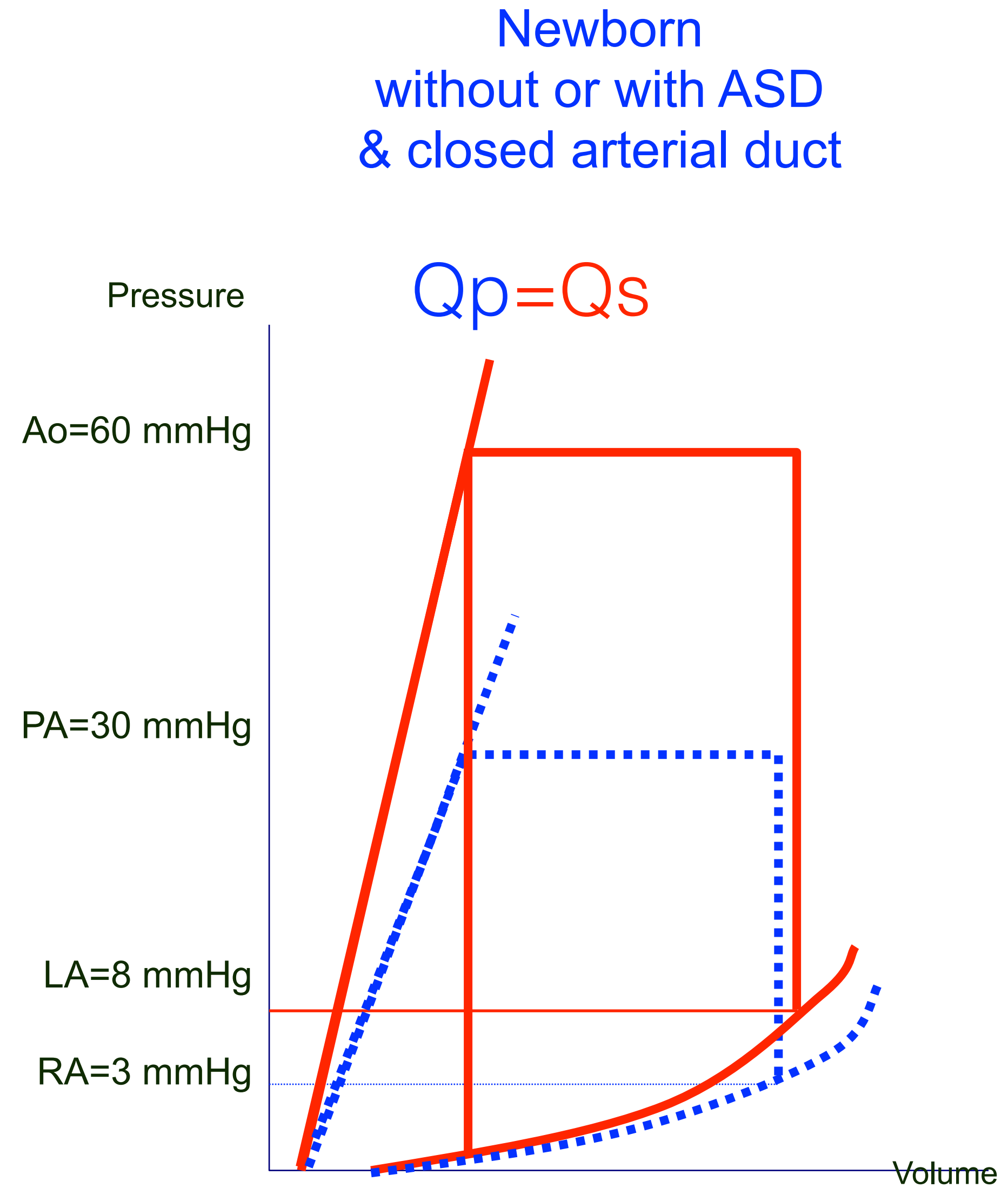
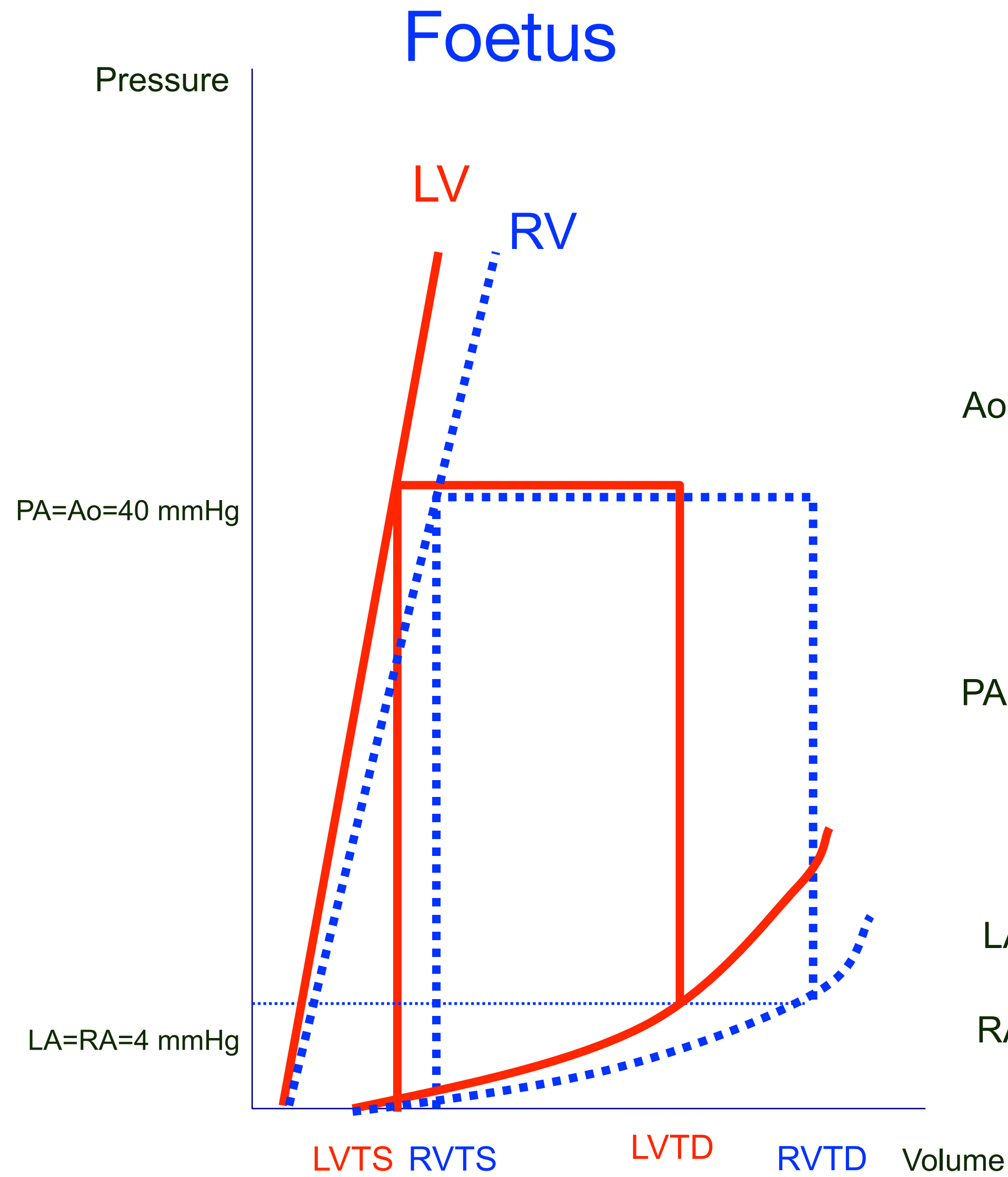
Adaptation Post-natale

- Disparition du placenta et Vasodilatation des artérioles pulmonaires
 - Le rapport RVP/RVS passe de 10 à 1/3 en quelques minutes
- Fermeture du canal artériel et de la CIA
 - Cœur en série avec Pressions Gauches > Droites en systole et diastole

Il n'y a pas d'HTAP physiologique du nouveau-né

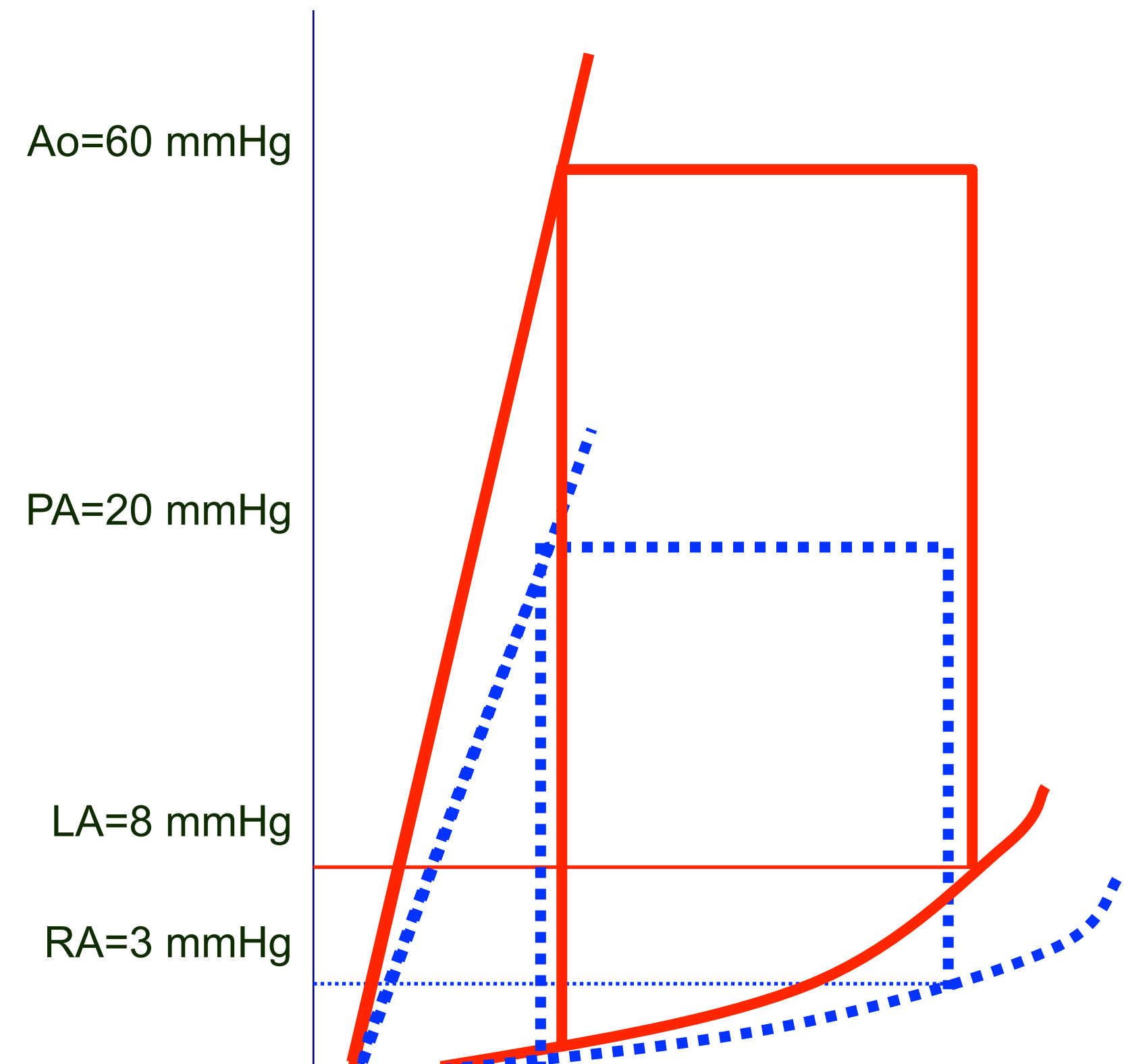
- Augmentation de la VO₂ et du Débit Systémique (Q_s)
 - Le travail du VG quadruple la première semaine; il s'hypertrophie et se spécialise dans la contractilité
 - Le VD fonctionne à basse pression, se démuscle et se spécialise dans la compliance

Approche de la fonction myocardique par les courbes pression-volume

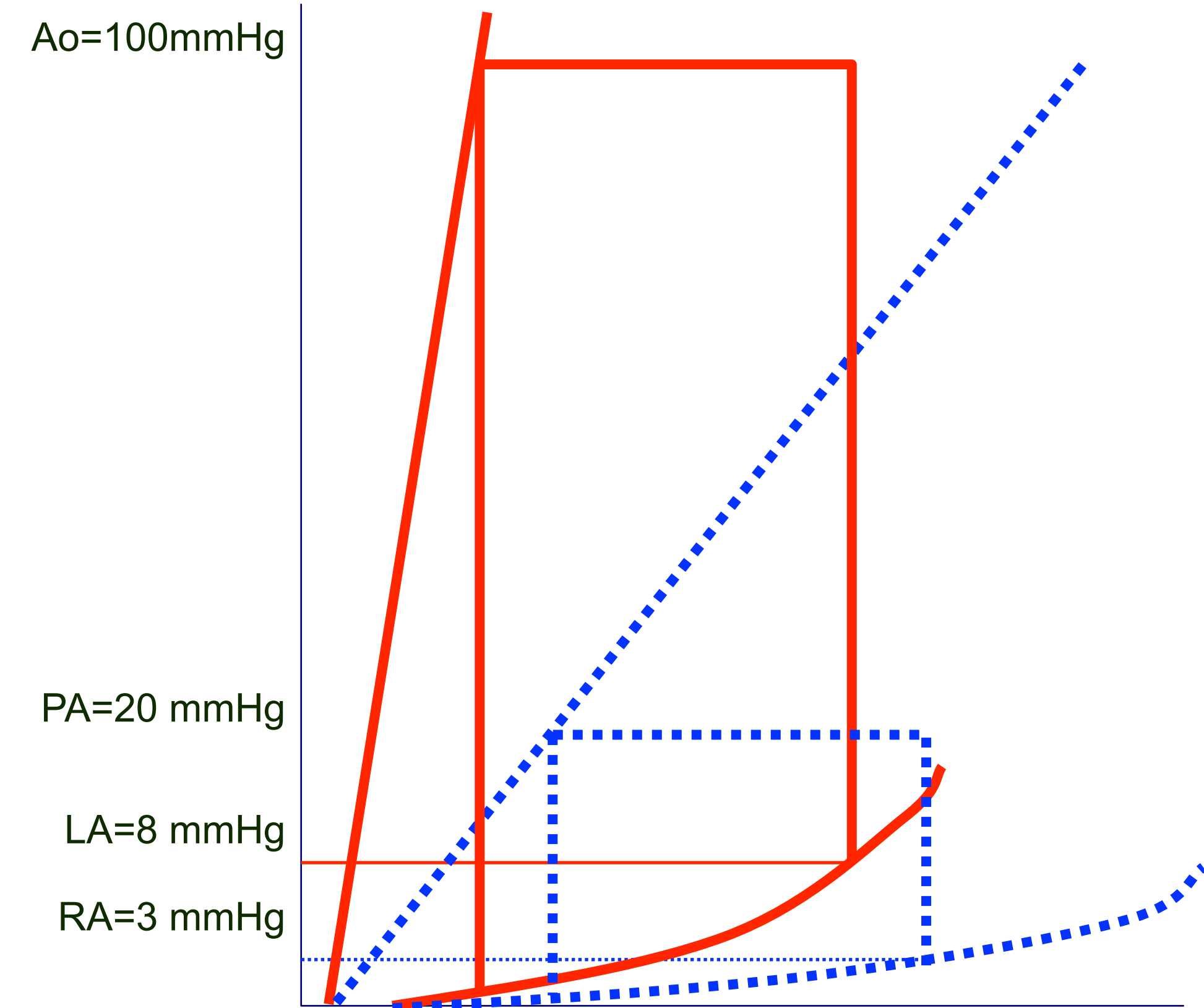


Approche de la fonction myocardique par les courbes pression-volume

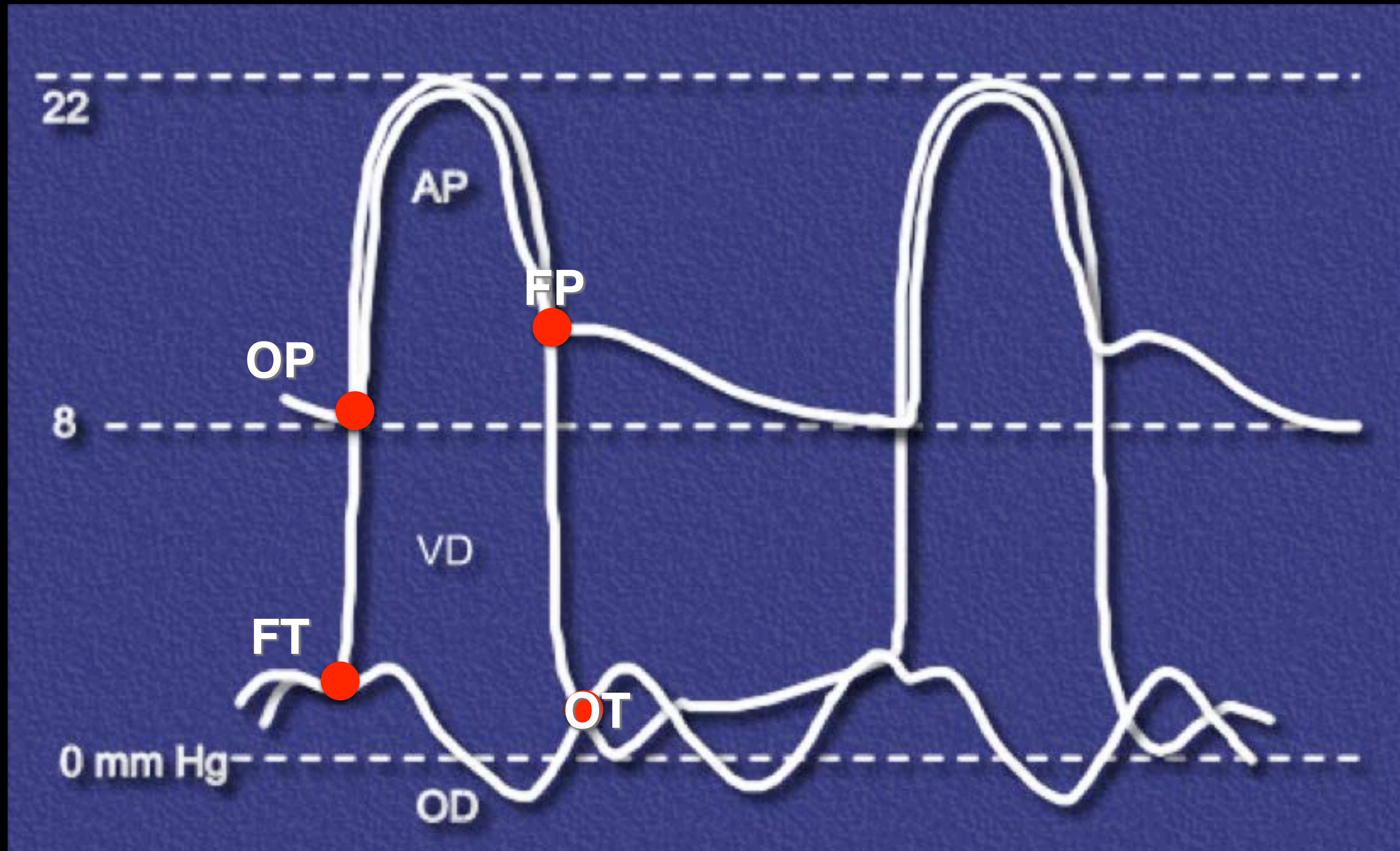
**Infants
without ASD
closed ductus**



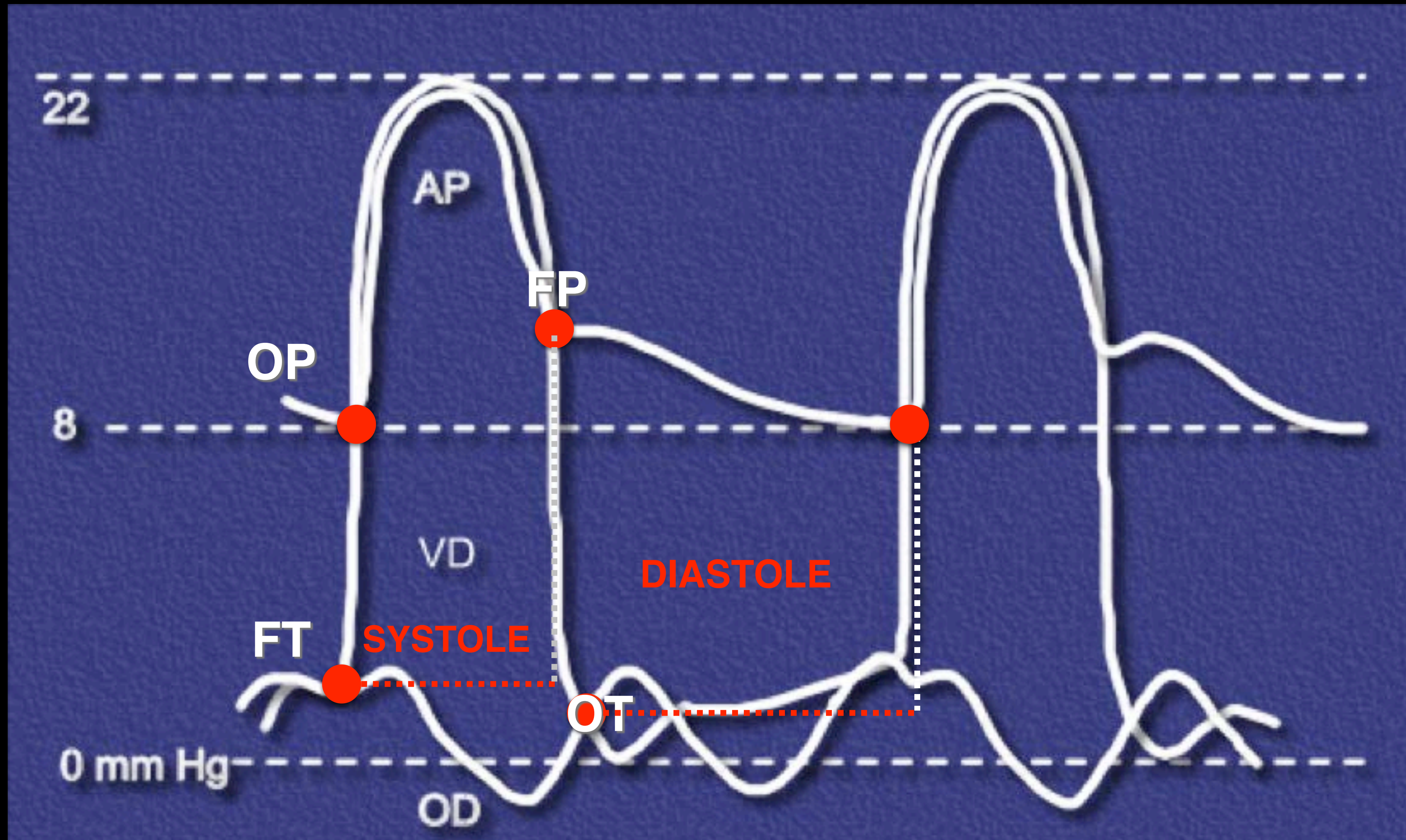
**Adults
without ASD
closed ductus**



Courbes de pression en fonction du temps



Courbes de pression en fonction du temps



Courbes de pression en fonction du temps

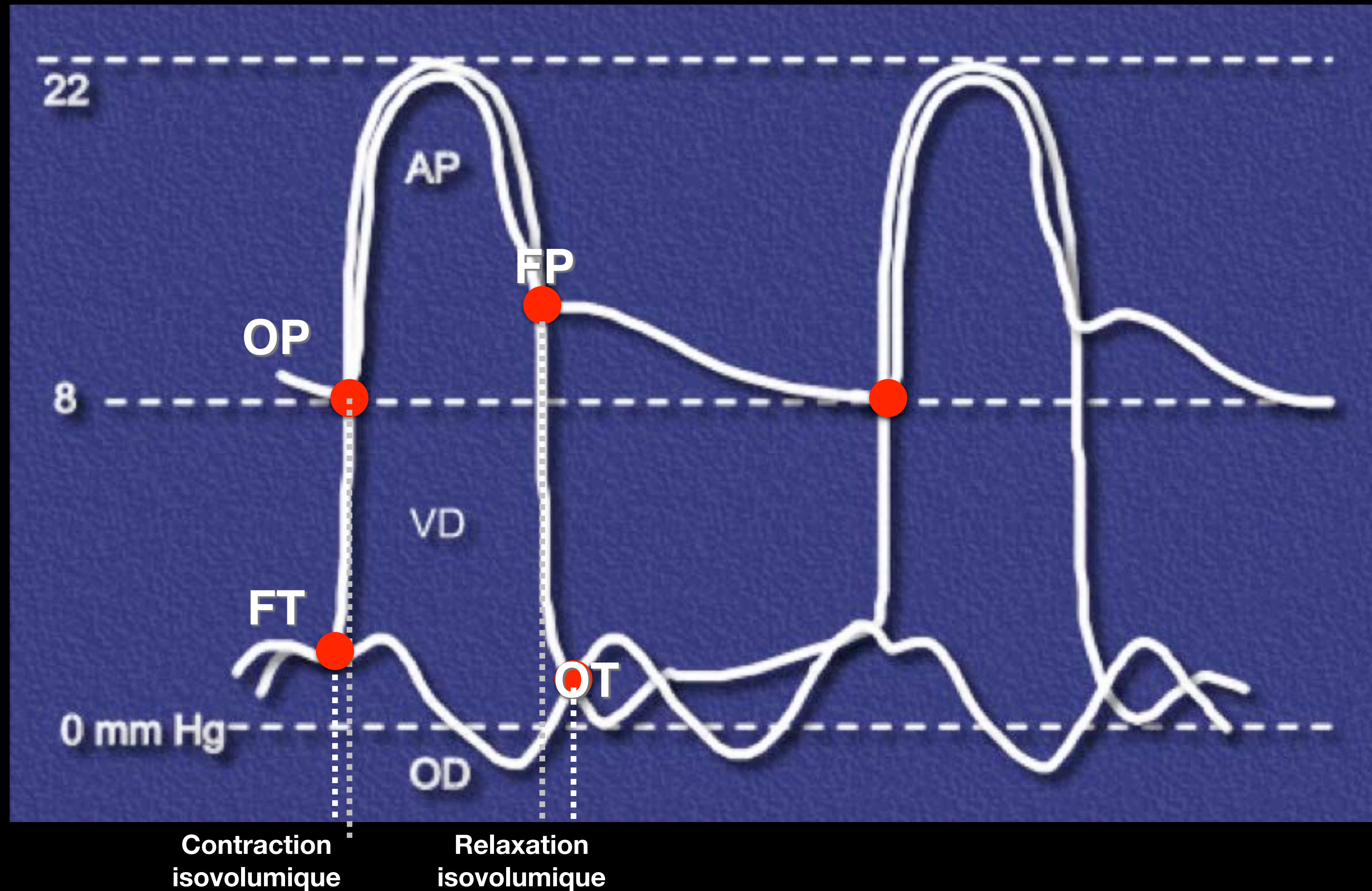
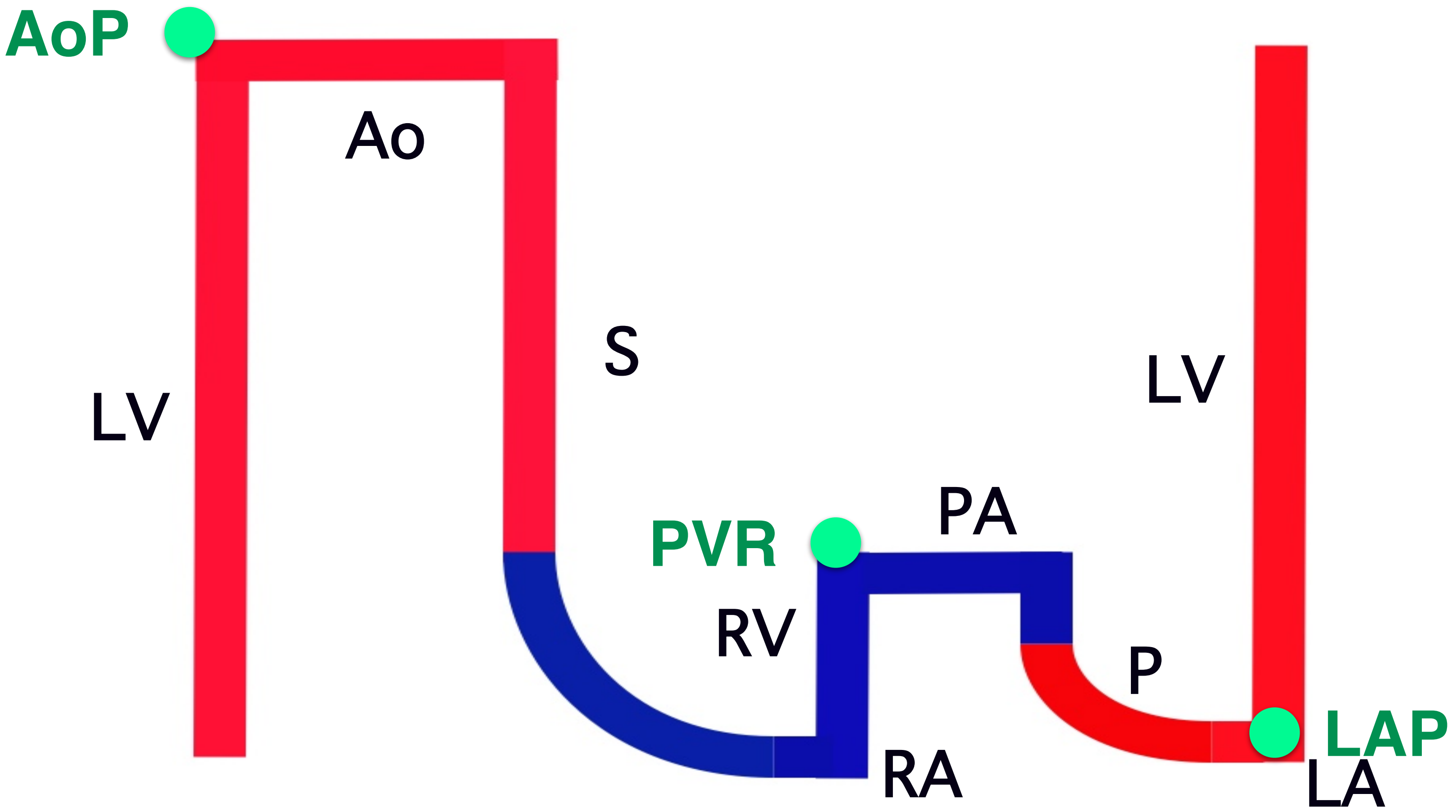


Schéma hémodynamique du Cœur en Série





Physiologie cardiaque appliquée aux cardiopathies congénitales

Partie 3

Physiologie des shunts

Professeur Damien Bonnet

Service de Cardiologie Congénitale et Pédiatrique

Hôpital Universitaire Necker Enfants malades – APHP, Université de Paris

Institut Hospitalo-Universitaire IMAGINE

Centre de Référence Maladies Rares

Malformations Cardiaques Congénitales Complexes-M3C

Centre de Référence Maladies Rares

Maladies Cardiaques Héritaires- CARDIOGEN



Association pour la Recherche en Cardiologie du Fœtus à l'Adulte



European Reference Network

for rare or low prevalence complex diseases

Network Respiratory Diseases (ERN-LUNG)



European Reference Network

for rare or low prevalence complex diseases

Network Heart Diseases (ERN GUARD-HEART)

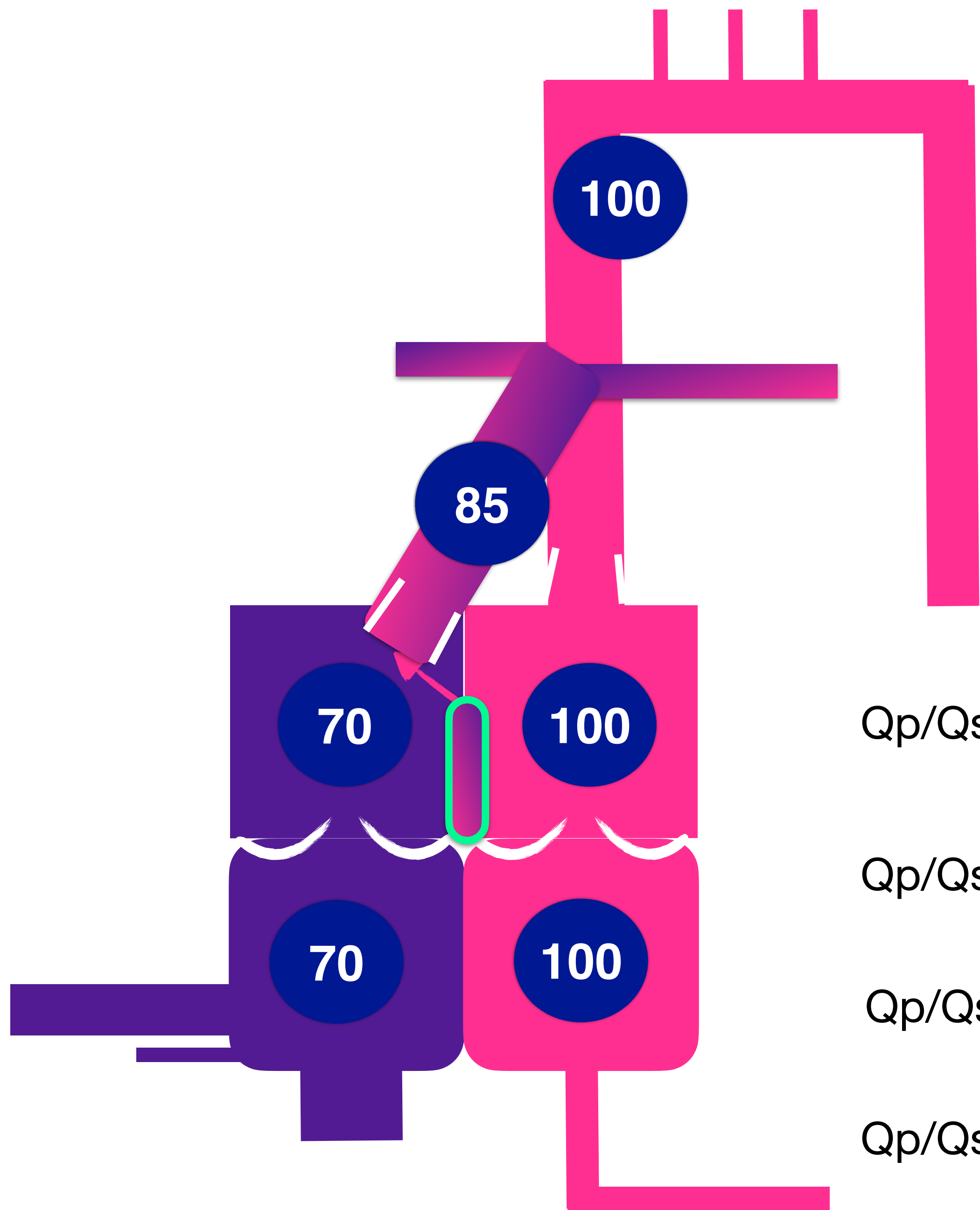
Qp/Qs

Le principe de Fick

- $Q = VES \times FC$
- $VO_2 = Q \times DAV$
- $Q_p/Q_s = [Sa_{Ao} - Sa_{VC}] / [Sa_{VP} - Sa_{AP}]$
- Résistances = $\Delta P / Q$ - Loi de Poiseuille
 - $R_p/R_s = \Delta P_p \cdot Q_s / \Delta P_s \cdot Q_p$
 - $R_p/R_s = (\Delta P_p / \Delta P_s) \cdot (Q_s / Q_p)$

Q: débit
VO₂: Consommation d'oxygène
FC: Fréquence cardiaque
DAV: Différence artérioveineuse
Sa: Saturation

Ao: Aorte
VC: Veine cave
VP: Veine pulmonaire
AP: Artère pulmonaire
p: pulmonaire
s: systémique

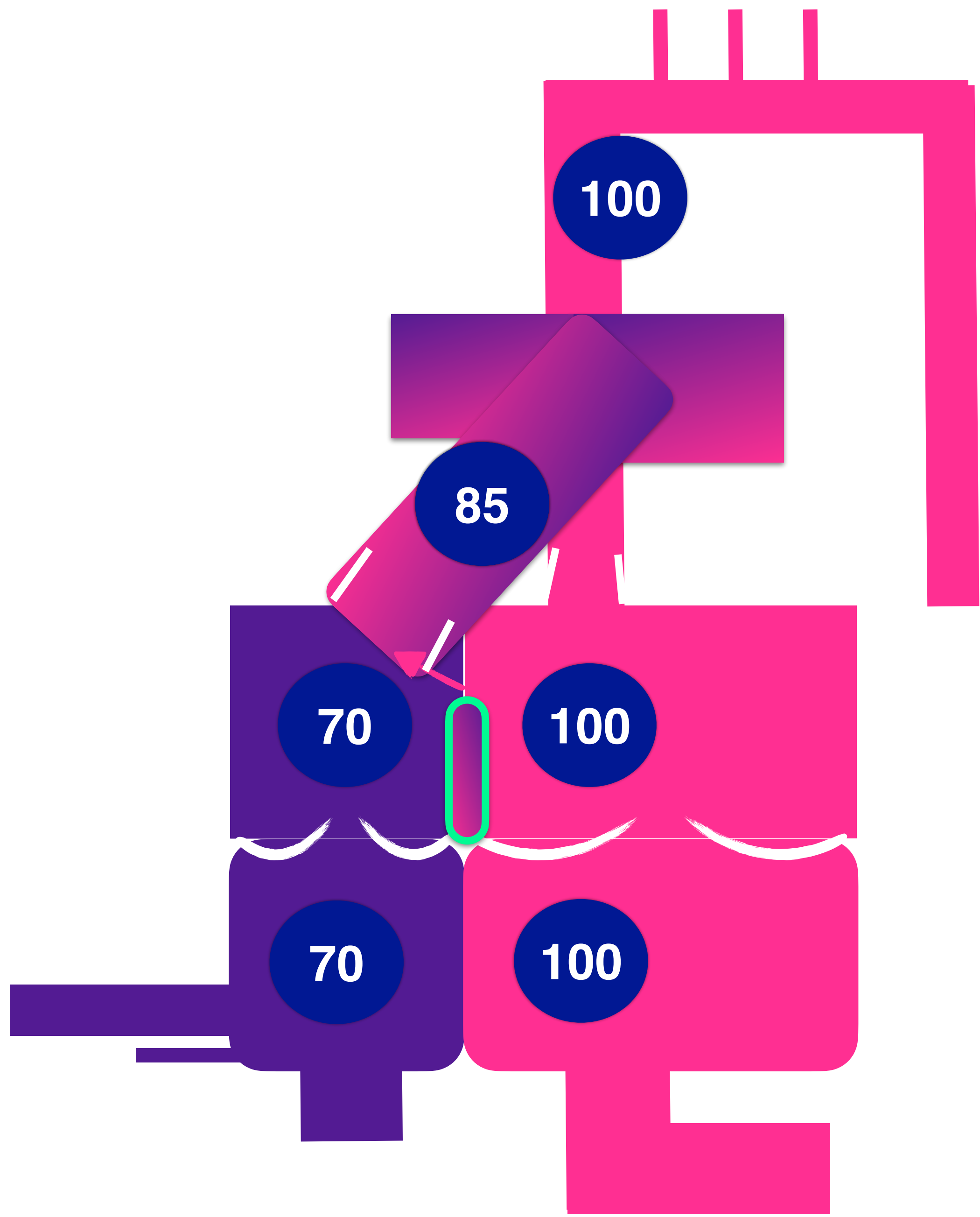


$$Q_p/Q_s = [SaAo - SaVC] / [SaVP - SaAP]$$

$$Q_p/Q_s = [100 - 70] / [100 - X]$$

$$Q_p/Q_s = [100 - 70] / [100 - 85]$$

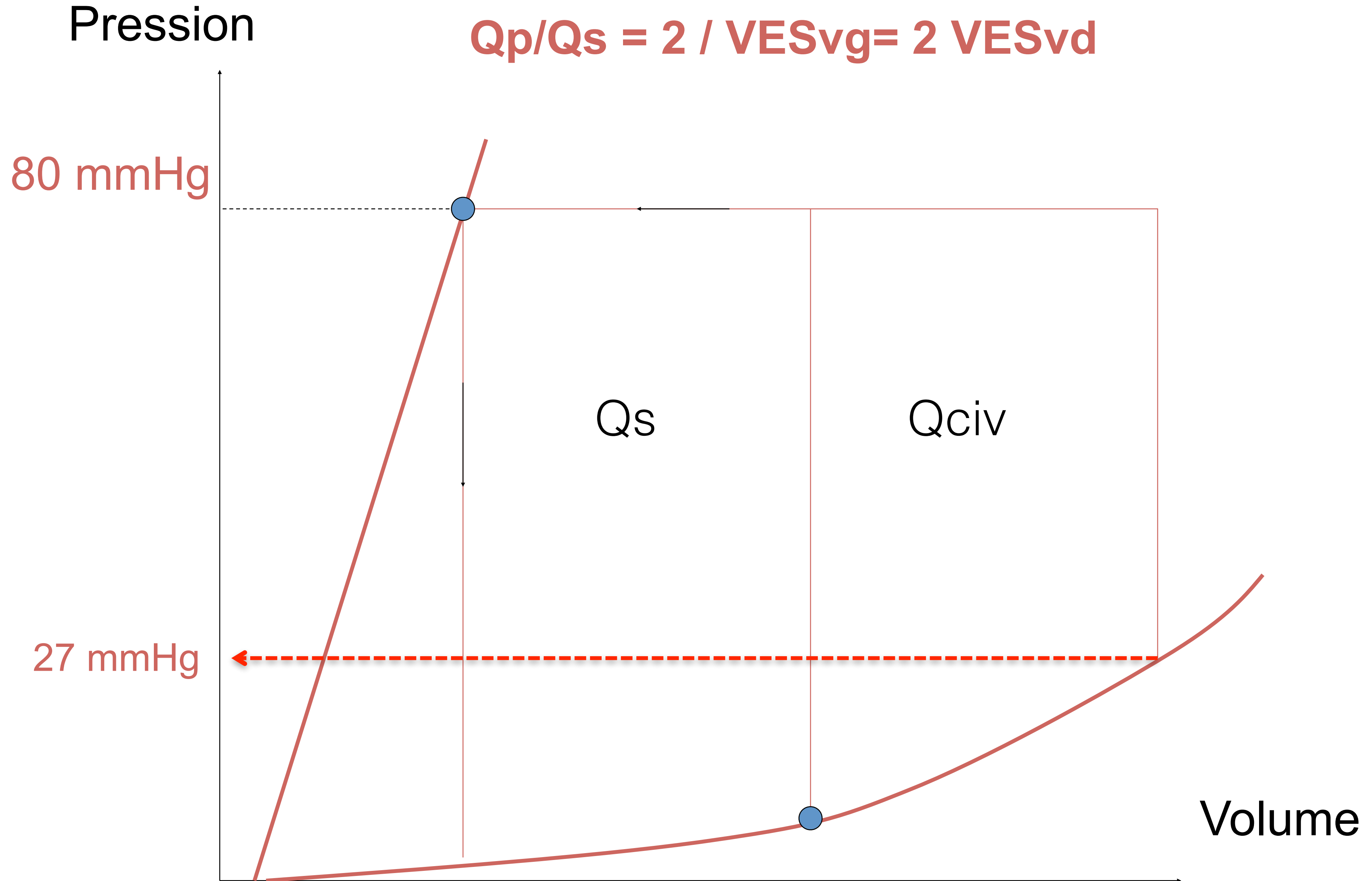
$$Q_p/Q_s = [30] / [15] = 2/1 = 2$$

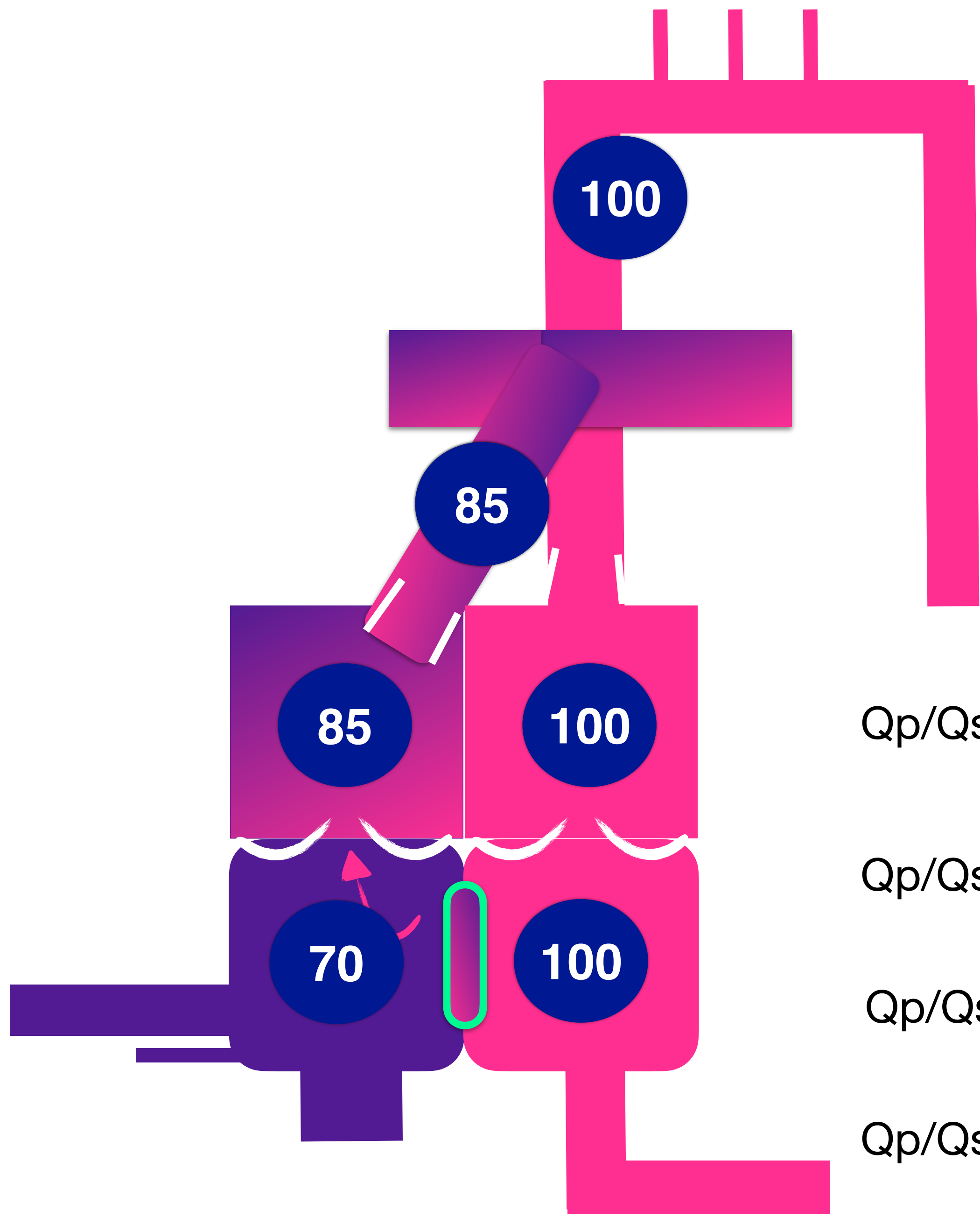




VG

$$Q_p/Q_s = 2 / VES_{vg} = 2 VES_{vd}$$



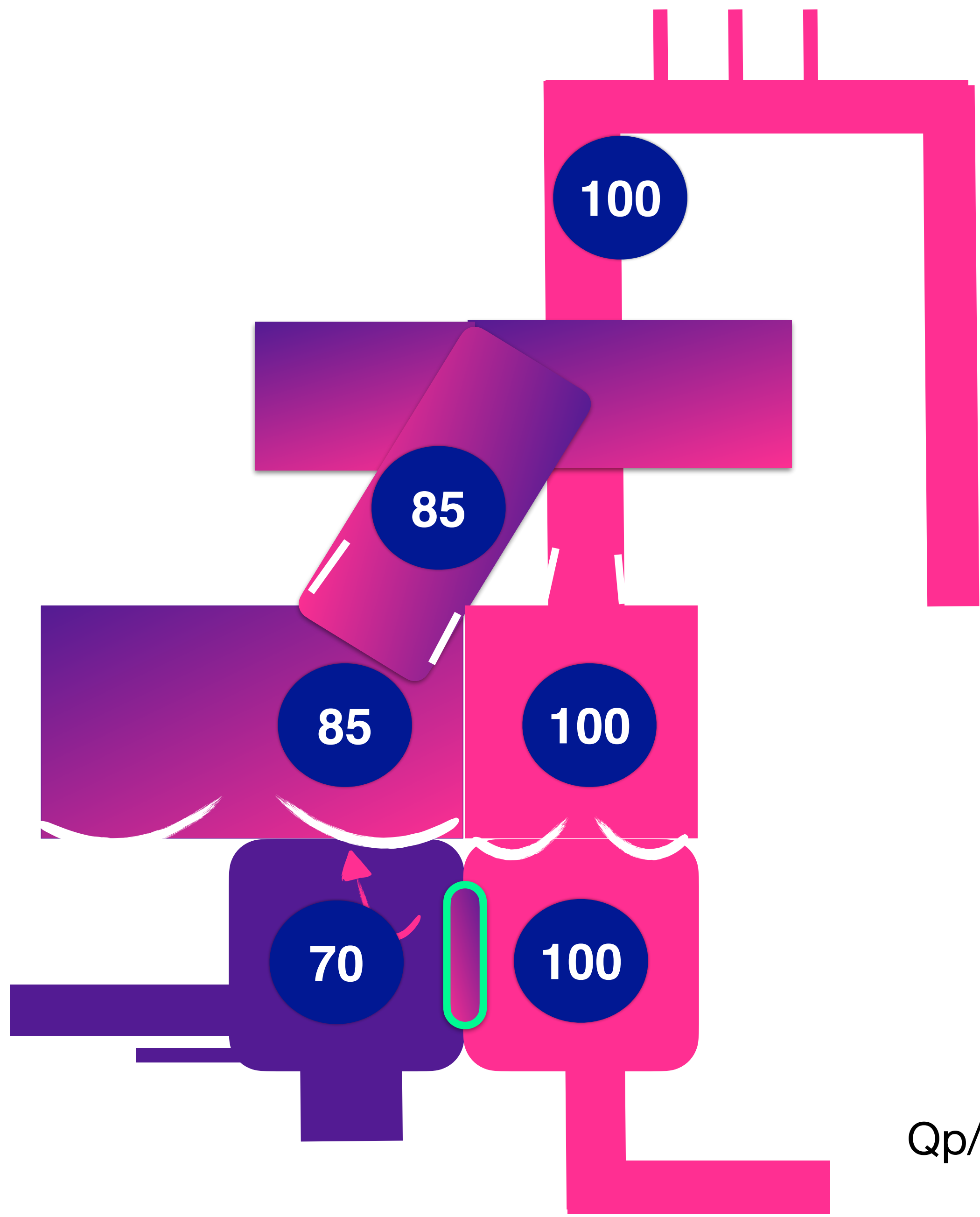


$$Q_p/Q_s = [SaAo - SaVC] / [SaVP - SaAP]$$

$$Q_p/Q_s = [100 - 70] / [100 - X]$$

$$Q_p/Q_s = [100 - 70] / [100 - 85]$$

$$Q_p/Q_s = [30] / [15] = 2/1 = 2$$

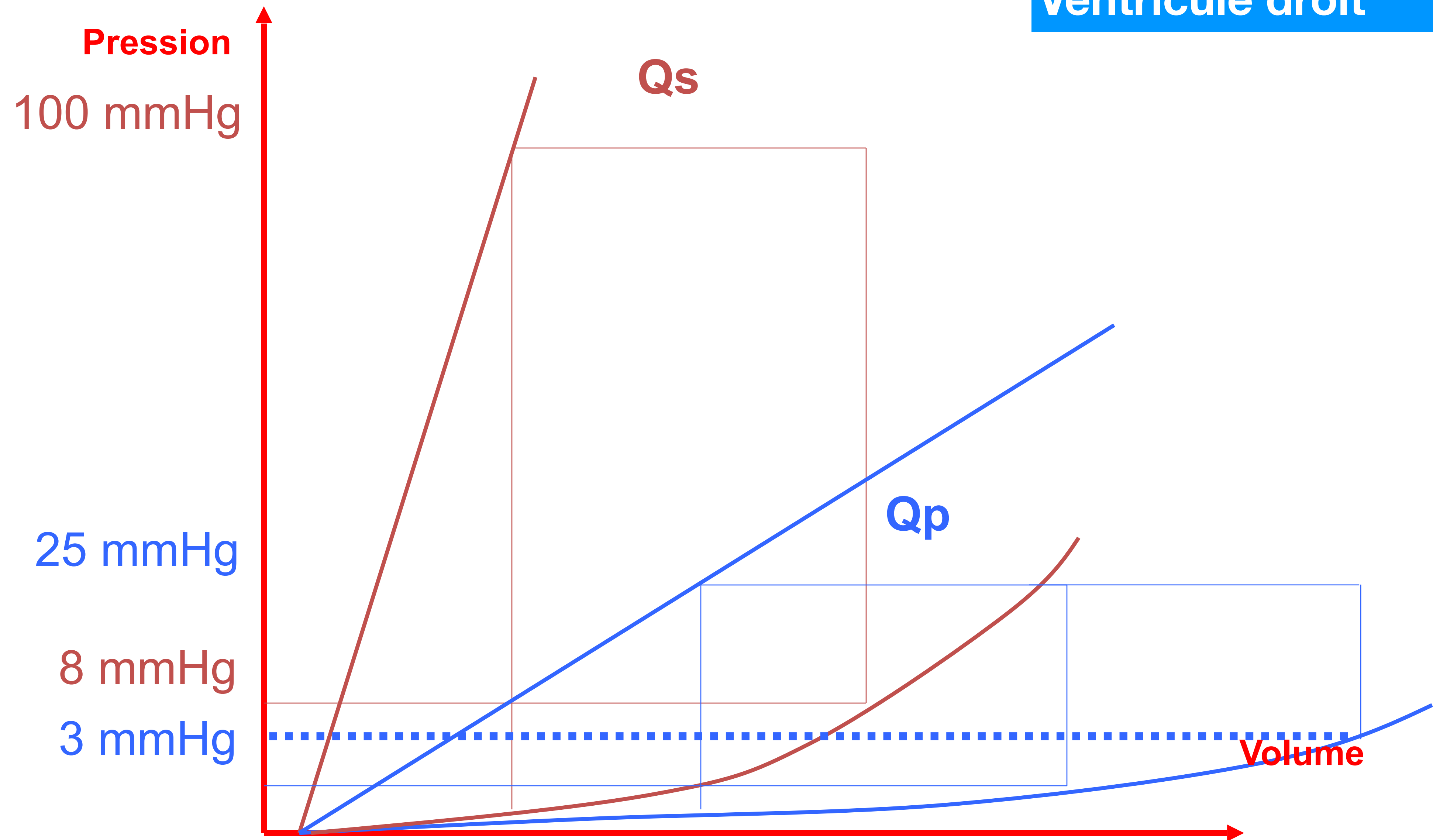


$$Q_p/Q_s = [30]/[15] = 2/1 = 2$$

Approche de la fonction myocardique par les courbes pression-volume

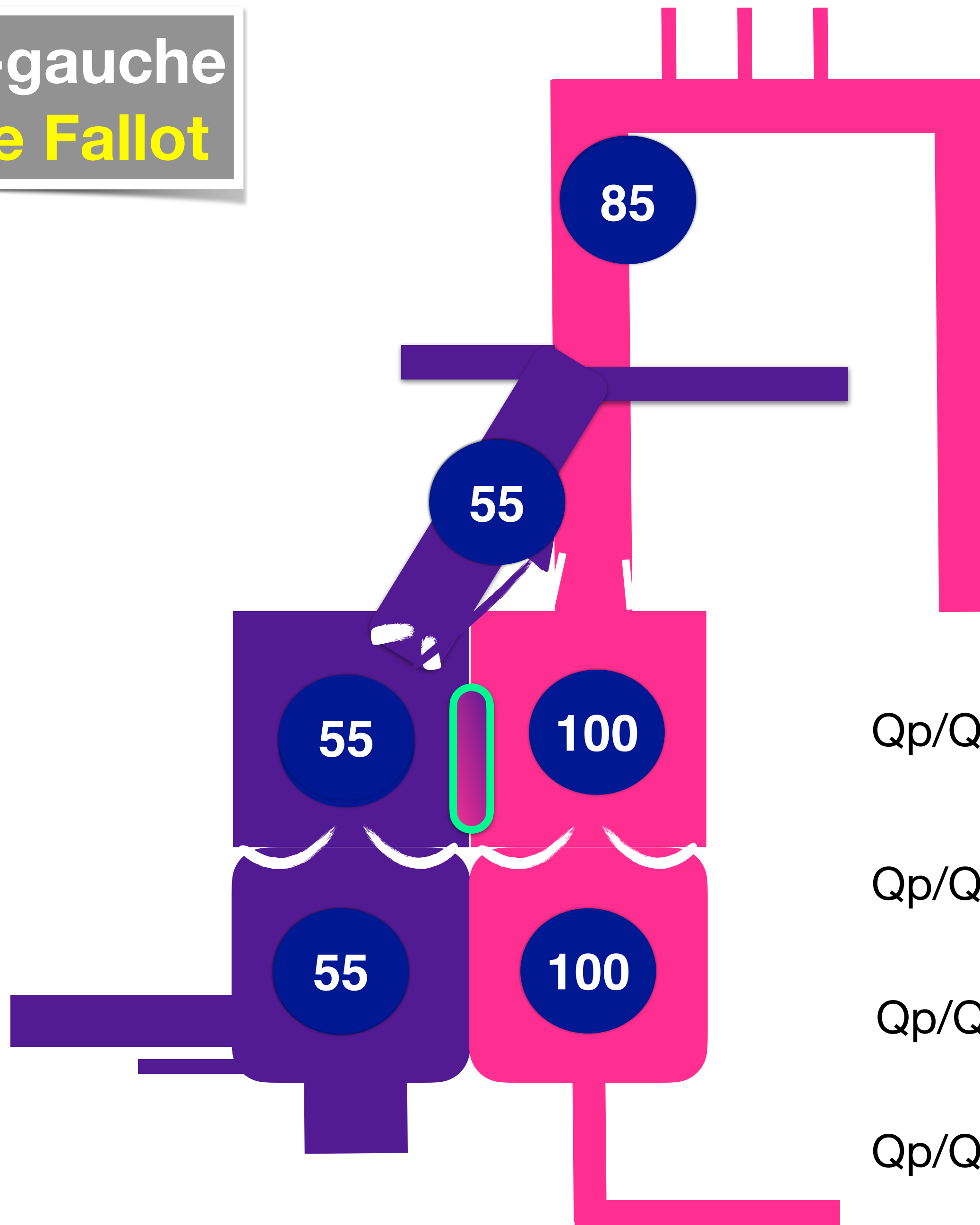
Ventricule gauche

Ventricule droit



Shunt droite-gauche

Tétralogie de Fallot



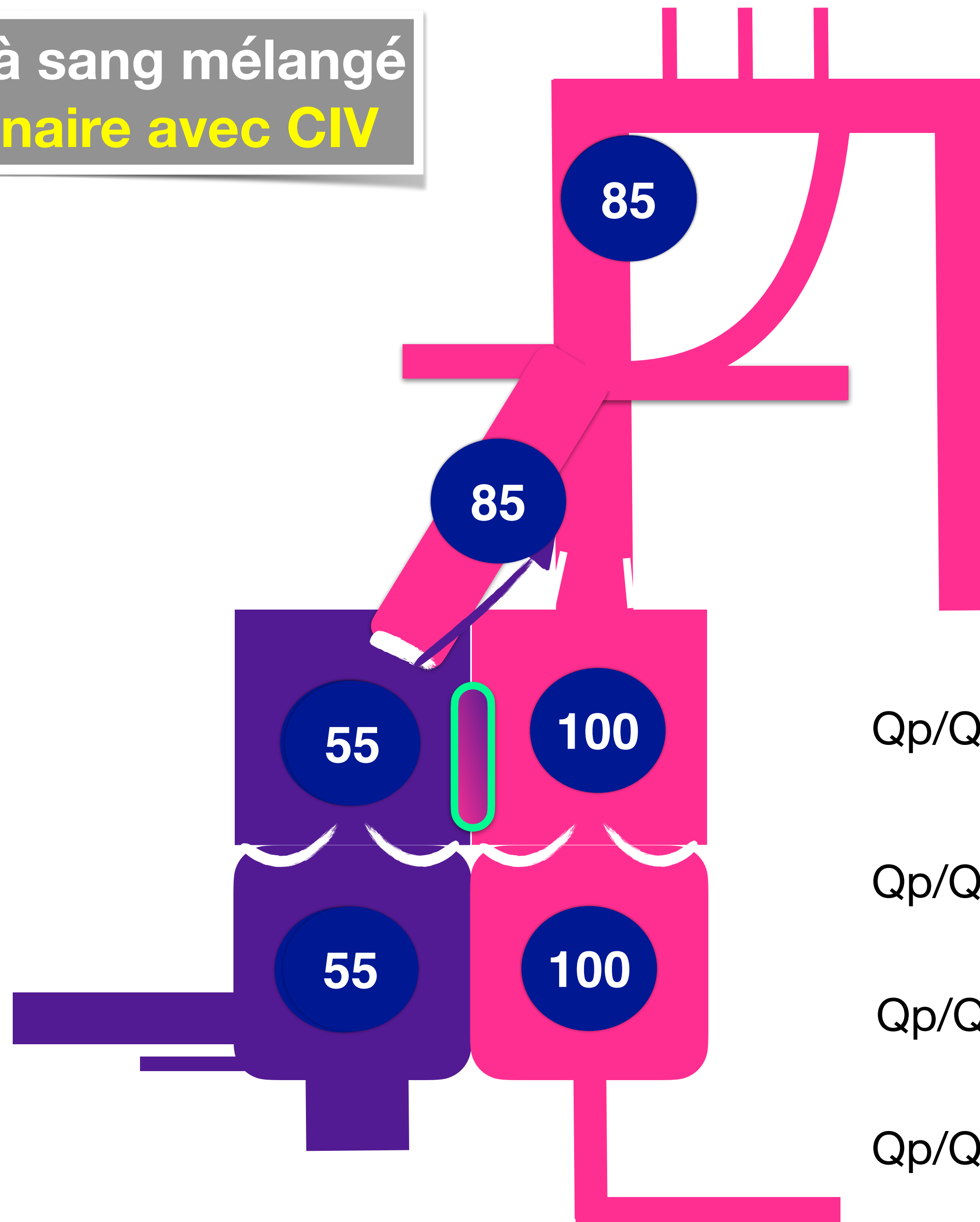
$$Q_p/Q_s = [SaAo - SaVC] / [SaVP - SaAP]$$

$$Q_p/Q_s = [X - (X - 30)] / [100 - (X - 30)]$$

$$Q_p/Q_s = [85 - 55] / [100 - 55]$$

$$Q_p/Q_s = [30] / [45] = 2/3$$

Cardiopathies à sang mélangé
Atrésie pulmonaire avec CIV



$$Qp/Qs = [SaAo - SaVC] / [SaVP - SaAP]$$

$$Qp/Qs = [X - (X - 30)] / [100 - (X - 30)]$$

$$Qp/Qs = [85 - 55] / [100 - 85]$$

$$Qp/Qs = [30] / [15] = 2$$

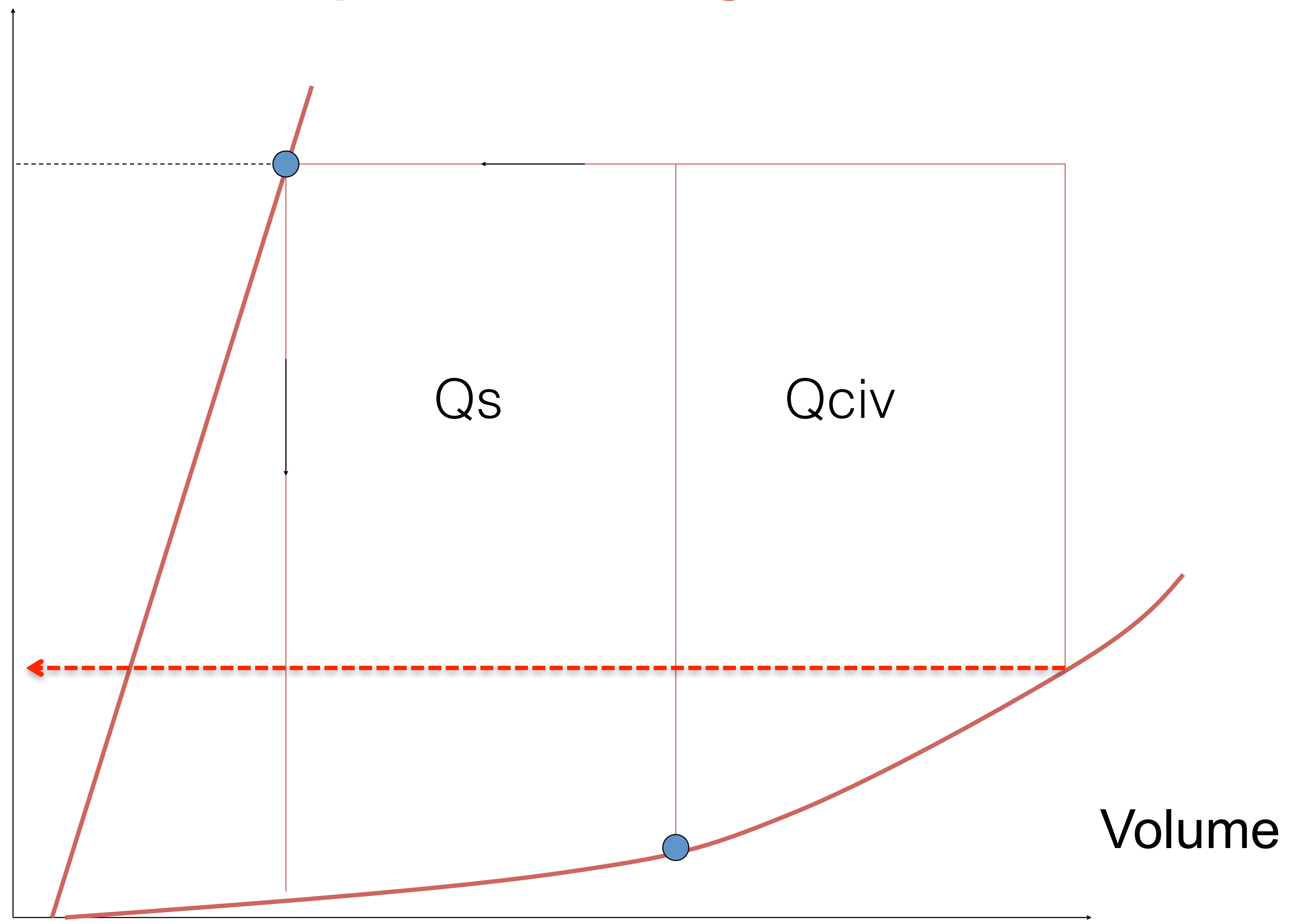
VG

$$Q_p/Q_s = 2 / VES_{vg} = 2 VES_{vd}$$

Pression

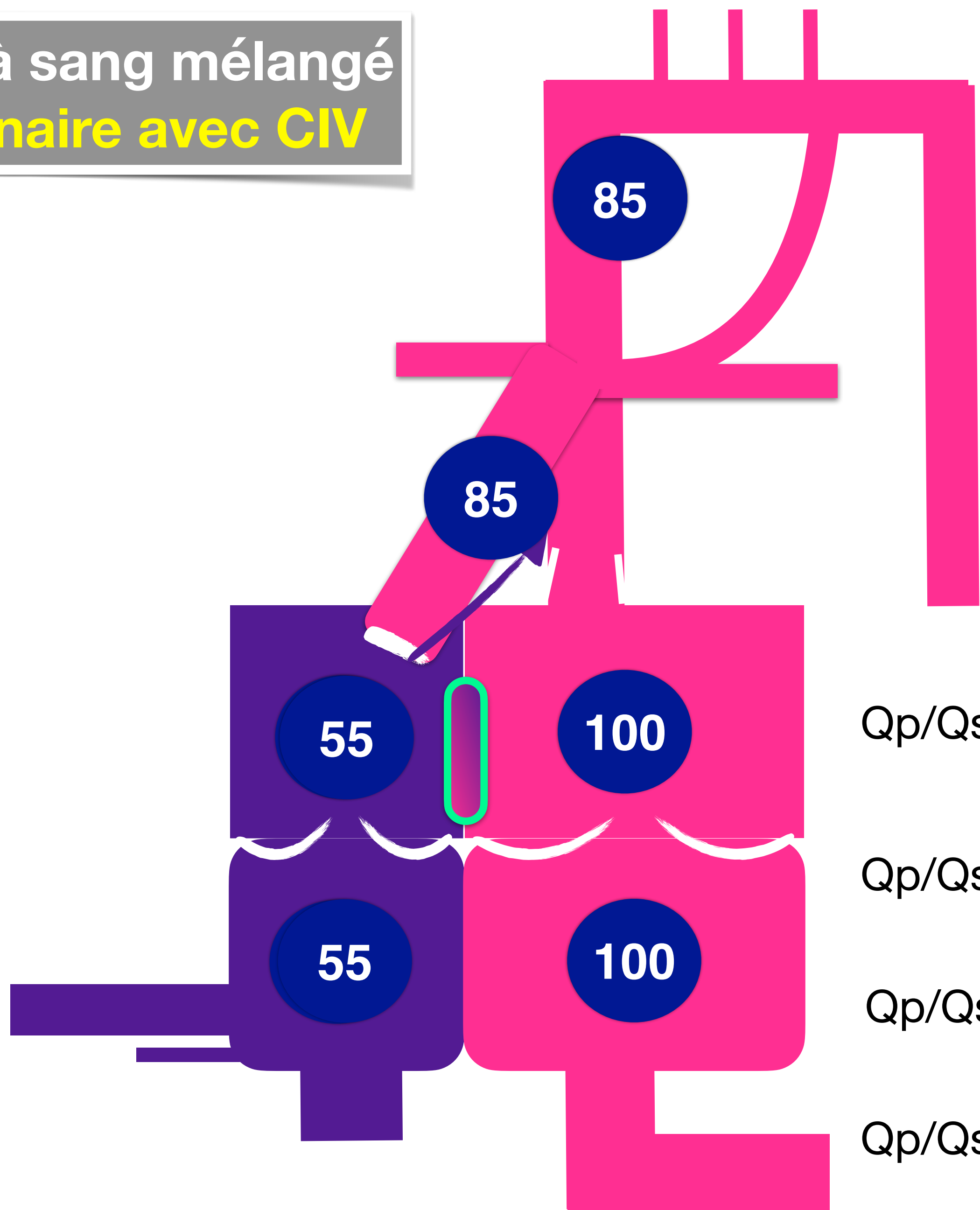
80 mmHg

27 mmHg



Volume

Cardiopathies à sang mélangé
Atrésie pulmonaire avec CIV



$$Q_p/Q_s = [Sa_{Ao} - Sa_{VC}] / [Sa_{VP} - Sa_{AP}]$$

$$Q_p/Q_s = [X - (X - 30)] / [100 - (X - 30)]$$

$$Q_p/Q_s = [85 - 55] / [100 - 85]$$

$$Q_p/Q_s = [30] / [15] = 2$$

Qp/Qs

Estimation du Qp/Qs dans les cardiopathies congénitales

Shunt **gauche-droite** : l'inconnue est la saturation dans l'artère pulmonaire

Shunt **droite-gauche** : la saturation dans l'aorte donne le Qp/Qs car la saturation dans les veines caves et dans l'artère pulmonaire sont égales à Ao-DAV

Cardiopathies à **sang mélangé** : la saturation dans l'aorte donne le Qp/Qs car la saturation dans l'AP est égale à celle de l'aorte et la saturation dans la VC est égale à Ao-DAV

Estimation des résistances pulmonaires

Résistances= $\Delta P/Q$

Résistances pulmonaires

$R_p = \Delta P \text{ (PAP moyenne - POG moyenne)} / Q_p$

Résistances systémiques

$R_s = \Delta P \text{ (PAo moyenne - POD moyenne)} / Q_s$

Rapport des résistances pulmonaires/systémiques

$R_p/R_s = \Delta P_p \cdot Q_s / \Delta P_s \cdot Q_p$

$R_p/R_s = (\Delta P_p / \Delta P_s) \cdot (Q_s / Q_p)$

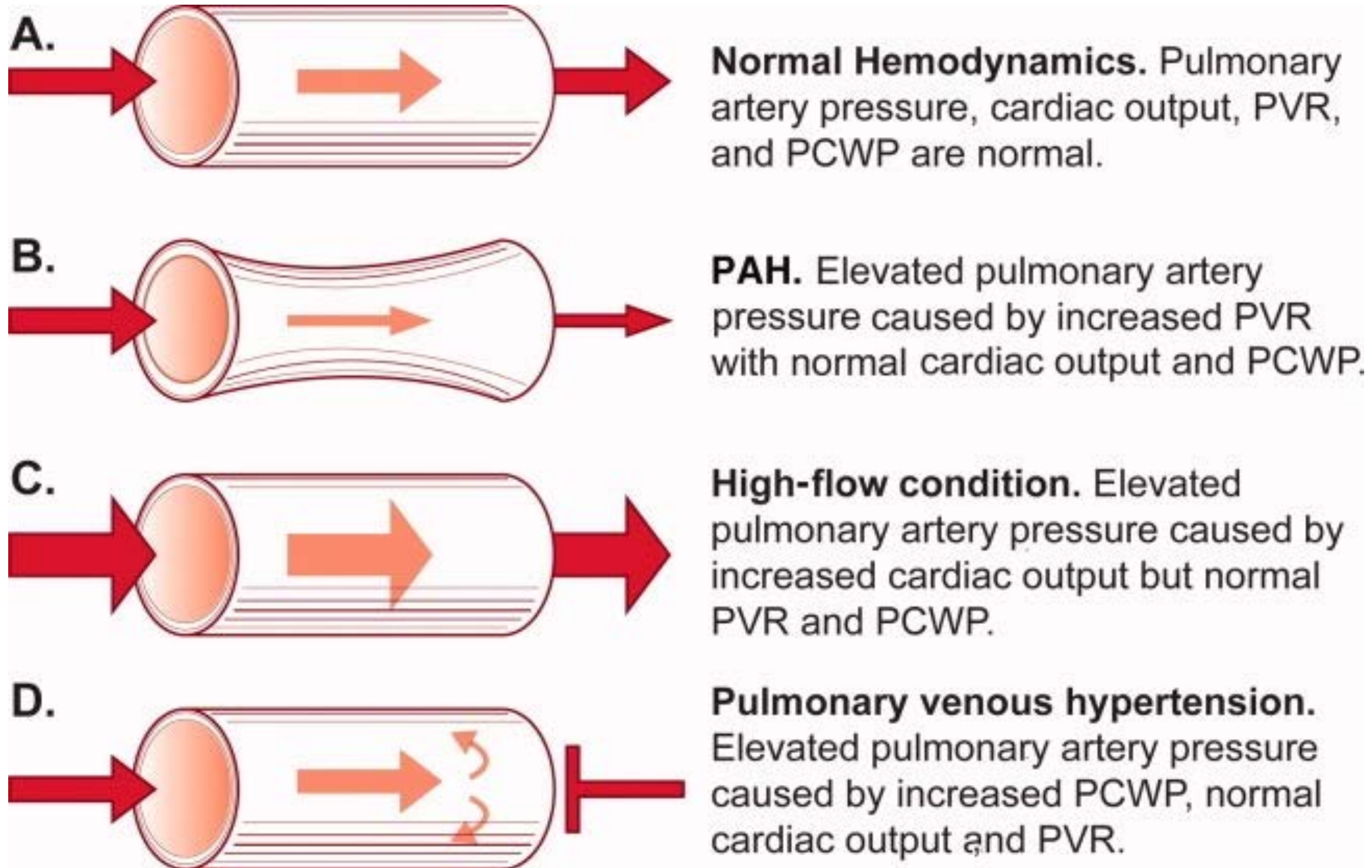
$$R_p = \Delta P / Q_p$$

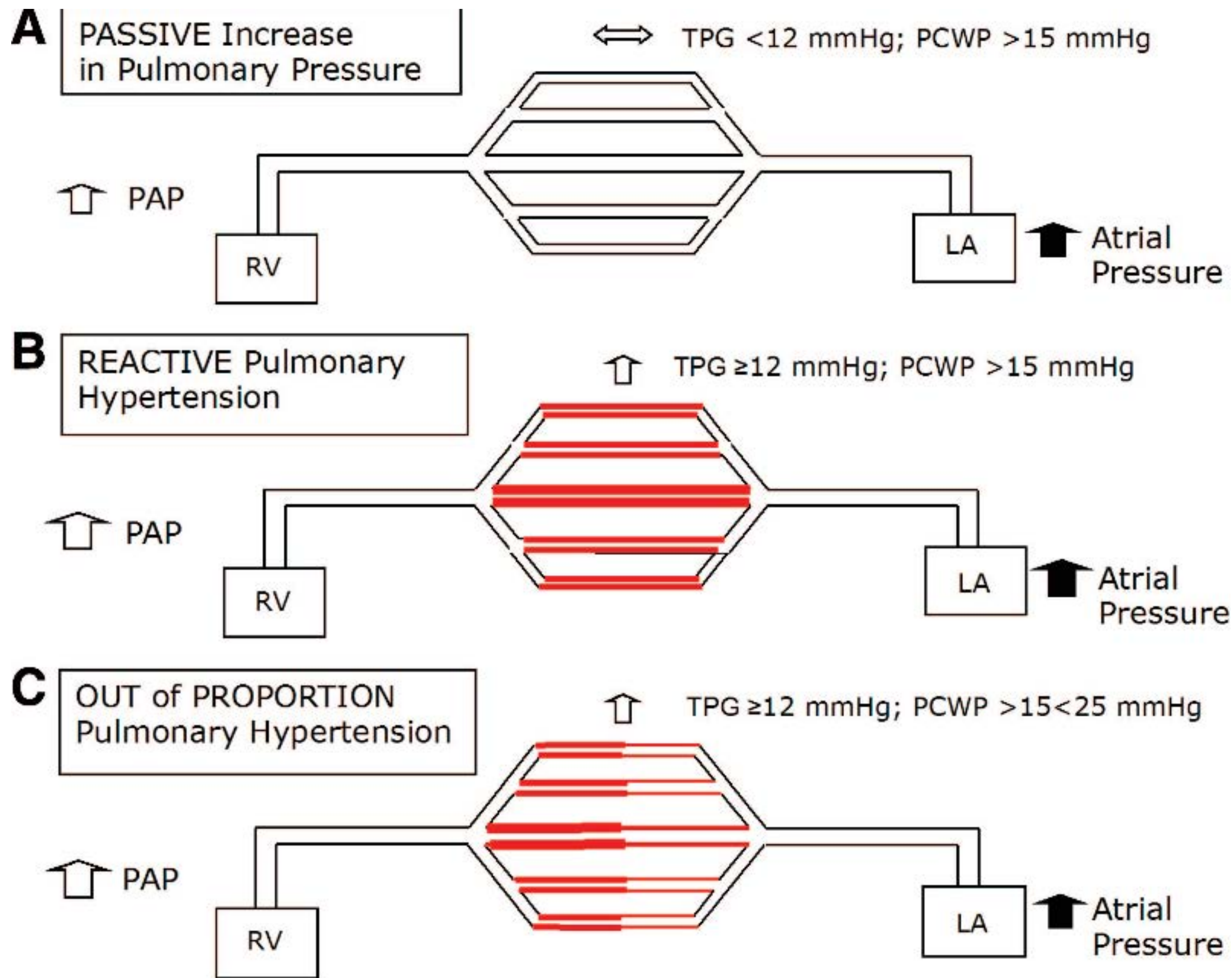
$$mPAP - PWP = Q_p \times R_p$$

$$\text{mean PAP} = \text{Flow} \times \text{Resistance} + \text{PWP}$$

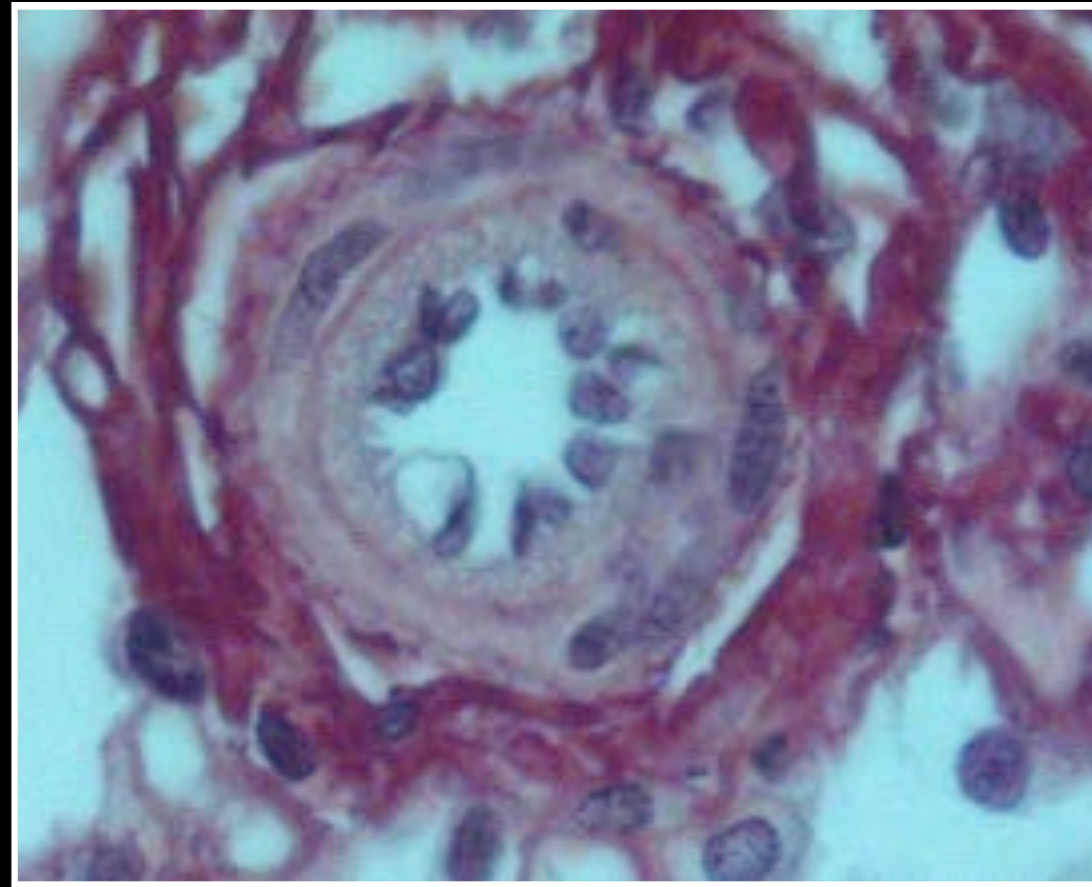
- Flow-associated pulmonary hypertension (hyperkinetic)
 - congenital systemic pulmonary shunt
- Increased pulmonary vascular resistance
 - pulmonary arteriopathy (“Eisenmenger”)
- Pulmonary venous congestion

Current hemodynamic classification of PH

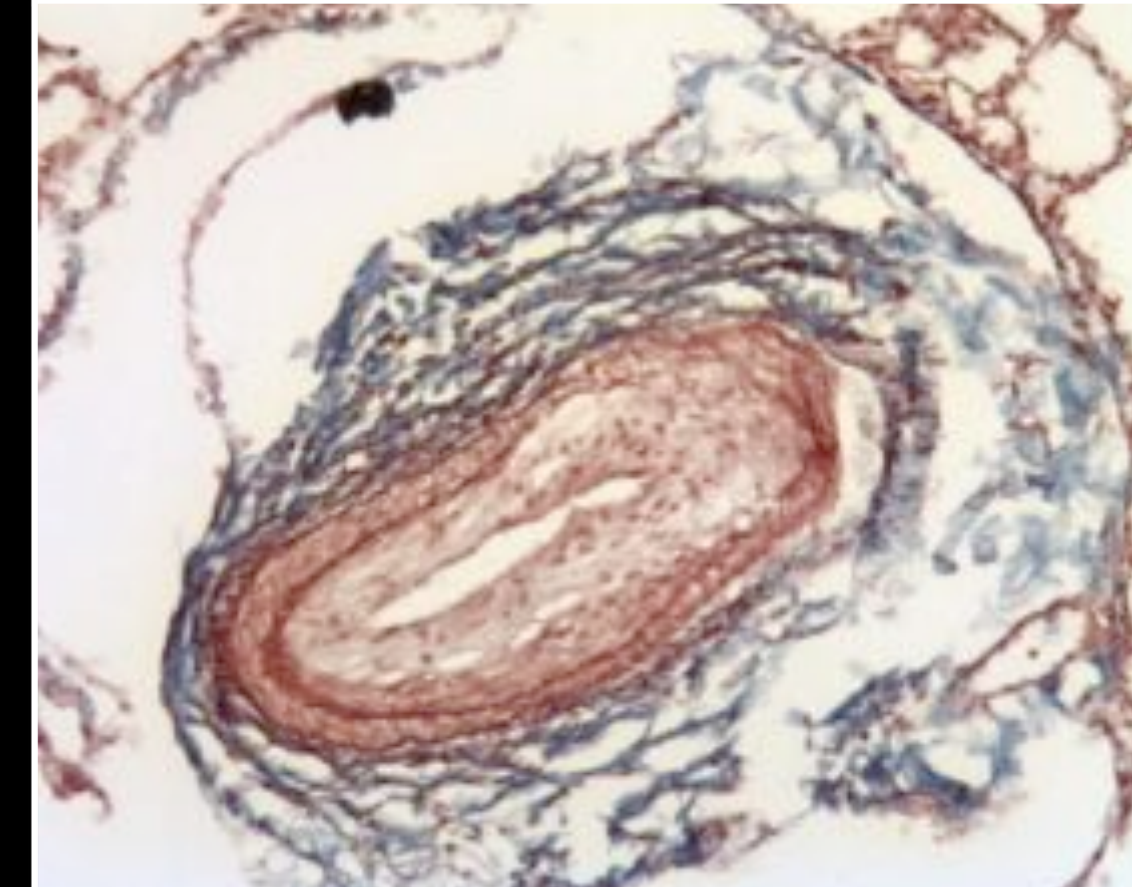
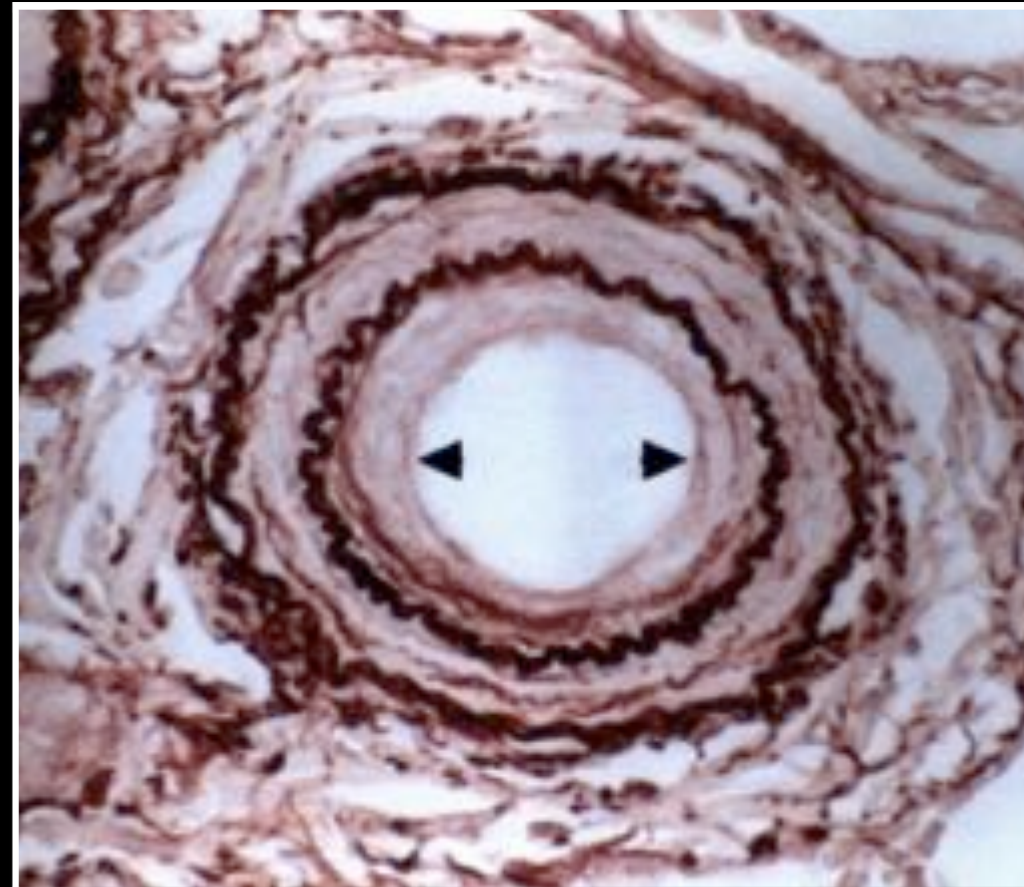




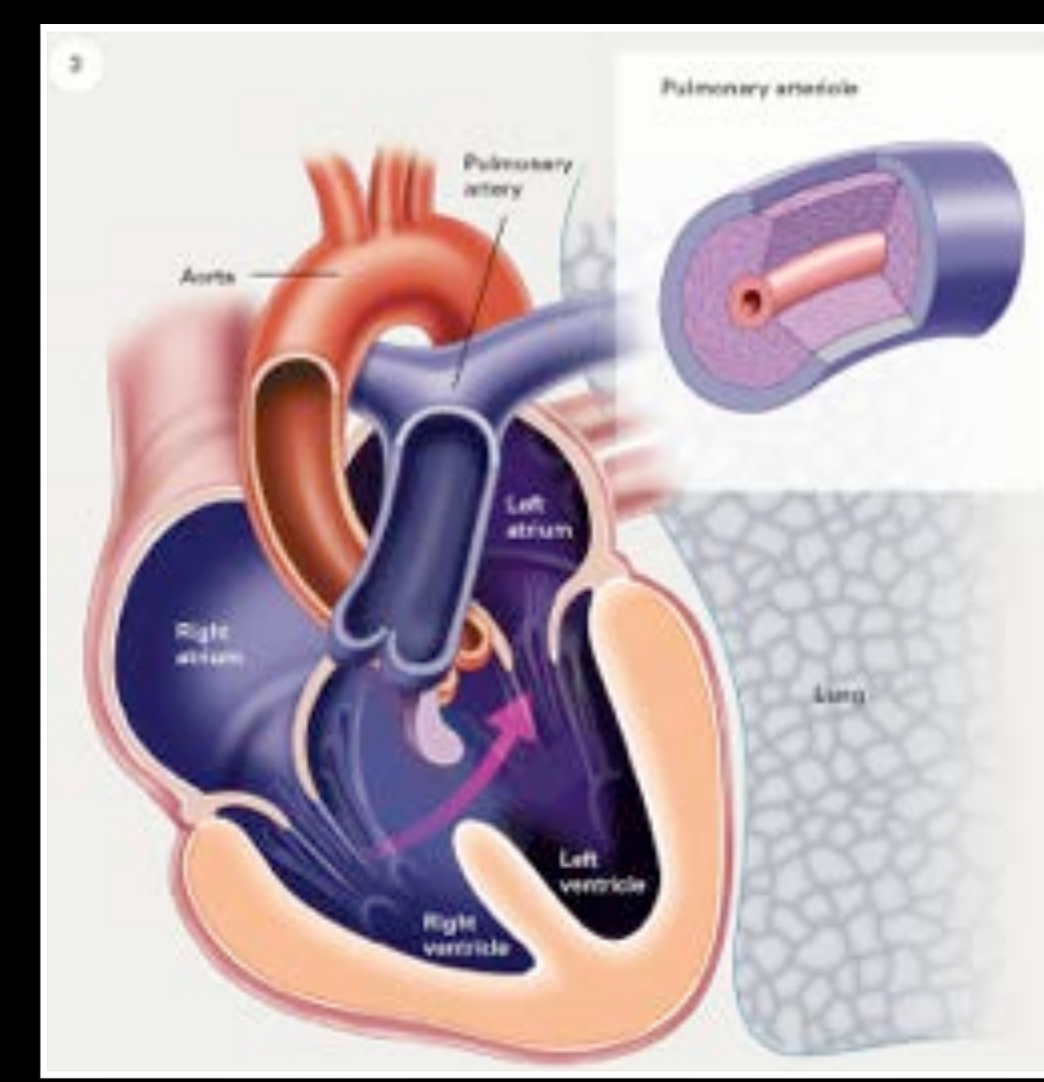
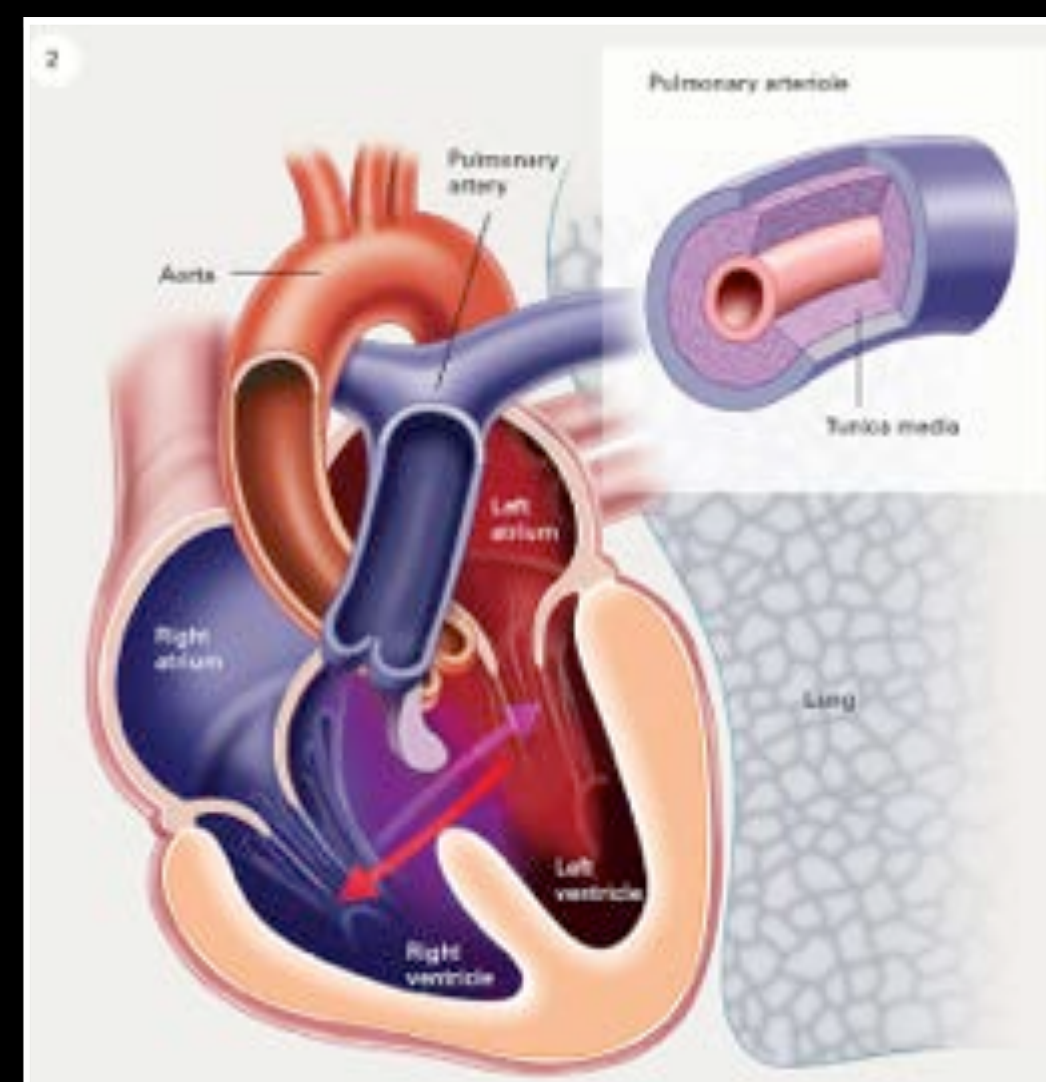
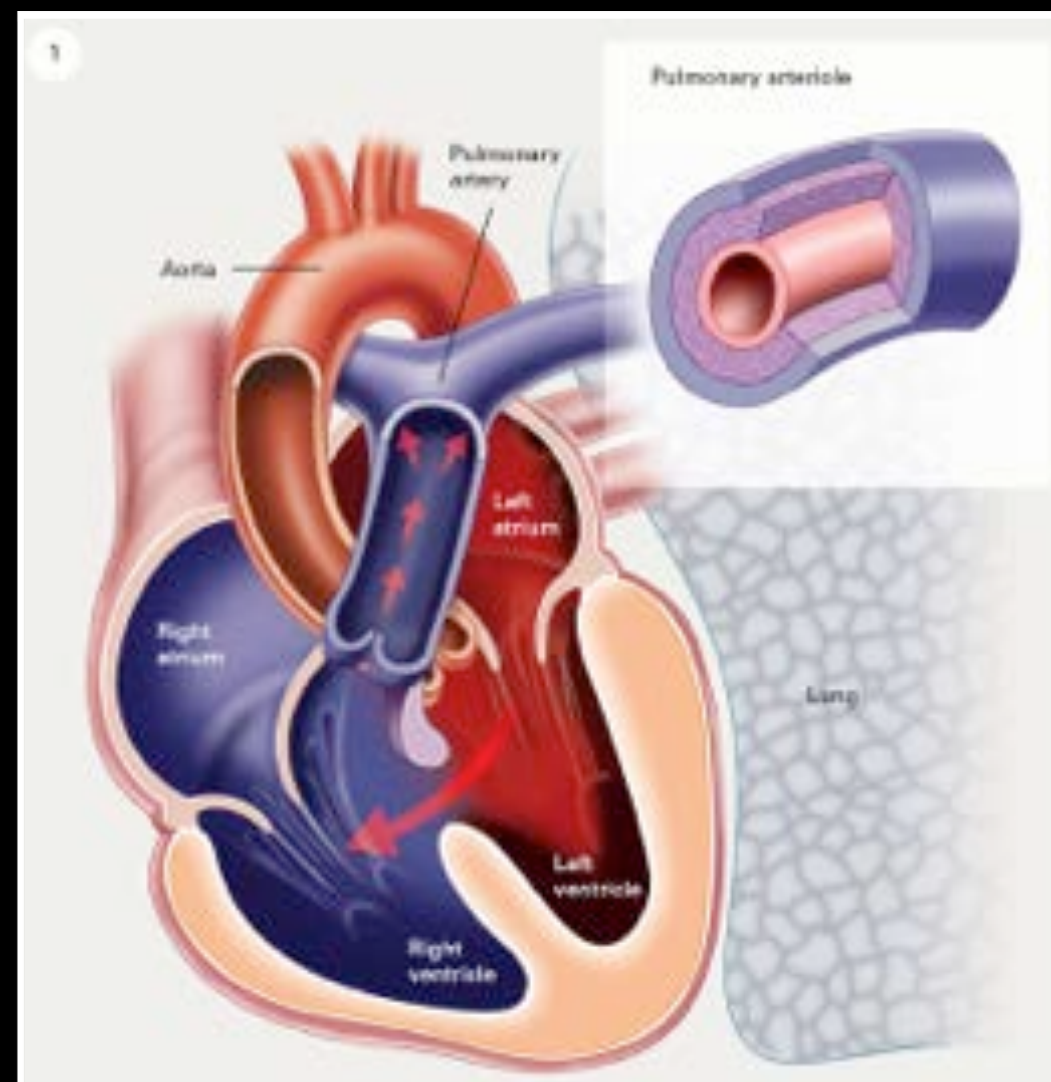
Natural history of L-R shunts



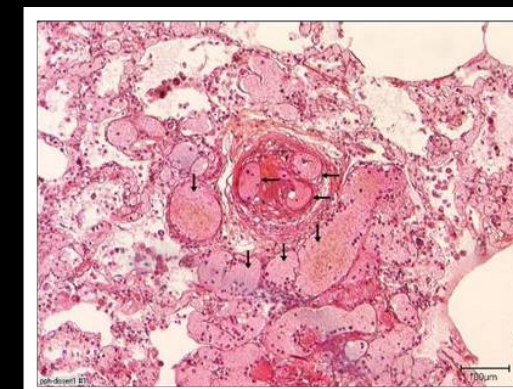
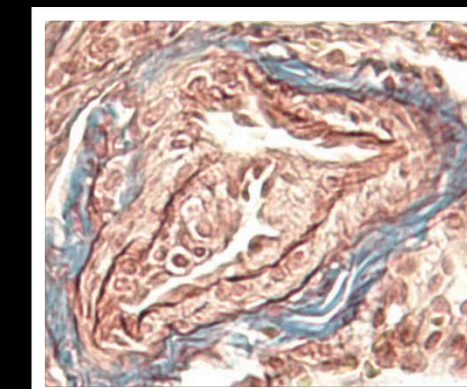
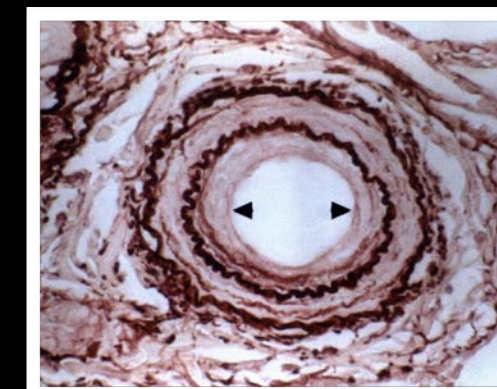
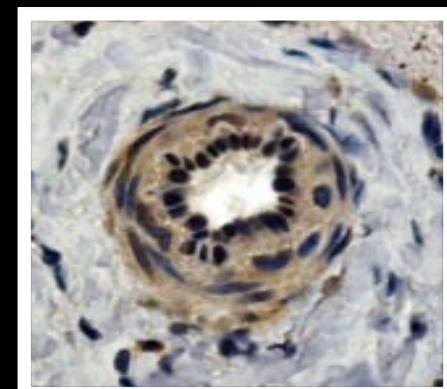
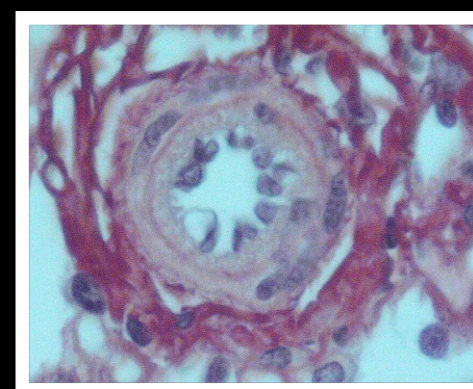
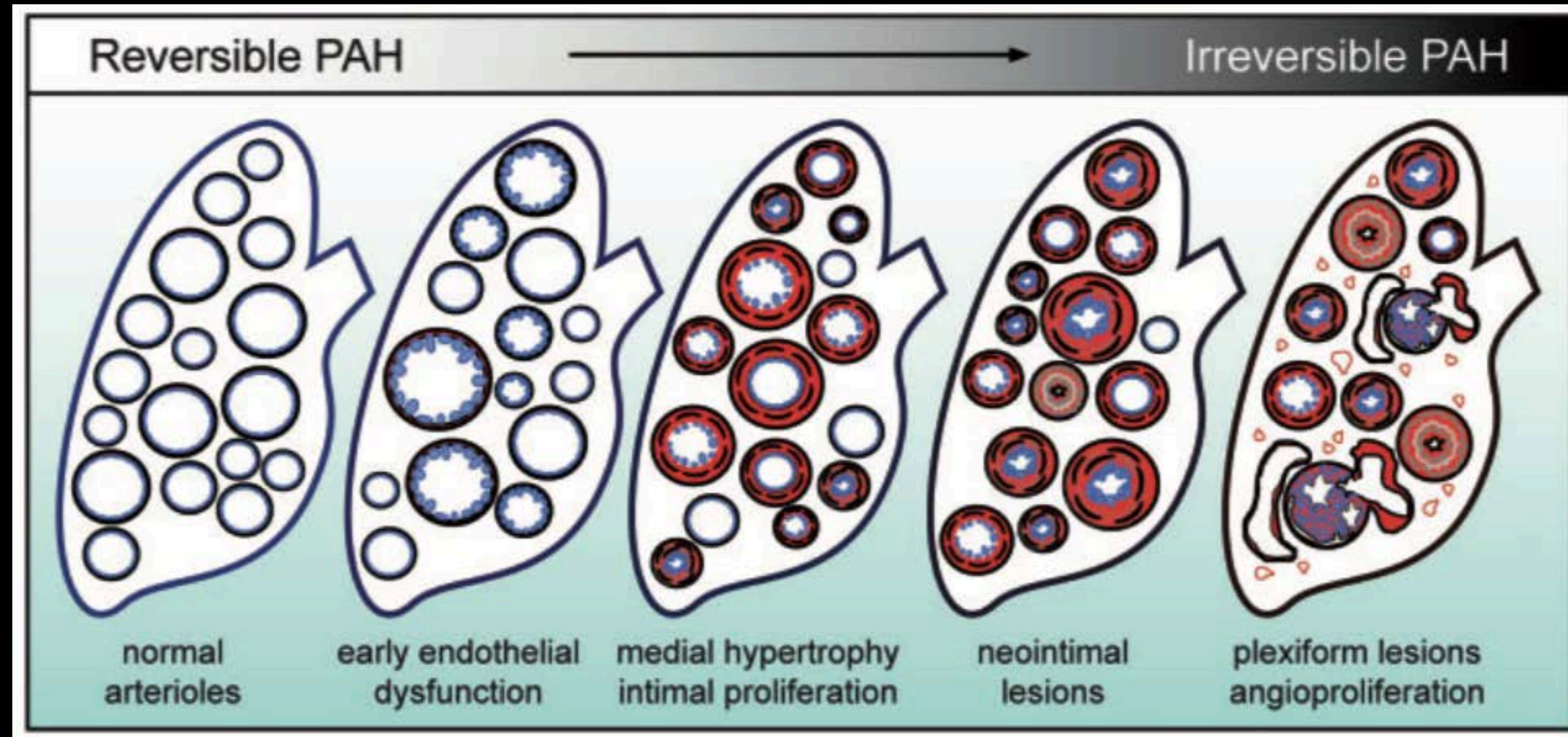
Reversible



Non reversible

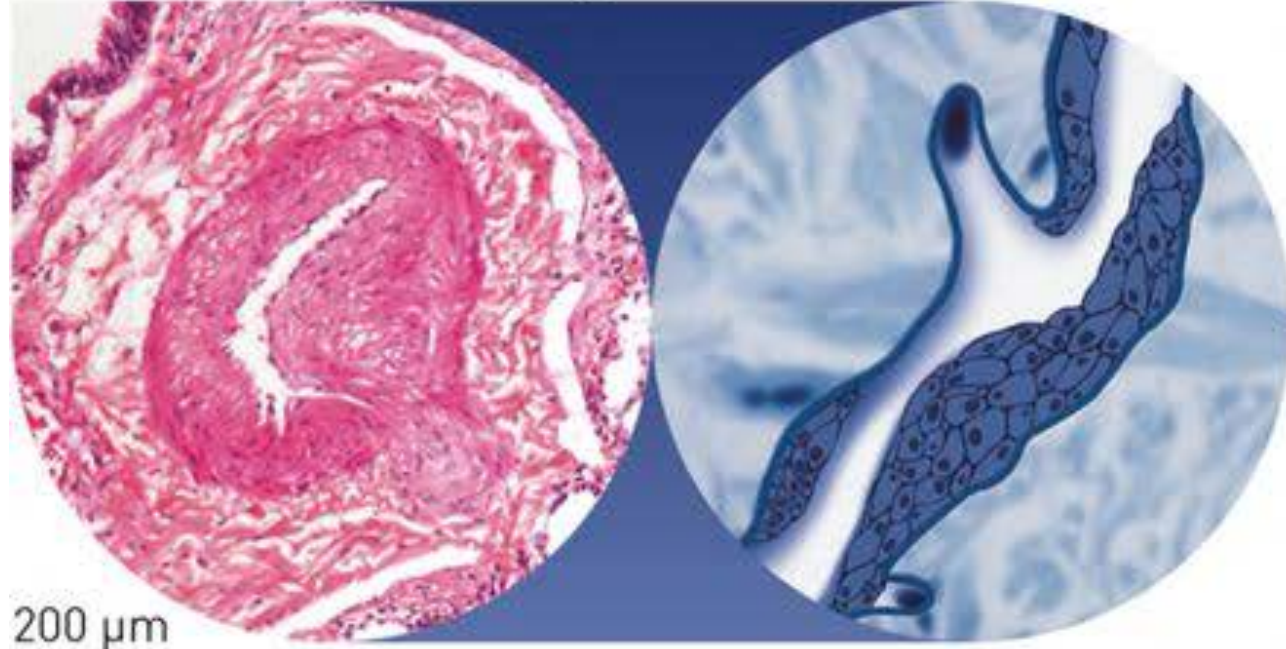


Left-to-right shunt: natural history/pathology

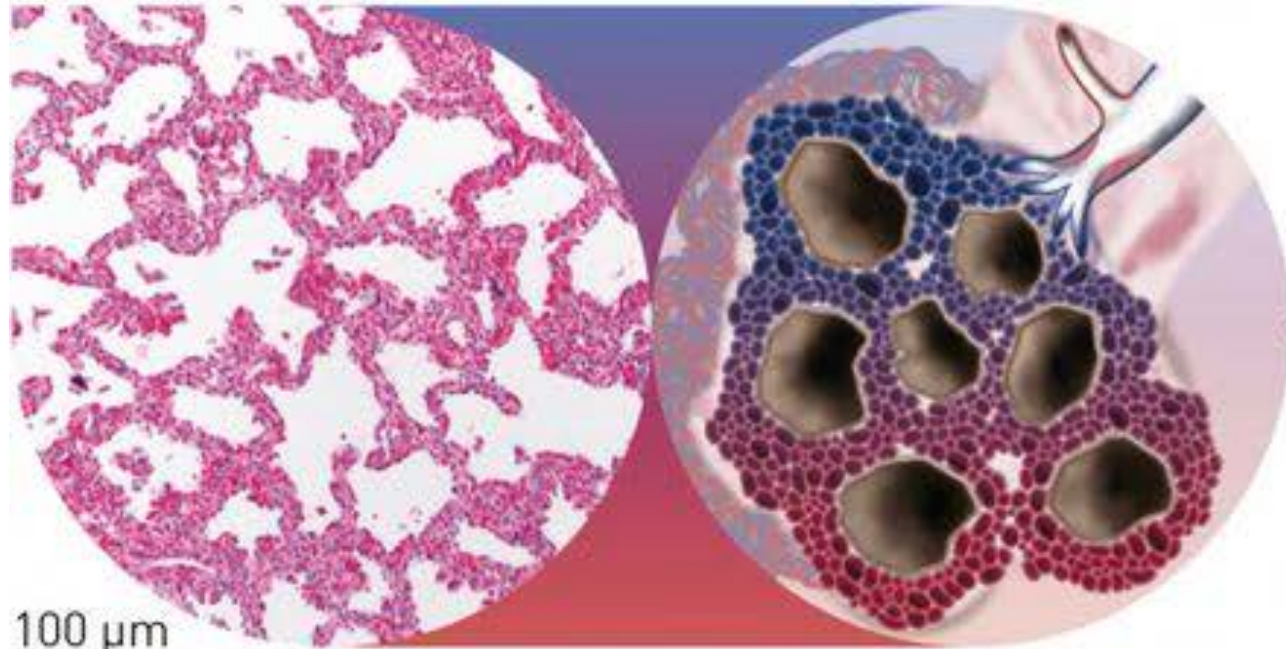


Lesions of PVOD

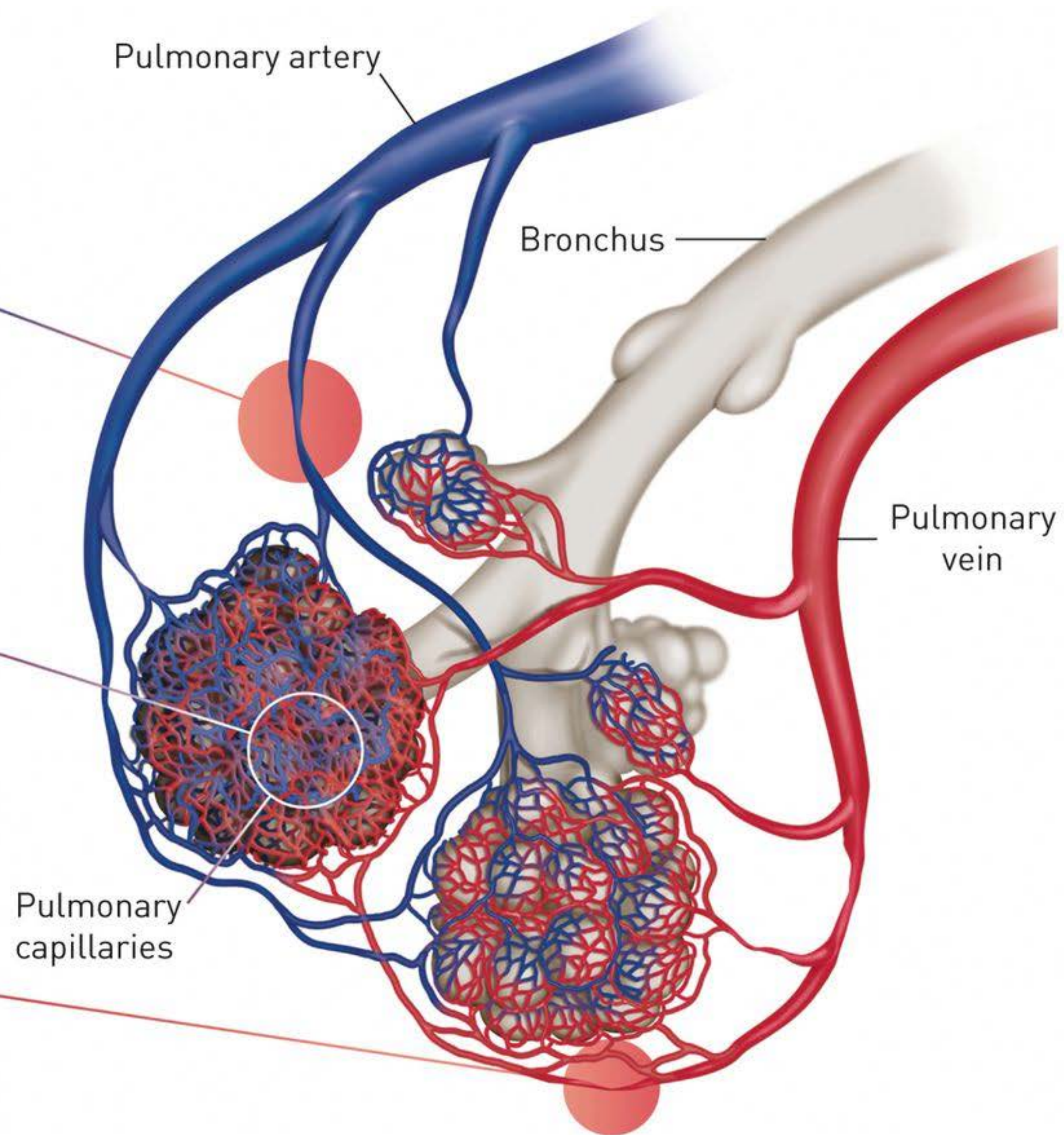
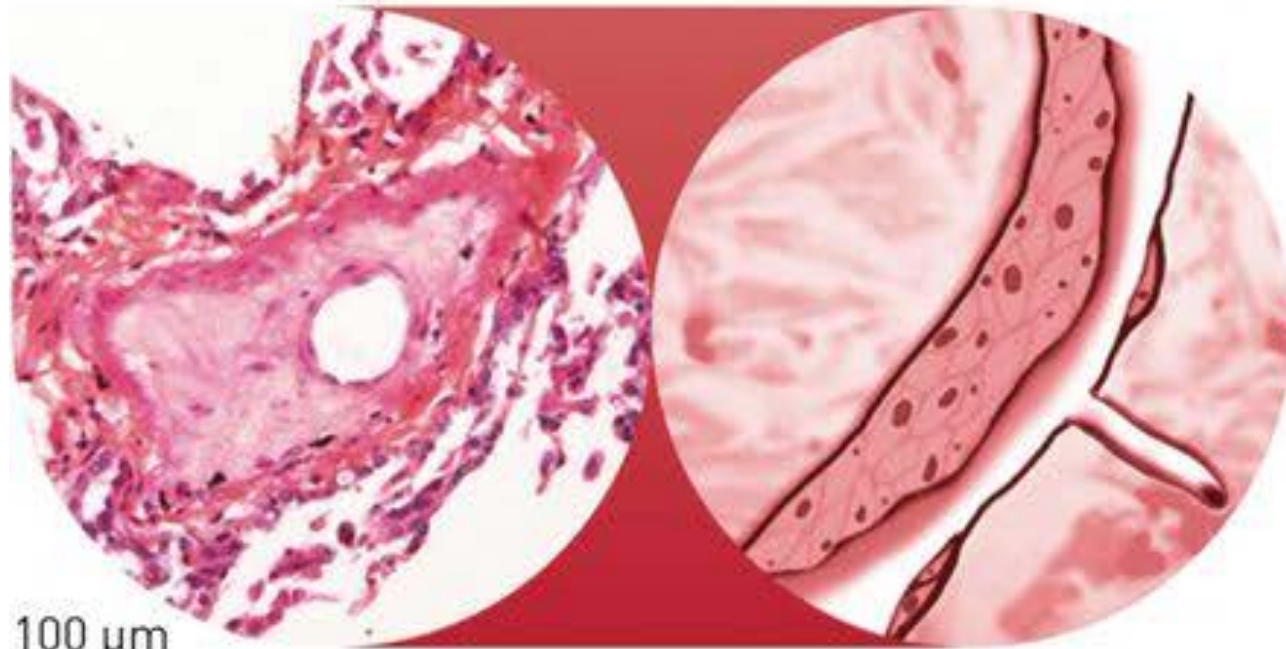
Pulmonary artery



Pulmonary capillaries



Pulmonary vein



Estimation des résistances pulmonaires

Résistances= $\Delta P/Q$

Résistances pulmonaires

$R_p = \Delta P \text{ (PAP moyenne - POG moyenne)} / Q_p$

Résistances systémiques

$R_s = \Delta P \text{ (PAo moyenne - POD moyenne)} / Q_s$

Rapport des résistances pulmonaires/systémiques

$R_p/R_s = \Delta P_p \cdot Q_s / \Delta P_s \cdot Q_p$

$R_p/R_s = (\Delta P_p / \Delta P_s) \cdot (Q_s / Q_p)$

Hypertension pulmonaire des cardiopathies congénitales

Exemple d'une CIV large

CIV large chez un enfant de 6 mois

Pression aortique = 90/60 moyenne 70 mmHg

POG estimée à 15 mmHg sur un PFO et l'absence d'hépatomégalie

Quelle est la pression systolique dans l'artère pulmonaire ?

90 mmHg

Le ventricule gauche est dilaté avec un z-score à 3.5.

Quelle est votre estimation du Qp/Qs ?

Augmenté > 1 par le shunt gauche-droite

Si le Qp/Qs est à 3, quelle est votre estimation des résistances pulmonaires ?

$$R_p/R_s = (\Delta P_p / \Delta P_s) \cdot (Q_s / Q_p) \text{ soit } (PAP_{\text{moyenne}} - 15) / (70 - POG) \times 1/3$$

$$R_p/R_s = (X - 15) / (70 - 8) \times 1/3 \Rightarrow (30 - 15) / 62 \times 1/3 = 1/12$$

Hypertension pulmonaire des cardiopathies congénitales

Exemple d'une CIV large

CIV large chez un enfant de 6 ans

Pression aortique = 110/60 moyenne 85 mmHg

Quelle est la pression systolique dans l'artère pulmonaire ?

110 mmHg

Le cathétérisme cardiaque note une saturation dans l'AP à 70% et dans l'aorte à 100%. Quelle est votre mesure du Qp/Qs ?

Egal à 1

Quelle est votre estimation des résistances pulmonaires si la pression artérielle pulmonaire est à 110/20 moyenne 45 ?

$$R_p/R_s = (\Delta P_p / \Delta P_s) \cdot (Q_s / Q_p) \text{ soit } (PAP_{\text{moyenne}} - POG) / (85 - POD) \times 1$$

$$R_p/R_s = (45 - 10) / (85 - 8) \times 1 = 35 / 73 \times 1 = 1/2$$

Hypertension pulmonaire des cardiopathies congénitales

Exemple d'une CIV large

CIV large chez un adolescent de 16 ans

Pression aortique = 110/60 moyenne 85 mmHg

Quelle est la pression systolique dans l'artère pulmonaire ?

110 mmHg

Le cathétérisme cardiaque note une saturation dans l'AP à 55% et dans l'aorte à 85%. Quelle est votre mesure du Qp/Qs ?

Egal à 2/3

Quelle est votre estimation des résistances pulmonaires si la pression artérielle pulmonaire est à 110/38 moyenne 70 ?

$$R_p/R_s = (\Delta P_p / \Delta P_s) \cdot (Q_s / Q_p) \text{ soit } (PAP_{\text{moyenne}} - P_{\text{OG}}) / (85 - P_{\text{OD}}) \times 1$$

$$R_p/R_s = (70 - 10) / (85 - 8) \times 3/2 = 60/77 \times 3/2 = 18/15 > 1$$



Physiologie cardiaque appliquée aux cardiopathies congénitales

Partie 4

Insuffisance cardiaque appliquée aux cardiopathies congénitales

Professeur Damien Bonnet

Service de Cardiologie Congénitale et Pédiatrique

Hôpital Universitaire Necker Enfants malades – APHP, Université de Paris

Institut Hospitalo-Universitaire IMAGINE

Centre de Référence Maladies Rares

Malformations **C**ardiaques **C**ongénitales **C**omplexes-M3C

Centre de Référence Maladies Rares

Maladies Cardiaques Héritaires- **CARDIOGEN**



Schéma hémodynamique du Cœur en Série

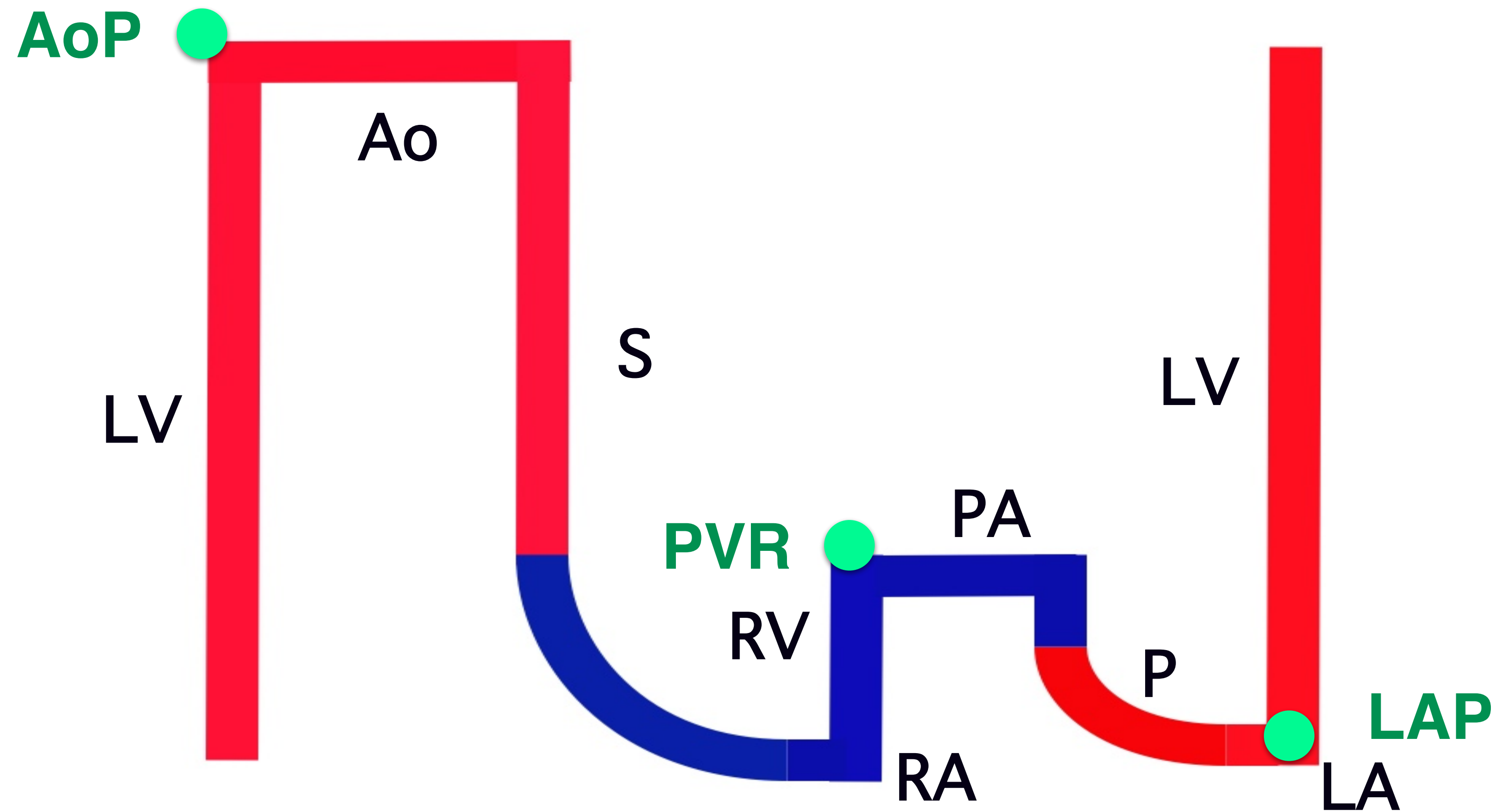
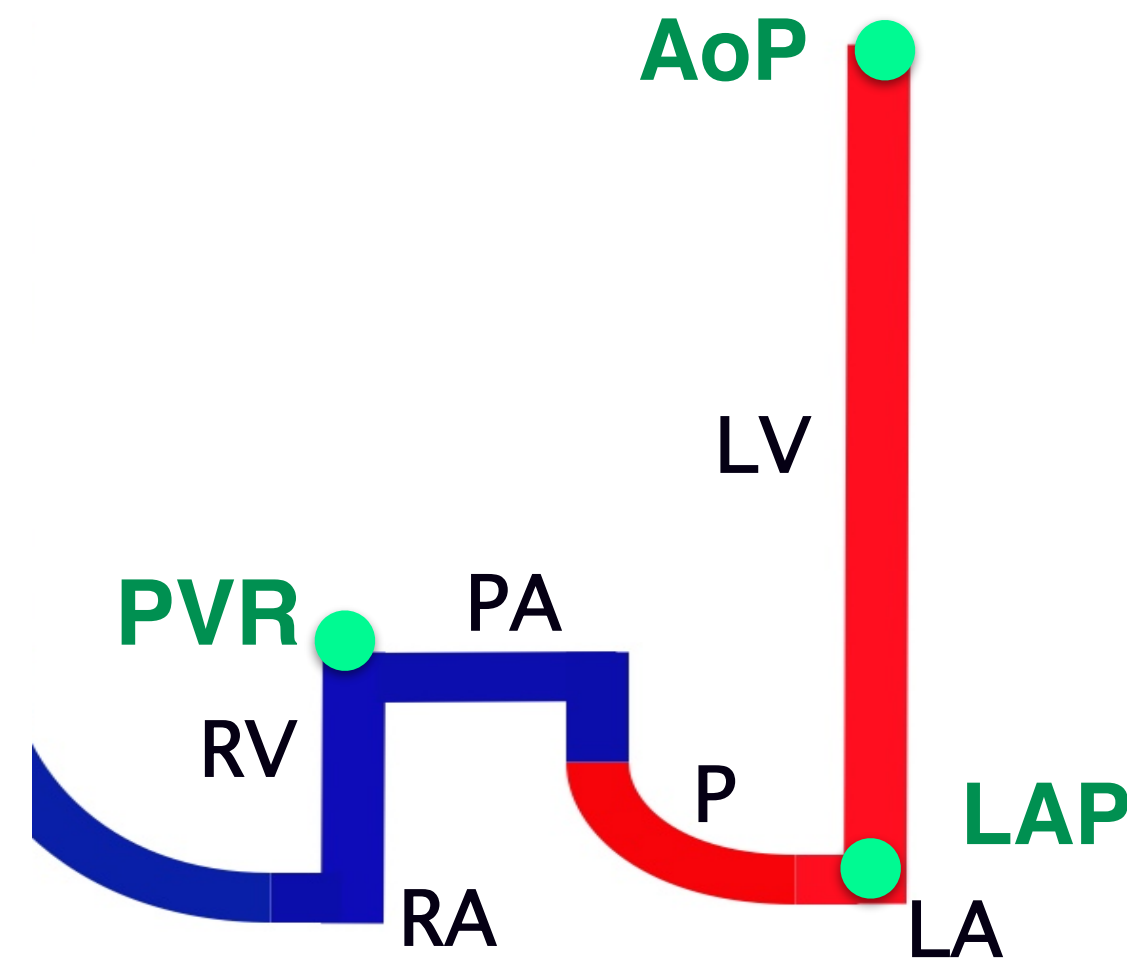


Schéma hémodynamique du Cœur en Série



- On descend de l'Ao aux Veines caves en passant par le cœur gauche, les RVP et le cœur droit
 - VG transforme la Pression Aortique en Pression Capillaire Pulmonaire/POG
 - La traversée du poumon transforme la Pression Capillaire en PAP
 - VD transforme la PAP en Pressions Caves
- A partir du VG, c'est le Débit qui est imposé
(VES = Q_s/FC)
- Ce sont les Pressions d'amont qui varient en fonction des propriétés intrinsèques du cœur et des RVP

The gold standard of **in vivo measured contractility** is end-systolic elastance (Ees), or end-systolic pressure (ESP) divided by end-systolic volume (ESV)

Contractility(Ees)=AoSystolic Pressure/LVESV

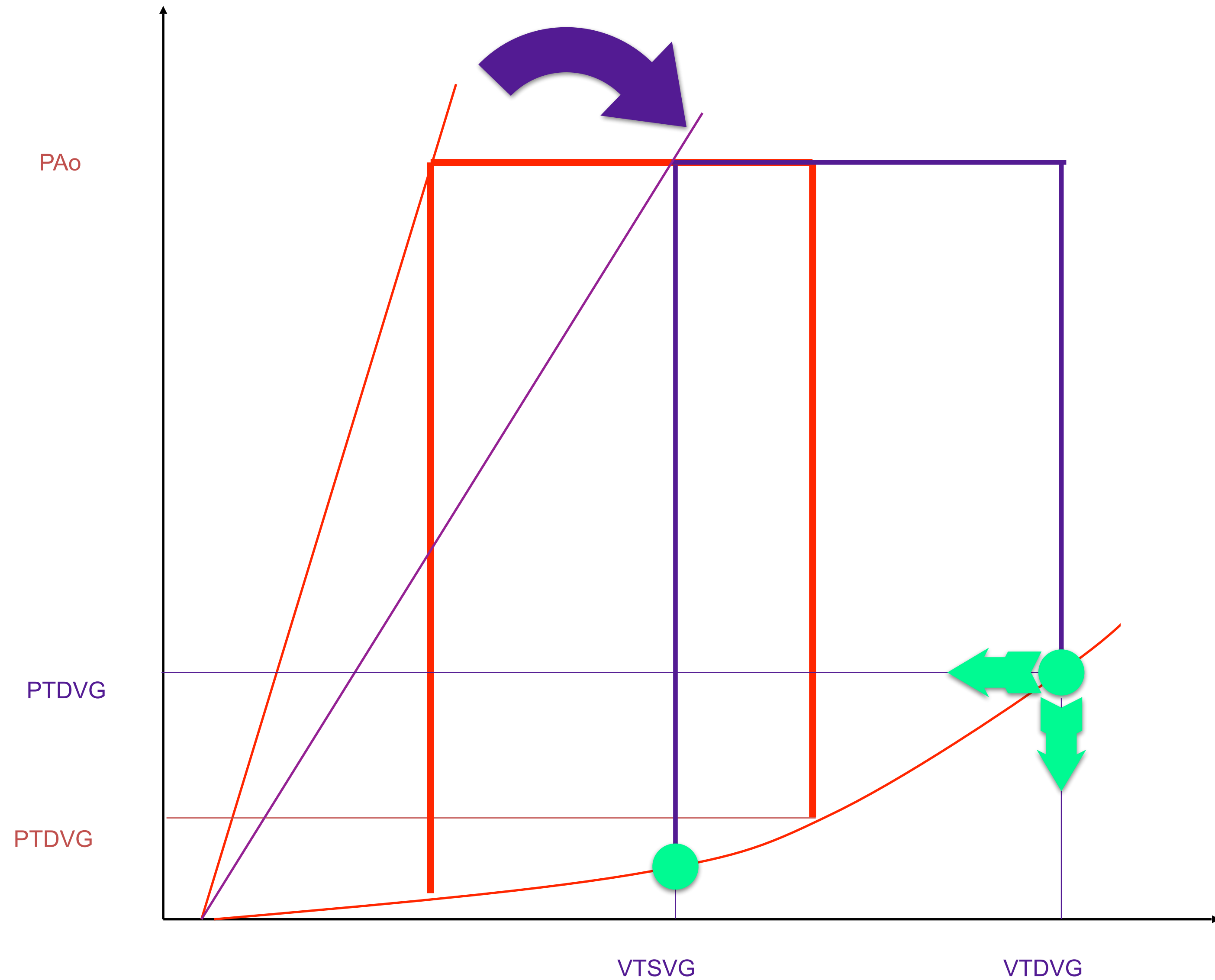
An acceptable measure of **afterload is arterial elastance (Ea)**, calculated as ESP divided by stroke volume (SV).

Arterial elastance=AoSystolic Pressure/Stroke volume

The optimal mechanical coupling of RV function to afterload corresponds to an Ees/Ea ratio of 1.

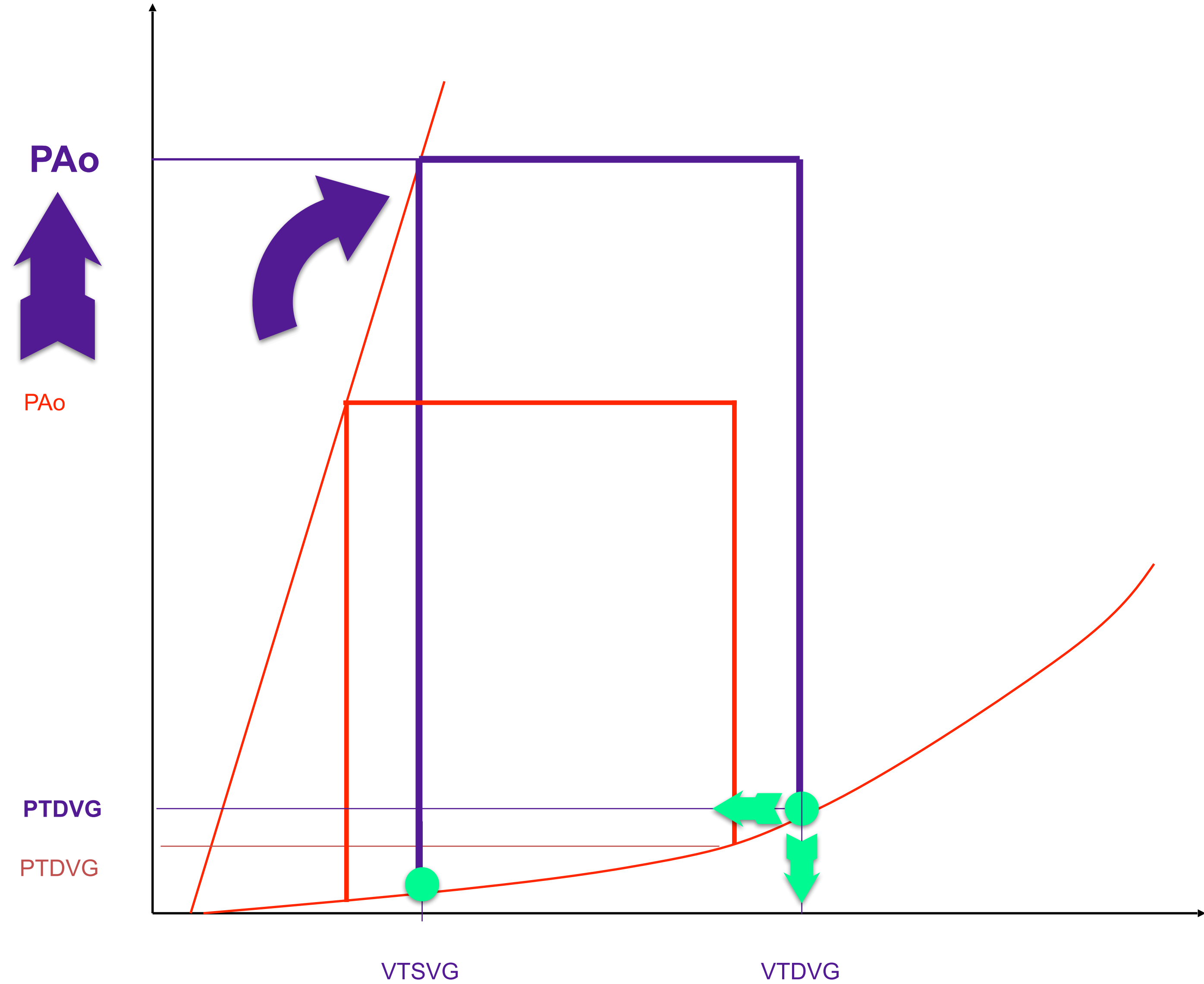
Différents mécanismes de l'insuffisance cardiaque

Altération de la contractilité



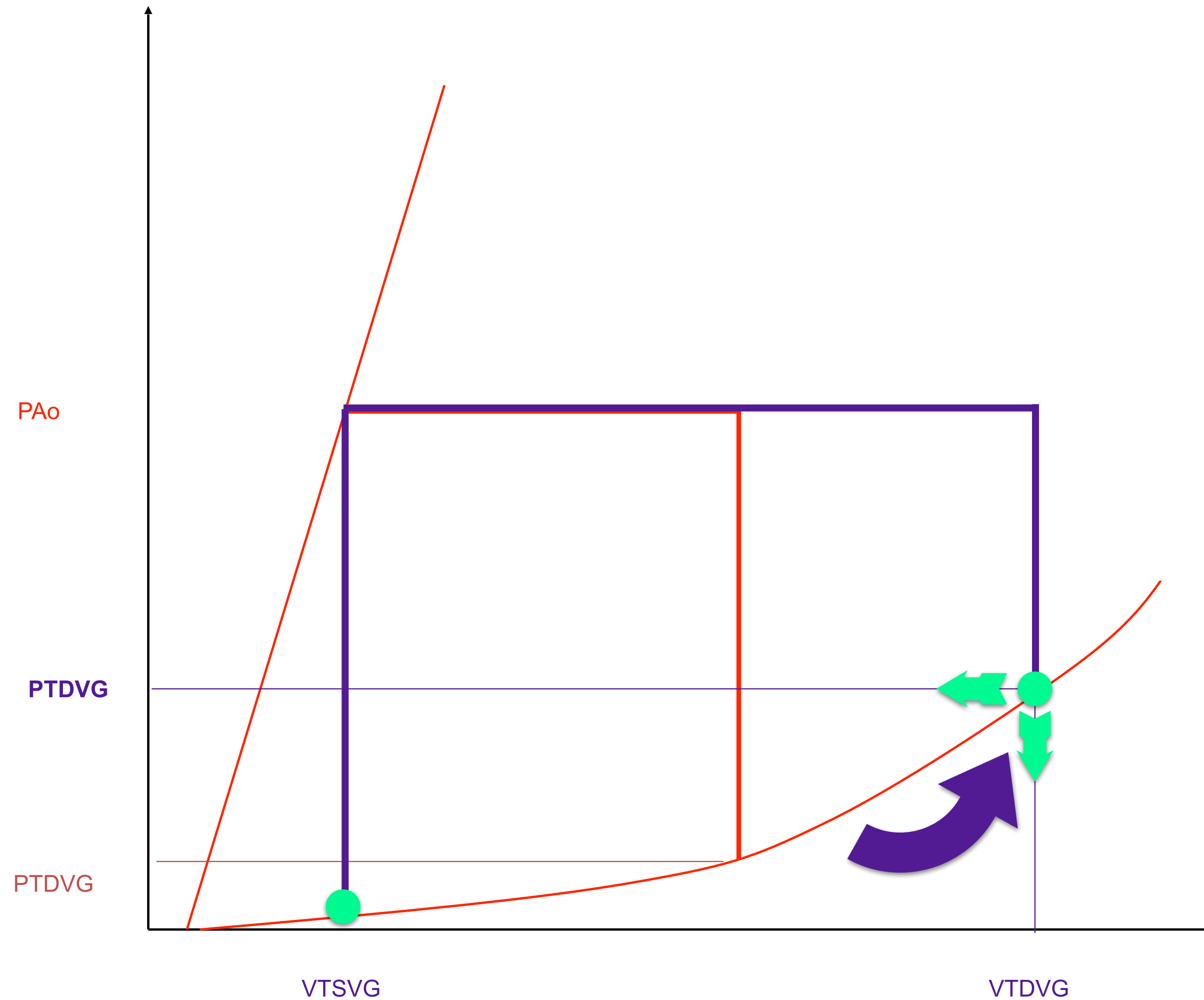
Différents mécanismes de l'insuffisance cardiaque

Augmentation de la post-charge



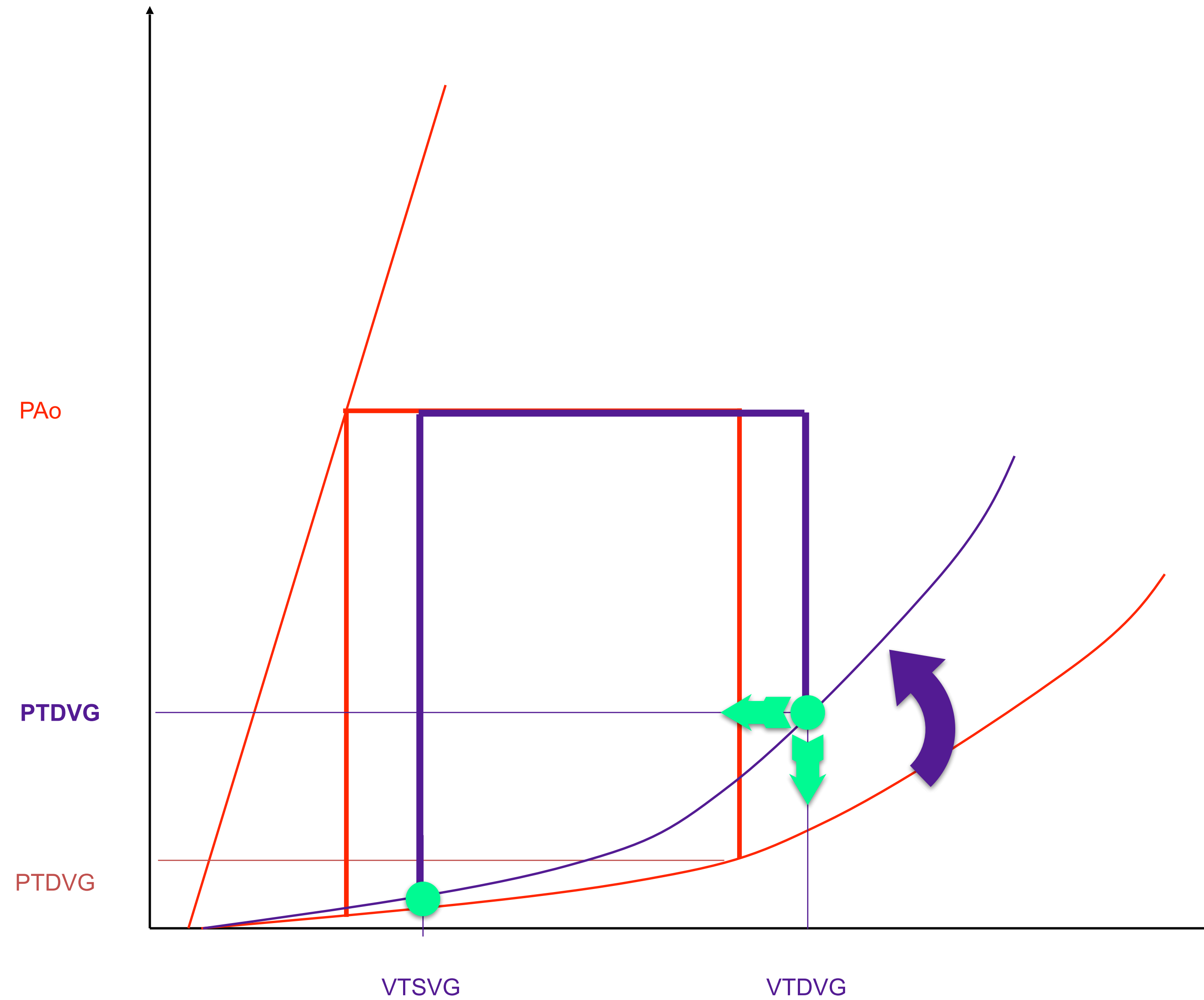
Différents mécanismes de l'insuffisance cardiaque

Augmentation de la pré-charge



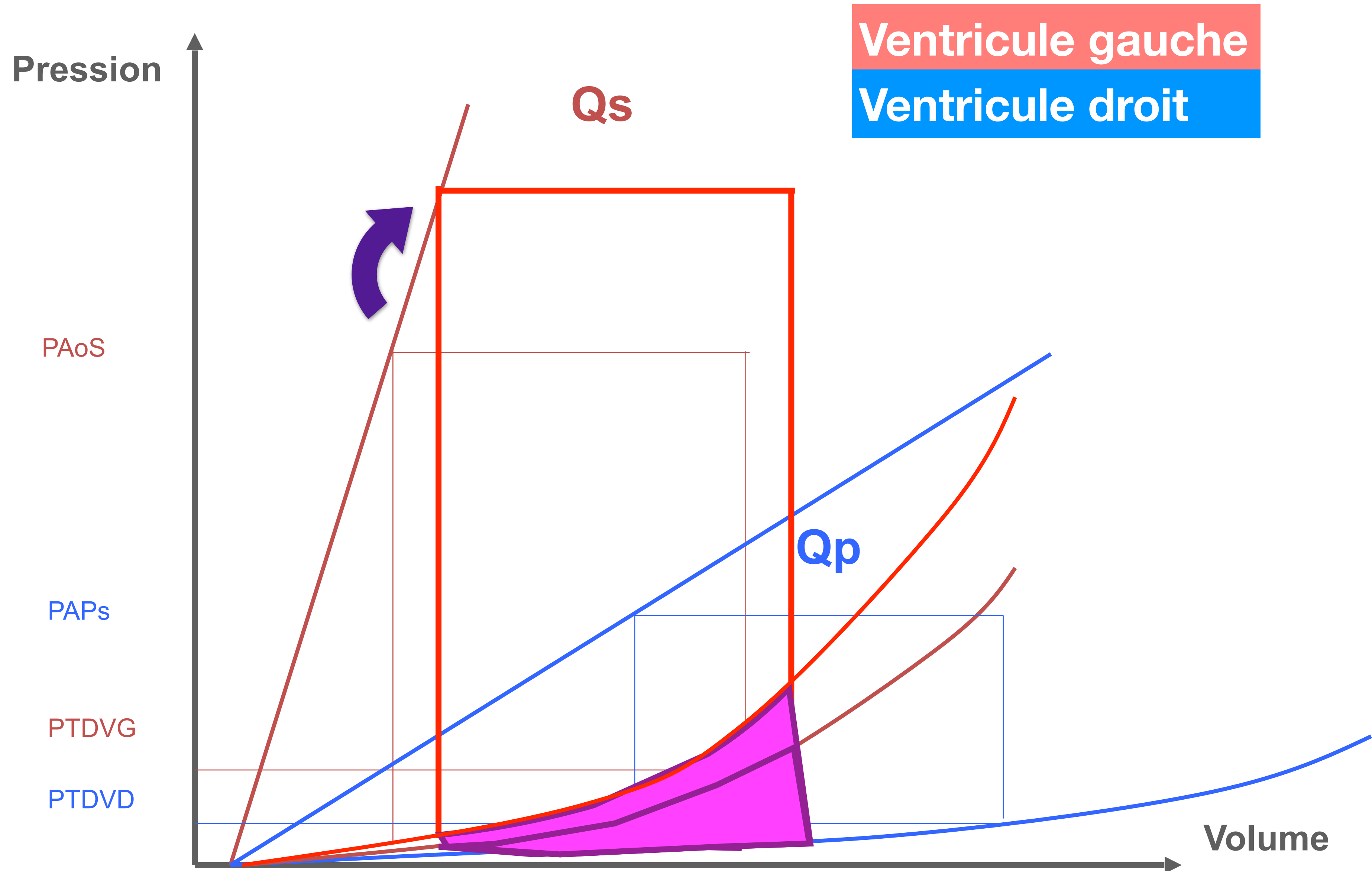
Différents mécanismes de l'insuffisance cardiaque

Diminution de la compliance ventriculaire



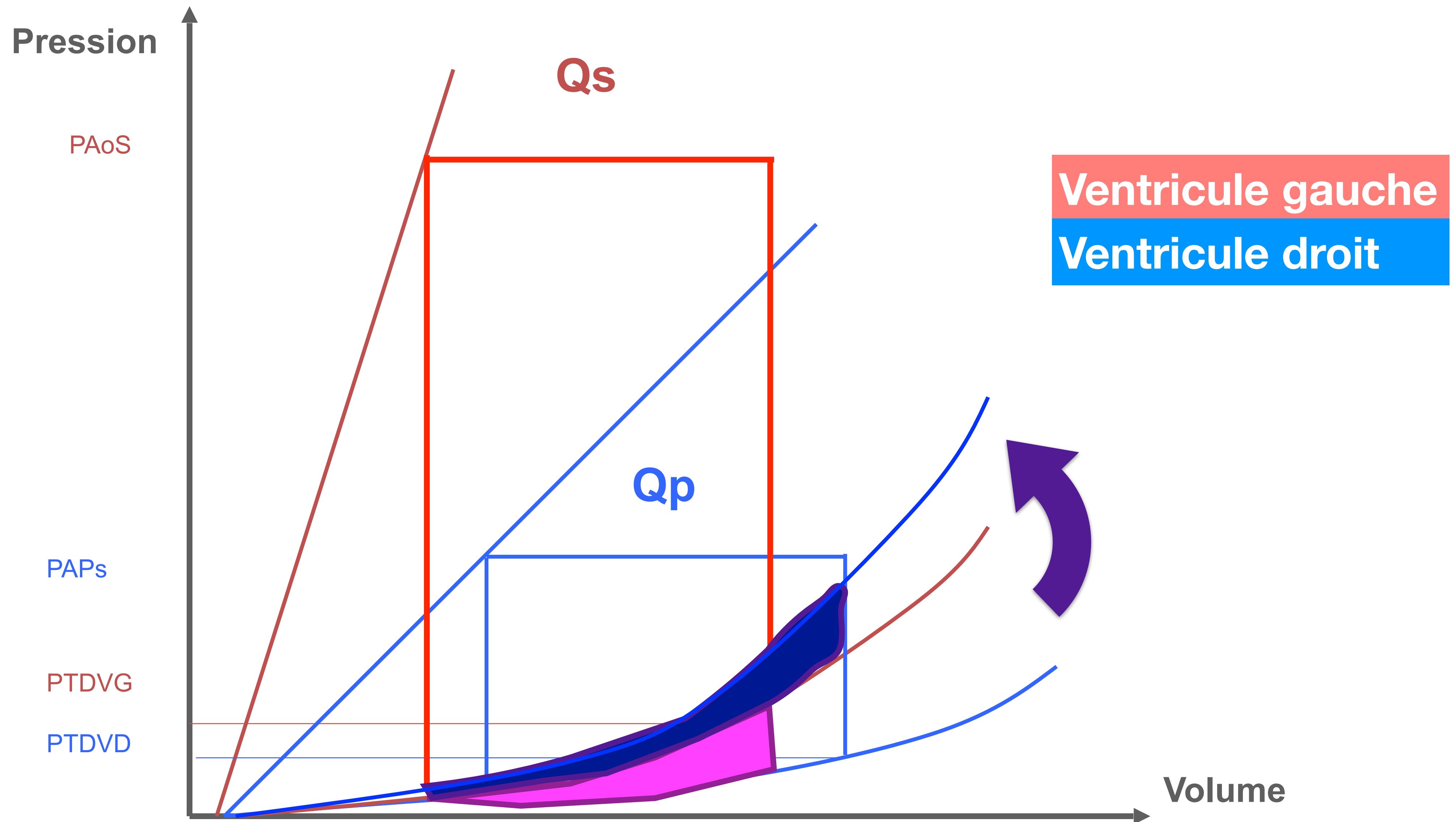
Interactions des mécanismes en cas de cardiopathie congénitale

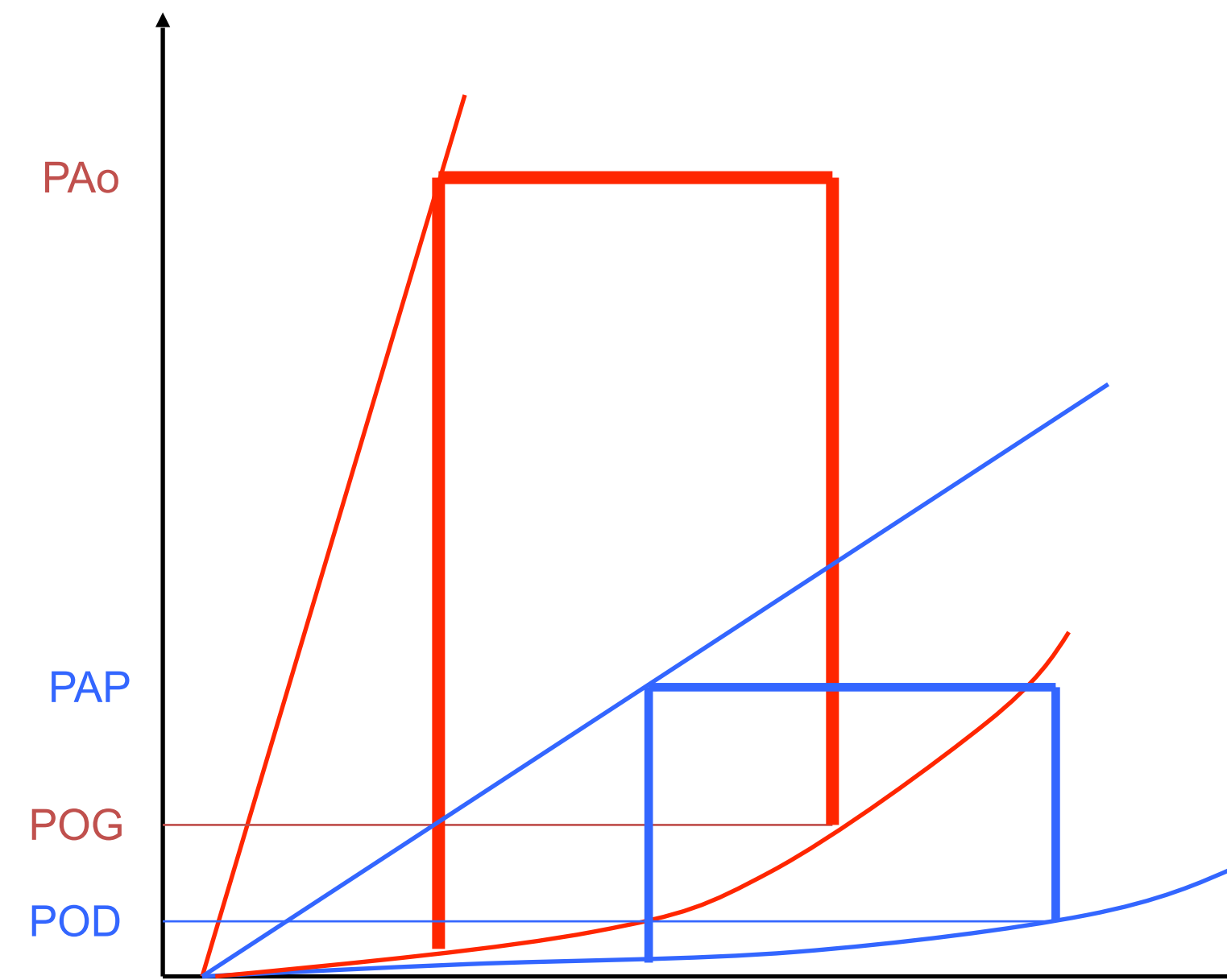
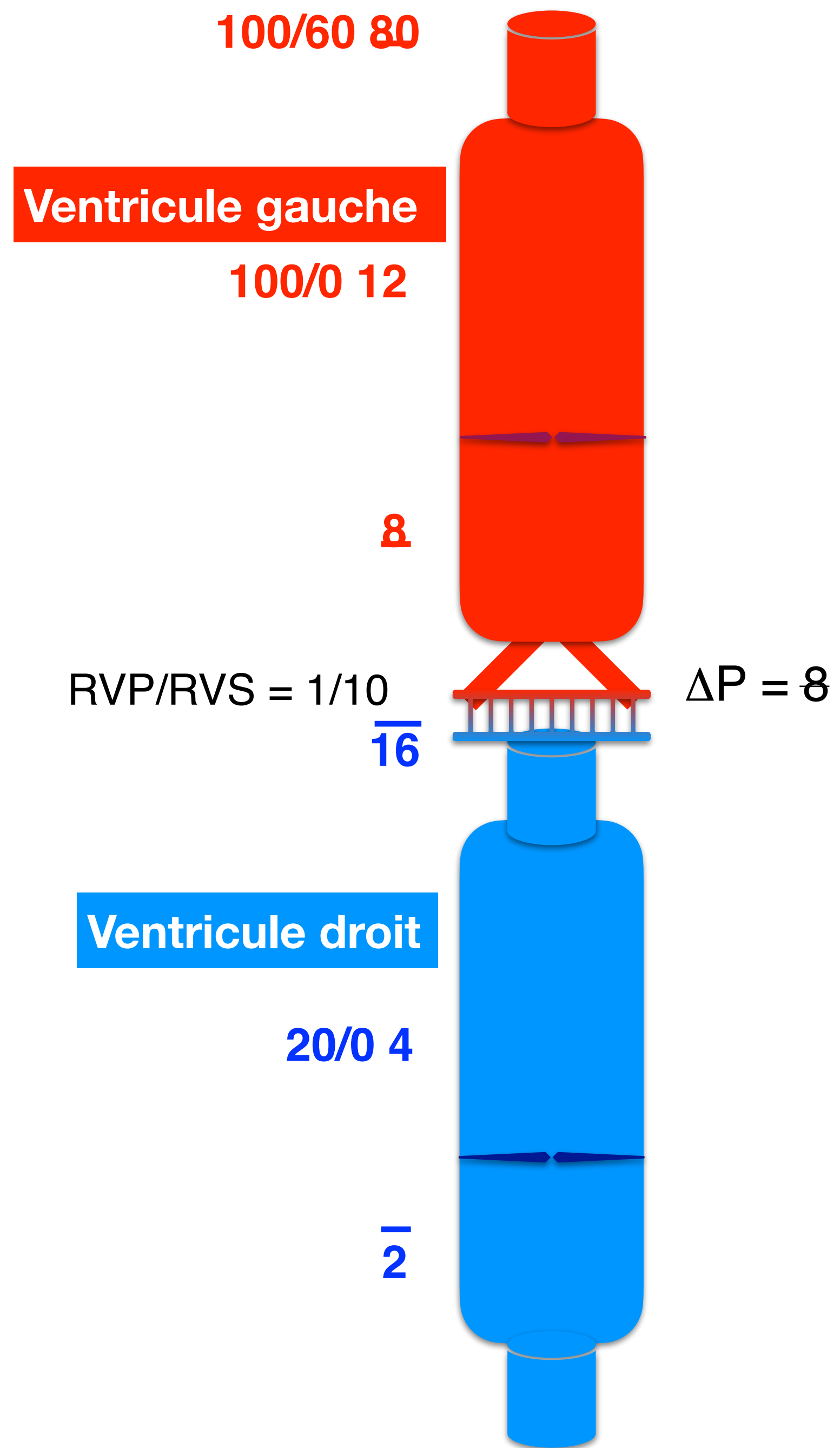
Augmentation de la post-charge du VG et CIA

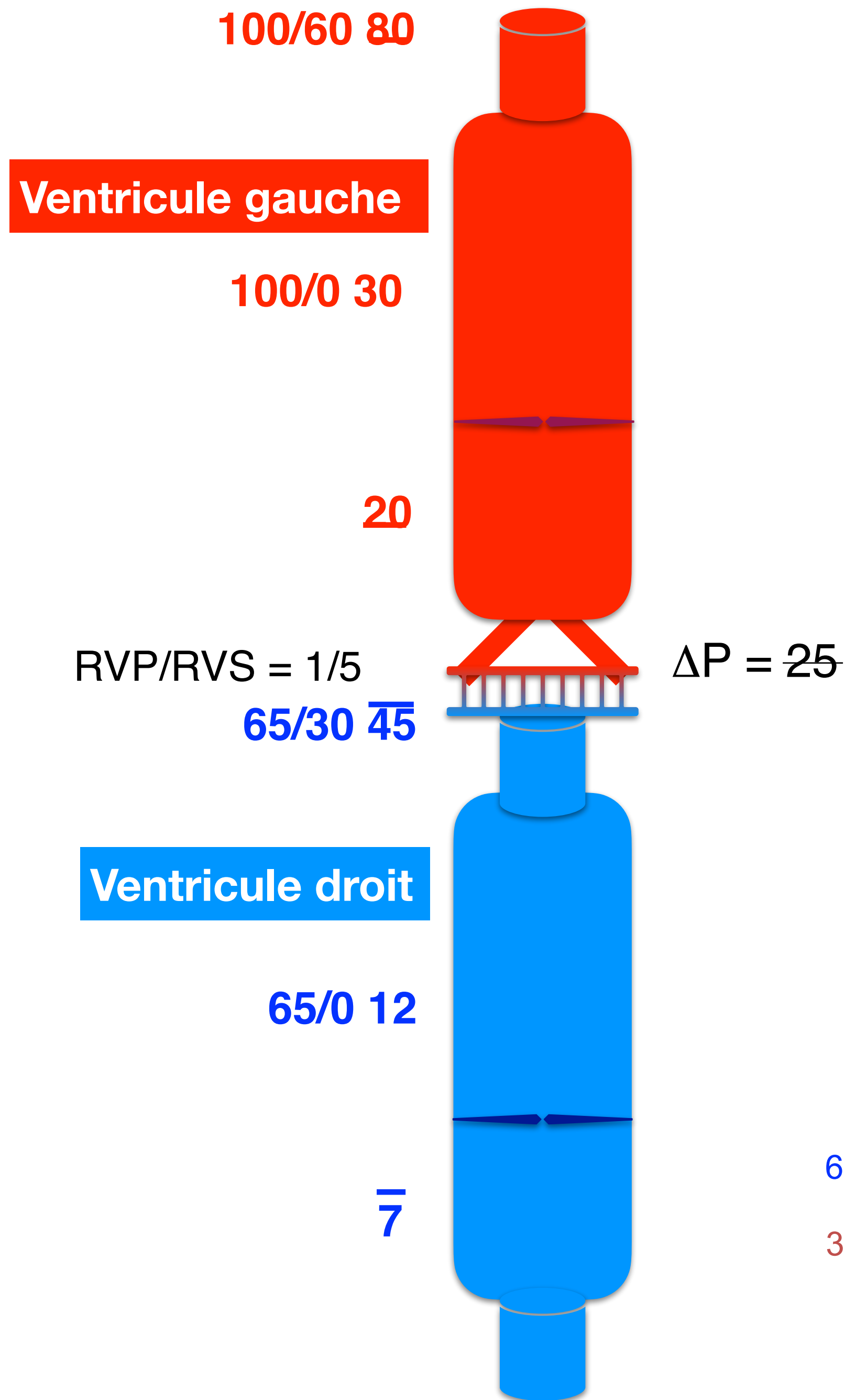


Interactions des mécanismes en cas de cardiopathie congénitale

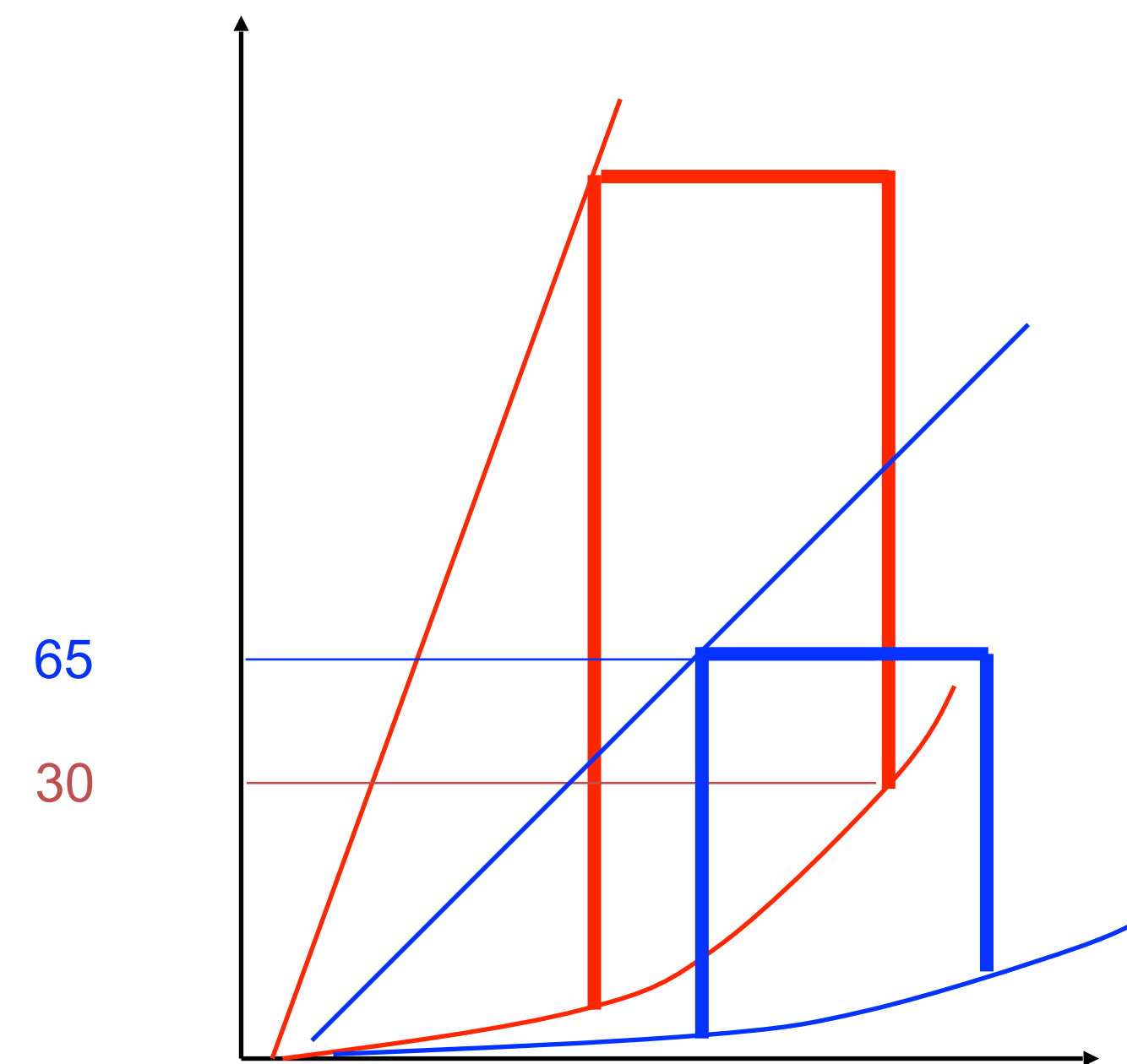
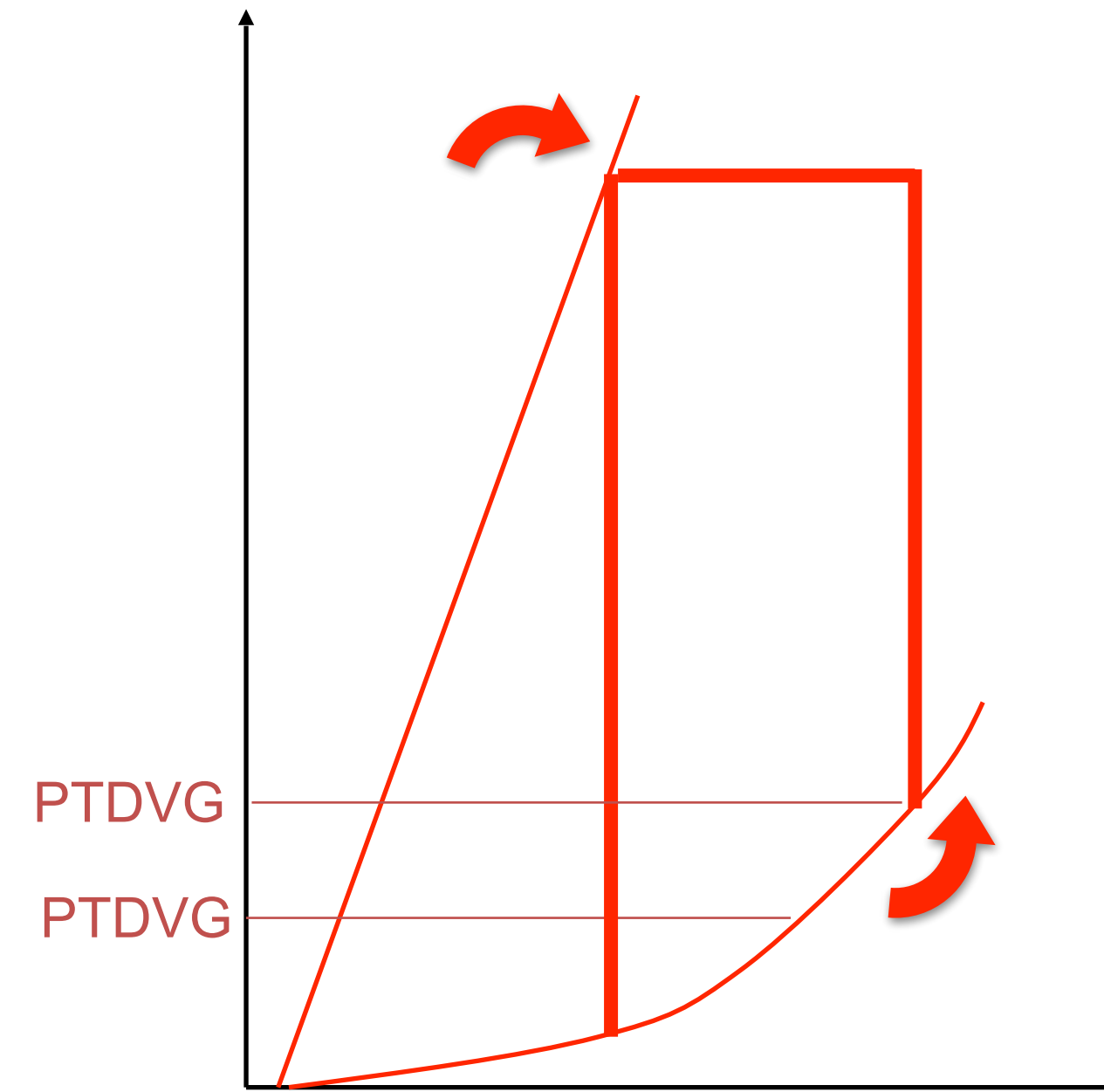
Diminution de la compli-ance du VD et CIA

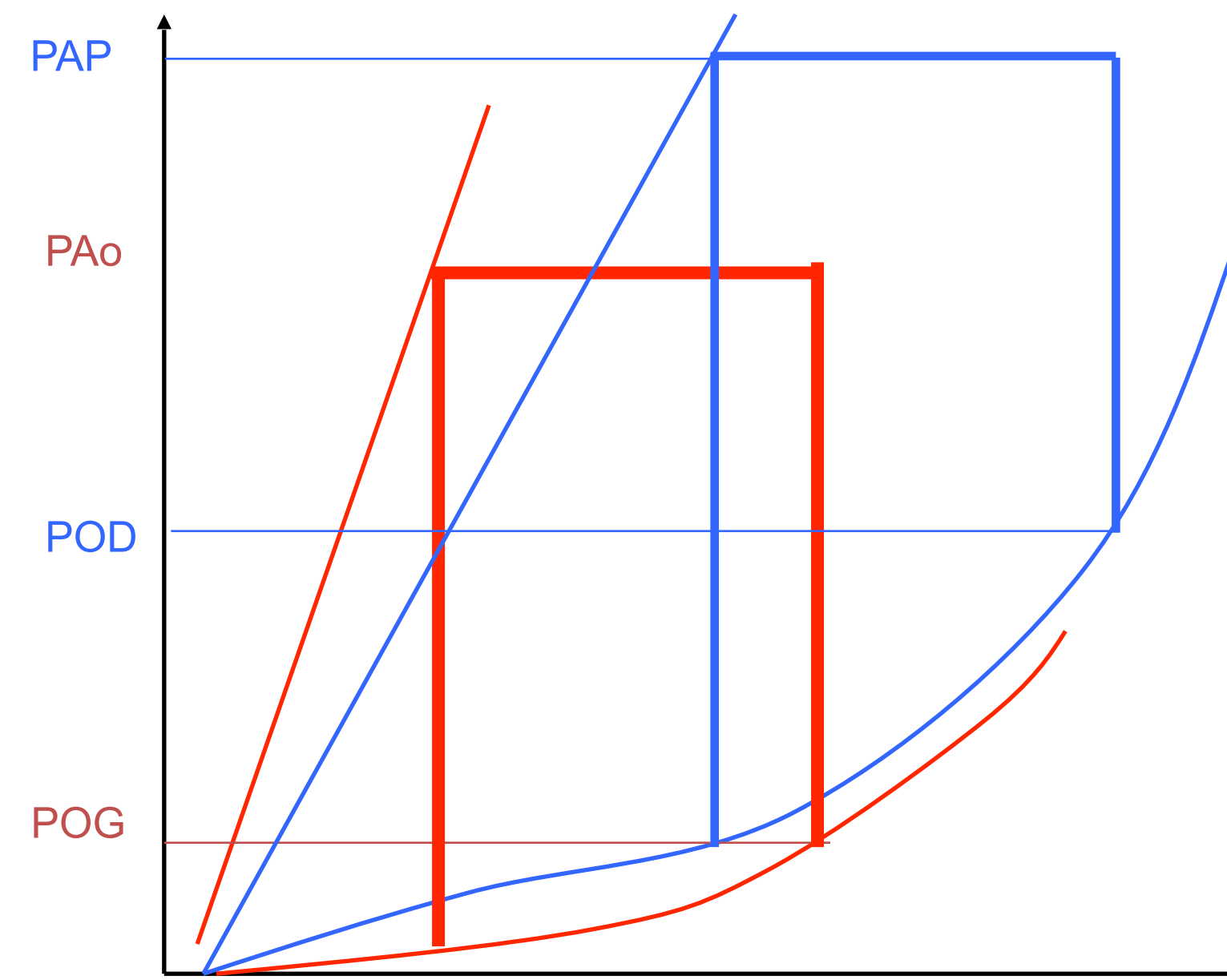
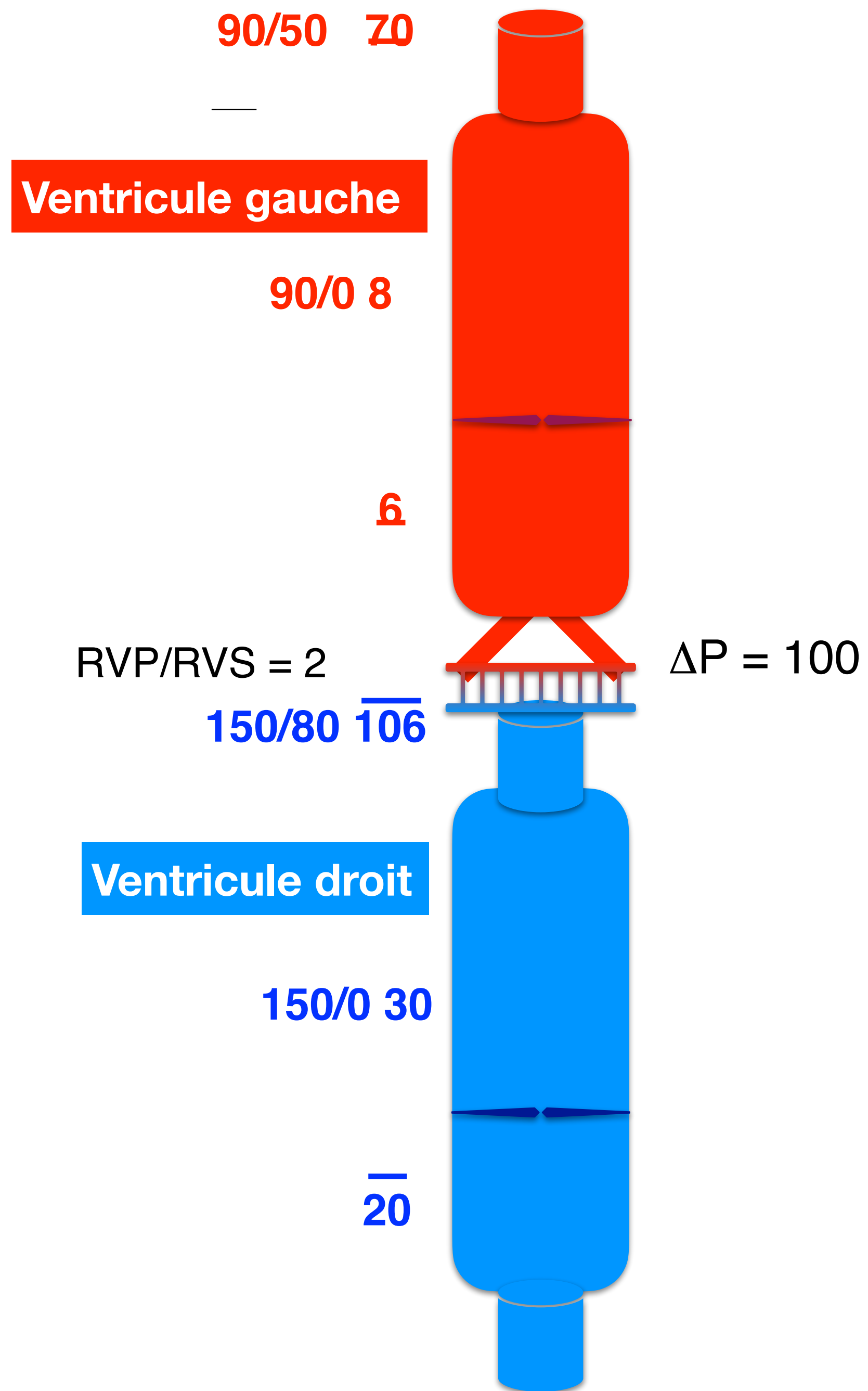




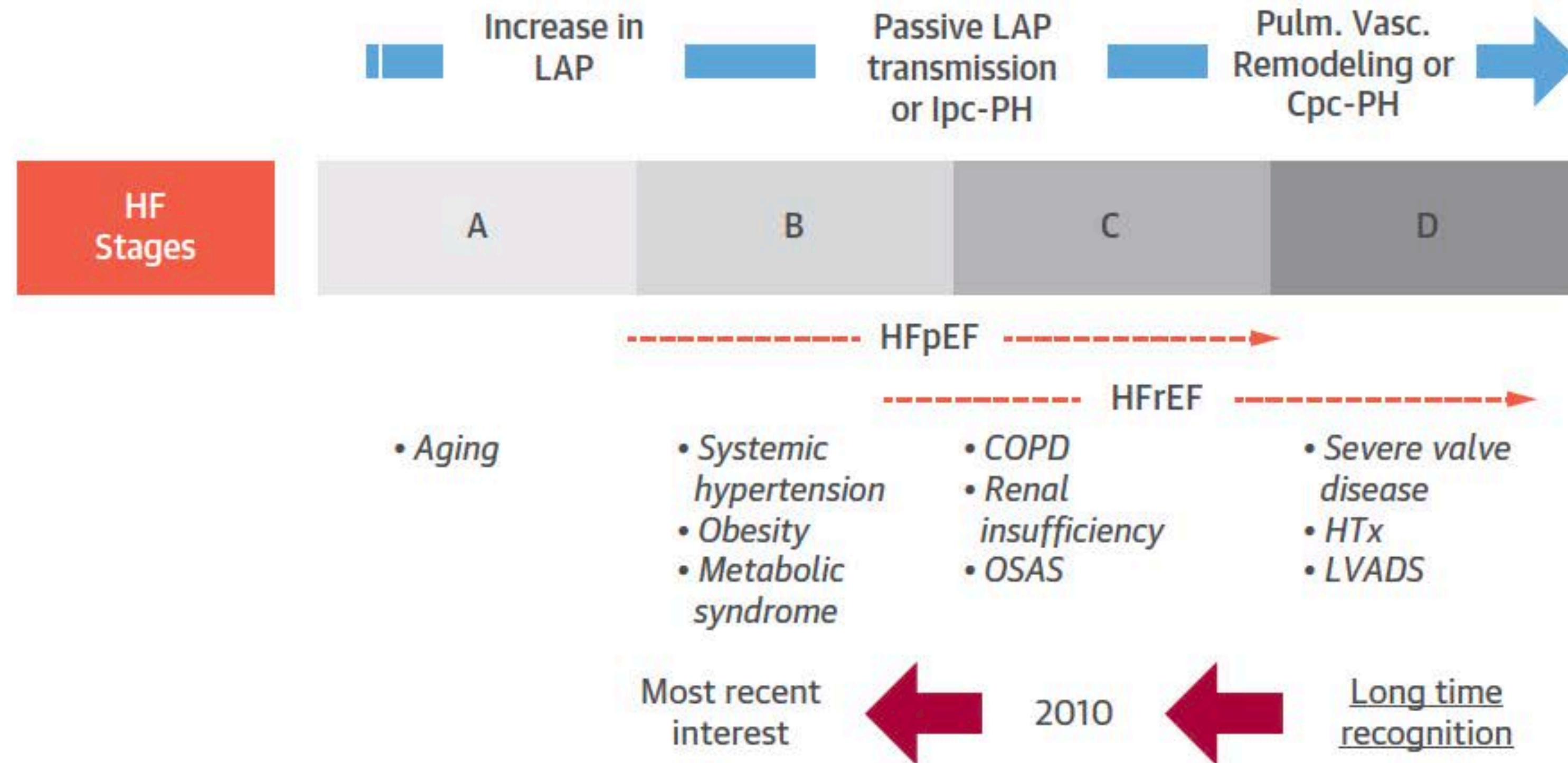


Insuffisance ventriculaire gauche et Post charge du ventricule droit



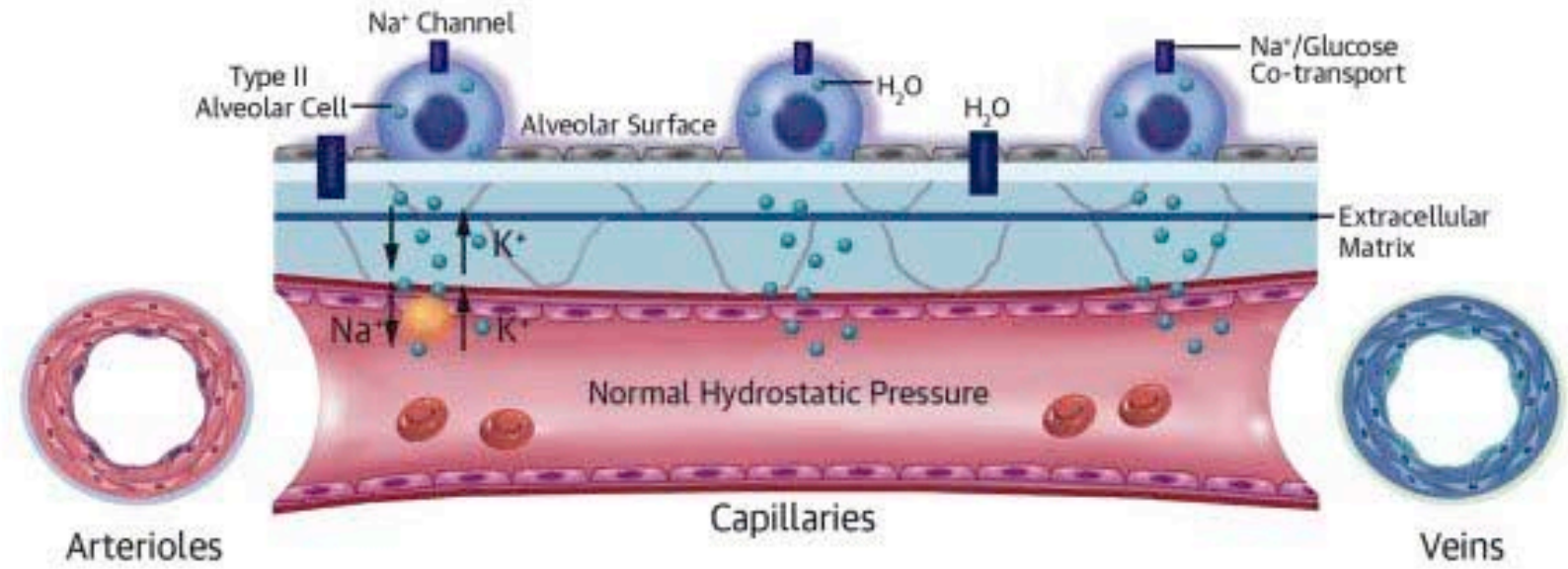


PH and its clinical « inducers » according to heart failure stages



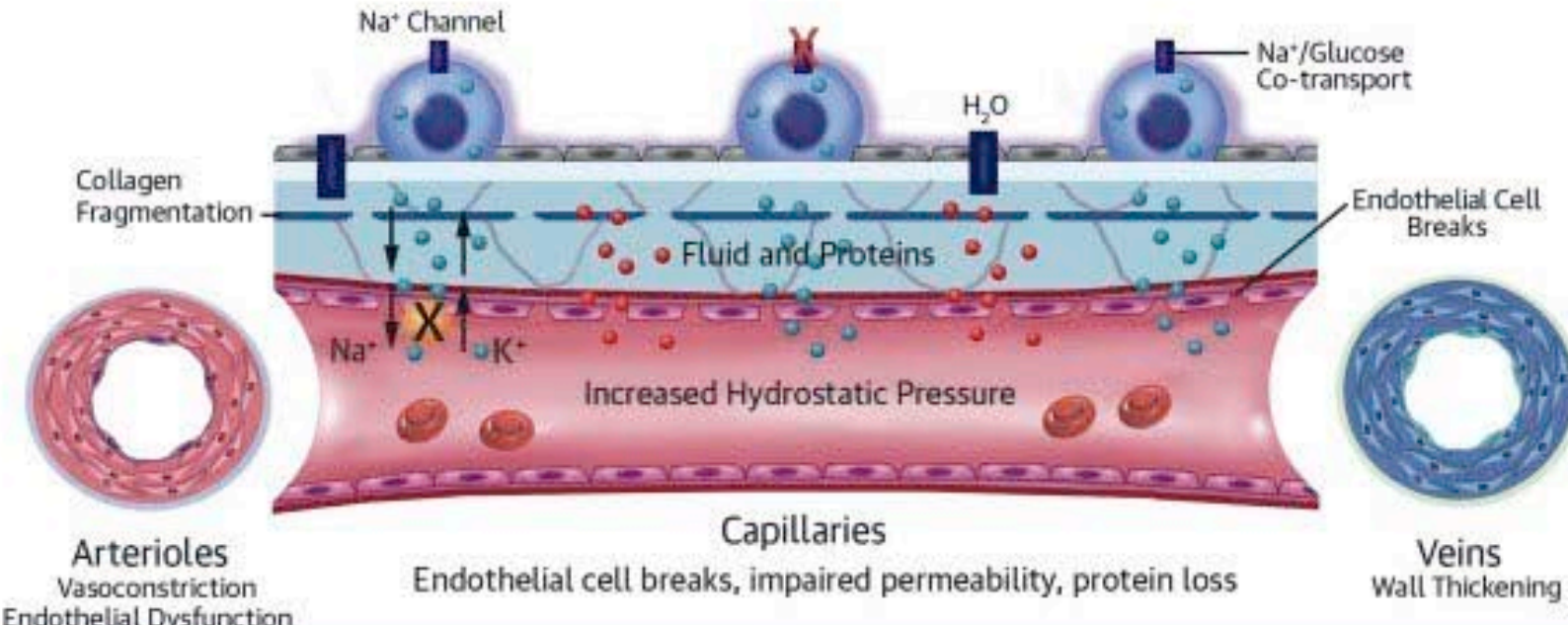
For many years, pulmonary hypertension (PH) has been considered to have clinical meaning in advanced heart failure (HF) stages, whereas more recently, interest is focused on earlier stages and corresponding comorbid precipitating factors. COPD = chronic obstructive pulmonary disease; Cpc = combined pre- and post-capillary; HFpEF = heart failure with preserved ejection fraction; HFrEF = heart failure with reduced ejection fraction; HTx = heart transplantation; Ipc = isolated post-capillary; LAP = left atrial pressure; LVADS = left ventricular assist devices; OSAS = obstructive sleep apnea syndrome.

No PH



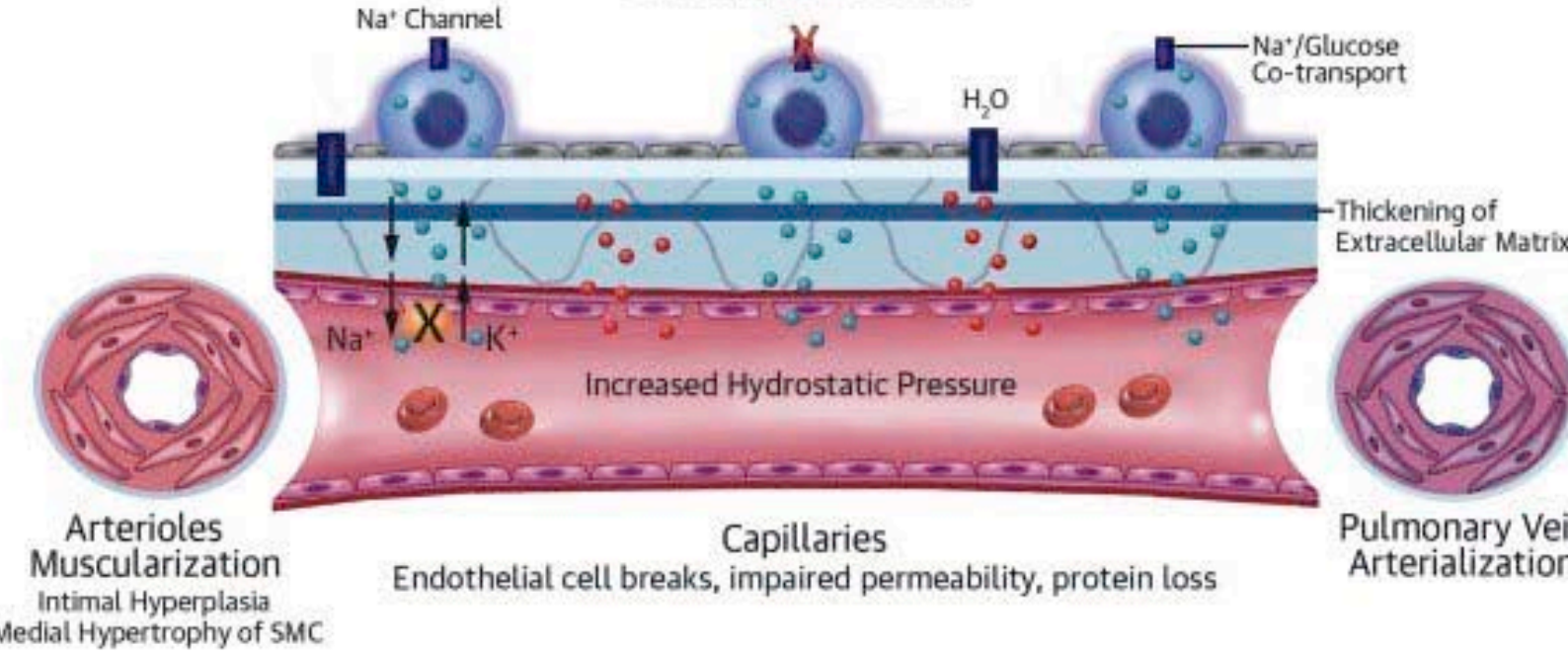
Ipc-PH

Alveolar-Capillary Stress Failure



Cpc-PH

Capillary Remodeling

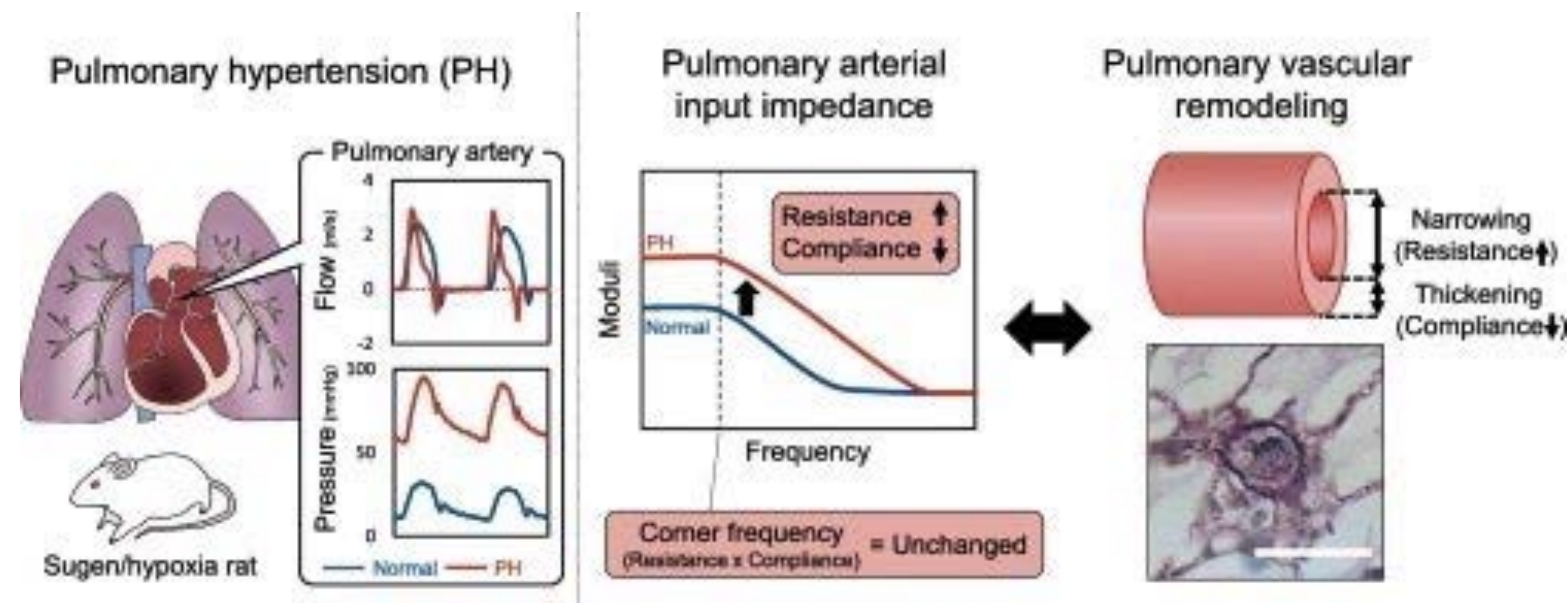


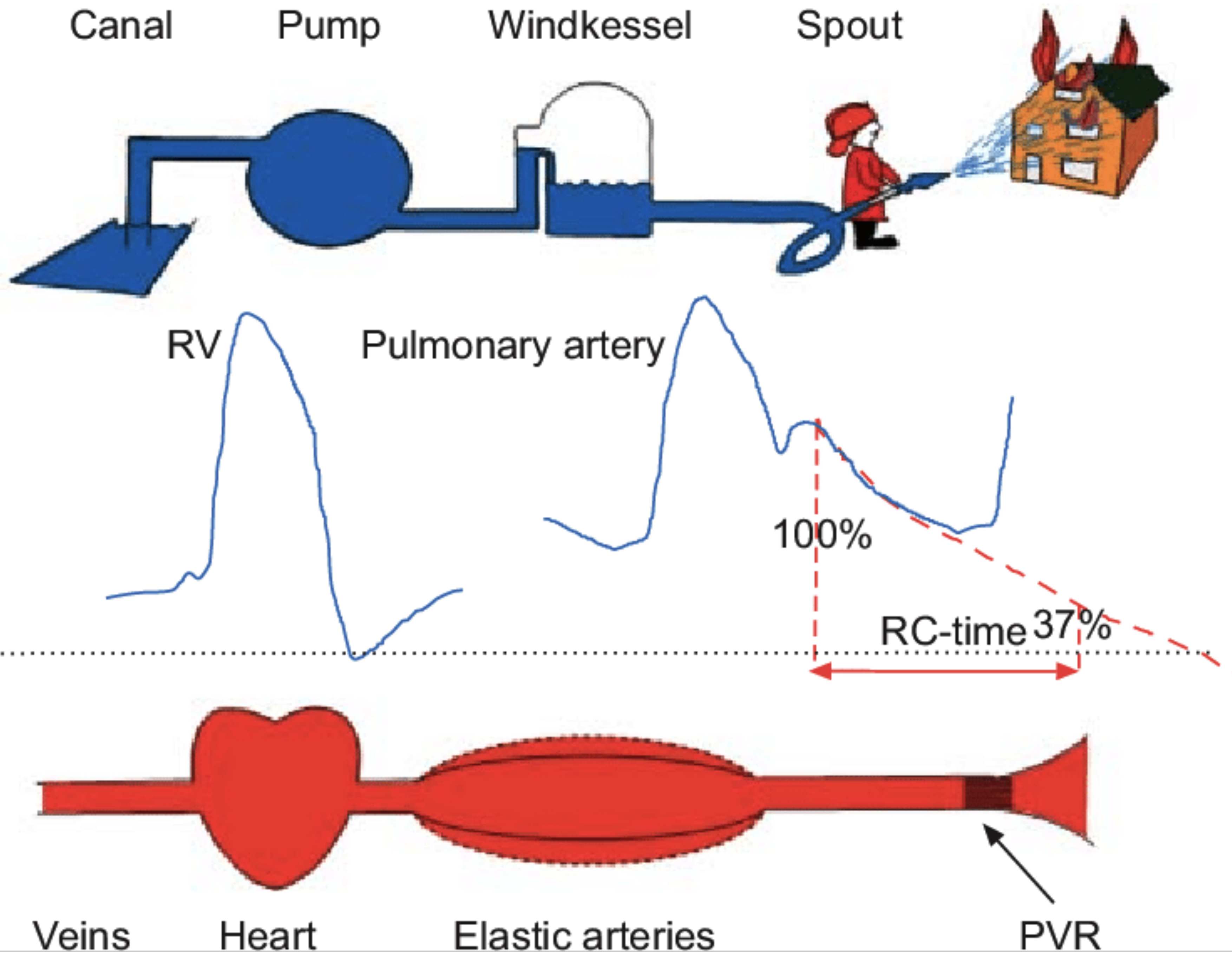
Pulmonary arterial compliance & Pulmonary vascular resistances

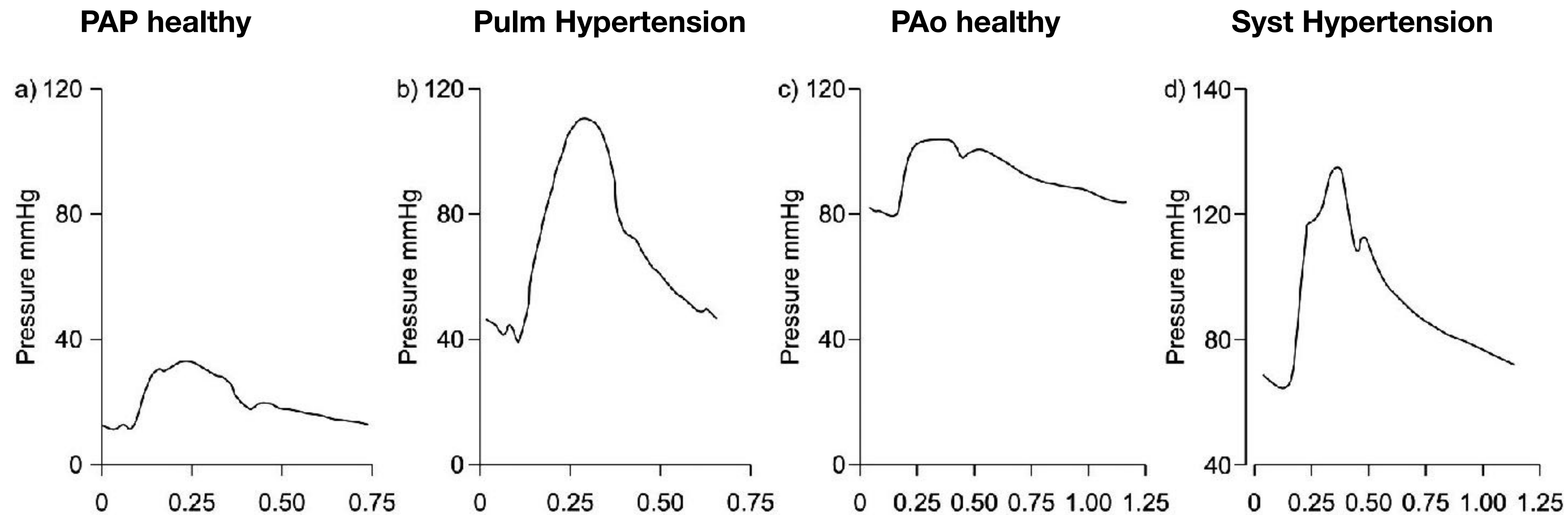
$$PAC = Q_p / \text{Pulse pressure} = Q_p / (PAP_s - PAP_d)$$

$$PVR = (PAP_m - PWP) / Q_p$$

La PAC est la composante pulsatile de la post-charge ventriculaire droite.
Les PVR sont la composante résistive de la post-charge ventriculaire droite.

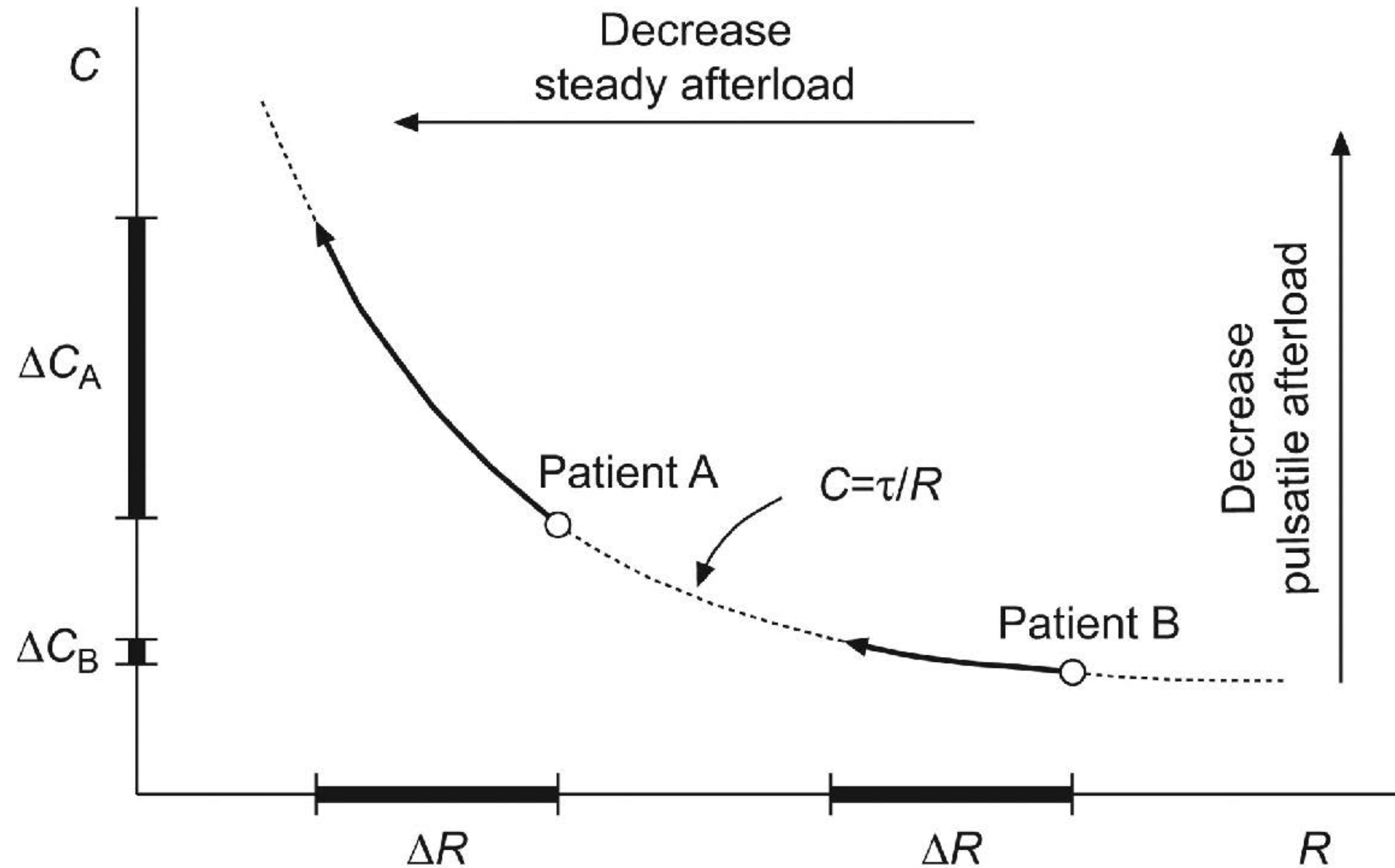






Pulmonary artery pressure in a) healthy subjects and b) pulmonary hypertension (PH) subjects. Aortic pressure in c) healthy subjects and d) subjects with systemic hypertension subjects. **In PH, systolic, diastolic and pulse pressure increased in proportion with mean pulmonary artery pressure.** In systemic hypertension pulse pressure increases much more than mean aortic pressure and diastolic pressure may even decrease.

Resistance.Compliance-time is a constant / RC-time is constant



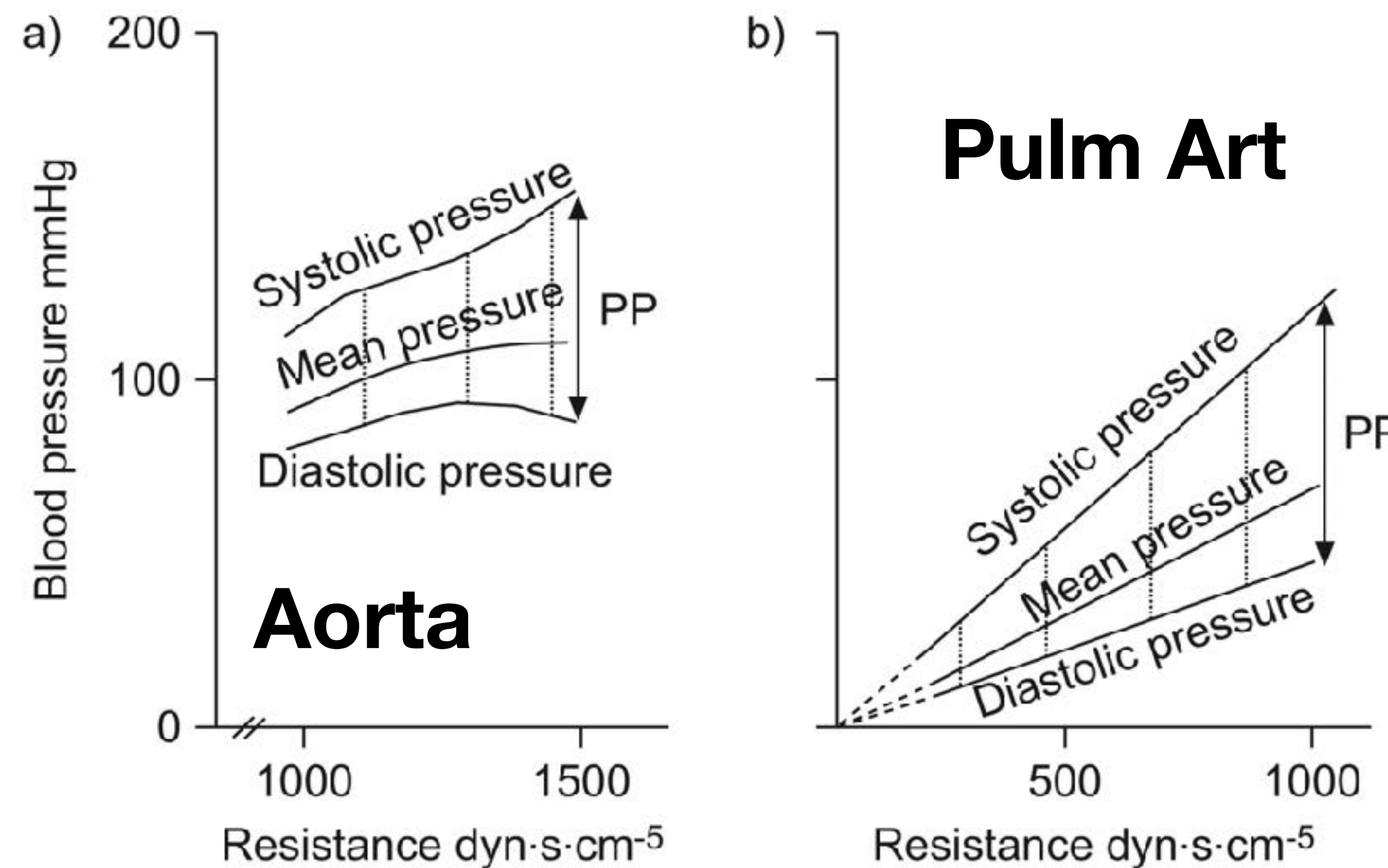
In patient A early stage of PAH, decrease in PVR will result in important decrease in PAC
In patient B, the same decrease in PVR will have limited effect on PAC

The anatomical differences between the pulmonary and systemic arterial system are the main cause of the difference in the distribution of compliance.

Compliance in the pulmonary arterial system is distributed over the entire arterial system and stands at the basis of the constancy of the RC time. This distribution depends on the number of peripheral vessels, which is ~8–10 times more in the pulmonary system than in the systemic tree.

In the systemic arterial tree the compliance is mainly located in the aorta (80% of total compliance in thoracic-abdominal aorta).

The constant RC-time in the pulmonary bed results in proportionality of systolic and diastolic with mean pressure and, in turn, in the constant ratio of oscillatory and mean power.





Physiologie cardiaque appliquée aux cardiopathies congénitales

Partie 5

Adaptation du myocarde à la contrainte en volume et en pression

Professeur Damien Bonnet

Service de Cardiologie Congénitale et Pédiatrique

Hôpital Universitaire Necker Enfants malades – APHP, Université
de Paris

Institut Hospitalo-Universitaire IMAGINE

Centre de Référence Maladies Rares

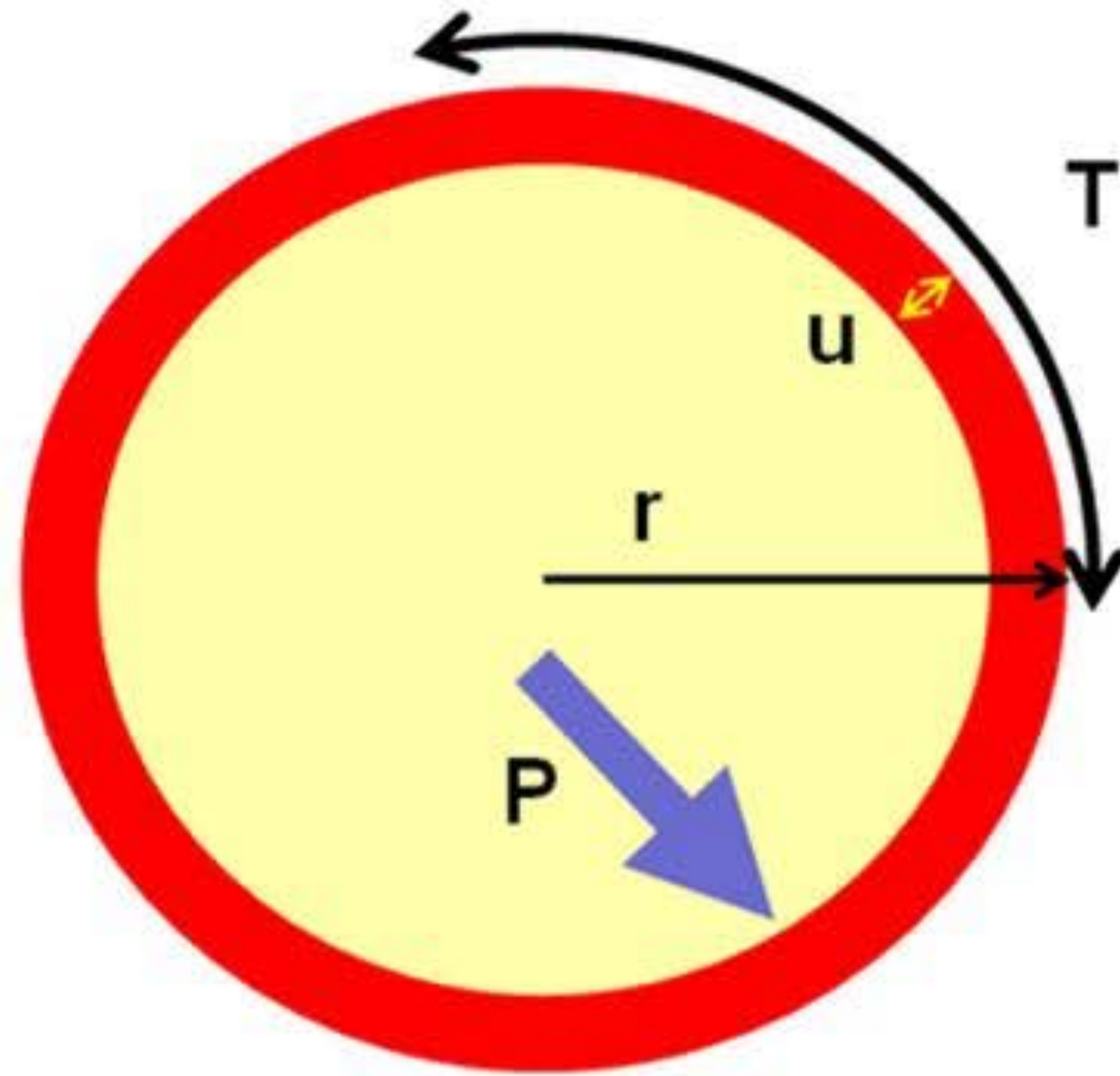
Malformations **C**ardiaques **C**ongénitales **C**omplexes-M3C

Centre de Référence Maladies Rares

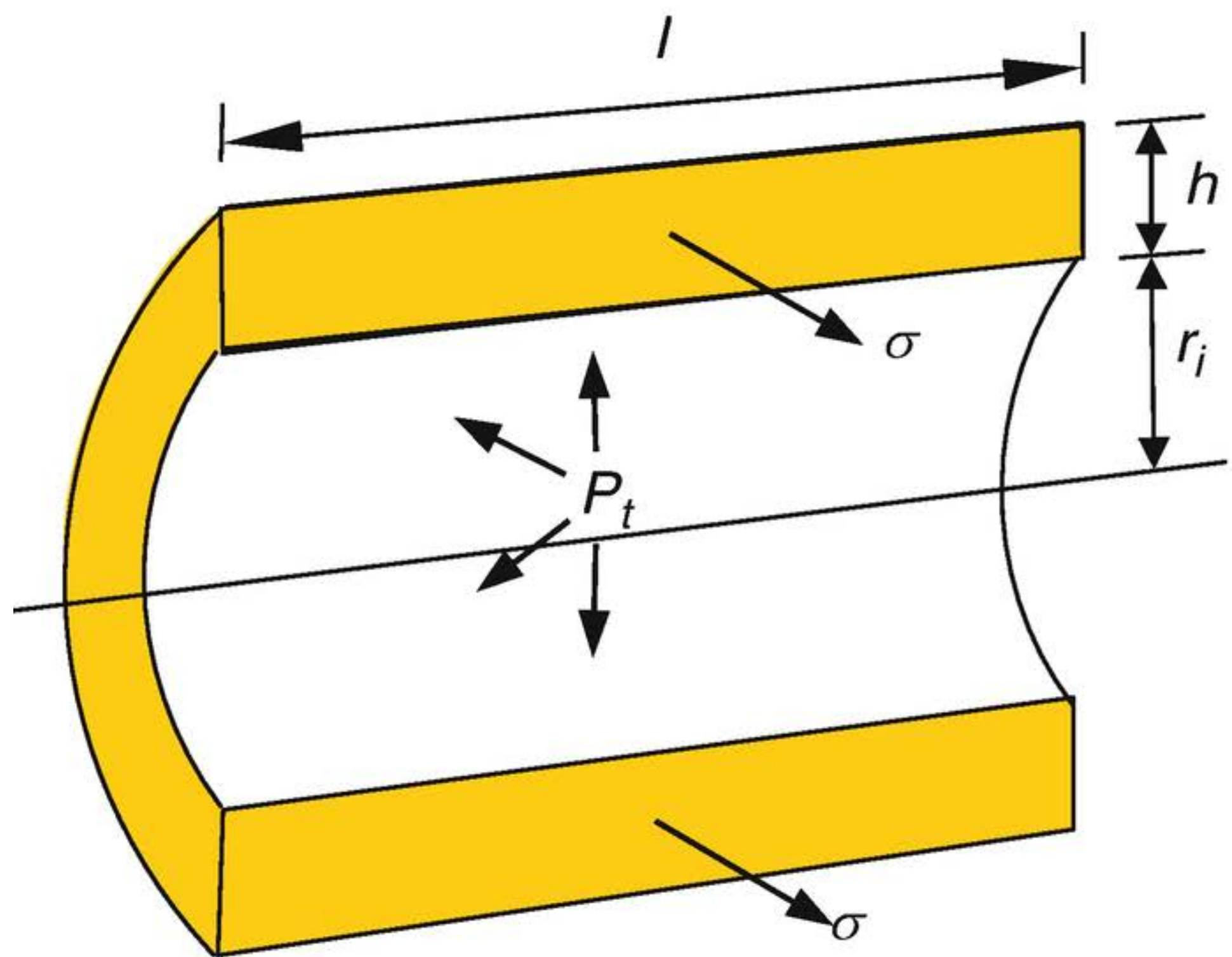
Maladies Cardiaques Héritaires- **CARDIOGEN**



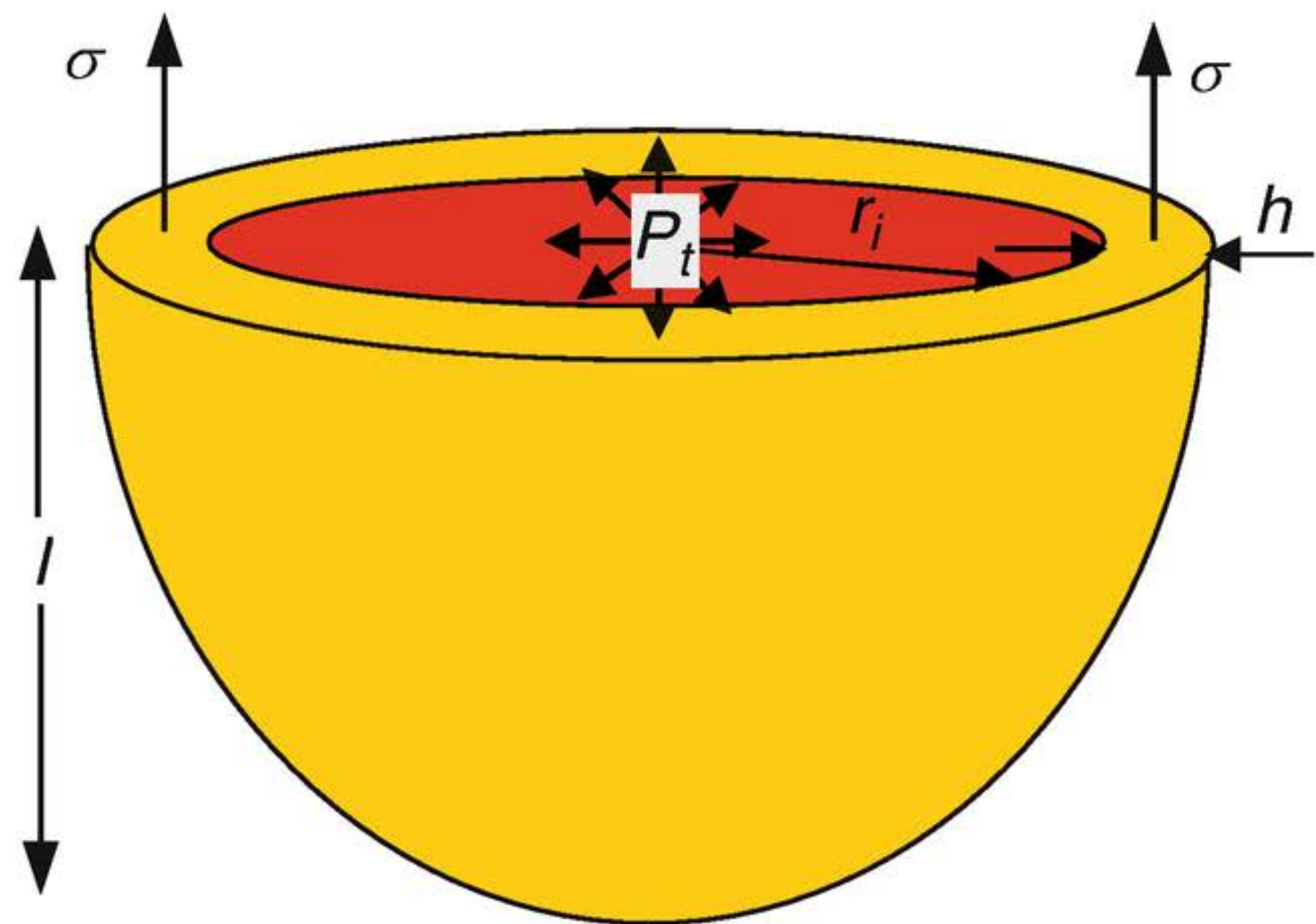
LaPlace's Law



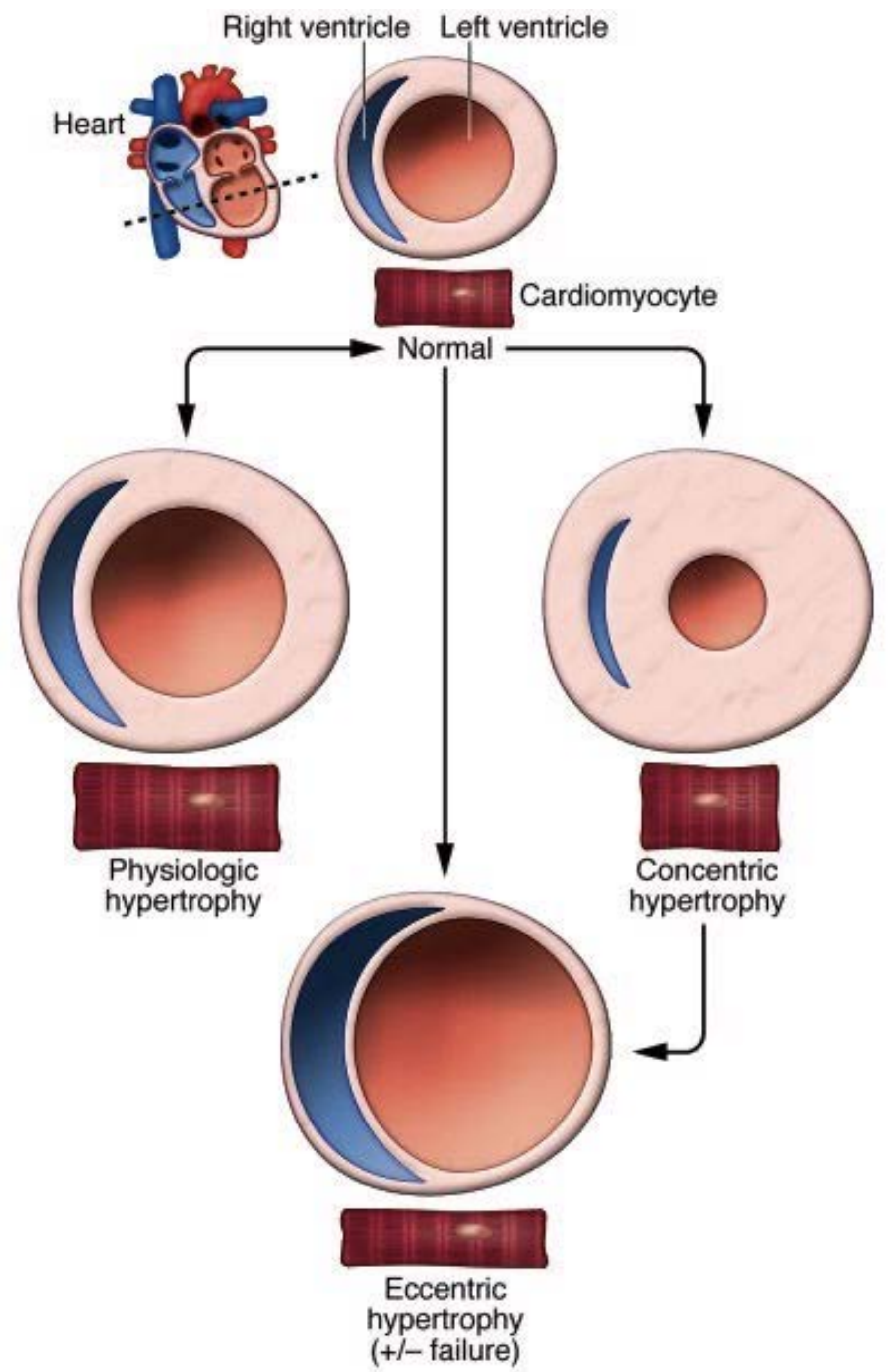
$$\text{Wall Tension (T)} = \frac{\text{Transmural Pressure (P)} \times \text{Radius (r)}}{2 \times \text{Wall Thickness (u)}}$$

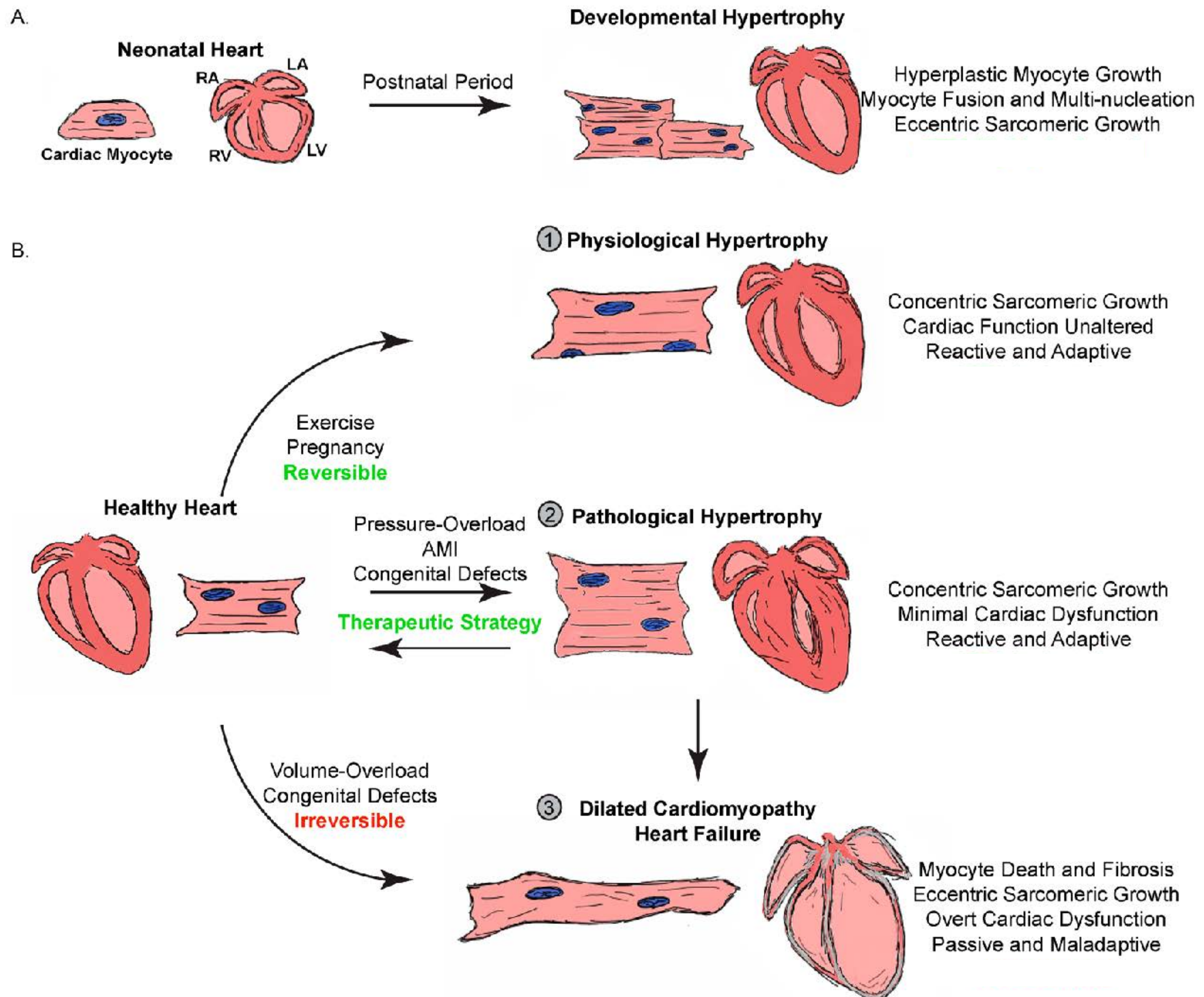


Wall stress $\sigma = P_t r_i / h$



Wall stress $\sigma = P_t r_i / (2h)$





Thank you



Collective ignorance is the motivation
Curiosity is the strength
Research is the path

Individual experience is the brake
Indifference is the weakness
Authority argument is the threat